MITSUBISHI DENKI GIHO 三菱電機技報



Vol.54 No.6

500kV変電所特集





三菱電機技報 Vol. 54 No.6 1980

500kV変電所特集

в	ンヤ
\blacksquare	~

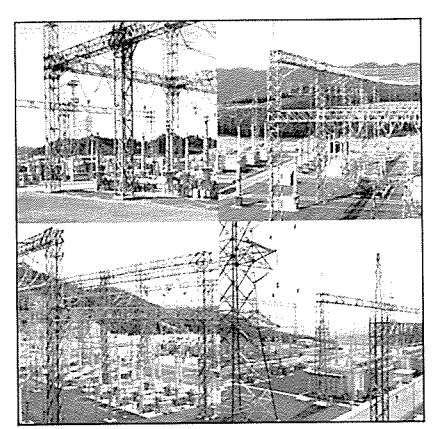
特集論文
中西地区連系500kV系統の役割・・・・・・・・・・・・・・・・・・・・・・・・・・・・・・・・・・・・
500kV変電所機器の基本的考え方 4 田村良平・青木俊之・桑原 宏・森 健
中部電力(株)北部変電所500kV変電機器··················9 平林康道·佐々木健一・谷黒文弥・平河宏之・岡村捷久
中国電力(株)東山口変電所の新設工事·······14 岡本栄智・佐川 勤・祖開克二・左近一郎・中川秀人
九州電力(株)西九州変電所500kV変電機器
500kV変電所監視制御システム···········24 木佐貫 滋・山田勝治・辻 俊彦・炭谷周作・西川正治
500kV用 系統 保護システム・・・・・・29 鈴木健治・畑田 稔・中川秀人・中村正則
普通論文
電子制御方式ビデオカセットレコーダー
ドップラレーダ車両感知器用プリント化スロットアレイアンテナの試作40 片木孝至・真野清司・沼崎 正・斉藤光夫
データベース自動設計・自動生成プロセッサMADAM
工業用計算機のソフトウェア生産性・信頼性向上支援システム46 稲本 惇・芥川哲雄・大井房武・仲摩 寿・中久喜 要
音声出力用基板PCA8520の機能と応用・・・・・・・・51 三木 務・古村 高・寺崎信夫
ゲート付トランジスタ(GAT)
高電圧機器絶縁特性自動計測システム60 平林庄司・渡辺忠勝・北村洋一
磁気ディスク装置用浮動ヘッド············64 鈴木栄久・堀端慎二・山許 博・鮫島周耕・角田正俊
特許と新案
当社の登録新案一覧73
スポットライト
第12回市村賞 貢献賞を受賞の「たて形レコードプレーヤーの開発・実用化」69
深井戸用ハイスラスト立形ホローシャフトモータ70
配電用変圧器の三菱NR形負荷時タップ切換器 71
演色性改善形高圧ナトリウムランプ72

省エネルギー冷蔵庫………(表3)

表紙

500kV主幹送電の一翼を担う 最新鋭変電所

中西地域の500kV送電連系線の代表的(当 社機器納入)変電所である。九州電力㈱ 西九州変電所,中国電力㈱東山口変電所, 関西電力㈱西播変電所,及び中部電力㈱ 北部変電所の外観を示す。500kVの大容 量負荷時タップ切換単巻変圧器, しゃ断 器, 避雷器, 及び屋内制御保護装置など の当社納入機器には, それぞれ最新の技 術が適用され、コンパクト化と信頼性を 眼目にして, 環境に対する景観美を考慮 し、騒音の低下策など地域問題について も十分の配慮が払われている。最近ます ます重要視されてきた輸送問題, 現地据 付けに関しても高度な対策処置が施され て完成を見た、全国的500kV主幹送電の 一翼を担う最新鋭変電所である。



九州電力㈱ 西九州変電所 関西電力㈱ 東山口変電所 関西電力㈱ 西播変電所 ・中部電力㈱ 北部変電所

アブストラクト

500kV変電所機器の基本的考え方

田村良平·青木俊之·桑原 宏·森 健

三菱電機技報 Vol.54·No.6·P4~8

500kV変電所に適用する機器・システムについての当社の基本的考え方は、高信頼性を確保しつつ運転・保守の容易性を追求するとともに小形化を図るということである。更に変圧器や開閉機器については、絶縁材料及び絶縁技術等が重要であり、制御・保護システムについては、複雑化に対処するための、システムの組立て方などが重要である。これら各機器・システムには、それぞれの発展史の中で確立した基本的考え方があり、これを紹介する。

500kV変電所監視制御システム

木佐貫 滋·山田勝治·辻 俊彦·炭谷周作·西川正治

三菱電機技報 Vol.54·No.6·P24~28

九州電力(株) 西九州500kV変電 所用監視制御システムは、マイクロプロセッサ応用テレコンと、工業用計算機《MELCOM350-50》を組合せたシステムであり、システム信頼度確保のためテレゴンと計算機の主要部を2重化し、片系異常時にはすべての業務を連続的にもう一方の系に引継ぐようにしている。機能としてはテレコン機能に加え、事故状況の自動編集と高速表示、操作手順の作成と誤操作防止チェックを行い、変電所を安全・確実・迅速に運転できる。

中部電力(株)北部変電所500kV変電機器

平林康道・佐々木健一・谷黒文弥・平河宏之・岡村捷久

三菱電機技報 Vol.54·No.6·P9~13

中部電力(株)初の500kV変電所建設工事は、実績をふまえながら、大口 径傾斜V吊りアルミパイプ母線やガスギャップ、増幅形PDを含む複合開 閉装置の開発など、縮小化、高信頼性及び経済性に重点を置いて行われ た. ここでは、変電所の概要と変圧器、開閉装置の設計と構成について 概説した。

500kV用系統保護システム

鈴木健治·畑田 稔·中川秀人·中村正則

三菱電機技報 Vol.54·No.6·P29~32

500kV用系統保護システムは、設備事故除出機能と事故波及防止機能とがある。前者は、事故を高速度・高感度・高信頼度で除出するもので、現状の系統からの要求に対応できるものが開発・納入されてきたが、今後の更に一層の要求と対応などについて紹介する。後者は、事故除去の系統を安定に運転するための電力需給バランスを制御するもので、最近の技術を紹介する。

中国電力(株)東山口変電所の新設工事

岡本栄智·佐川 勤·祖開克二·左近一郎·中川秀人

三菱電機技報 Vol.54·No.6·P14~18

関西地区と九州地区とを結ぶ西地域連系線建設に伴い、中国地区初の500kV系統変電所が完成された。広域運用される500kV系統としての変電所は、既設変電所以上の高信頼性を要求される。ここでは、従来の気中絶縁母線方式による500kV変電所の建設に当たっての考え方及び構成機器などについて、東山口変電所の建設をもとに紹介する。

電子制御方式ビデオカセットレコーダー

中島 治・正田茂雄・三橋康夫・小島正典・宮後俊春

三菱電機技報 Vol.54·No.6·P35~39

5モータDD方式のメカニズムをもったVTR 2 機種のデッキ部の構成, ドラムモータの構造及び駆動方式,その他のモータの駆動方式,メカの コントロール回路について述べる。併せて静止・コマ送り回路,音声多 重回路,チャンネルプログラムタイマー回路,ワイヤレスリモコン回路 など特長のある回路についても紹介する。

九州電力(株)西九州変電所 500kV変電機器 木佐貫 滋·福田興太郎·西 英二·宮本龍男·木村佑二

三菱電機技報 Vol.54·No.6·P19~23

九州電力(株)西九州変電所に500kVの変圧器と複合ガス絶縁開閉装置 (GIS)が納入され、九州地区だけでなく我が国の西地域の500kV送電系統の重要変電所として活躍を開始した。

超高圧・超超高圧級の変圧器・GISなどの豊富な変電機器製作経験に基づいた変電機器技術や酸化亜鉛形避雷器, 増幅形計器用変圧器など画期的新技術開発による新構成要素が適用された。この変電所の500kV変電機器の構成を含みその概要を紹介する

ドップラレーダ車両感知器用プリント化スロットアレイアンテナの試作

片木孝至·真野清司·沼崎 正·斉藤光夫

三菱電機技報 Vol.54·No.6·P40~42

Abstracts

Mitsuhishi Denki Giho: Vol. 54, No. 6, pp. 24~28 (1980)

An Automatic Monitoring and Control System for a 500kV Substation

by Shigeru Kisanuki, Katsuji Yamada, Toshihiko Tsuji, Shusaku Sumitani & Masaharu Nishikawa

The automatic monitoring and control system for the 500kV Nishi-Kyushu substation of Kyushu Electric Power Co. consists of telecontrol apparatus using microprocessors and a MELCOM 350-50 industrial computer, and features successive transfer in emergencies of all operations to a backup system. Duplicating each of the telecontrol functions and the main system of the computer improves the overall reliability of the system. The article describes the system, which offers telecontrol, automatic editing and fast display of fault-condition reports, generation of operational-sequence instructions and protection against operational errors, and ensures safe, reliable and prompt operation of the substation.

Mitsubishi Denki Giho: Vol. 54, No. 6, pp. 4~8 (1980)

Main Equipment Considerations for 500kV Substations

by Ryohei Tamura, Toshiyuki Aoki, Hiroshi Kawahara & Takeshi Mori

Mitsubishi Electric's main considerations in the design and manufacture of equipment and systems for 500kV substations are highly reliable operation, easy maintenance, and compactness. Efforts also have been made to improve the insulating materials and techniques for power transformers and switchgear and to simplify the design and fabrication of intricate control and protection systems. The article introduces the technological developments achieved by bearing these considerations in mind.

Mitsubishi Denki Giho: Vol. 54, No. 6, pp. 29~32 (1980)

A Protective Relay System for a 500kV Power System

by Kenji Suzuki, Minoru Hatata, Hidehito Nakagawa & Masanori Nakamura

This protective-relay system for a 500kV power system has two major functions: clearing power-system faults and preventing power-system dislocation. It clears power-system faults with high speed, sensitivity and reliability, and meets the requirements for a modern relay system. The equipment for this function has already been delivered. The equipment for controlling the balance of supply of and demand for electric power ensures the stability of operation required for a relay system to successfully clear power-system faults. The article introduces the latest technical measures designed to satisfy these requirements.

Mitsubishi Denki Giho: Vol. 54, No. 6, pp. 9~13 (1980)

500kV Power Apparatus for the Hokubu Substation of Chubu Electric Power Co.

by Yasumichi Hirabayashi, Kenichi Sasaki, Fumiya Taniguro, Hiroyuki Hirakawa & Katsuhisa Okamura

The first 500kV substation of the Chubu Electric Power Co. has been completed, with emphasis on reductions in size, excellent reliability and economical efficiency. Included in the development were an inclined V-string aluminum pipe bus using long-rod insulators, a gas-insulated gap, and hybrid gas-insulated switchgear with amplified PDs. The article describes the substation operation and provides a general discussion of the design and construction of power transformers and switchgear.

Mitsubishi Denki Giho: Vol. 54, No. 6, pp. 35~39 (1980)

Entirely Electronically Controlled Video-Cassette Recorders

by Osamu Nakajima, Shigeo Masada, Yasuo Mitsuhashi, Masanori Kojima & Toshiharu Miyago

The article describes the configuration of the deck assembly, the structure and drive system for the drum motor, the drive system for the other motors, and the operation of the circuits that control the five-motor recorder mechanism of Mitsubishi Electric's latest VCRs. The article also introduces the VCRs' special circuits, including those for freeze-frame and single-frame advance, audio multiplex, program timer and wireless remote control.

Mitsubishi Denki Giho: Vol. 54, No. 6, pp. 14~18 (1980)

The Construction of the 500kV Higashi-Yamaguchi Substation of Chugoku Electric Power Co.

by Eichi Okamoto, Tsutomu Sagawa, Kanji Sokai, Ichiro Sakon & Hideto Nakagawa

The construction of a 500kV, interlinking-trunk transmission system for the Kansai and Kyushu Districts marks the completion of the first 500kV trunk-system substation in the Chugoku District. A 500kV substation requires particularly high standards of reliability owing to operations that cover a wide area. The article discusses the main considerations concerning the construction of a 500kV substation using an air-insulated bus system, and the apparatus installed, with reference to the Higashi-Yamaguchi substation.

Mitsubishi Denki Giho: Vol. 54, No. 6, pp. 40 \sim 42 (1930)

A Prototype Printed Slot-Array Antenna for a Doppler-Radar Vehicle-Speed Detector

by Takashi Katagi. Seiji Mano, Tadashi Numazaki & Mitsuo Saito

Mitsubishi Electric's prototype printed slot-array antenna for a doppler-radar vehicle-speed detector in the X-band is thinly-made and provides low sidelobe levels. The article introduces the design methodology and the results achieved by the prototype. 8 slots \times 10 slots and a feed circuit are printed on a sheet of substrate having a reflector plate installed behind it to achieve unidirectional reflection. The antenna exhibits improved characteristics, including a gain of 21.8dB, beamwidths of 10.5. '(H-plane) and 11.7. '(E-plane), sidelobe levels of $-20.6\mathrm{dB}$ (H-plane) and $-19.2\mathrm{dB}$ (E-plane), and a voltage standing-wave ratio (VSWR) of 1.1.

Mitsubishi Denki Giho: Vol. 54, No. 6, pp. 19~23 (1980)

500kV Substation Equipment for the Nishi-Kyushu Substation of Kyushu Electric Power Co.

by Shigeru Kisanuki, Kotaro Fukuda, Tatsuo Miyamoto, Yuji Kimura & Eiji Nishi

The 500kV transformer and hybrid gas-insulated switchgear delivered to this substation have now gone on-line as an important substation of the 500kV-transmission system for western mainland Japan and Kyushu. New structural elements have been incorporated in this substation on the basis of the technology acquired during our lengthy, abundant experience in producing substation equipment that includes UHV and EHV transformers and gas-insulated switchgear. Newly developed equipment, including zinc-oxide surge arresters and amplified-voltage transformers, have also been applied. The article gives a general description of the 500kV equipment for the substation.

アブストラクト

データベース自動設計・自動生成プロセッサMADAM 中村 晋・水沢勝治

三菱電機技報 Vol.54·No.6·P43~45

オンラインデータベースを適用したユーザーアプリケーションシステムの設計・開発には、かなりのスペシャリティが要求される。MADAMは、このユーザーアプリケーションシステムの開発期間の大幅短縮と開発人工の大幅な省力化をはかるツールとして作成された。この論文ではMADAMの紹介と、その適用による生産性向上事例の効果とを示したものである。

ゲート付トランジスタ (GAT)

近藤久雄·行本善則·小鳴鈴夫

三菱電機技報 Vol.54·No.6·P56~59

新しい構造のゲート付トランジスタ(GAT)を考案し、その動作機構を理論的、実験的に調べて、GATが高耐圧、高速で電流利得が高いトランジスタに適していることを明らかにした。電圧定格が450V、電流定格が20AのGATを開発し、同定格のパワートランジスタに比べて、電流利得が2.6倍、上昇時間が光、下降時間が光になり、スイッチングに必要なベース電流が光になる結果を得た。この論文はこのGATについてその動作原理及び試作素子の特性について述べる。

工業用計算機のソフトウェア生産性・信頼性向上支援システム

稲本 惇・芥川哲雄・大井房武・仲摩 寿・中久喜 要

三菱電機技報 Vol.54·No.6·P46~50

近年工業用計算機システムの特にソフトウェアの生産性・信頼性向上の要求は急速に高かまりつつあり、それに対応すべくソフトウェアツールの開発・生産体制の改革が行われてきた。この論文ではこのような時代の流れにそって開発された3つの支援システムPWS、ELDA及びSPALTAについて基本的な概念とともに機能及び構成について記述し、それらの効果について論ずる。またこれらを導入した新しい生産体制について述べる。

高電圧機器絶縁特性自動計測システム

平林庄司·渡辺忠勝·北村洋一

三菱電機技報 Vol.54·No.6·P60~63

高電圧機器絶縁の研究、開発、試験において特に重要な誘電正接、部分 放電、交流絶縁破壊電圧測定の自動化を行い、ミニコンピュータにより データ収集、処理を行うことができる自動計測システムを開発した。これにより測定の省力化、多量のデータ収集、処理が可能になり測定の信頼性を向上させることができる。またこのシステムは、大形計算機とハイアラーキシステムを構成しており統計解析などの高度な解析処理が可能である。この論文ではシステムの方式、機能について述べる。

音声出力用基板PCA8520の機能と応用

三木 務・古村 高・寺崎信夫

三菱電機技報 Vol.54·No.6·P51~55

従来,人間と機械の理想的なインタフェースの1つとして音声出力装置が考えられてきた。しかし、扱うべき情報量が多大となるため特殊な用途を除いては実用化されていない。近年、半導体集積技術の向上に伴い、音声情報を扱う大容量のメモリが比較的容易に構成できるようになり、音声出力装置の実用化が現実的になってきた。今回、8ビットマイクロプロセッサを用いた音声出力用基板PCA8520を開発したので、その機能の概要と応用について述べる。

磁気ディスク装置用浮動ヘッド

鈴木栄久·堀端慎二·山許 博·鮫島周耕·角田正俊

三菱電機技報 Vol.54·No.6·P64~68

磁気ディスク装置用ヘッドとしてNSA形浮動ヘッドを開発した。このヘッドでは、特殊な微細加工技術を導入したことと、流体力を利用して押付荷重の低減と浮上距離の微小化を実現したことを特長としている。そのため耐摩耗特性に優れ、高密度記録に適したヘッドとなっており、高性能で信頼性の高い次世代のヘッドとして期待される。ここではこのヘッドの技術的特長とその応用例などについて述べる。

Abstracts

Mitsubishi Denki Giho: Vol. 54. No. 6, pp. 56~59 (1980)

A Gate-Associated Transistor (GAT)

by Hisao Kondo, Yoshinori Yukimoto & Suzuo Kojima

Mitsubishi Electric has devised a gate-associated transistor (GAT) with a new structure, and has investigated the mechanism of its operation theoretically and experimentally, and established that the GAT is suitable as a transistor providing high current gain at high voltages and high speeds. The improved GAT with a 450V rating and a 20A current rating provides a two- to six-fold current gain, a rise-time of one seventh, a fall time of one third, and a base current for switching that is only one-half that of a power transistor with the same rating as the GAT. The article reports the principle of operation and the performance characteristics of a prototype element.

Mitsubishi Denki Giho: Vol. 54, No. 6, pp. 43~45 (1980)

MADAM: The MELCOM Advanced Design Aid for Data-Management Applications

by Susumu Nakamura & Katsuji Mizusawa

Considerable user-oriented specialization is required in the design and development of user application systems for on-line data bases. Mitsubishi Electric's MADAM greatly shortens the period taken to develop user application systems, and thus reduces the man-hours required for development. The article introduces MADAM, and describes the increased productivity achieved by its use.

Mitsubishi Denki Giho: Vol. 54, No. 6, pp. 60~63 (1980) An Automatic Digital System for Measuring High-Voltage Insulation

by Shoii Hirabayashi. Tadakatsu Watanabe & Yoichi Kitamura

Mitsubishi Electric has developed an automatic digital measuring system that automatically measures the dielectric dissipation factor, partial discharge, and AC dielectric breakdown voltage. The measurement data, essential to the investigation, development and testing of high-voltage insulation, can be collected and processed by a minicomputer. This system contributes to improved reliability of measurement, reduces labor, and increases data-collection and data-processing capabilities. It has also enabled sophisticated analytical processing, including statistical analysis, by the combined use of a large computer in a hierarchical system. The article introduces the methods and functions of the system.

Mitsubishi Denki Giho: Vol. 54, No. 6, pp. 46~50 (1980)

Support Systems for Productivity and Reliability Assurance in Industrial-Computer Software Systems

by Atsushi Inamoto, Tetsuo Akutagawa, Fusatake Oi, Hisashi Nakama & Kaname Nakakuki

Industrial-computer systems are subject to increasingly stringent requirements for production efficiency and software reliability. To meet these requirements, Mitsubishi Electric has developed new software tools and an innovative production method. The article gives a general description of our PWS, ELDA and SPALTA supporting systems, and describes their functions and construction, together with the results achieved. It also introduces a new production system employing these developments.

Mitsubishi Denki Giho: Vol. 54, No. 6, pp. 64~68 (1980)

Floating Heads for a Disk-Memory System

by Shigehisa Suzuki, Shinji Horibata, Hiroshi Yamamoto, Shuko Sameshima & Masatoshi Kakuta

Mitsubishi Electric has developed NSA floating heads for a diskmemory system. They combine special high-precision mechanical technology and reductions in the load force and flying height, and fully exploit the advantages of hydraulic operation. The sophisticated heads ensure high performance and high reliability, and offer excellent wear characteristics and functions suitable for high-density recording. The article describes the technical merits of these new heads, and details their applications. Mitsubishi Denki Giho: Vol. 54, No. 6, pp. 51~55 (1980) The Function and Applications of the PCA8520 Voice-Generating Board

by Tsutomu Miki, Takashi Furumura & Nobuo Terasaki

Considered an ideal interface between man and machine, voice-generating equipment has yet to come into widespread practical use because it is limited to special-purpose applications by the large information content that must be processed. Now, however, owing to improved semiconductor-integration technology, a large-capacity memory to process voice data has been constructed with comparative ease, and this has made voice-generating equipment practical. Mitsubishi Electric has developed the PCA8520 voice-generating board using an 8-bit microprocessor. The article gives a general description of its functions and applications.

-500 kV 変電所特集によせて-中西地区連系 500 kV 系統の役割

京都大学教授(工博) 上之園親佐

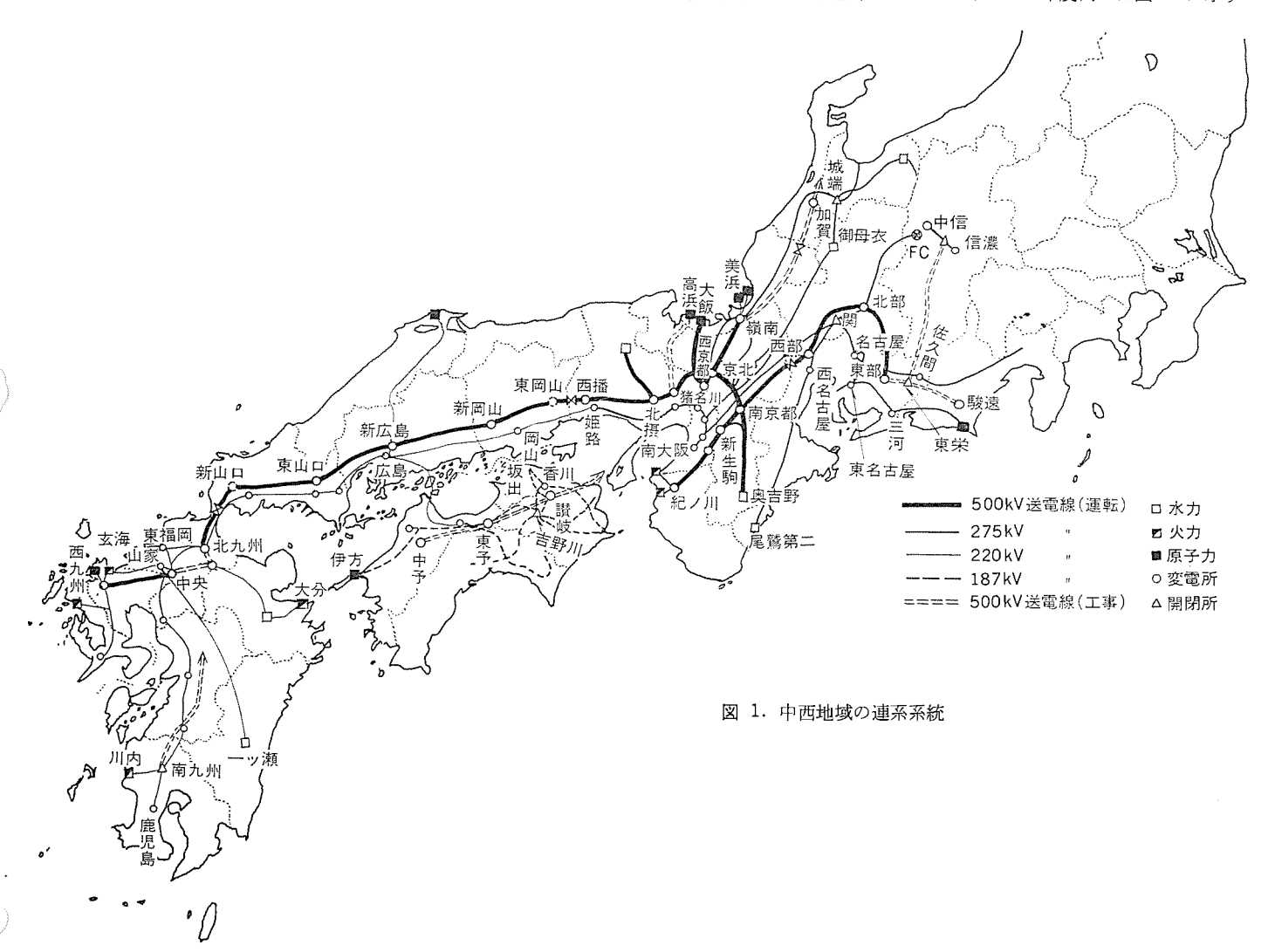


1. まえがき

1887年に東京電燈(株)が電力供給事業を開始して以来、我が国の電気事業は、本年93年目を迎えるが、この間の電力需要の増加は今日に見られるような大規模電力系統を構成するに至った。すなわち、我が国の電力系統は、本年度の予想される総需要電力量約5,350億kWh、最大需要電力約9,200万kWの需要に対処しうる規模を有している。ちなみに中西地域の系統は約3,080億kWhの総電力需要量と約5,320万kWの最大需要電力に対応できる規模である。

中西地域は周知のように中部電力(株),北陸電力(株),関西電力(株),中国電力(株),四国電力(株)及び九州電力(株)の6社から構成された周波数60Hzの系統で,1979年末における各社間系統連系は図1.に示すように、中部、北陸、関西は275kVで連系され、関西の275kVと中国の220kVは連系変圧器を介して連系,中国と九州は220kVで連系、中国の220kVと四国の187kVは連系変圧器を通して連系されている。

ここ数年来中西地域では 500 kV 送電線の建設が進み、 既に関西電力(株)では一部運転しているが、 1980 年度内には図 1. に示す



 $500\,\mathrm{kV}$ 送電系統が運転に入り,近い将来には中西地域の系統は $500\,\mathrm{kV}$ 幹線で連系されることになる。したがって,中西地域の $500\,\mathrm{kV}$ 連系についてその役割などを考察しよう。

2. 系統連系の歴史的経過とその役割

電力系統が成長する要因は、電力料金、電力の有用性、信頼性など に基づく電力需要の増加が主なものである。これらのうち電力料金 の安価、信頼性の向上は主に電力技術の向上、安価でかつ豊富な燃 料に依存しており、電力の有用性は電力のもつ本質的なものである。

我が国の電気事業が開始したのは、1章で述べたように1887年であるが、当時の電灯料金は極めて高く、庶民にとっては高嶺の花であったので、電灯の普及は遅々として進まなかった。その後、1897年ころ三相誘導電動機が輸入されて、工場動力として使用されるに至って電力需要が伸び、1909年ころから工場用照明に電灯が普及し、電気事業者間の競争によって電力料金は低廉化したことが一層電力需要の増加を促進した。その結果、1923年には154kV長距離高電圧送電線による水力発電所の開発が進められることになり、154kV送電線は1952年まで我が国の幹線としての地位を占めてきた。この間我が国の電力技術は導入によって次第に成長し、1952年には275 kV送電が開始され、1973年には500 kV送電が採用され、近い将来には1,000 kV送電、直流送電が運開することになろう。

我が国の電力系統の拡大は、送電電圧の昇圧と系統連系に依存しているが、これらはいずれも電力技術の向上によるものである。我が国の系統連系は下記のように段階を経て今日に至っている。

(1) 単独系統段階 この段階は蒸気機関で直流発電機を駆動し、発電機端子電圧で電灯負荷に電力を供給開始したときから約30年後の1920年ころまでは、発電機と負荷とが変圧器と線路を介して接続される単一系統であったが、その後は図2.(a)に示すように1次、2次、3次送電線をもち樹枝状に分布する負荷に電力を供給する系統へと進展した。これらの系統を単独系統と総称する。

単独系統方式の時代は、電気事業の数が年々増加する時代で、1914年にはその数 461 社、1926年には732 社であって、各社が独自の系統を開発する時代である。また、この時代においては、事故時の保護継電方式が十分に発達していなかったし、しゃ断器のしゃ断能力には限度があったことなどから電力の過不足による融通は、負荷の切換えによって行われていた。

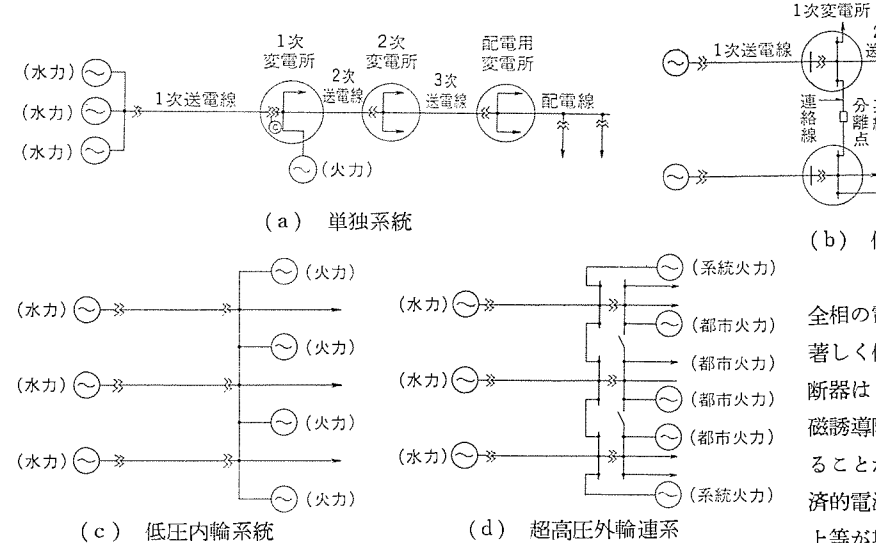


図 2. 電力系統の連系の経緯

(2) 低圧緩連系段階 1930年ころの我が国電力系統は、本州中央部では 154kV を基幹系統とする逆放射状(図 2.(a)参照),西日本では 110kV を基幹系統とする逆放射状を呈してきた。 このころは第1次世界大戦後の経済不況から電力業界は戦国時代の様相を呈し、企業の合同が行われてきた。一方 1930年後の電力需要の増加に対して負荷切換えによる電力融通には限度を生じたので、図 2.(b)のように各社は自社内の単独系統の 低圧側を連絡線でルーズに連系するに至った。当時はしゃ断器のしゃ断耐量が不十分であったため、連系する両系統に故障が発生したとき、系統分離点を直ちに分離して単独系統として運転を続行するようにしている。その後他社系統の連系を行うようになった。

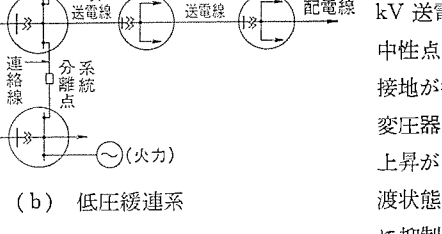
1939年には、電力国家管理法案により日本発送電株式会社が設立され、また、1942年には、配電統制令により9社の配電株式会社が設立されて、1939年に601社の電気事業者が日本発送電(株)と9社の配電(株)に整理統合された。日本発送電(株)は、東北から九州に至る広はん(汎)な地域の発送電系統を連系強化し、一元的に運営するため、全国的、地域的な給電指令組織の確立をすすめたが、1945年の第2次世界大戦の終戦後は電力不足の解消に努力が払われた。

(3) 低圧内輸系統段階 1950年11月のポッダム政令により電気事業再編成令並びに公益事業令が施行され、1951年5月、全国を9つの地区に分け、各地区に発送配電一貫運営を行う電力会社が誕生し、各社は積極的に電源開発と系統強化に乗り出した。また、1952年9月には、電源開発促進法による電源開発会社が発足し、政府資金を主体とした大規模水力発電所の開発が促進された。この年には、275kV新北陸送電線が運開し、我が国の電力系統は275kVを主要幹線とする系統へ進展した。

一方,油入しゃ断器は 1930 年ころから資材節約したがいし形が出現し,従来の827形に取替えられ, 1950 年代に入って新形消弧室を有するしゃ断性能の高い油しゃ断器が開発された。また,1955年ころから BBC 社で開発された 新形空気しゃ断器が使用され始めたし,1970年前から SF_6 ガス しゃ断器が普及してきた。かようにしゃ断器の性能向上と火力発電所が負荷地点に近い場所に設置されて連絡線による電力融通をはかる必要とから図 2. (c) のように低圧内輸系統を実現するに至った。

配電変電所

(4) 超高圧外輸連系 段階 我が国の275 kV 送電系統は, その 中性点接地方式に直接 接地が採用されたので, 変圧器の中性点の電位 上昇が1線地絡時の過 渡状態において低い値 に抑制されるため, 健



2次変電所

全相の電位上昇が低いこと、また、変圧器の中性点側絶縁を 著しく低下できること、一方地絡電流は過大となるが、しゃ 断器はしゃ断の高速化としゃ断容量の増大から通信線への電 磁誘導障害を著しく低減し、かつ系統安定度の低下を抑制す ることが明らかとなり、更に、高圧側連系によって、より経 済的電源容量の選定、予備力の低減効果及び系統信頼度の向 上等が期待されるが、そのためにはしゃ断器のしゃ断容量の 増大、故障の波及などに対する電力技術の向上が肝要となる。

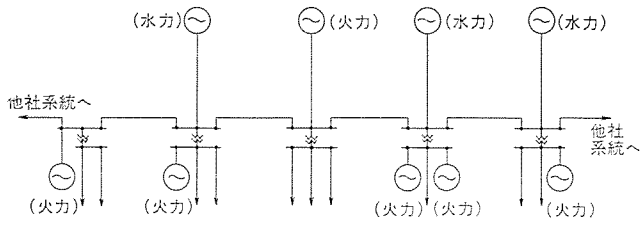


図 3. 長距離串形系統

(5) 超超高圧連系段階 1973年に500kV 超超高圧送電線が運開し、近い将来には、中西地域は図 1. に示すように500kV 超超高圧送電連系が実現されることになり、中西地域が一体となって系統運用がなされるので、電源の単位容量の増大からくる経済性の向上、揚水発電に対する経済性、系統信頼性の向上などが期待されるが、一方では、短絡容量の増大、事故波及の拡大などに対する電力技術の開発と経済上の諸問題を解決することが要請される。

以上の系統連系の経緯は主として東京、関西、中部の系統を対象とするものであるが、中国、九州、四国、北陸地区の系統に対しては変形した系統連系を構成している。そのうち中国地区の系統連系は電源立地と負荷の分布状態から特異の系統として発達して来ている。すなわち、図3.にみるように、東西に走る幹線に向かって電源線路が導入され、幹線に沿って負荷が分布しているという系統で長距離くし(申)状系統ということができる。九州地区は、主要な電力需要地が北部に寄っており、電源地帯は、西部と南部及び東部の北にあることから外輪を特に形成することなく主要変電所とその間の連絡線が設けられる。したがって外輪という考え方は生まれそうにない。四国地区においても外輪を形成することなく吉野川開閉所を介して需要地の変電所に連系する系統を構成している。また、北陸地区においても同様に外輪を形成する系統ではない。

3. 中西地域の 500 kV 系統連系

上述のように中西地域の各社の電力系統は近く500kV 送電線で連系されるが、500kV 系統連系について述べよう。系統連系の効果については、これをまとめると、(a)不等率の改善と負荷率の向上、(b)広域経済運用の効果、(c)供給信頼度の向上、(d)供給予備力の節約、(e)補修計画の合理化、(f)電源開発計画の合理化、特にスケールメリットなどが挙げられる。一方、系統連系によって、短絡容量の増大からくるしゃ断器のしゃ断容量、保護継電器の迅速と正確さなどが要請されるし、連系系統の規模の拡大からくる連系運用技術の確立と運用組織の確立とが強く要求される。特に、事故予測などの新しい技術開発が必要となってくる。

中西地域の 500 kV 連系は、図 1. にみられるように、中部地区と関西地区はそれぞれ 500 kV 外輪連系統を構成し、中部と関西は西部(変)と南京都(変)の間は 500 kV 連絡線で連系する。中部地区は 50 Hz 系統とは佐久間と新信濃変換所の周波数変換装置 (FC)で連系する。関西地区は、北陸地区とは領南(変)と加賀(変)との間を加賀嶺南線によって連系する。また関西地区は、西の中国地区とは、西播(変)と東岡山(変)との間を西播東岡山線で連系する。中国地区は、その西を九州地区の北九州(変)と中国地区の新山口(変)との間を関門連系線で連系する。関西地区の西端にある西播(変)と九州地

区の北九州(変)との間の距離は 422 km で, 西地域連系線と称している。九州地区は,東から北九州(変),中央(変),西九州(変)を置き,九州地区の背骨的幹線を形成するので,一種の外輪を形成することになる。四国地区は,こう(亘)長 63 km の四国中央幹線を骨格として幹線運用を計画し,東の讃岐(変)は本州四国連系線によって関西地区の 500 kV と連系することを計画しているようである。すなわち本四連絡橋の 1 つである神戸〜鳴戸 μ ートの道路 鉄道 併用つり橋に 500 kV ケーブルを添架するための研究をすすめている。

そとで、中西地域の連系系統の運用上の諸問題について考察して みる。

- (1) 連系の役割 中西地域が 500 kV で直接連系されることによって、各社間の連系度合は強固なものとなるので、系統特性を十分には(把)握し、その上に立って、系統運用、系統計画をたて、連系効果として、(a)単機容量の経済的選定、(b)供給予備力の低減効果、特に緊急予備力の低減効果、ただし単機容量の増大とも併せて最適予備力の検討が必要、(c)系統負荷の 不等性からくるピーク負荷の低減効果、(d)系統事故時に対する緊急予備力による供給信頼度の向上、(e)補修計画に対する裕度の増大、(f)電源開発地点の経済的選定などがあげられる。
- (2) 電力技術上の課題 上述のように連系効果が多くあげられる一方,連系上からくる課題もある。
- (a) 周波数低下限度の制定 中部地区と関西地区は連系線を 介して双方の外輪系統が接しているので、系統故障時に事故波及 として相互に迷惑を被らぬような最適な周波数低下限度を双方で 定める。
- (b) 中国地区の500 kV 送電線は、九州地区と関西地区からは422 km と極めて長距離連系線となるので、その有効性が少ない。そこで、つぎのことを提案する。すなわち、直流分割を行うことの効果と経済性の検討、いま1つは、直流送電に九州地区と四国地区の連系、四国地区と関西地区との連系を行うことによる中西地域、特に西地域の系統安定度の向上、それからくる中西地域の安定度への貢献度の検討。
- (c) 中部地区,関西地区の500 kV 外輸系統の亘長は共に長いので,電源線を含めると相当な亘長となるので,安定度問題についてあらゆる角度から検討しておくことが必要である。
- (d) 500 kV 連系系統の運用は極めて信頼度の高いものである ことが要求される。したがって,電力系統の機器の状態,各電気 所からみた系統状態を予知し,最適な制御についての研究が肝要 である。

4. む す び

中西地域が近い将来 500 kV 連系されるので、 これを機会に我が国 の系統連系について経緯をふり返り、連系の役割を述べるとともに 電力技術の向上が伴わなければならないことを痛感した。更に、中 西地域の連系に対する連系効果と連系上の課題について述べておいた。

我が国の電力系統は外輪を ベース として放射状系統が多く採用されているが、 μ -プ系統の導入についても技術的, 経済的立場から検討しておくことが必要であり,系統の機器の状態把握,電気所からみた系統状態の把握が必至のように思う。

1. まえがき

我が国における 500 kV 送電は,15 年前の昭和 40 年に次期送電電 圧として決定された。それ以来,電力会社各位及び機器製作者がそ の実現に努力を続け,その結果,昭和 48 年に我が国初の 500 kV 運 用が,東京電力(株) 房総線で開始され,翌年初めには関西電力(株) 奥多々良木線も運開された。

その後,500 kV 送電系統の整備が着々と進められてきた。今回, 実現をみた西地域500 kV 送電系統の完成により,500 kV 送電網が,電力輸送の大動脈として全国的連系に発展しつつある。

500 kV 変電所は、良質の電力を安定に流通させるためのかなめであり、との建設・運転は重要である。しかも建設に対し、周囲環境からの諸制約や用地取得難、建設費の高騰など、年々厳しさが増している。

電力会社各位とともに、主要機器を製作・納入する当社も、これらの困難を克服し、より合理的な $500~{\rm kV}$ 変電所の建設に日夜努力している。

ここでは、500 kV 変電所機器に対する当社の基本的な考え方について述べ、大方のしっ正を仰ぎたい。個々の技術については、既に本誌等に報告されているので、それらを参照願いたい。

2. 500 kV 変電所機器の基本的考え方

変電所は、電力流通のかなめであるとの認識に基づくならば、電圧階級に関係なく、これに使用される機器に対する要求と、対処の考え方とに本質的な差はあり得ない。しかしながら、500 kV 変電所は、今日から将来へかけての電力流通の主幹系統であるから、ここに適用される機器・システムには、これに見合う基本姿勢や考え方が既に確立されていなければならない。当社の基本的考え方を以下に述べる。

2.1 500 kV 変電所機器に対する取組姿勢

500 kV 変電所の機器・システムは、信頼性、運用・保守面等で、現状における最高レベルのものであることはもちろんのこと、社会・経済動向にも調和したものであることが肝要である。

この認識のもとにこれらの機器・システムを実現するためには、単に系統計画・系統運用等の電力系統にかかわる面ばかりでなく、人間の創造性発揮・能力開発への期待などの経営思想にかかわる領域にも留意し、将来に侮いを残さぬように心掛けている。

また、電力の安定供給に対する社会的要請が、ますます強まる状 勢を踏まえてこれに答えるため、技術の究極目的である信頼性・経 済性の追求になお一層の努力を重ねている。

2.2 高信頼性の確保

び情報処理面で、長年月の間、高い信頼性を保持し続けなければならない。

本質的に高信頼性のある機器・システムを供給するため、当社は既設の変電所における豊富な運転経験を十分にそしゃくし、製品に反映させることにしている。また、数10年の運転期間中に対処すべき異常事態を想定し、工場における過酷試験や、実系統における試運転によってその抵抗力を開発段階で裏付けるように努めている。また、機器あるいはシステムの死命を制する基本システムや部品については、その品質が製品においても継続的に持続されるように、設計・製造の手順や設備を開発過程で完備するとともに、不具合の発生を抜け落ちなくは(把)握し、修正できる方法を確立する必要がある。

2.3 運転・保守の容易性追求

500 kV 変電所の機器は、高電圧・大容量に対処するために大形化し、また信頼性向上のための2重化によって複雑化することなどが予想され、300 kV 以下の機器・システムと比較して運転・保守が煩雑になりやすい。運転・保守性を超高圧以下のものと同程度の容易さにすることも重要である。具体的には、保守・点検対象部分を低位置に配置するとともに、その手数も減らすように構造・材質等の選定に留意し、より長寿命化を図るようにしている。また、自動点検や計算機等による情報処理、見やすいディスプレイなどを適用して、運転員の負担を一層軽減するように指向している。信頼性維持のための手間や作業性が複雑化し、増加することは是非とも避けるべきである。

2.4 小形化への努力

500 kV ともなれば、屋外機器の大形化や屋内機器の所要数量増加により、広大な敷地と建屋が必要になると考えられる。これに対処するために機器製作者として、信頼性を損なうことなく、機器・システムの小形化を追求すべきである。

このため、例えば絶縁性能を確保するための基本寸法を変えることなく、仕上がり外形寸法の増大を少しでも抑制するためデッドスペースに補機類を設置する、構成要素の静止機器化・ディジタル 化を図るなどを精力的に推進している。

2.5 各機器固有の重点指向

変圧器,開閉機器及び制御・保護 システム には,上述のほかに,それ ぞれの発展史中で確立された重点的な考え方がある。これらについ ては 3 章以下に述べる。

3. 変 圧 器

500 kV 変圧器は、大電力送電の中枢をなす機器であり、極めて高い信頼性を有することが要求される。一方、大容量変圧器は、一般に使用上の要求、設置条件、輸送制約を織り込んで設計製作するオーダー対応製品であるから、すべての製品に高い信頼性を盛り込むためには、広範な基礎研究と解析技術とを背景にした確認試験による実証、その技術を各変圧器の設計・製作に確実に反映させること、

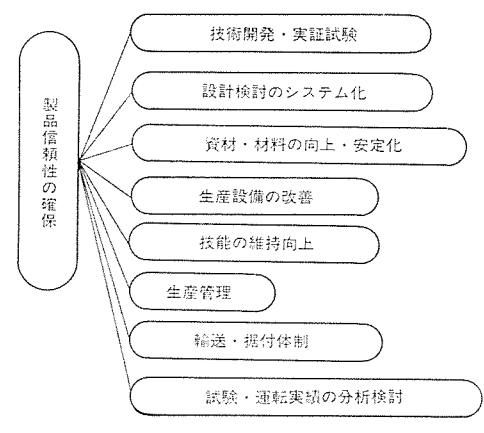


図 1. 信頼性確保の要点

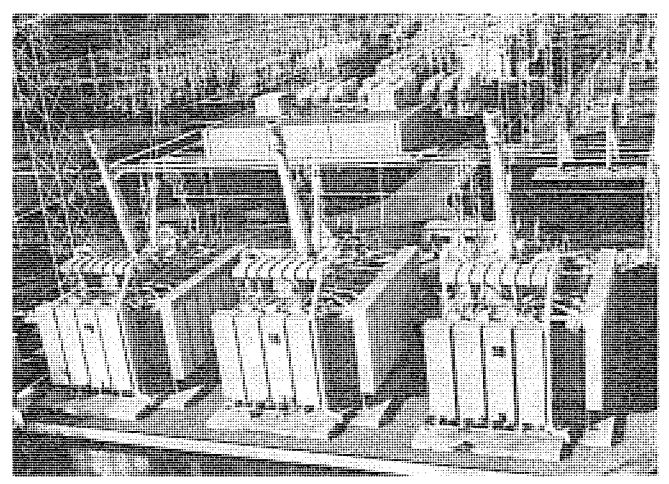


図 2. 東京電力(株)新富士変電所納め 500/275 kV 1,500 MVA 単巻変圧器 バンク

及び豊富な実績に裏打ちされた品質管理の徹底が、最も重要なポイントになる。(図 1.)

幸いにして外鉄形変圧器は、各種の定格・仕様に対してもその基本的構造を全く変えないで対応できる特長を有し、信頼性の確保の上からも誠に好都合な構造であり、500 kV 変圧器でますます真価を発揮するものと思われる。(図 2.)

3.1 絶縁技術

 $500\,\mathrm{kV}$ 変圧器の最も重要な技術である絶縁構造は,昭和 40 年に開発を完了し,我が国初の実用 EHV 変圧器である x またり 納めの $400\,\mathrm{kV}$ 変圧器を多数出荷して以来,既に 15 年の実績を有している。

この EHV 絶縁構造の標準化に当たり,多数の実工程において, モデル 製作を繰り返して,個体間のばらつき,作業上の難易などの製 品の安定性に影響を及ぼす要因を徹底的に洗い出し,信頼性の確保 に特に意を払った。また,同時に,154 kV 以上の絶縁標準をすべ てこの新しい絶縁標準に切換えたが,これは,その絶縁上のメリット を生かすとともに,あわせて絶縁構造を1本化して製作上からなお 一層の安定化を図ったものである。

500 kV 変圧器の絶縁信頼性の上で、もう1つの大きな影響を及ぼすものに油流による流動帯電現象がある。この現象は、EHV、更には将来のUHV 変圧器について重要な問題であり、当社が初めて着目して昭和48年以来、その発生メカニズムの究明、油流や材料

の影響について広範に研究を展開した結果,現在ではその具体的防止対策が確立され,製品の設計製作に逐一反映され,十分な安全性が確保されている。

3.2 漂游指解析・冷却解析

絶縁技術とともに重要なものに大容量化に伴う諸問題の解決が挙げられる。 500 kV 変圧器は、電圧の上昇とともに大容量化されるのが通例であり、漏れ磁束によってコイル、タンク、その他の構造物に発生する漂遊損の把握とその低減対策、的確有効な冷却対策が、局部過熱を防止し、長期間の運転に対する信頼性を確保するために重要な技術課題になる。

これらの解析については、最近になって解析技術及び測定技術の進歩に目ざましいものがあり、極めて高い精度でコイル内はもとより、各構造物に発生する漂遊損失を求めることが可能になってきた。例えば、漂遊損発生の原因になる漏れ磁束の解析については、従来、2次元解析をモデル変圧器によるデータによって3次元補正を行っていたが、等価磁荷分布等の導入によって実用規模における3次元数値解析が可能になり、変圧器各部分における磁界の数値解析を正確に行えるようになり、漂遊損の低減、信頼性の向上に役立っている。また、冷却特性の解析についても、各種の温度解析プログラムを開発するとともに、複雑なコイル内の油流を直接に目視観測ができる油流可視化技術を開発し、局部温度上昇などの解析に有効に役立てている。

これらの解析技術は、多数の測定素子を内蔵させた実規模の超超 高圧超大容量 モデル変圧器による実測によってその精度が慎重に確認されたのち、実際の変圧器の設計検討に有効に織り込まれ、各変 圧器の信頼性の向上と損失の低減とに活用されている。

3.3 付属品

変圧器の運転信頼性に、ブッシング・負荷時 タップ 切換器・冷却器・保護 リレー等の付属品の占める役割は大きい。 当社では、大形変圧器の負荷時 タップ 切換器として、世界最高の技術を有する西独 MR 社 との技術提携による MR 形 タップ 切換器を製作・採用しているが、これらについても、我が国の変圧器に要求される極めて高い信頼度の見地から厳密な再検討を加えて万全を期している。

また、送油風冷式変圧器についても、冷却器取付スペースが相対的に少なくなる大容量変圧器には、単位冷却容量が大きく、冷却効率が高く、かつ耐食性の優れた冷却器が必要になるが、当社では、全面に溶融亜鉛めっきを施して、優秀な耐食性を有するプレートフィン形冷却器を開発し、全面的に採用して信頼性の確保と保守の容易化とを図っている。

3.4 生産技術

500 kV 変圧器に要求される高い信頼度は、前述の技術開発と、これを実際の変圧器に100 %盛り込める生産技術とがあいまって初めて実現されるものである。当社は、昭和40年に業界に先べんをつけてコイル・絶縁組立工場の完全恒湿・防じん化を実施するなど、製造技術・製造環境の改善を進めてきたが、更に各工作段階に専用工作機械を開発導入して作業の安定化・高水準化を進めるとともに、設計から製造までを一連に接続されたコンピュータによって詳細図・伝票の作成、工程計画を実施し、複雑化する超高圧超大容量変圧器の品質水準の確保を図っている。

また,作業レベルの向上・維持を図るために各作業者の資格認定制度,定期的技能検定制度を実施するとともに,定期的に特別品質管理 オーダー を設定して品質保証課と関連部門の専門 エンジニア とによ

って徹底的に品質水準を検討し、 開発・設計・工作の各部門へ フィードバック し、 信頼性を損なうどのような小さな芽も未然につみとれるように考慮している。

4. 開閉機器

開閉機器に対する基本的な考え方は、次のとおりである。

- (1) 低電圧での技術を拡大・発展させて順次、高電圧化を図る。
- (2) 重要部品の設計・製造・検査は、すべて自社内で行う。
- (3) 完全組立状態の装置で工場出荷前に諸性能を確認する。
- (4) 重要部品の新採用は、現地試験等で実用性能確認後とする。 500 kV 開閉機器固有の問題点は、図 3. に示すように、開発から製品すえ(握)付段階までの過程において、これらの基本的な考え方に基づいて解決され、優れた成果を得ている。

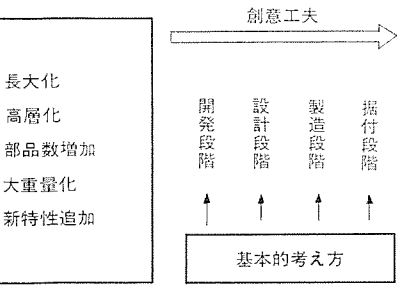
4.1 開発段階

重要部品・機器の基本構想を確立し、これに基づく試作・試験で全 性能を確認する。開発段階で製品の本質的な性能が左右されるとの 認識をもち、全力を傾注している。

(1) エポキシ 注型絶縁物

接地 タンク 形開射機器の死命を制する最重要部品の1つである エポキシ 注型絶縁物は、電圧階級に関係なく、自社で設計・製造する。特に大形になる 500 kV 用のものについては、構成機器開発着手の1年余り前に、試作・検証をすべて完了させた。長年月の性能安定性を確認することの重要性に着目し、専用の長期課電設備によって常規対地電圧の1.3 倍を連続印加することにし、11年間経過した現在

500kV 固有の問題点



得られた成果

高信賴性 占有面積縮小 低配置 部品数抑制 可動部単純化

図 3. 500 kV 開閉機器の考え方

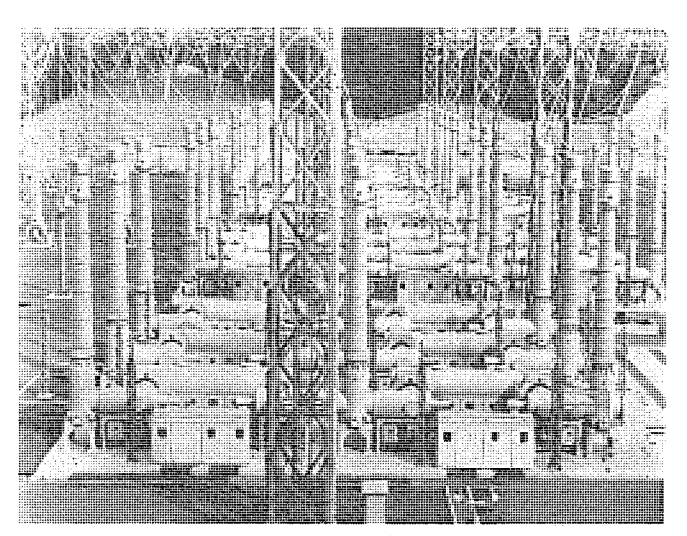


図 4. 関西電力(株) 西播変電所納め 550 kV ガス 絶縁開閉装置

でも,何ら異常の徴候を示さない。性能の安定性が証明されている。

(2) ガス しゃ断器

500 kV しゃ断器は、4点切りになり、投入抵抗を付属させるものもあるので、超高圧級より複雑化は避け難い。

これに対し、部品数の増大と可動機構の複雑化とを極力抑制することである。これにより、500 kV しゃ断器については油圧 シリンダ 1 個で、4 しゃ断部を駆動するものにした。また、投入抵抗用可動接触子の駆動系には、特別のレバー・リンク系を持たせないようにした。このため、超高圧級と比べて構造上の変化が少なく、当初から十分な信頼性を保有するものと考えられる。

(3) 母線 ループ 電流開閉能力付 タンク 形断路器

ガス 絶縁開閉装置の母線 インピーダンス は小さく, また SF₆ ガス の消弧 性能がよいので, この断路器は並切りでも十分に対処できる。

しかし、500 kV の重要性にかんがみ、アーク時間の短縮による長寿命化と、金属スパッタの飛散防止とを行うため、シールド内でしゃ断を完了させることをねらって小形パッファを取付けた。また、常規対地電圧を印加した状態でループ電流の開射を繰返して行い、開閉途上の絶縁性能も十分に確認してある。

4.2 製品設計段階

各種の機器の組合せである ガス 絶縁開閉装置は、製品設計の段階における基本的な考え方が重要である。

(1) 立地条件に適する構成

500 kV 変電所の立地環境は、千差万別である。 そこで、超高圧以下と異なり、500 kV ガス 絶縁開閉装置の構成は、適用場所に最適なものにすることを基本にしている。 最適化の1例として、図 4. に架空母線と組合せた、 いわゆる ハイブリッド 形の開閉装置を示す。この方式は、超高圧以下でも使われるようになった。

(2) 完全 ガス 絶縁開閉装置の配置方針

耐震性能を確保するための副資材を節減し、周囲への威圧感を軽減することを基本方針にし、できる限り平面的な配置にする。やむなく高層化する場合でも、点検ひん度の少ない母線などから、順次、高位置に置くものにする。高層化された部分の耐震圧性能は、理論解析や縮小モデルで確認される。 初採用の重要部品、例えば、不等沈下対策用ベローズ等は、 現地試験などで実用性能をも確認されている。

4.3 製品製造段階

品質は、製造段階で作り込まれるという考え方のもとに、製造設備 及び製造技術の充実を図っている。

(1) タンク 製造

500 kV 用 920 は,とれまでの開閉装置用のものと比較して一段と 大形になる。したがって,製造技術の充実と設備の自動化とによる 品質の均一化,生産能力の向上を図っている。

(2) 大形組立試験工場の完備

500 kV 開閉機器は、出荷前に完全組立てに近い状態で、絶縁性能や動作特性を十分に確認されることが、特に重要である。このため、耐電圧試験設備を完備した専用工場を早くから建設し、すべての製品について出荷前に性能確認を十分に行ってきた。

4.4 据え付段階

輸送と据付工事とは、品質保証の最後の詰めである。

(1) 輸送

輸送途上における内部損傷や緩みの生じない輸送条件を事前に設定

する。更に、重要部品については、加速度計により、出荷から最終 荷おろしまでの衝撃履歴を把握することにしている。

(2) 据付工事

500 kV 開閉機器は、 専ら屋外使用である。 したがって、工場と同じ良好な据付作業環境を期待することは難しい。そのため、現地接続部の単純化を図り、作業ミスや異物侵入の判別が容易な構造になるように配慮してある。しかし、据付作業環境の整備の重要なことは言うまでもないので、防じん対策や作業方法を確立し、細心の注意を払うようにするのは、当然のことと言えよう。

5. 保護制御

5.1 製造体制

前述のように、保護制御システムの検討すべき要素をレビューし、製作者としての経営フィロソフィーと製造体制とを図 5. のように確立した。「階層の座標」と「系統保護・制御の座標」とからなるマネージメントシステムを設計し、 確固たる ユニットの製造を担当する グループ がベース になり、その上に変電制御、系統制御、保護継電 システム の製造を担当する グループ が、それぞれ高度な応用技術の蓄積をもとにして ユーザー の要求に マッチ した装置を製造する。ディジタル、UHV の保護、制御装置などの将来技術の開発を担当する グループ も設置した。階層の座標は製品の階層 モデルを意味し、単体機器である ユニット、

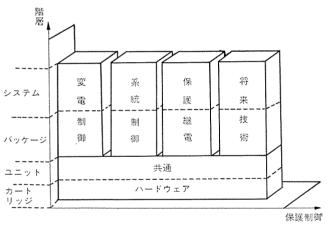


図 5. 経営 フィロソフィー と製造体制

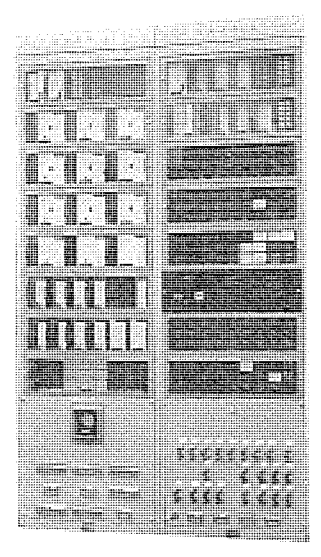


図 6. 500 kV 変圧器保護装置

カートリッジのレベルから、複合機器であるシステムのレベルへと複雑度は高くなっている。

500 kV 系統の変電制御・保護継電・系統制御 システム のおのおの における高度化要求とその対応管理方策について紹介する。

5.2 変電制御システム

監視・計測・調整・保護・制御などの機能をすべて含む変電制御 システムは、変電所の大規模化に伴い、トータル 設計に基づいた各機能の仕様、各機能間及び変電機器との インタフェース 仕様、 マンマシン インタフェース の仕様など、とりまとめ内容が大容量化した。 このため、システムとりまとめのプロセス も各 ステップ を検討して、変電制御 システムエンジニアリング を確立している。

また、現地据付調整の業務も大容量化・複雑化してきたので、現地工事の体制の強化と、プロジェクト管理の導入とを図って対応した。

5.3 保護継電システム

500 kV 系統の保護継電システムは、性能面の高度な要求からエレクトロニクスを駆使したシステムになったが、系統の運用信頼度上、従来の電磁形保護継電システムより高い信頼性を持ったエレクトロニクス形保護継電システムが要求された。パーツが多くなるエレクトロニクス装置の高信頼度化対策として、上記経営フィロソフィーと製造体制との考え方に基づき、エレクトロニクス装置の階層化と階層別管理との理念を導入した。製品の階層化によって数と管理の質とを維持し、製品の階層モデルを決定し、階層別品質管理と階層別サージ対策設計の管理方策とを樹立した。

階層別品質管理については、部品の グレードアップ と全数検査、部品・カードの スクリーニング強化、ユニット管理の強化に重点を置き、業界では初めての ダブルボンディング トランジスタ を開発し適用した。 階層別サージ 対策は、変電所 サージ の発生源と侵入ルート を把握し、 各階層別にサージ抑制策を設計し、システム の高信頼度化に大きく貢献した。製品例として マルチフレックス 形 500 kV 変圧器保護装置(主保護部)の写真を図 6. に示す。

5.4 系統制御システム

500 kV 系統制御 システム は、計算機とその周辺機器及び伝送の技術を ベース に、監視・操作・制御・記録・伝送業務を実行する ソフトウェア で構成し、大規模な システム になる。この システム を所定の期間内に ユーザーと メーカー とが共通の認識のもとに製造するには、適切なプロジェクト 推進管理方式が必要である。このため、数年前から研究を進めてきた、システマティック な新しい ビジョン に基づく トップデザイン 方式による管理体制を開発し、500 kV 系統制御 システム の製造に適用して大きな成果を納めた。

また、系統制御技術開発用 シミュレーションセンター を設置・整備し、高度化された系統制御 システム の基礎技術の開発に役立たせている。 この シミュレーションセンター は、 当社の EHV 系統制御基礎技術開発の パックボーン であり、 また受注工事では システム 設計の事前検証、納入後の増設検証等、工期の短縮と内容の高信頼度化とに大きく貢献している。

5.5 500 kV 系統保護,制御の技術開発成果

以上の製造体制と各種管理方策とに基づいて 500 kV 系統の保護・制御に関する技術的問題に取組み、かずかずの技術開発を行い、具体的製品に反映してきた。その主なポイントは次のとおりである。

(1) 保護継電 システム

線路保護については、高速度化と事故検出感度との向上から、各相位相比較 キャリアリレーが適用され、当社は電流反転とひずみ(歪)波に

強い シフトレジスタ 式伝送遅延補償回路を用いた 各相位相比較 キャリア リレー を開発し、適用した。

母線保護については、電圧差動方式と電流差動方式とが適用されているが、当社は大電流発生用短絡発電機と実 CT とを用いた組合せ試験によって検証された電圧差動方式と、流出電流に強くした電流差動方式とを開発し適用した。

変圧器保護については、高速度化と高速度化とを静止化によって 実現し、変圧器の特性にマッチした保護 システム を開発し適用した。

今後の 500 kV 線路保護の課題として, 重潮流下における事故検 出感度の向上と, 長距離送電線の事故電流の片寄りなどの問題があ るが, 当社は電流差動原理による線路保護と零相差動保護とを開発 し, 実用化を待っている。

また、省力化・標準化の点から、基幹系 ティーシタル 保護方式の開発 にも着手しており、保護性能の向上についても検討している。

(2) 系統制御 システム

500kV 変電所へ計算機を適用することは、日本で最初に 500kV 運転を開始したときから実施している。監視・記録の自動化、制御の高度化に対応して、系統安定化 システム、大規模構内集中制御 システム などに豊富な経験を持っている。

500 kV 変電所内に設置される計算機 システム は,まず第1 に高い信頼性が要求されるという認識のもとに,重要回路の2 重化,命令実行のリトライ機構,エラー訂正機などの充実した RAS (Reliability, Availability, Servisability) 機構をもつ制御用計算機《MELCOM 350-50》シリーズを開発し,適用した。また,ソフト 面では電力設備の高信頼度操作を実現するための誤操作防止方式,CRT ディスプレイの高速表示を可能にする サポートソフトウェア などを開発し,適用した。

更に、回線 インタフェース、系統盤・監視盤 インタフェース、 操作卓 インタフェース 等には信頼性を十分に考慮したマイクロプロセッサを全面的に採用し、電力設備の増設・変更に対して インデックステーブル の追加・変更で容易に対処可能にした。

6. む す び

500 kV 変電所の機器に対する当社の考え方について述べたが、その主なものは、次のとおりである。

- (1) 取組姿勢
- (2) 高信頼性の確保
- (3) 運転・保守の容易性追求
- (4) 小形化への努力
- (5) 各機器固有の重点指向

このような基本的考えに基づき、電力会社各位のご指導を得て開発・製品化し、納入した各機器や システム は、500 kV 変電所で安定した運転を継続している。

500 kV 機器を実現するため、蓄積充実を図った技術や製造及び 試験設備は、超高圧以下の機器の合理化にも威力を発揮していることは、言うまでもない。

将来の大電力輸送時代に備え、機器製作者の社会的責任をまっと うする覚悟をもって、更に技術及び設備の拡充・強化を図る所存で ある。

500 kV 変電所機器が実現されたのは、ひとえに電力会社各位の ご指導・ごべんたつのたまものであり、深く感謝の意を表すととも に、今後とも引き続いてご指導をお願いする。

中部電力㈱北部変電所500kV変電機器

平 林 康 道*・佐々木健一*・谷 黒 文 弥**・平 河 宏 之***・岡 村 捷 久***

1. まえがき

名古屋都市圏を半円形に取り巻く基幹系統としての名古屋第2外輪線と広域連系の強化を目的に、昭和53年6月に着工された中部電力(株)初めての500kV昇圧工事は、昭和55年2月中部電力(株)の西部変電所、及び関西電力(株)との連系線となる西部南京都線から順次運開することになった。

ことでは、500 kV 変電所建設に当たっての設計と構成機器及び 建設工事について、北部変電所を中心に紹介する。

2. 北部変電所の概要

中部電力(株)の電力系統と電源分布は 図 1. に示すようであり、電力需要の増加と電源開発の進展に合わせ、将来の 500 kV 基幹系統に基づいて西部・東部両幹線を始め、新豊根幹線、駿遠幹線更に信濃幹線が、500 kV 設計で建設され 275 kV で運用されていた。近年の電源開発が知多 5,6号、浜岡 2号、渥美 3,4号、奥矢作水力など東方に偏っていることから東から西に向かう潮流が増加し、東部幹線などの 275 kV としての送電能力が昭和 55 年度には限界に達することが予想され、その対応として東部、西部両幹線と関西電力(株)との連系線である西部南京都線の 500 kV 昇圧と、東部、北部と西部の 3 変電所建設が行われた。

500 kV 変電所建設に当たっては、縮小化、高信頼度の確保及び 経済性に重点を置き、新技術、新工法を織り込んだものとなってい る。単線結線図を図 2. に配置図を図 3. に示す。

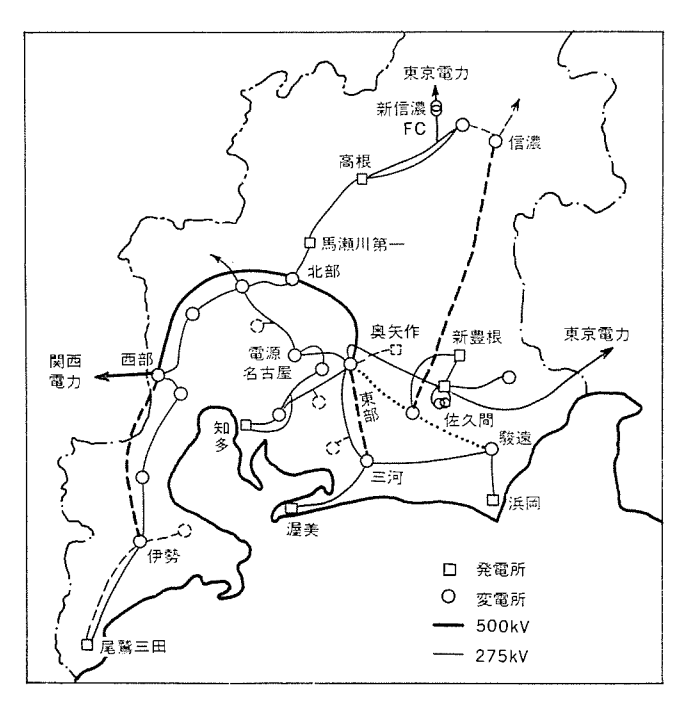


図 1. 中部電力(株)の主幹系統

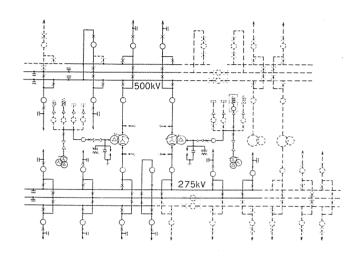


図 2. 北部変電所 主回路単線結線図

2.1 用 地

変電所の用地は山間地の狭あいな場所であり、十分な スペース の確保 と輸送の問題から機器の構成、縮小化を図った。

2.2 変圧器についての考慮

変電所の容量としては最終 1,500 MVA 4 バック であるが、当面の需要、初期投資の節減から、今回は 1,000 MVA 2 バックとし将来それぞれ 500 MVA 変圧器を増結できるように設計した。

変電所は山間地ながら騒音規制法などで周囲騒音を深夜 45 ホン以下に規制されており、変圧器本体は防音建屋内に設置し、 外部 クーラー も低騒音形としている。

変圧器は単相形であるが、超超高圧大容量器であるため、輸送方法が種々検討された。国鉄美濃駅まで貨車輸送し、そこから関市の町を通り変電所までトレーラで輸送された。大形重量物のトレーラ輸送に、幸い大きな川はないが、美濃水郷地帯小河川の渡橋にオーバーブリッジを、また田園地帯狭道の養生など、2日間の夜間運行が6回にわたって行われた。

2.3 母線方式

500 kV 母線方式としては、将来の系統の変化に対し自由度の高い2 重母線 4 ブスタイ 方式の構成とし、今回分は2 バンク 4 回線なので1 ブスタイ としている。

母線の配置は、275 kV 変電所で実用化されており、 同一ベイの 両側から引き出すことのできる甲乙甲の3母線配置を採用した。

母線構造は、母線定格電流が大きくなると テンション 母線方式ではより(撚)線径が大きく、しかも多導体化して分岐などの構造が複雑になることから、大口径 アルミパイプ (350 mm p 10 mmt 14,000 A)を

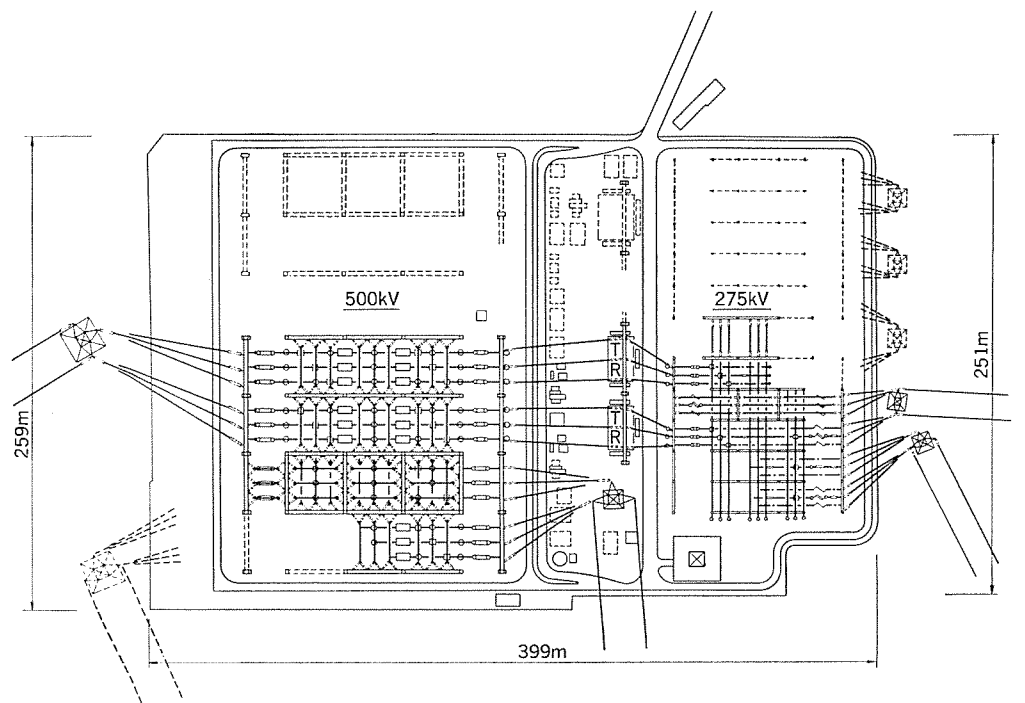


図 3. 北部変電所配置図

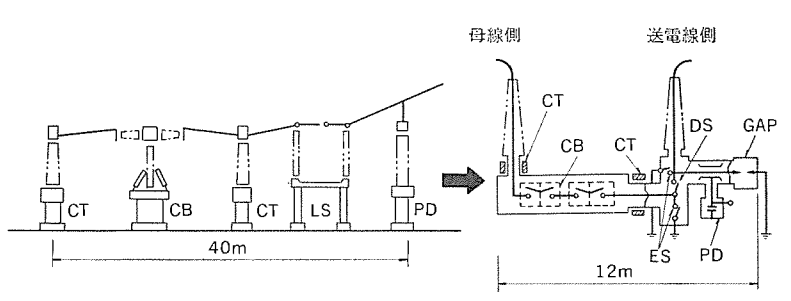


図 4. 550 kV 複合開閉装置と従来形との比較

V字形のがい(碍)子連でつ(吊)る「傾斜 Ⅴ 吊りァルミパイプ母線」を 採用した。この母線は、風圧、地震などに対する特性を実規模及び 縮小モデルにより検証したもので、500kV 用母線としてこの母線を 採用したのは世界で初めてである。

2.4 開閉設備の形式

線路用及び母線連絡用の 550 kV 開閉装置として、 しゃ断器、断路 器、接地開閉器及び変流器を一括しSF。ガスで絶縁した複合開閉装 置を開発し、縮小化を図った。また線路用には、新たに開発した増 幅形計器用変圧器と、ガスギャップとを組込んだ。

この ガスギャップは、従来の気中保護 ギャップ に代わるものであるが、 放電の電圧 - 時間特性上 SF_{6 ガス} 絶縁の複合開閉装置と協調がとれ ること、また計算による シミュレーション では、線路側の保護だけでな く変圧器用避雷器と組合せて,変電所全体の絶縁協調上有効である ことがわかった。 この 550 kV ガスギャプ の適用も世界で初めてであ る。

この外、母線切換用断路器として、アルミパイプ母線との組合せに適 したパンタグラフ 形断路器や垂直中心 1点切断路器も開発され,500 kV 開閉設備に必要な面積を約半分に縮小している。(図 4.)

2.5 保護装置

変圧器保護は、 系統の安定度の向上と内部事故時の変圧器 タンク 強 度と協調をとる必要から、全 トランジスタリレー により高速度、 高感度 化を図っている。また変圧器内部故障のすべてを検出できるよう保

護範囲の異なる リレーを組合せて 2系列化するとともに,常時監視 による自動点検回路を設け、高信 頼度化を図っている。

なお,500 kV 系保護 リレー, 母 線保護 リレーは 275 kV で運転実績 のある信頼性の高いものを使用し た。

2. 6 現地管理

500 kV 工事は、 機器が大形化し 現場もふくそう(輻輳)するので、 現地に工事所を設置して,「500 kV変電所の安全管理の重点施策」 を新たに策定し、作業手順書によ る事前の危険予測とその対策を行 うなど合理的安全管理を行った。 また機器の品質管理に対しては、 高信頼度を要求する主要機器につ いて, 現地組立作業の各 プロセス に おける品質管理項目及び計数的な

管理値を製作者と共同で定め、これにより管理し、設備の 高信頼度施工を図った。

2.7 試験

現地すえ(据)付後の試験は、所期の性能の確認と設計に用 いた定数の検証及び運転保守に関する試験を行った。変圧 器としては、流動帯電の チェック、部分放電試験、移行電圧 測定及び騒音測定を、開閉装置としては、接地系を含めて 低圧制御回路への誘導を検証する ガスギャップ 放電試験, 断 路器開閉試験を、また変圧器3次回路はその故障時しゃ断 器に加わる再起電圧が厳しく、規格(JEC-181)標準では対

応できないため、高性能しゃ断器の適用とともに再起電圧抑制用に サージァブソーバを設けたが、 その効果を実証した。また、保守関係試 験としては、構内電界強度、作業接地に関する試験などを行った。

3. 500 kV 1,000 MVA 変圧器

この変圧器は、単相外鉄形 フォームフィットタンク 構造で製作された。外 鉄形構造は本来高電圧大容量変圧器に適しており、この変圧器にお いても外鉄形の特長を十分に生かした設計及び製作を行った。

3.1 変圧器の定格

主な定格事項は次に示すとおりである。

形 式:外鉄形 屋外用 送油風冷式 負荷時 タップ切換器付き 周波数:60 Hz

容量, 電圧及び バンク 結線:

1次 $527.7/\sqrt{3} \sim R 500/\sqrt{3} \sim 477.7/\sqrt{3} \text{ kV}$ 1,000/3 MVA } 単巻星形 1,000/3 MVA

78.6∼R 70∼63.1 kV 300/3 MVA 三角形 3次

インピーダンス 電圧:

2次

1次-2次間 16.0 % (1,000 MVA 基準) 12.0 % (300 MVA 基準) 2次-3次間 20.0 % (300 MVA 基準) 1次-3次間

 $275/\sqrt{3} \text{ kV}$

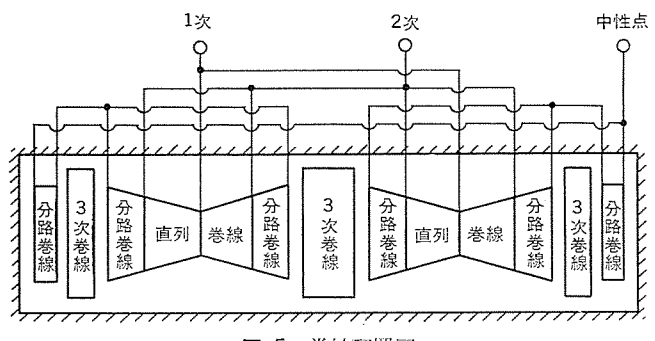


図 5. 巻線配置図

3.2 構造と特徴

主な構造とその特徴は次のとおりである。

3.2.1 巻線及び絶縁構造

巻線は、三菱大容量変圧器の標準である外鉄形交互配置巻線構造である。この交互配置構造は巻線配置の自由度が大きいため、各巻線間の磁気的結合度を最適に選べるので、大容量化に伴う短絡機械力の増大及び漂遊損の増大に対して容易に対処しうること、インピーダンスの選択の自由度が大きいなどの特長がある。この変圧器の3次ィンピーダンスについても零相インピーダンス、3次短絡容量、3次調相負荷接続時の電圧変動等の要因を考え、巻線配置の自由度が大きいという特長を生かし、図5.に示すように分路巻線の一部を鉄心側に配置して3次巻線をはさみ込む構造として、3次インピーダンスを運用に適した値となるよう配慮している。

絶縁構造は、既に多くの超超高圧変圧器に採用して優れた運転実績を有する「つづみ形絶縁構造」を採用している。この絶縁構造は図5.から明らかなように、最も電圧の高い1次線路側の巻線が巻線群の中央部に配置される構造であり、1次線路部が低圧巻線に対向しないので巻線間の主絶縁寸法が縮小され、高電圧部分の電界分布が良くなるので対地絶縁寸法も縮小され、更にコロナ特性に優れているなど超超高圧変圧器に適した絶縁構造と言える。

次に中性点についてみると、国内では 500 kV 系統に接続される変圧器は、一般に中性点直接接地で運用されるので絶縁階級は 30~60 号程度 であるが、この変圧器は将来の フロート での運用を考慮して 80 号の絶縁設計がなされている。

3.2.2 負荷時タップ切換器

この変圧器は、負荷時において1次側電圧を調整するために、中性点に抵抗式 MR 形負荷時 タップ切換器を付属している。タップ切換器に流れる電流は約1,100 A となるので、図5. に示す4並列回路を2つの独立回路に分けて電流を1/2に分流させ、3相器用負荷時タップ切換器の3セクタの内の2セクタをそれぞれの回路に独立して接続している。

3. 2. 3 低騷音化対策

変電所周辺地域の騒音規制を満たすため、次のような低騒音化対策が施された。変圧器本体については、コンクリート防音建屋に収納して騒音低減を図っている。 また今1つの騒音源である冷却装置の ファンについては、冷却扇の回転数を下げて発生騒音の低減を図るとともに、更に効果的に騒音低減を図るため ユニットクーラー の前面に防音風胴を取付けている。 その他 コンクリート 防音建屋の油配管などが貫通する部分は、変圧器側から建屋側への振動伝達を低減する構造にするなど、総合的な騒音低減を図っている。 据付状態を図 6. に示す。

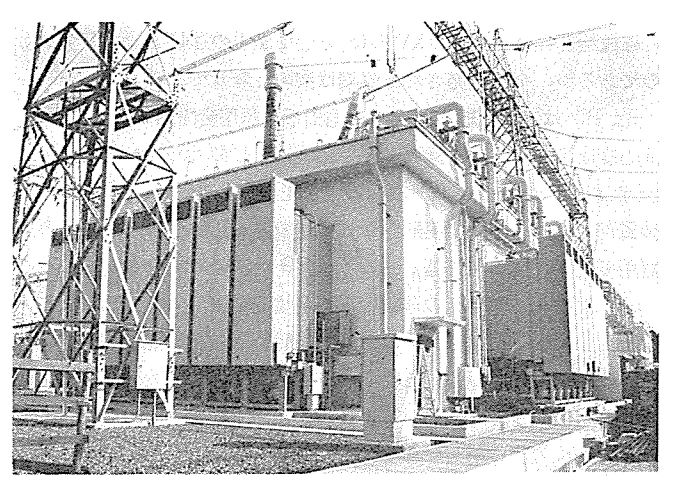


図 6. 北部変電所単相 500 kV 1,000/3 MVA 単巻変圧器

3. 2. 4 バンク容量 1,500 MVA への増強

3.2.5 耐震設計

最重要系統で運用される変圧器という観点から、0.3 G 共振正弦3 波 (安全率 1.2) の地震 (1~10 Hz) 及び静的水平加速度 0.5 G という厳しい耐震条件が考慮された。変圧器本体は剛性の高い構造物であり、共振などで特に問題となることはない。しかし ブッシング については、変圧器本体が建屋内に収納されるために ブッシングポケット 部が長くなり、共振周波数が基礎と本体系の地震に対する ロッキング 周波数に近づくので耐震上不利になる。 そこで ブッシングポケット 部の補強を効果的に配置して耐震強度の増強を図り、十分な安全率を確保できるよう考慮した。

3.2.6 輸 送

この変圧器は超超高圧大容量であるので輸送寸法が大きく、トンネルなどの制限寸法をクリアしようとすると長さ方向の寸法が増大して輸送が苦しくなるが、3.2.1節に述べた絶縁構造の特長により合理的な寸法縮小化を図った。

4. 開閉装置

4.1 500 kV 回路用開閉装置

500 kV 回路用開閉装置として, 線路用及び母線連絡用の複合開閉装置,変圧器 1 次用しゃ断器及び変圧器保護用避雷器を納入した。主要構成機器の仕様と定格事項を表 1., 複合開閉装置の据付状況を図 7. に,その内部構造を図 8. に示す。

複合開閉装置は、従来のしゃ断器、断路器、変流器及び計器用変圧器 (PD)等の単体機器を組合せ配置した場合に比べ、所要面積が著しく縮小されるとともに、充電気中露出部分がブッシング引出部分のみに限定されるなど信頼性の高い機器構成になっている。また、断路器と接地開閉器とに相互に機械的インタロックを設けるとともに、線路用の接地開閉器には、送電線の誘導電流開閉能力を持たせている。

構成機器は、既に 550 kV GIS として多くの運転実績を有するものであるが、今回開発された要素は次のとおりである。

ガス PD は、増幅器と組合せる増幅形計器用変圧器 (アンプ PD) の入力変成部を構成する機器で、絶縁媒体として SF₆ ガス を用いた主コンデンサ と分圧 コンデンサ 部によって分圧された電圧を、 共振形変成装置部へ導き、絶縁変圧器を介して増幅器へ出力する コンデンサ 形計器用変圧器 (PD) である。この ガス PD は次の特長をもっている。

- (1) 検出部は、多くの運転実績を有する従来形 PD 方式である。
- (2) コンデンサ としては、 従来の油絶縁方式に替え絶縁特性の優れた SF₆ ガス 絶縁 コンデンサ としている。したがって、長期間の劣化がなく高い信頼性を有しているとともに、 静電容量の経年変化がなく、しかも温度変化に対しても極めて安定した コンデンサ 分圧が得られる。
- (3) 高圧回路と低圧回路とは、絶縁変圧器により分離されているので外来 サージに対して増幅器などの保護が十分行われる。

ガスギャップは、SF₆ ガス 中に 1 対の電極により構成される ギャップを収納した ギャップ本体と、接地側絶縁引出部とその保護装置、及び動作状況を記録する放電度数計により構成されている。従来の気中保護ギャップの放電電圧 - 時間特性 (V-t 特性) は短い時間領域で立上がっている。これに対して ガス 絶縁機器の V-t 特性は、気中絶縁機器に比べ平たん(坦) なため、引込み至近端への近接電撃による急しゅん(峻) な侵入 サージに対しては保護が困難な場合が考えられる。

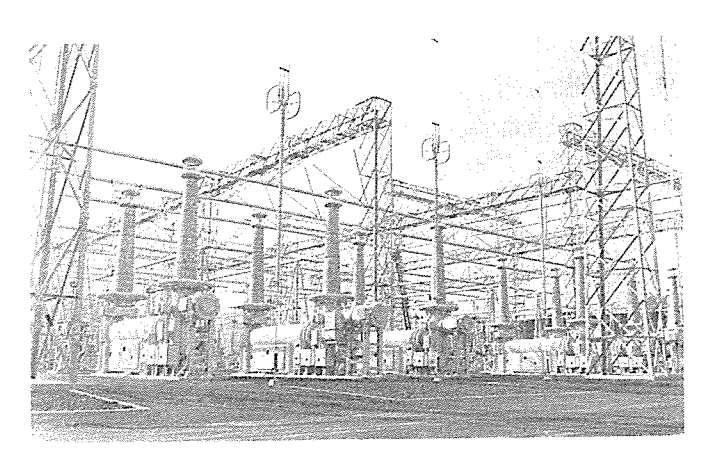


図 7. 550 kV 複合開閉装置 (線路用)

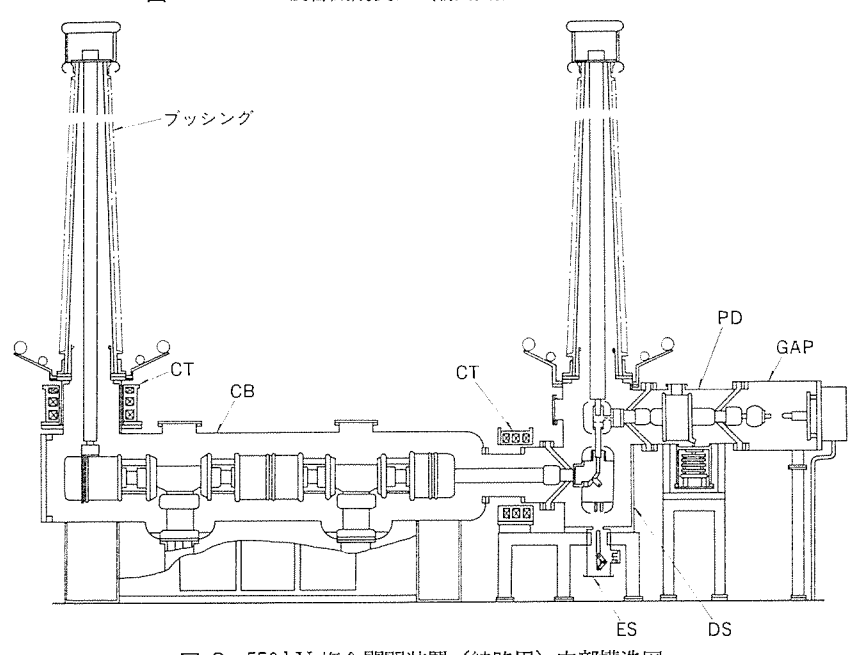


図 8. 550 kV 複合開閉装置 (線路用) 内部構造図

表 1. 主要構成機器の定格

		1次回路用	2次回路用	3 次回路用	
定	格電圧	550 kV	300 kV	84 kV	
定	格電流	4,000 • 2,000 A	4,000 A	3,000 • 1,200 A	
定木	各短時間電流	50 kA·2秒	40 kA・2 秒	31.5 kA·2 秒	
絶	緑 階 級	500 号 H	200 号	70 号	
耐	霞 強 度	0.3 G 共振	正弦3波に対して安全	率 1.2 以上	
SF	ガス圧	CB=5, GA	CB=5, GAP・LA=3, その他=4 (kg		
L	定格しゃ断	50 kA	50 kA	31.5 kA	
を断	電流・時間	2サ-	イクル	5サイクル	
25	操作方式	油旺	操作	空気操作	
変	流器	普通形・			
ガジ	スプッシング	275-1			
断路	電 流開閉能力			STr 負荷電流及 び励磁電流	
25	操作方式	空気操作		空気操作	
接	電 流	29 kV 12 A	静電誘導		
地開	開閉能力	18 kV 370 A	電磁誘導		
開器	操作方式	空気操作又は手 助操作		手動操作	
P D	定格電圧	$\frac{550 \mathrm{kV}}{\sqrt{3}} / 110 \mathrm{V}$		$\frac{77kV}{\sqrt{3}} / \frac{110V}{\sqrt{3}} / \frac{110V}{3}$	
P T	定格負担	3 VA		200/100 VA	
1	誤整階級	1.5 級		1.0/3 G 級	
÷"	V-t 特 性	図 9. 参照			
ヤッ	電 流	100 kV 67 A	静電誘導		
ブ	消弧性能	12 kV 1,150 A	電磁誘導		
P.S.	定格電圧	420 kV	266 kV	98 kV	
33	動作資務	10 kA 78 μF	10 kA	50 μA	
9.0 66	消弧方式	SF6 ガス消弧式	永久磁	石消弧式	

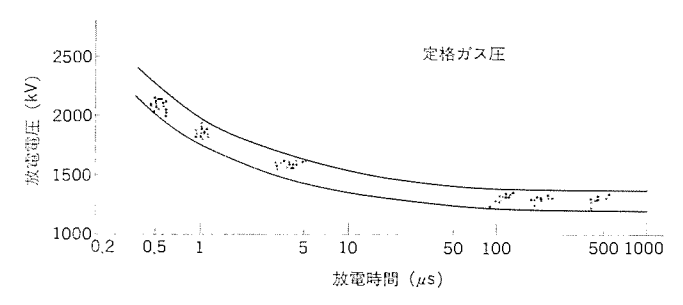


図 9. 550 kV ガスギャップ 放電電圧 - 時間特性

ガスギャップ はこの対策として、従来の気中協調 ギャップ に代わって新たに開発されたもので、 急峻波領 域においても ガス 絶縁機器との絶縁協調を可能とする放電特性を有している。図 9. に 550 kV ガスギャップ の V-t 特性を示す。ガスギャップ は次の特長を有している。

- (1) ガスギャップ の電極には グラファイト を使用しているため、放電後の短絡電流の熱 エネルギー に対して電極の損傷が極めて軽微であり、多数回動作に耐える。
- (2) 多重雷により再閉路無電圧時間中に ガスギャッ プが放電した場合,健全線路からの誘導電流を再閉 路前に確実に消弧できる。
- (3) 送電状態で近接雷により ガスギャップ が放電し 故障電流が流れた場合にも、しゃ断器で故障電流を 除去した後健全線路からの誘導電流を確実にしゃ断 できる。
- (4) ガスギャップが放電した場合に、放電回数の計数

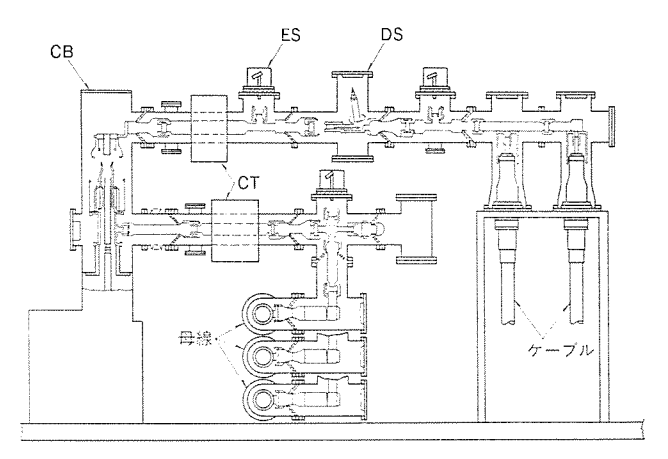


図 10. 84 kV ガス 絶縁開閉装置 (MTr ユニット) 内部構造図

と続流電流の有無を表示する動作表示器を付属させている。この制 御回路は ガスギャップ 放電時の雷 サージ が低圧制御回路に侵入すること を防止するため、無電源方式を採用している。

4. 2 500 kV 変圧器 2 次回路 (275 kV) 用開閉装置

275 kV は既設の開閉設備があり、今回は変圧器用 300 kV タンク形ガス しゃ断器及び変圧器保護用避雷器を納入した。 構成機器の仕様と定格事項を表 2. に示す。

4. 3 500 kV 変圧器 3 次回路 (70 kV) 用開閉装置

84 kV 開閉装置として,変圧器用しゃ断器,所内変圧器用負荷断路器,分路 リアクトル 回路用断路器及び ケーブル 終端部を一括し,絶縁媒体として SF6 ガス を用いた ガス 絶縁開閉装置 (GIS)と,変圧器防音建屋上に設けた変圧器保護用避雷器,計器用変圧器 (PT) 及び再起電圧抑制用 コンデンサ を設置した。

変圧器 3 次は、単相変圧器から ケーブル で引き出し GIS で三角結線し、GIS から分路 リアクトル、所内変圧器への引き出しも ケーブル としているため、70 kV 回路の地上設備は充電気中露出部のない構成となり、縮小化と信頼性及び安全性の高いものになっている。主要構成機器の仕様と定格事項を表 1. に、GIS の変圧器 ユニットの内部構造図を図 10. に示す。

4.4 検証試験

500 kV 系統に接続される重要な設備であることを考慮し、種々な 検証試験を工場及び現地にて実施した。主な試験内容とその結果に ついて述べる。

4.4.1 耐鬱試験

GIS は、重心が低く本来耐震性能は優れている。しかし 500 kV 級の GIS では、重量的にも寸法的にも大きくなり、特に ブッシングで 主回路を引き出す構造の GIS では、その固有周波数が低下し地震の卓越周波数範囲に入る場合がある。今回、550 kV 実機による下記加振試験を実施し、十分な耐震強度を有していることを確認するとともに、従来から行っている立体骨組構造物の動解析 プログラム による計算結果が実加振 データとよく一致し、計算による耐震性能の検証が十分な妥当性を有することを確認した。加振試験状況を図11. に示す。

供試器: $550\,\mathrm{kV}\,$ ガス 絶縁形 ブッシング $(8\,\mathrm{m}\,$ 研管) 付断路器 試験内容:

(a) 共振特性試験

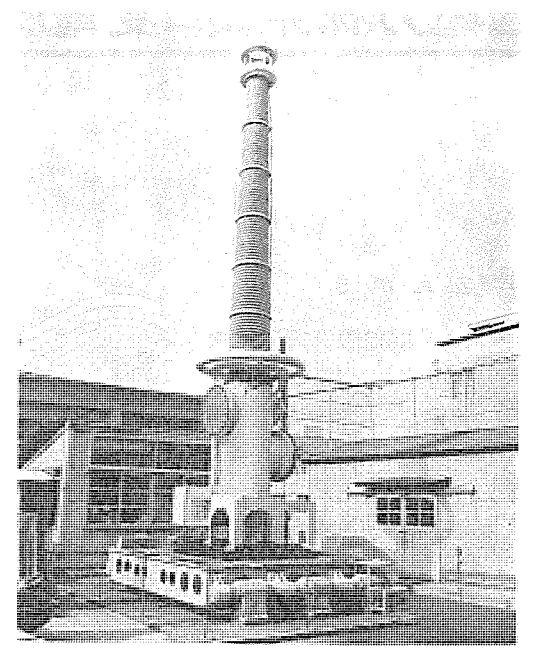


図 11. 550 kV ガスブッシング (8 m 碍管) 付断路器 加振試験

- (b) 0.3 G 共振正弦 3 波加振試験
- (c) エルセントロ 地震波加振試験
- (d) 宮城県沖地震波加振試験
- (e) 上記地震波における補助継電器類の不動作確認試験 なお 550 kV しゃ断器についても、消弧室等 タンク 中身部分につい て実加振試験を既に実施し、十分な耐震性能を有していることを確 認している。

4.4.2 絶縁協調試験

 $550\,\mathrm{kV}$ 複合開閉装置には,新しい保護装置として ガスギャップ を適用している。工場において完成状態の複合開閉装置に 0.5, 1, $5\,\mu\mathrm{s}$ で ガスギャップ が放電する雷 インパルス 電圧を印加し, 図 9. の V-t 特性の確認を行うとともに絶縁協調が成立することを確認した。

4.4.3 低圧制御回路への誘導サージ測定

充電された複合開閉装置の断路器,接地開閉器等で残留電荷の開閉操作を行う場合,接地 g_{2} 20,架台等に高周波電流が流れ,瞬時的に g_{1} 45 が発生する。この現象については,従来より工場での実験や発変電所における現地実測で g_{1} 50 を集積し,多くの実績が示すとおり運用上問題のないことを確認している。今回更に, g_{1} 50 が展生の条件を含めて,発生 g_{1} 50 の低圧制御回路への誘導を現地実測した。その結果,低圧制御回路への侵入 g_{1} 5 は,数 g_{1} 6 が出来のできる時間 g_{2} 6 が表する瞬時現象で,その大きさは機器側で g_{2} 8 ででは衰する瞬時現象で,その大きさは機器側で g_{3} 8 が、配電盤側で g_{2} 7 で問題ないことを確認した。

5. む す び

中部電力(株)の新しい基幹系統となる 500 kV 昇圧工事によって基 幹系統は一段と強化され、また広域運営の拡大にも大きな役割を果 たすことになった。

終わりに、北部変電所建設に尽力された関係各位に対し、とこに厚く感謝の意を表する次第である。

中国電力株東山口変電所の新設工事

岡本栄智*·佐川 勤*·祖開克二**·左近一郎***·中川秀人*

1. まえがき

遠隔大規模化する電源開発及び広域開発 に伴う電力融通の増大に対処し、電力の 安定供給確保のために、昭和 48 年以降 500kV 送電が東京電力(株)、関西電力 (株)で実施されてきた。

中国電力(株)の 220 kV 送電による送電能力は、昭和55年が限度となり、これに対処するため中国地方を縦断し、九州電力(株)北九州変電所と関西電力(株)西播変電所を結ぶ 420 km に及ぶ500 kV 送電線の建設を進めた。また、この500 kV 送電線と現在の220 kV 系統を連絡し電力供給の拠点となる変電所として、図1.に示す5つの変電所を計画し、そのうち東山口、新広島、新岡山の変電所を建設した。これらの完成により昭和55

年 4 月に,西地域 500 kV 連系線系統の運転が開始された。 なお, 東岡山,新山口変電所はそれぞれ昭和 56 年, 58 年に運転開始する 予定である。

てとでは, 今回完成をみた東山口変電所の建設工事, 構成機器などについて紹介する。

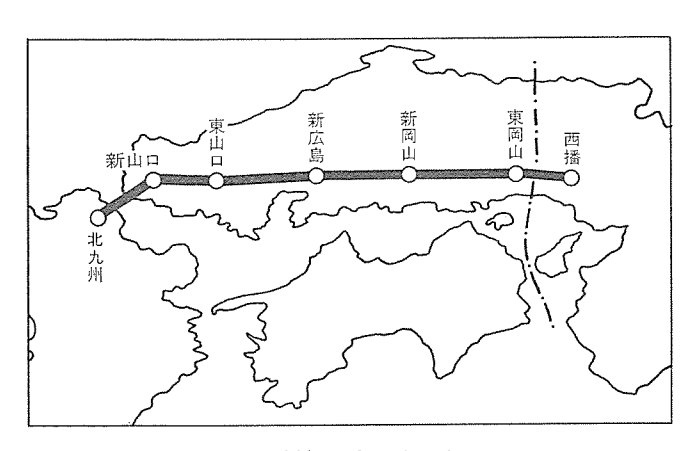


図 1. 西地域 500 kV 連系線系統図

2. 変電所建設工事

500kV 変電所建設に当たっては系統の高信頼度化を最重点とし、母線方式、制御保護方式、機器の信頼性の向上をはかり、異常時、災害対策に万全を期すとともに系統運用の融通性、経済性の向上にも注意をはらっている。また少数の要員で運転・保守・管理する必要から機器構成の単純化、装置の自動化、作業の機械化などに適した新設計、新技術を織り込んだものとしている。図 2. 図 3. 図 4. に東山口変電所の平面図、単線結線図、機器配置図(断面図)を示す。

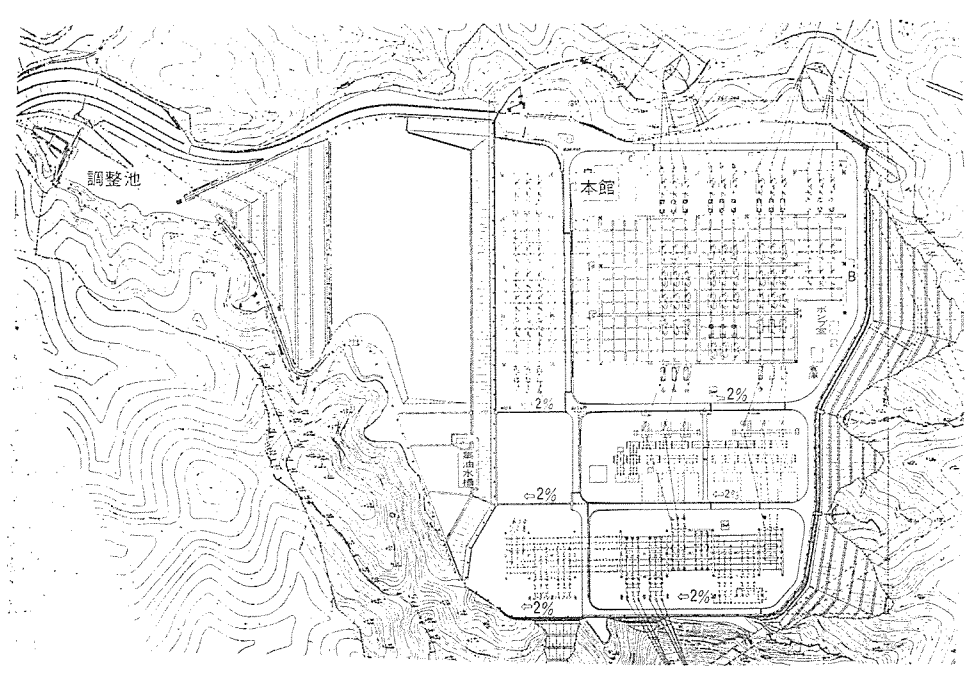


図 2. 東山口変電所平面図

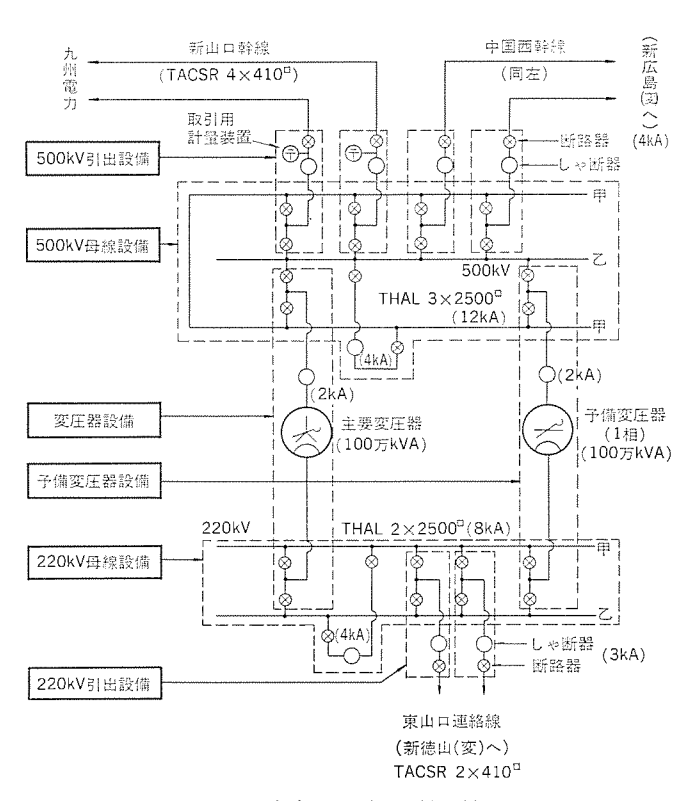


図 3. 東山口変電所単線結線図

2.1 変電所の規模

東山口変電所の最終設備規模は、主変圧器 4 パンク、500 kV 送電線8回線、220 kV 送電線10回線程度である。敷地有効面積は将来の

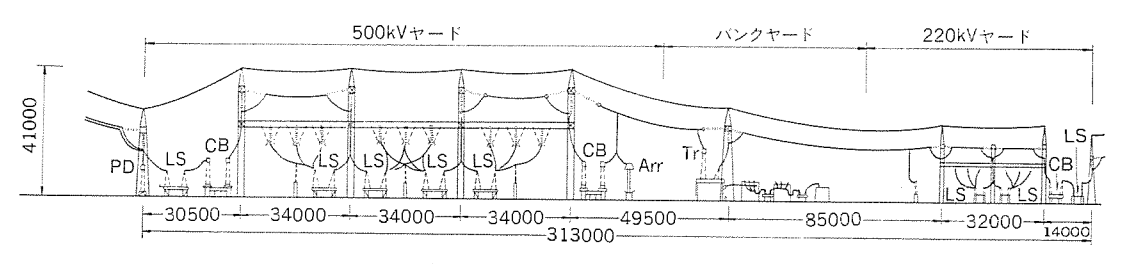


図 4. 東山口変電所機器配置図

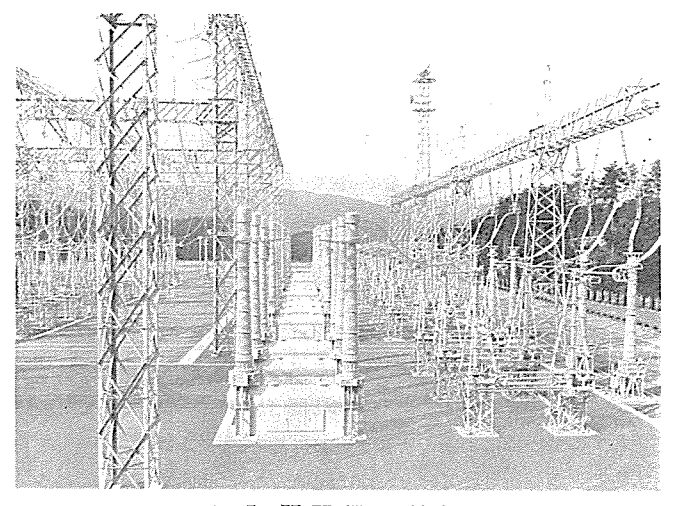


図 5. 開閉機器外観

増設分も含め 11万 m² ある。これ以外に、土地造成時の切取り、盛土の法面積や、大雨時のこう(洪)水対策用の調整池を設け、更に、環境調和及び防災のため緑地を確保して総面積 27万 m² となっている。

2. 2 環境対策

変電所の立地は山間部であるが将来周辺の開発を考慮し、変電所境界で騒音規制法の第2種相当の45 to 以下になるように、変圧器、分路リアクトルなどに低騒音仕様を付して、対策が行われた。また、万一変圧器事故による絶縁油の流出に対しても、地下に浸透したり、変電所構外に流出しないように変圧器周辺に油流出防止堤を設け、これにつながる集油水そう(槽)を設置し構外への油流出防止対策をも完備している。

2.3 変圧器への配慮

変電所の変圧器容量は 1 パンク 1,000 MVA とし、単相単巻変圧器で 負荷時 タップ 切換装置内蔵形である。 外形的には低騒音化と変圧器 事故時の油噴出による被害を防止するため、 2 重 タンク 構造とし、 放圧管の出口を 2 重 タンク 内に引き入れて油が 外部へ噴出しない構 造とした。

変圧器事故により万一変圧器火災となった場合でも積極的に完全 消火を行うために、変圧器2重タンクの内外を水噴霧で覆う水消火 装置を採用するとともに、隣接変圧器への火災拡大を防止するため 相間水幕装置を設置した。また、1パンクで運転開始する東山口変 電所は、万一の変圧器事故にも早期に電力供給を確保するため、予 備の変圧器・しゃ断器・避電器を各1相分設置し、速やかな事故復 旧ができる機器構成とした。予備機器への切換えは作業の容易さ、 接続の確実さ、経済性より主回路の切換えと同様に機器制御回路も 接続変更する方法で、3日間程度で運転が再開できる設備とした。

2.4 母線方式

500 kV 母線方式としては、系統運用面、制御保護方式、運転保守、

使用環境,経済性などから2重母線4ブスタイ方式の甲乙甲両面引出母線配置を採用し、将来の変電所増設を容易にした。運開時は1元ック4回線,1ブスタイである。母線容量は12kA,約

10,000 MW の容量とし,THAL 2,500 mm², 3 導体を採用した。

2.5 開閉機器

構成機器は多くの運転実績を有し信頼性の高い、経済的な コンベンショナルタイプ の機器を採用し、使用環境条件、用途に対応した機器構成とした。図 5. に開閉機器すえ(据)付外観写真を示す。

基幹系統のしゃ断器は、油浸紙 コンデンサブッシング を使用し、ブッシング 変流器採用可能で、点検・保守 が比較的簡単な タンク 形単圧式 ガス しゃ断器に統一し、採用した。

断路器は、水平1点切形で500kV用は1本の支持がい(碍)子と3方向の補強碍子を引張り形とする構造にした。また、導電部を銅合金からアルミ合金としたり、架台の簡素化を図り、補強碍子の支持碍子方式より約3割軽量化し耐震性能の向上を図った。

2.6 保護装置

500 kV 送電線の保護方式は各相位相比較方式を採用し、在来設備と 比べ一段と信頼度の向上を図っている。監視制御装置も自動化、制 御系の2重化を進め、保護装置自体の異常の有無を自動監視(点検) する機能を付加し、装置全体の信頼性を向上させた。

2.7 工事及び試験

地震による変電機器の被害を防止するため、敷地造成にあたっては 盛土部を大形転圧振動 ローラで押し固めていく転圧整地工法 を 採用 した。この結果、 基礎上での震度は基盤の震度より 1.2 倍以下とな り弾性波速度も 300 m/s 以上となる強固な地盤となった。これによ り、機器の設計震度の 0.3 G 正弦 3 波振共振の耐震性能で通常予想 される地震に対して十分安全な基礎となった。

また,造成工事の経済性,降雨時の排水等を考え,機器の点検保守に支障のない範囲で地形に応じ2%の傾斜整地とした。

機器据付けに当たっては、現地に建設所を設け指揮系統の確立と 安全監督を行うとともに、作業手順書の完備とチェックを徹底し現地 作業の品質管理向上を図った。

変電所完成に伴い各種検証試験を実施するとともに,500 kV 変電所として構内の静電誘導電圧の測定,外部コロナ雑音測定,騒音測定等をも実施し,それぞれ満足すべき結果を得て500 kV 変電所として適切な設計がなされていることが裏付けされた。

3. 500 kV 1,000/3 MVA 単巻変圧器

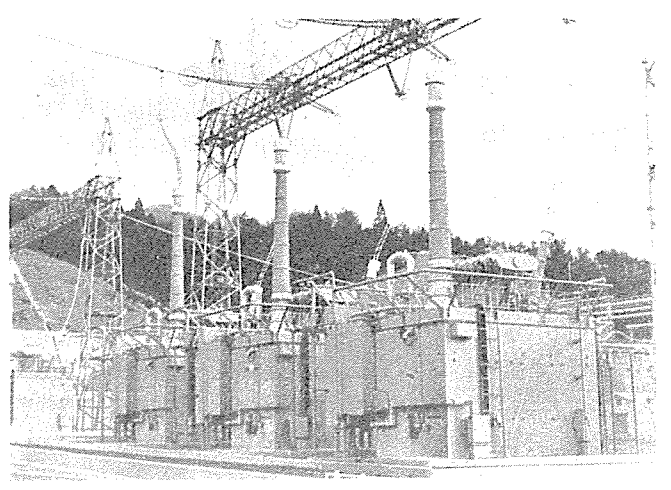
この変圧器は, 中国電力(株)初の 500kV 系統と従来の基幹系統である 220kV 系統を連系する単巻変圧器であり, その概要を述べる。

3.1 変圧器の定格,特徴

主な定格事項は図 6. に示すとおりであり、 1次及び 2次がそれぞれ有効接地系につながることから、主巻線自己容量が小さくて済み、かつ高効率が得られる単巻変圧器とされている。 また負荷時 タップ 切換器じか(直)付式で、中性点 タップ切換 方式 により 1次電圧の±5%調整が可能である。

3.2 変圧器本体

この変圧器は外鉄形変圧器であり、その特長をいかんなく生かした



変圧器の定格

形 式:外鉄形,屋外用,送油風冷式,低騒音68ホン, 負荷時タップ切換器付き

周 波 数:60 Hz

電圧,容量:

- 1 次 527.215~R 500~477.215/√3kV 1,000/3 MVA
- 2 次 220/√3kV 1.000/3 MVA
- 3 次 69.123~R 63~57.873 kV 300/3 MVA

図 6. 東山口変電所納め 500 kV 単巻変圧器

設計とされている。 各巻線は外鉄形く(矩)形平板 コイル からなり,水平に配置した鉄心脚部に対して端から順次, 3次巻線,タッラ巻線,分路巻線,直列巻線と配置し,更にこれと全く同等の並列巻線群を対称に配置した基本構成で,これを同一鉄心脚に2組設けて単相ユニットの全巻線が形成されている。このように全巻線が交互配置で同一鉄心脚に巻かれていることから,例えば、タッラ巻線を別脚に配置した場合に生じるような巻線利用率の低下がなく、変圧器本体がコンパクト化されて据付所要面積も縮小できるとともに、本体輸送寸法も長さが約5.7mと短く、大形変圧器輸送上問題になりがちな道路輸送を容易にしている。

最近の高電圧大容量変圧器の分野における技術開発の成果として 技術的課題に対する数値解析面での飛躍的な進歩があげられるが、 この変圧器製作に当たっても開発成果を駆使して個別オーダー仕様に 対応した入念な設計検討がなされている。すなわち代表的な項目に ついて示せば、絶縁問題における交流電界及び雷 インパルス 印加時の 巻線内電位振動,移行電圧の正確なは(把)握,磁界解析にもとづく 漂遊損の低減、熱解析による局部温度上昇の把握、短絡強度試験結 果の反映、流動帯電現象の解明等があり、個々の問題検討結果をふ まえて総合的な信頼性の確保がなされている。ここでは解析結果の 例として、図7. は各種巻線内電位振動解析のうち500kV線路端子 に雷 インパルス 印加時の巻線各部の最高電位上昇計算例を示す。境界 線における磁界解析結果は外箱内面等に設ける磁気シールド寸法決定 に使用されるが、その他任意の巻線内外における磁界計算が可能で あり、磁界解析により漂遊損の大半を占める導体内漂遊損失を大幅 に低滅し、電界、電位振動の把握による合理的な巻線絶縁の適用と 相まって効率が向上し、 定格時を例に示せば 99.79% の高い値が得 られている。

3.3 外部関係

この変圧器は単相 ユニットで 68 ホンの低騒音仕様であり,変圧器本体は全面鋼板製防音壁で覆ってしゃ音し、冷却器は低騒音形送油風冷式冷却器が使用された。 冷却器は溶融亜鉛めっきされた全鉄製 プレートフィン 形で、 信頼性向上を背景に常設予備が不要のため常用 6 台

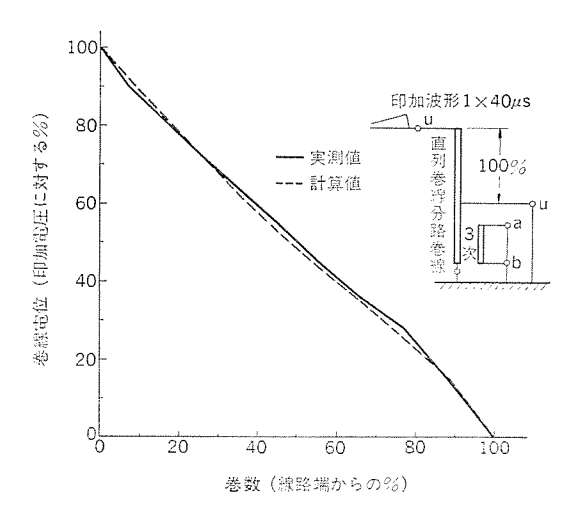


図 7. HV 線路端子雷 インパルス 電圧印加時の 直列巻線内最高電位上昇

のみであり側面1列配置が可能になっている。

宮城県沖地震における被害にかんがみ耐震性能が重要視されているが、この観点から基礎上の本体防振 ゴム は設けられていない。 ブッシング については地震に対する応答計算を行って十分な安全率を有することが確認されており、特に問題になる 500 kV ブッシング については実器で固有振動数を測定して計算値と合っていることが確認されている。

機器の重要性から変圧器保護 リレー 関係はすべて 2 重化され て お り,非常時の過負荷監視を容易にするため,計算機による過負荷監視装置が導入されている。

変圧器の製作にあたっては信頼性確保が安定した大電力輸送に欠かせぬ テーマ であることを念頭に、 蓄積された技術を反映させて性能の向上につとめた。また工作面を含めて万全を期して製作されており良好な試験結果が得られた。

4. 開閉機器

500/220/66 kV 各系統に適用した ガス しゃ断器, 遊雷器の定格事項一覧を表 1. に示す。

4.1 ガスしゃ断器

各系統に適用された ガス しゃ断器は、 SF₆ ガス 絶縁複合 開 閉 装 置 (GIS) 用や単体機器として多くの運転実績を有する機器であり、 ガス しゃ断器としての本来の特長を十分に生かした信頼度の高い保守 点検の容易な機器である。以下に、500 kV ガス しゃ断器に適用した 特筆事項について記す。

4.1.1 構造

基幹系統の ガス しゃ断器の ブッシング には、現在千数百本と製作実績の多い油浸紙 コンデンサブッシング を採用し、機器としての信頼性向上を図った構造とした。

九州電力(株)北九州変電所と接続される連系送電線用しゃ断器には、図 8. の内部構造図に示すように ブッシングポケット 部に取引装置用としての計器用変流器 (CT) が内蔵設置されている。この CT は電力需給用計器用変流器として誤差階級が厳しく、高精度、信頼性を確保するために、 タンク 内蔵形構造とした。 また、この CT は500 kV 系統での取引装置として、コンデンサ形計器用変圧器 (PD) と メーターとの組合せで構成され、これらは個々の性能と装置としての総合性能が公的機関の検定により保証されている。

表 1. 東山口変電所納め開閉機器定格一覧

	-	- · »	(四四交电/川)(1)		.F2.
機器	項	Ħ	500 kV 用	220 kV 用	66 kV 用
	形 式		500-SFMT-50	200-SFMT-50	70-SFMT-40 A
	定格電圧		550 kV	240 kV	72 kV
9 <i>j</i>	定格	電流	4,000 A/2,000 A	4,000 A/3,000 A	3,000 A/2,000 A
ス し	定格し	+ 断電流	50 kA 50 kA		40 kA
や	定格し	+ 断時間	2サイクル	3サイクル	5サイクル
Për	再 起	電 圧	1.8 kV/µs	1.0 kV/μs	0.75 kV/μs
22	絶 級	階 級	500 号 H	170 号	60 号
	定格探	作压力	油压 320 kg/cm ²		空压 15 kg/cm ²
	ブッ	シンク	OT 形コンデンサブッシング		ガスブッシング
	形 式		SV-FB-P3形 SF6ガス消弧式	MAM-P6形 酸化亜鉛式	SSV 形 N ₂ ガス封入式
避	定格	電 圧	420 kV	210 kV	84 kV
111	公称总	(電電流			
28		- ジ動作 電容量	78 μ F	50 μF	50 μF
nn.		付 着密度	0.03 mg/cm ² 0.06 mg/cm		0.03 mg/cm ²
取引	1 &	電 流	4,000 A, 2,000 A	誤 差 階 級	0.3 W 級
	2 次	電 流	5 A	準 拠 規 格	JIS • C • 1736
用変流器	定格 2	次負担	40 VA	検 定	官庁検定要

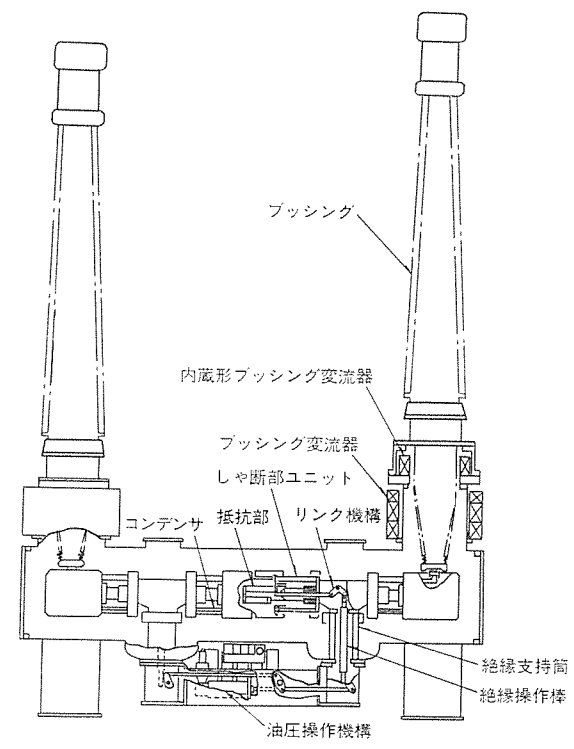


図 8. 500 kV ガス しゃ断器構造図

4.1.2 輸送

タンク 形 ガス しゃ断器本体の輸送は、図 9. のように従来は ガータ 式トレーラ による陸上輸送を基本としていたが、低速運転で約 550 km に及ぶ長距離陸上輸送では交通停滞、それに伴う危険度が増す。それゆえ今回は、輸送上の品質確保のために一部海上輸送を採用した。船への積込み、水切り作業管理指導を十分行うことにより、従来方式より輸送による加振動時間も短く良好な結果が得られた。

4.2 避電器

避雷器は、変電所変電機器の絶縁設計の根幹をなすことから、適切な避雷器の選択、性能の設定が要求される。500 kV 系統用避雷器は SF₆ ガス 消弧式直列 ffャップを有する耐汚損形避雷器を,220kV 系

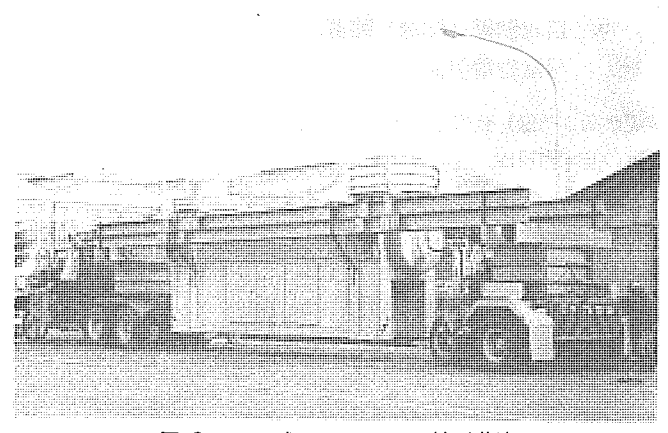


図 9. ガータ式 トレーラ による輸送荷姿

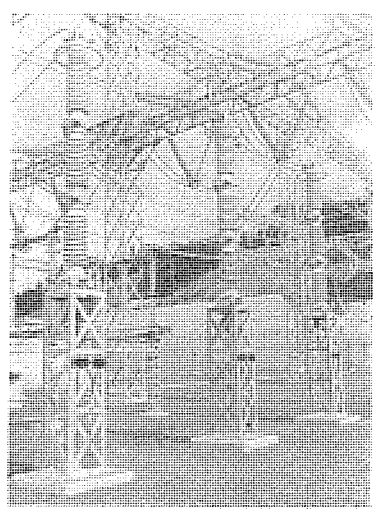


図 10. 220 kV 用酸化亜鉛式避雷器

統には酸化亜鉛を特性要素として用いた直列 ギャップを有さない最新 技術の避雷器を適用した。

4. 2. 1 500kV用 SV-FB-P 3 形避雷器

SF₆ が 消弧による直列 ギャップを有するこの避雷器は、1973年(昭和 48年)に汚損度 0.01 mg/cm² 用標準形の製品化以来 50 相を越える製作実績を有し、特にSV-FB-P 3 形避雷器は JEC-203(1978) 規格による 0.03 mg/cm² 活線洗浄汚損に耐える耐汚損形避雷器であり、耐震性能も 0.3 G 共振 3 波加振において、十分な性能を有することが確認されている。

4. 2. 2 200 kV 用 MAM-P 6 形避雷器

図 10. に酸化亜鉛形避雷器の据付写真を示す。酸化亜鉛形避雷器は,

- (1) 直列 ギャップを有さないことから、急しゅん波過電圧に対して 迅速な応答特性を有し、制限電圧の低減と相まって優れた保護性能 を有す。
- (2) 酸化亜鉛素子の非直線性が優れていることから、無続流となり従来形に比べて吸収 エネルギー が少なくてすむため、多重雷責務の処理に適している。
- (3) 直列 キャップを有さないことから,外部汚損による特性変化が少なく,汚損度 0.06 mg/cm² を越える重汚損地域でも適用でき,活線洗浄も可能である。

など,多くの優れた特長を有し,今後ますます酸化亜鉛形避雷器の 適用分野は拡大されていくと考えられる。

5. 監視制御(記錄)装置, 保護継電装置

監視制御(記録)装置、保護継電装置の計画 設計の基本思想は、高信頼度を確保するため 十分検証され実績のある技術で構成すること にある。当初から監視記録装置が導入される ことも考慮して、制御保護 システム 全体として の協調について特に配慮した。以下に監視記 録装置の概要について説明する。

5.1 設置目的

電力需要の増大に伴い超高圧化が進み,基幹変電所としての500kV系統変電所は,広大な構内設備の巡視点検や複雑化する保護継電装置の動作結果の把握など平常,事故時を問わず,運転員の業務が増大している。このため,ミニコンピュータを用いた監視記録装置を設置し,事故,操作記録,日・月報記録等を自

動化するとともに過負荷監視を付加して運転監視を充実強化し、運 転員の負担軽減を図るものである。

5.2 特 長

 $500\,\mathrm{kV}$ 系統変電所に設置されることを考慮して下記の点に 特 に 配慮した。 5275 構成及び盤外形を図 11.,図 12. に示す。

- (1) 屋外機器(しゃ断器・断路器等)の接点を、いったん補助リレーで絶縁したことにより屋外からのサージの侵入を防止した。
- (2) 屋内機器(保護継電装置等)の リレー 接点を計算機入力 インタフェース 部において フォトカプラ により 高耐圧絶縁を行った。
- (3) 多量の リレー 接点を、 この装置に入力するため中継端子盤を設け、 重故障・軽故障 リレー 等の振り分け処理を行うようにしたことにより事故時のしゃ断器・故障 リレー の組合せ記録の ソフトウェア 処理を簡便とした。
- (4) 将来の バンク 増設, ライン 増設に対して ハードウェア では カード又は カードフレーム 単位の増設で容易に対処可能とし、 ソフトウェア では プログラム を ロジック 部と コントロールワード 部(データ 制御部) に分離して、コントロールワード 部変更だけで対処可能とした。

5.3 機能

この装置には下記の機能がある。

5.3.1 事故·操作記錄機能

系統事故時, 重故障 リレーが動作した場合当該しゃ断器と組合せて 赤字で印字する。また,しゃ断器,断路器及び切換開閉器の操作時, 機器個別に黒字で印字する。

5.3.2 計測記錄機能

送電線の電流,有効電力,無効電力,母線電圧及び変圧器の油温度を,変換器を通してアナログ入力し,工学単位の変換値を,操作卓からの表示要求で数値表示器へ表示するとともに,潮流印字要求により現在潮流として全項目印字する。

5.3.3 日・月報記録

日・月報記録には、4時点記録,定時記録,他社融通実績記録,指定月第3水曜日記録,普通月第3水曜日記録,負荷実績月報等を一覧表で印字する。

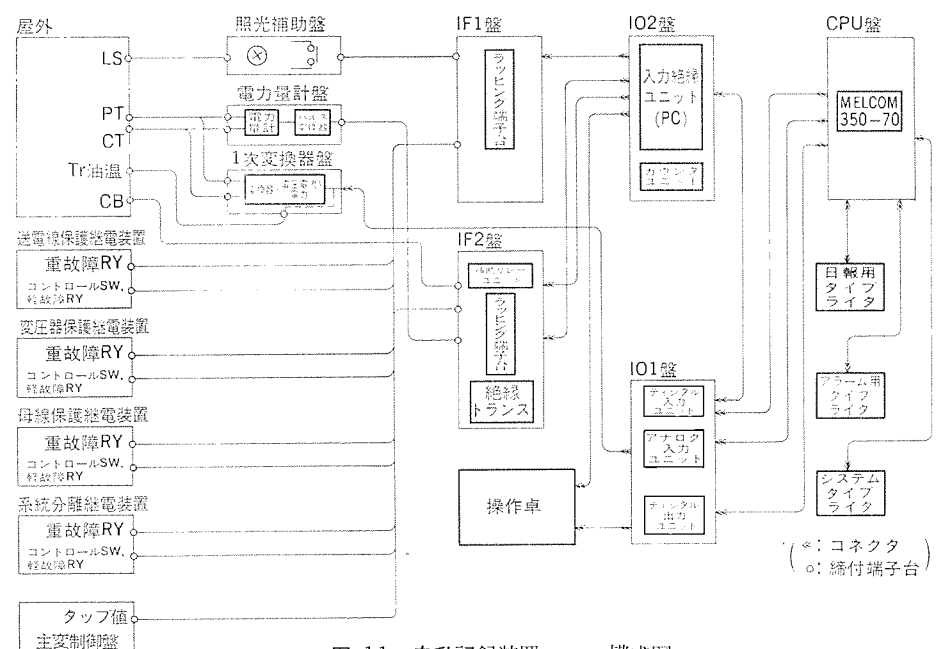


図 11. 自動記録装置 システム 構成図

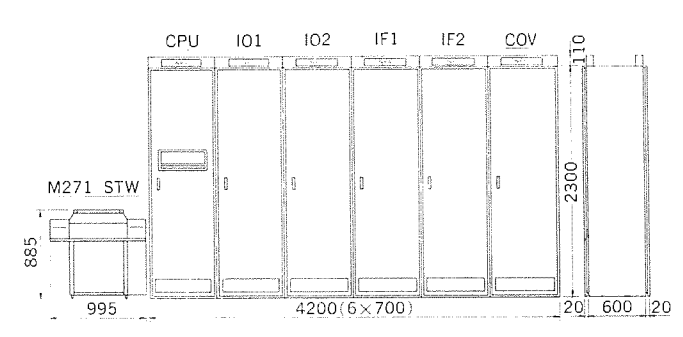


図 12. 自動記録装置外形図

5.3.4 過負荷監視機能

- (1) 超過監視としては送電線電流,変圧器 1次側電流,3次電圧,油温度について操作卓から設定された監視目標値に対する超過の有無を監視し,超過時には操作卓に過負荷発生のランプを点灯 フリッカさせるとともに過負荷履歴印字を行う。監視目標値は全項目,操作卓からの印字要求により,印字される。
- (2) 変圧器過負荷監視としては単巻変圧器の中性点側電流及び冷却器運転台数に基づいて現時点から過去24時間の変圧器寿命損失を計算し、これが全負荷連続運転(全負荷で冷却器全台か(稼)働の運転)した時の寿命損失を超えているか否か監視するとともに、変圧器寿命を損なうことなく運用できる運転許容限度時間を表示する。

6. む す び

以上に述べたように、500 kV 変電所建設に当たって経済性ばかりでなく、運用面や信頼性の面から多くの配慮がなされ、更に環境対策など地域社会への配慮をも盛り込み、 ここに 500 kV 変電所を完成した。

との 500 kV 変電所完成により、 西地域 500 kV 連系線による電力の安定広域運用を可能にし、社会発展に大きく寄与するものと信

終わりに、東山口変電所建設に参加された関係各位に深く感謝の 意を表する次第である。

九州電力株)西九州変電所500kV変電機器

木佐貫 滋*·福田興太郎*·西 英二**·宮本龍男***·木村佑二***

1. まえがき

大電力の安定供給のため、九州地区においてもこれまで丹念に建設してきた 500 kV 送電系統が 1980 年代に入って一斉に実用化される。それとともに唐津・玄海・松島などの発電所を有する西部電源系の重要拠点である西九州変電所が 500 kV 変電所として活躍を開始した。

これまでの豊富な実績に基づいた 500 kV の優れた変圧器技術, ガス 絶縁開閉装置 (GIS) 技術を十分反映させるとともに, 今後の変 電機器の方向を示唆するともいうべき画期的新技術を適用し, 信頼 性の向上, 保守の省力化, 社会環境との調和性の向上, 経済性の改 善, 機器の小形化, 用地の有効利用などを目指して完成したもので ある。

1 1/2 LS 母線方式, 架空主母線の立体 (2 段) 配置方式, 主要変 圧器と周辺 GIS との直結方式などの採用, GIS への酸化亜鉛形避 雷器・増幅形計器用変圧器の適用, 更に異常時の種々の対策法の導 入など多数の工夫がなされた。

以下, これらを反映した西九州変電所の 500 kV 変圧器及び複合 形 GIS についてその概要を紹介する。

2. 500 kV 変電機器の構成

西九州変電所の 500 kV 変電機器は主要変圧器 2 バンクと複合形 GIS (変圧器引出用 2 組, 送電線引出用 2 組, 母線連絡用 1 組) からなり,変圧器 ヤードと開閉装置 ヤードに分割配置し,両 ヤード間を架空線で接続している。 変圧器 ヤードには主要変圧器及びその保護用避雷器を中心とした周辺機器を配し そのほかを開閉装置 ヤードに配置

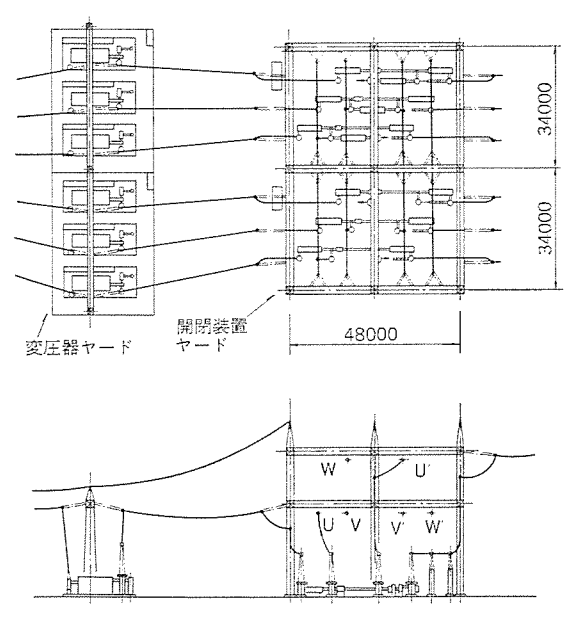


図 1. 西九州変電所 500 kV 変電機器の構成配置

している。(図 1., 図 2.参照)。

開閉装置に 11/2 LS 母線方式の複合形 GIS を、架空主母線の構成にL形 2 段配置を、変圧器とその周辺機器との接続に直結構造をそれぞれ採用したが、これらの相乗効果によって一層変電所の合理的構成が達成されたといえる。

なお,西九州変電所は将来4 %20,500 kV 引出回線数 10 回線とする計画で,これらの増設工事を考慮してある。

2.1 1 1/2 LS 母線方式の採用

500 kV 系統変電所の母線方式には 1 1/2 CB 方式, 2 重母線 (4 ブスタイ) 方式, 2 重母線 1 1/2 LS 方式などが挙げられるが, 建設用地が少なくてすむこと,経済的であること,運転操作上の利点が大きいことなどを総合的に評価・考慮して 1 1/2 LS 方式を採用した(1)。なお,将来,母線連絡ユニット,母線区分ユニットを設けることにより 4 ブスタイ方式へと移行することも可能である。

2.2 主母線の立体配置構成の採用

主母線は架空母線であるが、立体配置母線方式を採用したため、平面配置母線方式に比べ、開閉装置 ヤードの奥行方向の寸法を1ュニット当たり約16mを大幅に縮小することが可能となった。また、これらの立体配置架空主母線に対応すべく、GISの配置においても、各相を主母線位置にあわせて、順次ずらしているのでGISの接続部母線長さを縮減できた。このように主母線の立体構成は経済的に有利であるとともに、構内用地の有効利用にも貢献している。

2.3 母線連絡ユニットと他のユニットとの一体化

母線連絡(ブスタイ)ユニットの設置のために特に専用ユニットとしてのスペースを設けずとも、他のユニット内に配設できるため、変電所の開閉装置ヤードの幅方向の縮小が可能となった。更に、これにより、母線連絡ユニット用の気中引出ブッシングも標準ユニットのそれと共用になるため、ブッシング使用数を縮減できる。一般に500kVのGISをハイブリッド形にした場合、ブッシング本数が多いという欠点を有するがこの欠点を補うのに役立っている。

2. 4 変圧器と変圧器周辺 GIS との直結方式の採用

変圧器 ヤードの同一基礎内に変圧器 とその保護用避雷器などの周辺 GIS を配置している。このため変圧器と GIS の相互間の不等沈下

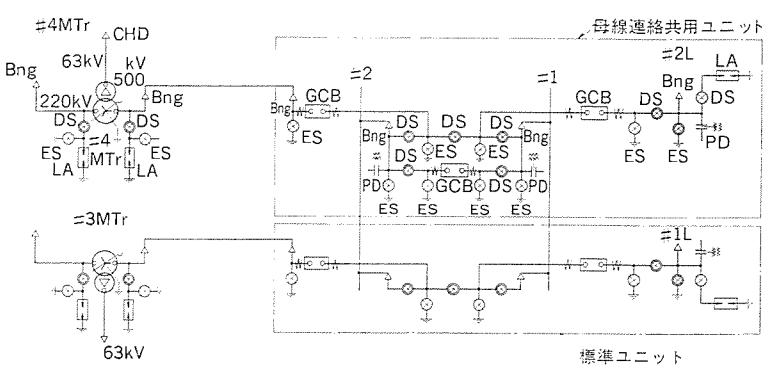


図 2. 500 kV 主回路単線結線図

想定量を微量に抑えることができ直結構造を極めて簡素化することが可能になった。更に、開閉装置 ヤードの GIS の変圧器引出部の構造が簡素化できた。

2.5 GIS 配置構成に適した機器の適用

送電線引込口の避雷器に小形で特性の優れた酸化亜鉛式を,送電線及び母線用の計器用変圧器に増幅形を,更に断路器に縦形や直線引出形のものを適用することにより,GISの大幅な簡素化が実現できた。また,しゃ断器は,その操作部をしゃ断器本体の下部に設けているため,すえ(据)付面積を最小にでき,GISに極めて適した構造であり,更に,GIS全体の縮小化に適するようしゃ断器の電流引出し方向に関して直線形と直角形の両方式を適時使い分けしている。

3. 500/220 kV 1,000/3 MVA 単巻変圧器

この変圧器は 500 kV 及び 220 kV 側とも変圧器 周辺に、断路器、 避雷装置などの f2 絶縁開閉装置類を直結した構造であり、架線と の接続は屋外用 SF₆ f2 絶縁形 ブッシング によって行っている。また 主変圧器と負荷時電圧調整器を同一防音 タンク内に収納するととも に、送油風冷式冷却器として防音風胴付低回転 ファンを採用し、全 体が低騒音仕様 65 ホン以下(最大励磁率 タップ 1 における値)に製 作されている。以下その仕様、構造、特徴について述べる。

3.1 変圧器の定格

主な定格事項は次に示すとおりである。

形式:外鉄形,屋外用,送油風冷式,負荷時 タップ 切換器付き, 2 重 タンク 方式低騒音形,無圧密封方式

周波数:60 Hz

電圧,容量及び バンク 結線:

1 次 F 527.215~R 500~F 477.215/ $\sqrt{3}~{\rm kV}$

1,000/3 MVA } 単巻星形

2次 $220/\sqrt{3} \text{ kV}$

 $_{1,000/3~{
m MVA}}
brace$

3次 F69.123~R63~F57.873 kV

300/3 MVA 三角形

インピーダンス 電圧 (1,000/3 MVA 基準):

1次一2次間 全タップにおいて

 $16 \% (+1/4 \sim -1/10)$

2次一3次間 全タップにおいて

 $26\% (+1/5\sim-1/15)$

1次一3次間 全タップにおいて

 $46 \% (+1/4 \sim -1/7)$

絶縁階級又は所要絶縁強度:

1次 雷 インパルス 1,550 kV

開閉 インパルス 1,175 kV

商用周波 750 kV

2次 170号

0号

中性点 30号 (商用周波 70 kV 10 分間)

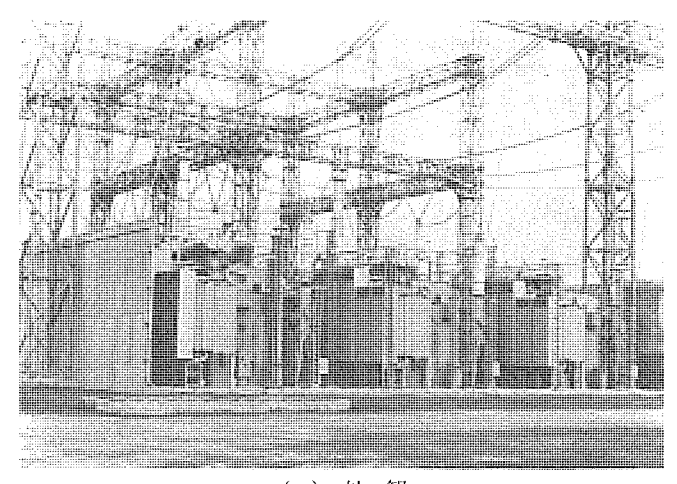
3次 60号 (相間80号)

騒音: 低騒音形 (単相変圧器仕様値 65 まつ 以下)

3.2 構造と特長

3. 2. 1 絶縁構造

この変圧器の構造は、三菱電機(株)において数多くの超起高圧大容量変圧器に製作実績を有する外鉄形 フォームフィット 構造で製作された。 外鉄形変圧器は、鉄心構造、交互配置巻線構造等種々の特長を有す



(a) 外 観

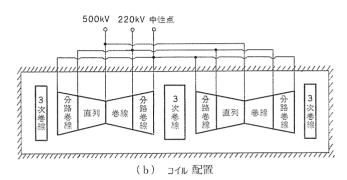


図 3. 西九州麥雷所 500 kV 1,000/3 MVA 単相単巻変圧器

るが、500 kV 変圧器においては絶縁の信頼性が最重要ポイントであり、500 kV 単巻変圧器などで実績のある"つづみ形絶縁"を採用することにより、線路端に電界集中がなく、運転電圧に応じた絶縁寸法の合理的な配置が施されている。また、コイル 絶縁構成は、外鉄形変圧器において、従来から起高圧・超超高圧変圧器に標準的に採用され、衝撃電圧に対し特に絶縁を強化した外鉄形 サージプルーフ E 形絶縁構造で、絶縁耐力及び部分放電開始電圧が改善されている。この絶縁構造は、三菱電機で既に10年余りの製作経験を有しており、この間の運転実績が示すとおり高い信頼性を実証している。

コイル 配置は、中東地区の 500/275 kV 1,000/3 MVA 単巻変圧器と同様図 3. に示すように 4 群構成を採用している。 この変圧器は500/275 kV 器と比較して自己容量が大きく、漂遊損や電磁力が増大する傾向にあるが、 実規模 モデル 変圧器における実測・解析結果の反映及び電子計算機の広はん(汎)な活用などにより、コイル 導体内漂遊損や電磁力を適正 レベル に抑えて、 十分信頼性の向上にこたえている。

3. 2. 2 鉄心構造

外鉄形変圧器鉄心は、く(矩)形で同一幅のけい素鋼帯を斜角切断 ラップジョイントで積層し巻線の周囲に水平に配置され、タンク内面の鉄心押さえなどで均一に締めつけられている。したがって、コイル・鉄心・タンクが一体化されたフォームフィットタンク構造のため、電磁力に対する機械的強度が大きいことは明らかであり、また、鉄心形状が簡単で、油に接する面積が広く鉄心は両面の冷却油げき(隙)で十分冷却される構造である。また、コイル漏れ磁束による局部加熱対策として、電磁シールド鉄心をタンク内面に有効配置することにより、最適設計化が図られている。

流動帯電現象については、前述のとおり、発生メカニズムはもちろ

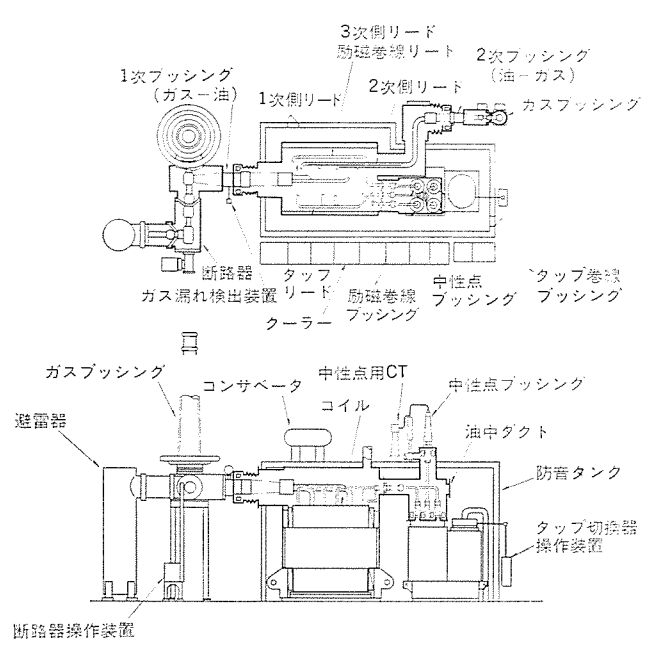


図 4. 500 kV 変圧器とその周辺機器の構造

ん発生防止対策など現象は既に十分は(把)握しており、この変圧器 においても解析結果をもとに十分対処策が施されている。

3.2.3 GIS との接続

3.2.4 その他の構造上の特長

主変圧器中性点には、別置負荷時電圧調整器が接続され、500 kV側の電圧調整を行っている。主変圧器・別置負荷時電圧調整器は、共に同一鉄板防音 タンク 内に収納されており、防音 タンク は変圧器火災など万一の場合の内部圧力上昇に十分耐える構造であり、変圧器本体との間には作業用 スペース を十分確保している。

絶縁油の区分は、主変圧器、負荷時電圧調整器、負荷開閉器、3 次端子接続箱、主変圧器一負荷時電圧調整器間油中 ダクトとなって おり、主変圧器と負荷時電圧調整器との接続は、油中 ダクト内で油 中貫通 ブッシング を介して行われている。油中 ダクトには中性点 ブッシ ングを取付け、負荷時電圧調整器に万一事故が発生した場合には、 主変圧器から切り離して主変圧器単独で運転可能な構造としている。

騒音については、低騒音仕様 65 ホン以下(単相変圧器の タップ1 における値)であり、この仕様値を実現するため、前述の2 重防音 タンク 構造に加えて、送油風冷式冷却器は防音風洞付きとし、標準のファン回転数を下げた低回転形冷却ファンを採用している。防音 タンク内には、水消火装置が設置されるため、試験注水等を考慮して防音材料にははっ(撥)水処理を施し、吸水した場合でも吸音特性を損なわない材料を選定し、性能面はもちろん保守性・信頼性の点でも十

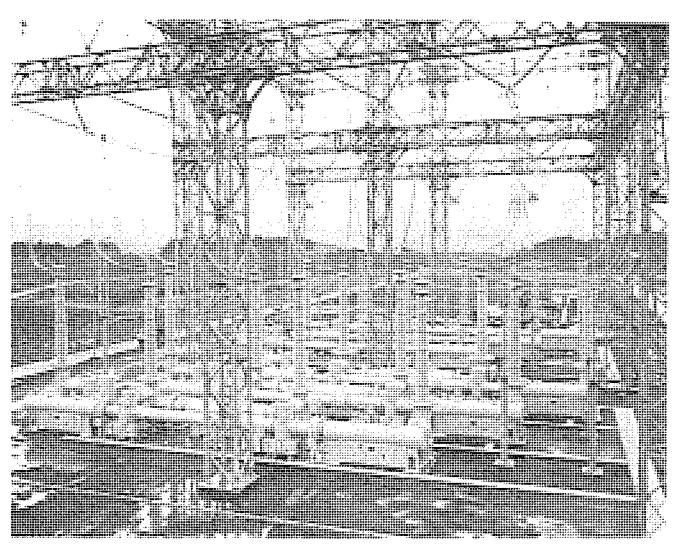


図 5. 西九州変電所 500 kV ガス 絶縁開閉装置外観

分考慮されている。

4. ガス絶縁開閉装置 (GIS)

西九州変電所に適用した 500 kV GIS の配置構成,構成機器(酸化 亜鉛形避雷器⁽³⁾, 増幅形計器用変圧器,投入容量付接地開閉器, ガス 絶縁形 ブッシング など)の開発, GIS の保護装置と異常時の対策(地絡事故検出装置,CT 2 次開路保護装置,外被 サージ 対策,リムーバブルリンク)などに関しては既に紹介している⁽¹⁾のでここではできるだけ重復を避けて記述する。

4.1 ガスしゃ断器 (GCB)

GIS の主要構成機器である ガス しゃ断器は、既に多数の実績に基づく パッファ 形の単一圧力式 4 点切りの消弧室と、高速動作・大出力に適した油圧操作機構からなる。

大容量高速のパッファ形 GCB は構造が簡単という優れた特徴を有するが、大操作力・高速動作に伴うしゃ断器の衝撃力・振動に対する十分な配慮が必要である。一般に、GIS 用避雷器、母線などの静止機器のガス中部品の受ける力は輸送時や地震遭遇時に最も過酷になるが、大容量パッファ形 GCB の消弧室においてはしゃ断器操作時の場合が多い。したがって、最終的には多数回の操作による寿命試験によって消弧室の強度が十分であることの確認が重要である。

また、500 kV 級の超大形しゃ断器の外被は長期間使用中に外気 温の変動による熱変形、内圧力や操作力による変形などの影響を受けやすい。このためしゃ断部ュニットの固定側の支持方法は外被からの直接支持方式ではなくしゃ断部ュニットの可動側からの支持方式を採用している。これにより固定側と可動側との相関関係を初期組立状態のまま安定した状態で保持できる。更にこの支持方法により対地間支持絶縁物の使用箇所を最小限にしている⁽²⁾。

しゃ断器の両端の電流引出し方向は GIS の配置構成 に対する多 様性を考慮し、前後、上下方向及び直線方向引出しのいずれも可能 な設計であり、今回の場合、母線連絡用しゃ断器は直線引出形、送 電線及び変圧器用しゃ断器は前後方向引出形を適用している。

また、このしゃ断器は操作動力源である油ポップの電源が万一脱落しても標準動作責務 O-CO-CO が遂行可能であり、保護系統の2系列化に協調したしゃ断器の操作回路の2重化を実施するなど信頼性維持に十分な配慮をしている。

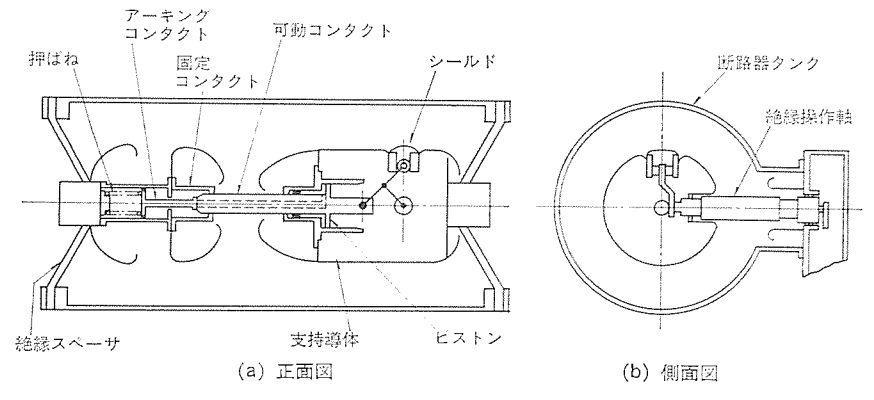


図 6. 500 kV 断路器の内部構造

4.2 断路器

GISをより合理的配置にするため、断路器の構造にも種々の適応性を必要とする場合が多い。断路器の両端の電流引出し方向は直線方向と直角方向とに分けられる。また絶縁操作方式からは、絶縁操作棒を軸方向に操作する方式と、絶縁操作棒を回転操作する方式とに分けられよう。

今回使用した断路器は,直線引出断路器や,可動 コンタクト が鉛直 方向に動作する縦形断路器に適した絶縁操作軸を回転軸とする方式 を採用している。

500 kV 級の断路器は可動部等価重量が大きいため、プレードが上下運動する場合特に等価重量を極力低減することが望ましく、この面からは絶縁操作棒は回転操作する方式が望ましい。(図 6. 参照)

なお,500 kV GIS 用断路器の極間部分の電界を十分考慮し固定側・可動側の シールドの直径を大きくとり、断路部の電界を緩和するように配慮している。

4.3 変圧器保護用避電器

との避雷器は変圧器ヤードに設置され変圧器と油一ガスブッシングで避雷器切り離し用断路器を通じて直結されている。

500 kV 系統用避雷器に対する要求仕様は超高圧系統以下の避雷器に対する仕様の延長とした場合よりも格段に過酷な責務となっている。このような重責務を処理するため,直列 ギャップの消弧性能及び,絶縁性能の向上に適した SF_6 ガス (定格 ガス 圧 3 kg/cm², 20°C)を用いている。

この適電器の特徴は、良好な放電特性を得るために、直列 ギャップは3点 ギャップ方式を採用していることである。また内部構造は避雷器の高さ縮減のため、避雷素子は物理的には3個並列に配置し、電気的には直列に接続し小形化を図ったことである。

今後は、酸化亜鉛形避雷器が広く採用されることになる。

4.4 ガス絶縁形ブッシング

ガス 絶縁形 ブッシング は絶縁油を使用しないため火災がなく、 構造が 簡単であり、軽量のため耐震性に優れており、更に静電容量が小さいなどの特徴がある。 ガス 絶縁形 ブッシング は油浸紙 コンデンサブッシング に比較して、がい管の電位分布が周囲構造物などの外部の影響を受けやすく、また、がい管が非金属でできた長大な圧力容器であるため、設計に際しては信頼性に重点を置いて詳細に検討し、これまで

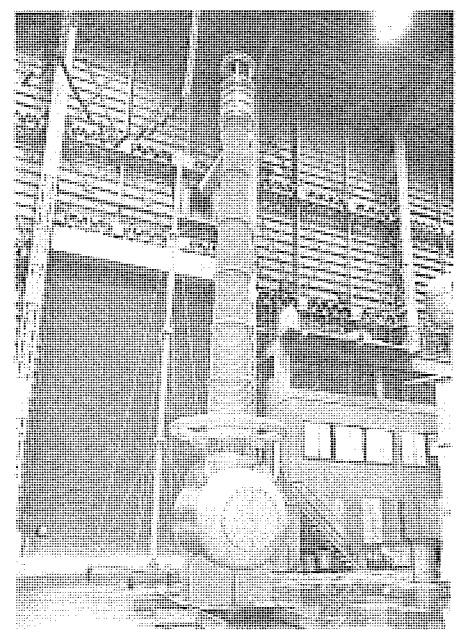


図 7. 500 kV ガスブッシング (せん絡試験中)

の 500 kV 用として多数使用されてきた油浸紙 コンデンサブッシング に代えて、今回初めて 500 kV ガス 絶縁形 ブッシング を導入した。

4.5 500 kV GIS 用支持絶縁スペーサ

 $500\,\mathrm{kV}$ GIS 用の支持絶縁物に $\Box - \cup$ 形 スペーサ を用いておりその製作個数はすでに 1,500 個以上になり、 信頼性が極めて高いことが立証されている。

絶縁スペーサの絶縁性能に対する信頼性は500 kV GIS の全体の信頼性に及ぼす最も基本的なものである。この絶縁スペーサの絶縁性能はスペーサ自体の絶縁能力に左右されるほか、その使い方にも影響を受ける。特にスペーサの形状を考慮した取付方向にも注意する必要がある。500 kV GIS ではコーン形スペーサのおう(凹)側を鉛直方向の上向きとしてまだ使用していない。これは、万一内部で発生した金属粉などの異物が絶縁スペーサ表面などの高電圧部分に滞在する可能性があることが絶縁機能上好ましくないためである。断路器や接地開閉器などで電流開閉機能を有する場合一層その取付け方に注意を要する。

500 kV GIS において、このような点にも十分な配慮をして絶縁スペーサを用いてきたことが、対地絶縁に対する高い信頼性を維持してきた1つの要因といえよう。

西九州変電所に適用した 500 kV GIS は、電流開閉能力を付加す

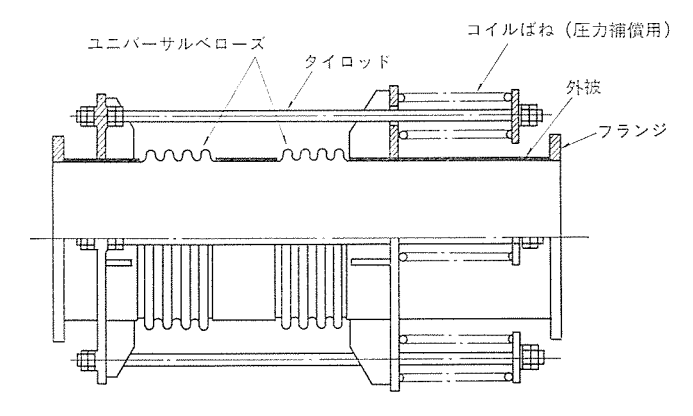


図 8. 熱伸縮・不等沈下吸収用 ベローズ (コイル ばね式)

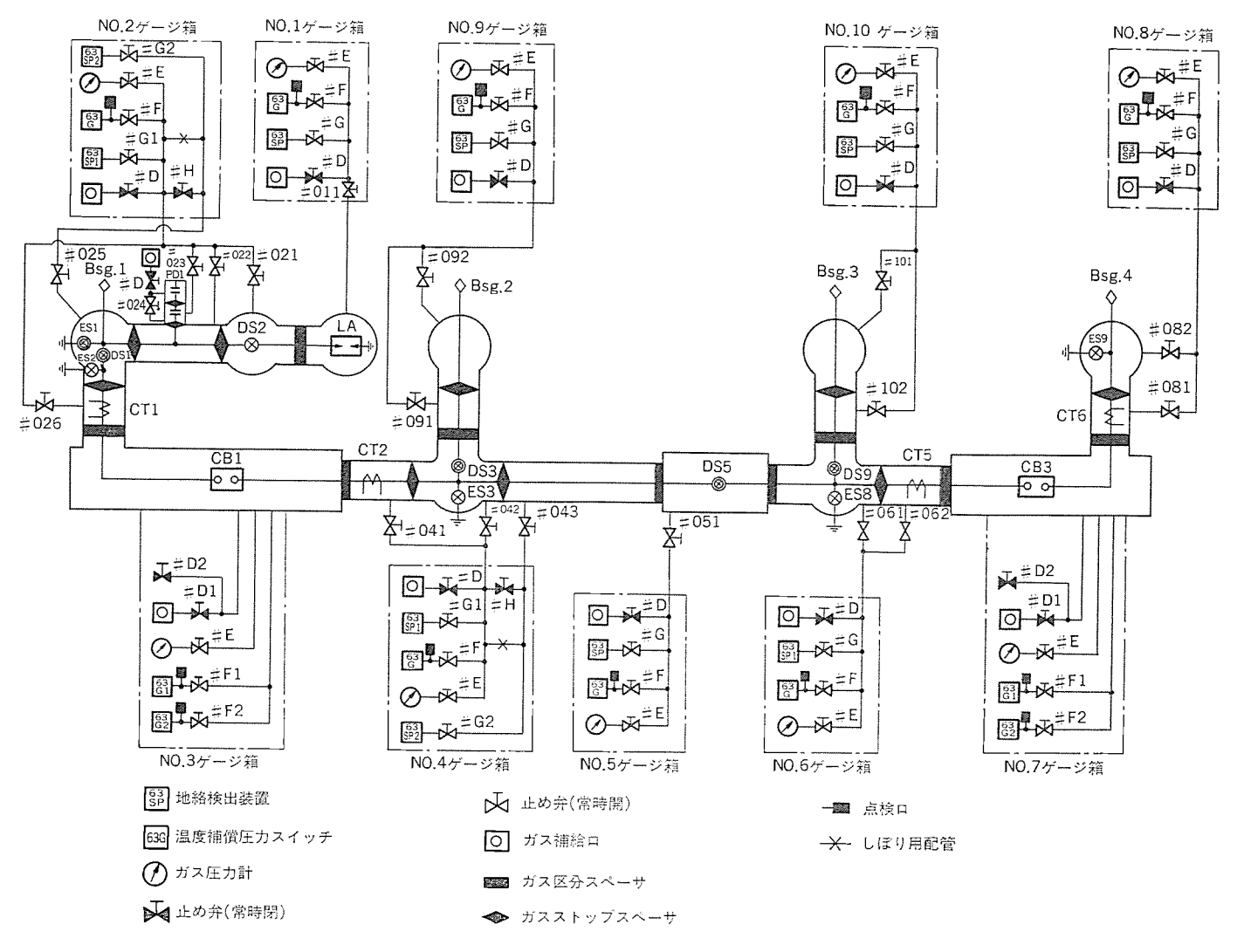


図 9. GIS の ガス 系統図

べき断路器やしゃ断器用 スペーサ はすべて横取付方式である。

4.6 ベローズ

GIS の適切な箇所に組立調整用,基礎の不等沈下吸収用,外気温変動や電流通電による外被の温度変化に伴う熱伸縮の吸収用などの目的に応じた伸縮継手(ベローズ)をそう入している。

熱伸縮吸収用ベローズは、ベローズ内部の圧力によって推力が生ずるが 500 kV 母線の場合との推力は非常に大きくなる。

通常の状態における内圧力による推力を補償するために コイル ばね力を用いたベローズを使用し、ベローズ内部で万一地絡事故が生じた場合の内圧力上昇による過大な推力が支持部や基礎にかからないように配慮している。

また、ベローズ には伸縮変化量検出装置を設け保守管理点を刻印し管理しやすくしている。

なお、これらのペローズは静的強度はもちろん、繰返し変形量、繰返し変形回数などの寿命検討など十分配慮されたものである。

4.7 ガス系統

ガス区分は相分離方式を採用し、各区分ごとに ゲージ 箱を設け温度補 償圧力 スイッチ、 ガス 圧力計、地絡事故検出装置、 ガス 補給口などを 収納している。標準 ユニットの ガス 系統図を図 9. に示す。

5. む す び

以上のように,西九州変電所は豊富な実績に基づく技術と新たに開発した新技術とが調和して適用された画期的 500 kV 変電所として 誕生した。

信頼性,経済性,保守性,縮小性などを総合的に十分検討されてきたこの変電所は、今後九州地区ばかりでなく我が国の西地域の重要な500 kV 変電所として大いに貢献し、今後の変電所建設の1つの方向を示唆するものと確信する。

終わり、西九州変電所建設に当たってご指導・ご尽力賜った関係 各位に深く感謝の意を表する次第である。

参考文献

- (1) 山口,木佐貫,桑原,松田,合志:三菱電機技報,53,No. 10,p.768 (昭 54)
- (2) 松田, 宮本, 伸吹, 坂本, 佐藤: 三菱電機技報, 51, No. 9, p. 616 (昭 52)
- (3) 富永, 今滝, 渋谷, 宇治田, 桑原: 三菱電機技報, 53, No. 2, p. 172 (昭 54)

500kV変電所監視制御システム

木佐貫 滋*·山田勝治*·辻 俊彦**·炭谷周作**·西川正治**

1. まえがき

近年電力需要はますます増大し、更に良質な電力の安定した供給が強く望まれている。電力供給事業に課せられたこのような社会的使命をまっとうするため電力設備は増大の一途をたどり、その運用と保守管理は高度化する一方である。

特に500 kV 変電所は基幹系統の中核となるものであり、その運転は系統全体へ多大の影響を及ぼすため、限られた要員で電力を安定に供給するためには、監視制御、情報処理などのうち、定形的な業務は計算機により集中的に処理し、運転員は高度な判断を要する業務に専念できる監視制御システムが必要となってくる。

とのたび完成した九州電力 (株) 西九州 500 kV 変電所納め監視制 御 システム (図 1.) は、 最新鋭の マイクロプロセッサ 応用 テレコン 〈MELF LEX〉と、 高性能工業用計算機 《MELCOM 350-50》 2 重系とを導入して、自変電所の監視制御と周辺系統の監視の高度化を図ったものである。

以下にシステムの概要とその特長について述べる。

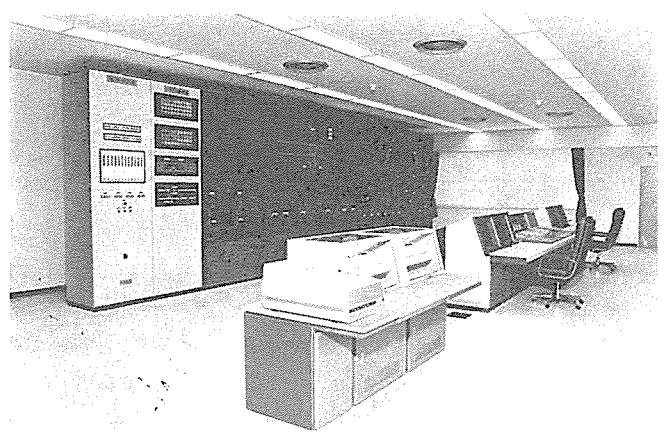


図 1. 九州電力(株)西九州 500 kV 変電所 監視制御 システム

2. システムの概要

2.1 システム設計の基本思想

この システム は基幹系統の中核である 500 kV 変電所 に設置されるものであるから、高信頼性、高か(稼) 働性、確実かつ容易な操作性が要求され、更に監視 制御対象である自変電所設備の新増設、及び周辺系統変電所の増設変更に対して十分対処できることが必要である。これらの事を念頭におき、下記を重点 項目として システム の設計を行った。

- (1) システム の重要部分は 2 重化し、信頼性と稼動 性の向上を図る。
 - (a) テレコン 親局装置の 2 重化

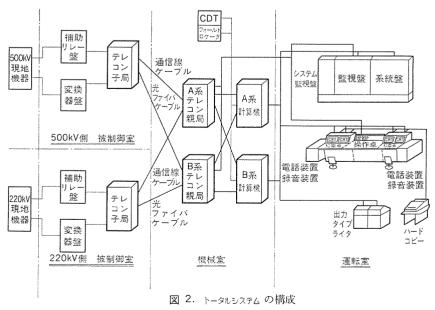
- (b) テレコン 親局―子局間伝送路の2重化(1伝送路には光伝送を採用)
- (c) 計算機の2重化
- (2) 事故発生時に状況を的確かつ迅速に表示する。
 - (a) 系統監視盤による系統のマクロ表示と、CRTによる故障内容の詳細表示
 - (b) マイクロプロセッサ 応用の状変検出装置と 情報の DMA 転送による計算機負荷の大幅な軽減
- (3) 誤操作防止策により運転の高信頼化を図る。
 - (a) 運転 ガイド の表示と運転員操作の自動確認
 - (b) 制御 סיים 機器に対する操作防止
- (4) 設備の増設変更に対して高い柔軟性を確保する。
 - (a) テレコン 親局には インデックステーブル 方式を採用
 - (b) 計算機に CRT ベース の ソフトウェア メンテナンス 方式を採用

2.2 システムの構成

2.2.1 トータルシステムの構成

テレコンシステム は、マイクロブロセッサテレコン 〈MELFLEX〉を 2 重化した親局装置と、500 kV 側、220 kV 側それぞれの被制御室に設置されている従来形のテレコン 子局装置及びマンマシン 装置として機器の監視制御を行うための操作卓、変電所の状態を表示するための監視盤から構成されている。また、親局一子局間の伝送路は、制御信号及び表示、計測信号とも従来形金属ケーブルと光ファイバケーブルとで2重化されている。

計算機 $\partial A_{7} \Delta$ は、《MELCOM $\partial A_{7} \partial A_{7} \partial A_{7}$ は、《MELCOM $\partial A_{7} \partial A_{7} \partial A_{7} \partial A_{7}$ は、 MELCOM $\partial A_{7} \partial A_{7}$



24(428) * 九州電力(株) ** 三菱電機(株)制御製作所

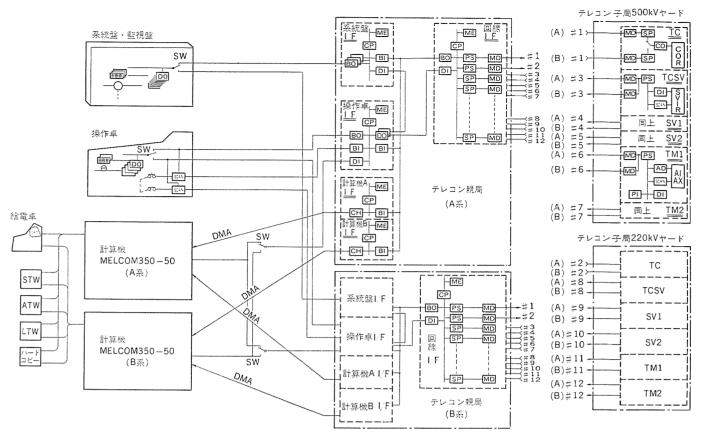


図 3. テレコンシステム の構成

ロキング印字用 タイプライタ, CRT 画面を記録する ハードコピー装置, 監視制御 システム の システム 状態表示及び運転 モード 設定 などを行うための システム 監視盤 から構成されている。

2. 2. 2 テレコンシステムの 構成

テレコンシステムは図3.に示すとおり、親局は完全2重化とし、子局は制御信号受信部の復号器までを2重化している。伝送路は一方には従来形金属ケーブルを、他方には光ファイバケーブルを用いて2重化構成とし、制御4回線、表示4回線、計測4回線から構成されている。

テレコン 親局は機能分散化しており、各機能ごとにマイクロブロセッサを採用し、機能 ブロック 間はできるだけ疎な結合としている。 具体的な機能 ブロック としては、回線 インタフェース部、系監視盤 イ

ンタフェース 部,操作卓インタフェース 部,計算機インタフェース 部の4種類から成っており, 片系当たり合計5台のマイクロプロセッサを用いている。また,系統盤,監視盤,操作卓の内部には,ランプドライバのためのリモート 入出力装置を実装し, テレコンとはワードシリーズで接続している。

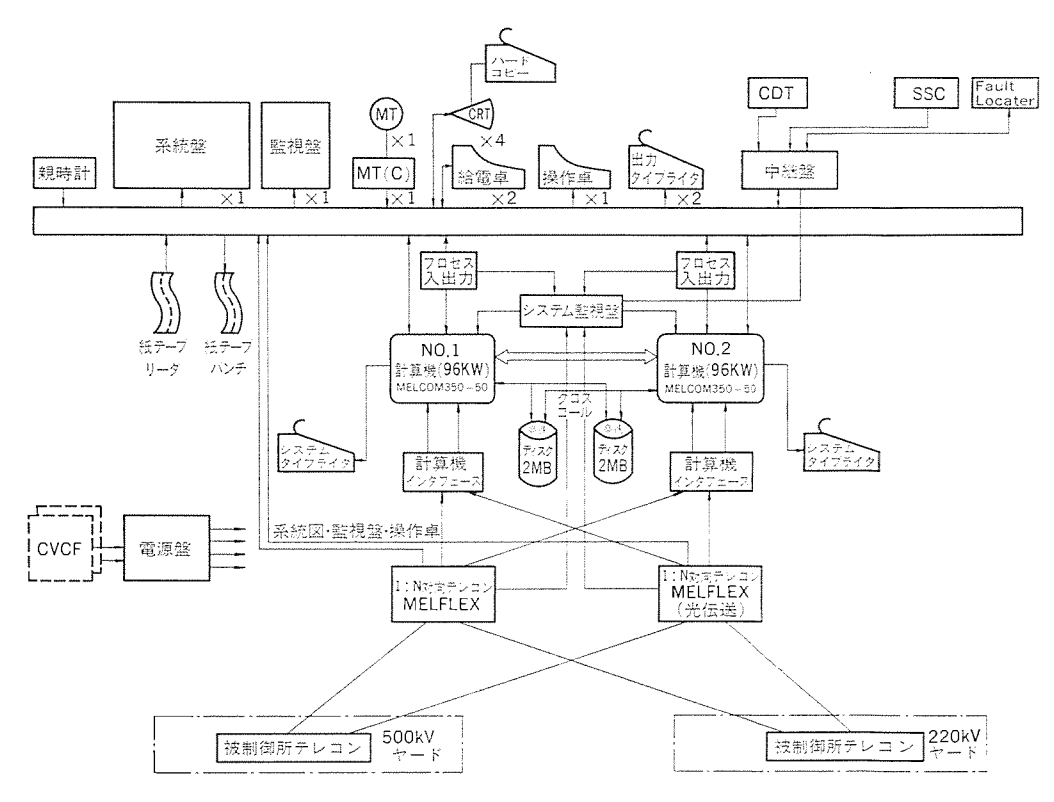


図 4. 計算機 システム の構成

2.2.3 計算機システムの構成

計算機 システム は、その構成を図 4. に示すごとく《MELCOM 350 -50》(A 2300)を用いた デュープレックス 方式を採用している。外部から計算機への入力装置としては、下記から構成されている。

- (1) 計算機 インタフェース 装置……自変電所の情報を前処理する。
- (2) CDT 装置……中給情報や他変電所の情報を受信する。
- (3) フォールトロケータ……事故回線の検知と事故点までの距離を標定する。

表 1. テレコンシステム の機能一覧

曫	能	内容
監視·制	制 街	伝送速度 600 BPS, 360 ポジション/チャネルの選択, 制御 (入・切) を行う。
	駐 現	親局においてベル,ブザー,チャイムの項目を集約する。 (妻示項目 620 ポジション/チャネル)
御		制御操作に伴う所要計測値の選択表示を行う。
32	状態 表示	系統盤,監視盤に機器状態を赤色・緑色で2灯表示し、状変 発生時フリッカさせる。
系 統 盤	計測値表示	有効電力、無効電力を符号+4桁でディジタル表示する。
	選択表示	制御操作時当該選択機器の状態表示をフリッカさせる。
監視整表示	事 故 表 示	母線電圧の有無, 短絡事故, 地絡事故, 母線事故などの発生 時当該項目ランプをフリッカさせる。
尔	制御ロック表示	現場機器の保守点検時,当該機器のランプを被灯し,制御不 可であるととを表示する。
操	状態 表示	リレーの使用状態等 43 関係の状態表示を行う。
作卓	故障集約表示	故障の集約を行い,当該ランプをフリッカさせる。
インタフ	誤操作検出	組合せ選択制御の組合せのチェック違反時及び 多重選 択時に 警報表示を行う。
± 1	制御ロック	制御ロックされている機器を選択時に警報表示を行う。
Ż.	選択表示	電圧・周波数等のディジタル表示を行う。
フ計算機イス	状変検出	状変検出を行い、状変時時刻を付加して DMA にてデータ 転送を行う。 計測項目については DMA にてデータ転送のみを行う。
ペイン タ 	制御ロック項目 の登録・解除	計算機から入力された制御ロック項目の登録・解除を行う。 また制御操作のモニタを計算機に出力する。

表 2. 計算機 システム の機能一覧

機	有旨	内容
状態 表示		平常時の自所機器状態を CRT に表示する。
	機器状態の集約表示	平常時の他所機器の状態を CRT 及び系統盤に 表示する。
	計測値の表示	運用系統の潮流,電圧,周波数などを CRT に 表示する。
	機器の自動監視	しゃ断機,変圧器,補機などの異常監視を行い, 障害時障害内容を CRT に自動表示するととも にアラームタイプライタに印字出力する。
自動監視	計測値の 自動 監 視	系統の潮流、電圧、周波数などの計測値を管理値と比較し、管理値を越えた場合 CRT に自動 表示するとともにアラームタイプライタに印字 出力する。
	変圧器過 負 荷 監 視	変圧器の過負荷時又は、送油ポンプ停止時に変 圧器運転可能時間及び過負荷経過時間を計算し、 監視盤及び CRT に表示出力する。
	操作伝票の作成	操作伝票を単結図又は、43 SW 図を用いて作 成する。
	操作の確認	あらかじめ設定されている操作伝票により、操 作卓操作のチェックを行う。
誤操作防止	模 操 操 作	操作伝票の模模操作を CRT 上にて仮想操作する。
	機器選択制御ロック	遠方制御してはならない機器の選択制御ロック をライトペンにて行う。
	アースの書込み/消 去	単結図上にアースマークの書込み又は, 消去を ライトペンにて行う。
設 定 変 更	設 定 変 更	計測値管理値の変更、カレンダの変更、作業記 録時刻及び印字部数の指定保守管理データの修 正などをライトペンを用いて行う。
	事故操作記錄	事故時又は,操作時における機器状態変化をア ラームタイプライタに印字出力する。
記録の自動化	作表記錄	運転日誌,指定時記録,第3木曜日記録,運用 実績月報,月報記録などを自動又は,リクエストによりロキングタイプライタに印字出力する
保守管理	系統機器の保守管理	CB, LS, RY などの系統機器の保守管理を行う。
	ADP, TC などの 装置状態の保守管理	APD, TC, 周辺機器, CVCF などの装置状態の保守管理を行う。
画面修正	画面修正	設備均設変更に伴う単結図、潮流図などの変更 追加、故障メッセージの変更追加などをライト ベンによる会話形式で行う。

- (4) SSC 装置……系統安定化をはかる。 マンマシン 装置は下記から構成されている。
- (1) 表示用 CRT……故障 メッセージ 表示用
- (2) 操作用 CRT……ライトペン 付 CRT で、操作、設定変更、ソフトウェア メンテナンス 作業用
- (3) CRT 2台を含む給電卓……業務選択, CRT 画面選択用
- (4) 系統盤……他変電所の状態表示用
- (5) ディジタル 表示器……変圧器過負荷監視の表示用
- (6) アラームタイプライタ……事故操作印字用
- (7) ロギングタイプライタ……日報,第3水曜日記録,月報などの印字用。
- (8) システム 監視盤……計算機,テレコン 装置,周辺機器などの接続 状態表示及び システム の運転 モード 設定と周辺機器の接続切換え
- (9) システムタイプライタ, カセット 磁気 テープ 装置, 紙 テープ 読取装置, 紙 テープ せん孔装置……計算機の保守管理用
- 2.3 システムの機能
- 2. 3. 1 テレコンシステムの機能

テレコンシステム の機能は表 1. のとおりである。

2.3.2 計算機の機能

計算機 システム の機能は表 2. のとおりである。

3. システムの特長

3.1 テレコンにマイクロプロセッサを全面的に採用

テレコン 装置の親局には機能 ブロック ごとに マイクロプロセッサ を用い,下記のような特長をもたせている。

- (1) 低消費電力形素子の採用により、装置本体の消費電力は従来 形の約 1/3 程度に減少し、高密度実装でありながら自然空冷(ファン レス)を可能としている。
- (2) 電力設備の増設・変更に対しては、インデックステーブルの追加変更で容易に対処できる。
- (3) 主要 ロジック 部を プログラム で実現することにより、ハードウェアモジュール の種類及び数量を大幅に減少させ、 更に十分な ディレーティング 設計により、信頼性を大幅に向上させた。
- (4) 系統盤, 監視盤, 操作卓内に リモート I/O モジュール を実装し接続 ケーブル 本数を減少させている。また、フリッカ 制御を プログラム で行っているため、リモート I/O モジュール は簡単な ランプドライバ でよく、信頼性と実装密度の向上をはかっている。
- (5) 系統盤,監視盤,操作卓のロジック及び ランプ 電源は2重化構成とし信頼性を向上させている。また、系統盤,監視盤の ランプ及び操作卓の30F,30Sの表示 ランプに発光 ダイオード(LED)を用いているため、ランプテストを不要として電源の小容量化を可能としている。
- (6) 子局は ハードウェアベース の ロジック であるが, 親局と同様に高密 度実装, 自然空冷としており, 特に入出力 リレー は, プリント 基板上 に高密度実装されており, 実装 スペース は大幅に減少している。
- (7) また、光伝送用 モデムは、独立架に実装して光 ファイバケーブルの保護性を高めると同時に、保守を容易にしている。なお、光伝送用 モデムに供給する電源は、各 チャネル ごとに当該 ロジック 実装架より供給し信頼性を高めている。

3. 2 高性能計算機《MELCOM 350-50》 2 重化構成

2 重系の運用方式は一方を オンライン で監視制御業務を実行する常用 モード, 他方を ホットスタンドバイ の待機 モード とする デュープレックス 方式で

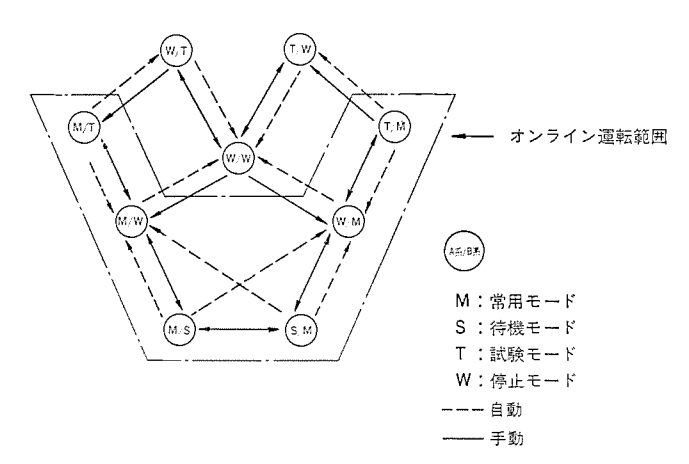


図 5. 2 重系 モード 遷移

あり、 万一常用 τ ードの計算機が障害などにより機能を喪失した時には、直ちに待機 τ ードの計算機が常用 τ ードに立上がって τ ンライン業務を継続することができる。 τ τ 2 重系 τ τ 2 遷移を図 5. に示す。

常用 モード:オンライン 業務をすべて実行できる。

待機 モード:常用 モード の業務をいつでも継続できる状態にある。

試験 モード: ソフトウェア的には常用モードとほぼ同じであり、すべて

の オンライン 業務が試験できるとともに、増設変更作業

及びその確認などを行う。

停止 モード: ソフトウェア 的な停止の状態であり、主 メモリファイル、ディスクファイル の イニシャライズ などを すべて完了し、上記

(1)から(3)までのいずれかの モード へ遷移するため

の準備が完了した状態である。

3.3 光伝送方式の導入

500 kV 変電所においては構内 テレコン の通信回線は、強電機器と近接することが多いため誘導される雑音 レベル が高く、また、落雷、事故などにより、制御室と被制御室間に高い接地電位差を発生する危険性がある。そのため伝送路の片系に下記の特長を有する光伝送方式を導入した。

- (1) 線路上の電磁誘導雑音及び送受信装置間に発生する アース 電位差の影響を全く受けない。
- (2) ケーブル は小形軽量で布設が容易であり、しかも従来形金属 ケーブル と同様の機械的強度を持つ。
- (3) 5V 単一電源で動作するため、保守性・信頼性が高い。
- (4) 送受信 ロジック は通常の ロジック 用 プリント 基板に実装されてい

表 3. 光伝送装置の概略仕様一覧

	項	B		住 橑
光	ファ	イバ材	質	石英ファイバ
	屈折	事 分	布	ステップ形
ファ	被	荽	量	5 dB/km 以下
オイバケ	=	ア	径	100 μm ±2 μm
ケーブ	心		数	8 心
Λ .	ケーブ	ル仕上り	径	14 mm
	シ -	ス 材	料	ガラス補強ナイロン(ノンメタリック)
_	伝	送 速	度	20 K BPS 以下(今回 1,200 BPS で使用)
伝 - 送 - 系 -	管 内	パワ	_	-20 dBm 以上
	管内-	パワー変	動	IdB以下
	受 光	レベ	ル	-20~-40 dBm

るため、保守性が高い。

(5) 着脱が簡単な発光,受光素子組込形 レセプタクル を用いており、容易に保守・点検ができる。

光伝送の概略仕様を表 3. に示す。

3.4 設備の増設変更に柔軟に対応するソフトウェア メンテナンス方式

設備の増設変更に伴う単線結線図,潮流図,GIS ガス区分図などの追加変更,故障 メッセージ の追加変更などを ライトペン を用いて会話式で行えるようにした。図 6. に オペレーション の基本 フロー を示す。

- ①:「画面修正」ボタンを押すことにより、業務を開始する。
- ②:修正 バッファ 使用状況を表示する。
- ③:修正を行う画面を ボタン により指定する。
- ④: 画面修正操作を実施する画面種別により、 オペレーション が異なるが、例として単結図の修正操作 フロー を図 7. に、 CRT 画面例を図 8. に示す。
- ⑤:「画面修正中断」では、 そのままの状態で バッファ に保存され、 未完の表示となる。

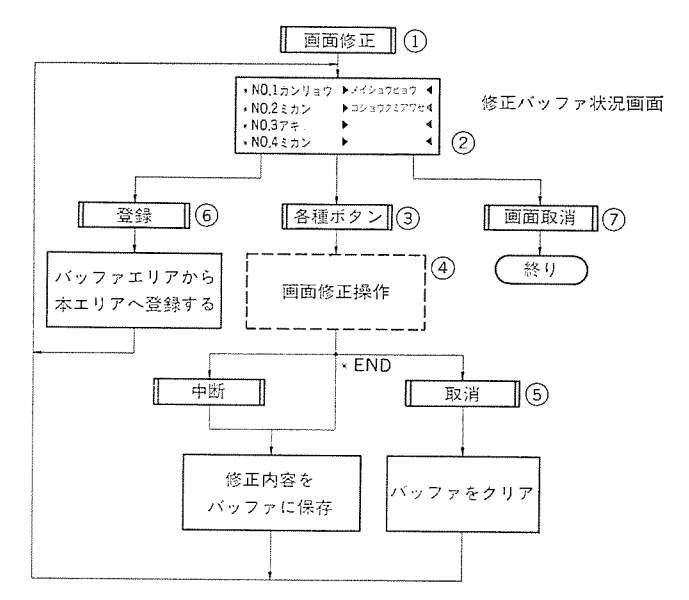


図 6. ソフトウェアメンテナンス 方式の基本 フロー

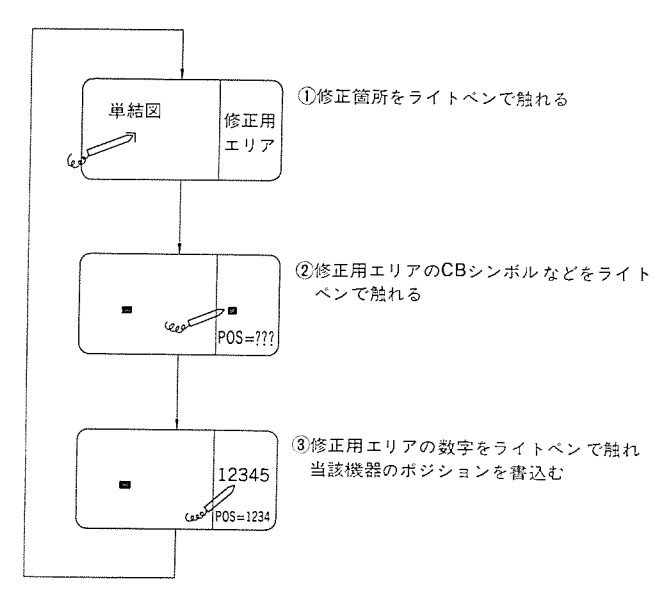


図 7. 単結図の修正操作 フロー

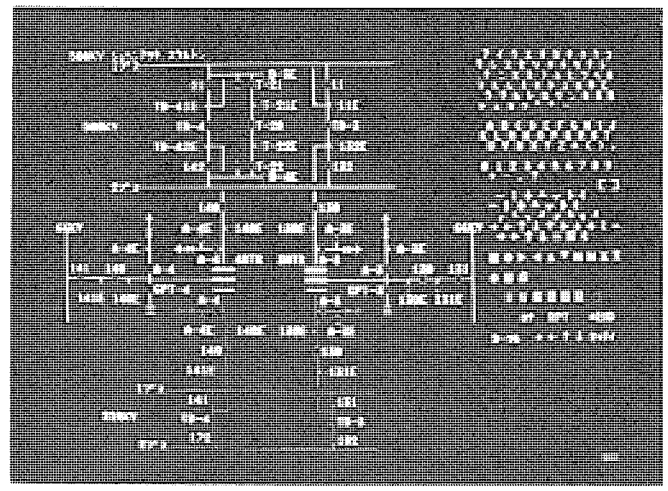
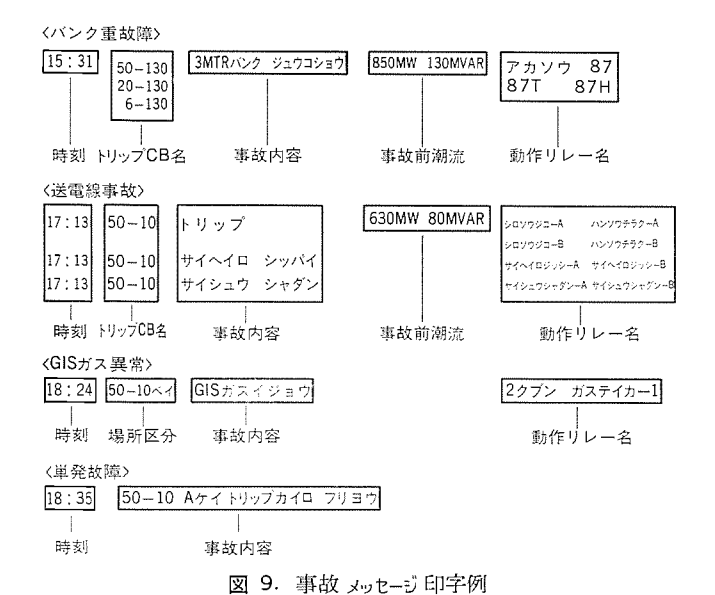


図 8. CRT 単線結線図の修正操作画面例



操作手順 操作手順タイトル表 ニンチュウシュウSS Jus 1=24=52=5\$\$ 11 21 操作手順の内容表示 22 操作移行 操作卓 操作手順実行画面 操作卓の機器選択が→マーク機器と 機器選択 一致すれば→のフリッカが止まり、 単結図の当該シンボルが現状状態で フリッカ、一致しなければ警報出力 入切 」又は「切」操作が逆であれば 警報出力 選択復帰 制御応答受信で当該シンボルが操作 後の状態色となる。 また、操作手順が1行繰上がる。 選択復帰受信で当該シンボルのフリ ッカは停止する。

図 10. 操作手順実行 オペレーションフロー

「*END」ではバッファは、完了の表示となり、登録の対象となる。 「取消」ではバッファは、クリアされ空の表示となる。

⑧:②にて完了の バッファを ライトペン で選択した後、「登録」ボタンを押すと バッファエリア から本 エリア へ登録する。

⑦: 画面修正義務を終了する。

3.5 事故情報の迅速確実な編集とその表示

計算機は、状変発生時、5 秒間の状変を組合せ編集した後、指定の CRT に自動表示するとともに r_{77-48} に印字出力する。 これにより、運転員は、事故状況を迅速確実には(把) 握することができる。 事故情報の表示印字 7_{77-79} は、次の 4 種類から成っており、 877_{77} 印字例を図 9 に示す。

- (1) バンク 重故障などの CB と リレー の組合せ フォーマット
- (2) 再閉路 CB と リレー との組合せ フォーマット
- (3) GIS 故障, 保護装置故障などの Jレー と Jレー の組合せ フォーマット
- (4) 30 F などの単発故障 フォーマット

事故多発時の CRT 応答性については、次のような方法により 4 台の CRT に、同時に表示をした場合でも 3 秒以内に全画面を表示できるようにしている。

- (1) アクセス ひん度が高く, 高応答性が要求される データベース は, 主 メモリ 上に配置する。
- (2) プログラム の定周期処理は必要最小限とし、平常時の ロードを低減する。
- (3) 状変検出は、計算機 インタフェース の プロセッサ により行い、計算機への情報の転送については、DMA 方式を用いて計算機負荷を低減する。

3.6 高信頼度な系統操作を実現する誤操作防止方式

高信頼度な系統操作を行うため下記の機能を有する誤操作防止方式 を実現している。

- (1) 操作手順の確認機能……線路停止操作,母線停止操作などの 平常時操作及び定形的な事故復旧操作を行う時,CRT に単結図と ともに当該操作手順表を表示し,実働操作と当該操作手順との自動 確認を行う。
- (2) 制御 ロック 機能……保守点検時などに必要な機器の制御 ロック情報を CRT より入力し、当該の選択操作を不能にする。
- (3) $_{T-Z}$ 付機能……作業時に取付ける $_{T-ZQ-D}$ の表示を CRT にて行う。
- (4) 操作手順作成機能……操作手順表を CRT との会話方式で、 作成、変更する。
- (5) 模擬実行機能……新規作成又は,変更した操作手順表を単結 図を用いて シミュレーション により確認する。
- 図 10. に操作手順実行の オペレーションフロー を示す。

4. お す び

以上,紹介した監視制御 システム は,昭和54年8月初めに九州電力 (株)に納入し,その後,取込試験,連続課電試験を経て,順調に稼 働中であり,500kV 変電所の高度な監視制御に威力を発揮している。

今後,更に計算機を用いた平常時操作,及び事故時復旧操作等の 機能追加が検討されている。

最後に、このシステムの設計、製作にあたり多大なご尽力をいただいた関係各位に深く感謝する。

鈴木健治*・畑田 稔*・中川秀人*・中村正則*

1. まえがき

500 kV 用系統保護 システム は、500 kV 系統そのものからの高度な要求に対応して開発され、保護性能面の向上と製造技術面の向上とに大きなインパクトを与えてきた。特に信頼性向上については、システム・ハード 両面からの追求が行われ、大きな進歩をとげてきた。 保護システム も、事故除去から事故波及防止へと拡大し、両者の十分な協調も必要となってきている。 500 kV 系統の運転も順調に行われてきているが、運用面では次第に厳しくなってきており、保護システムに対する要求もますます高度化しつつある。本文では、500 kV 保護システムにおける当社の実績と今後の技術展望について紹介する。

2. 設備事故除去継電方式

2. 1 500 kV 用保護継電装置納入実績

我が国初の500 kV 変電所である東京電力(株) 房総変電所に納入した超超高圧母線保護装置及び変圧器保護装置を皮切りに、これまで当社が納入してきた超超高圧保護継電装置は数多くにのぼり、いずれも順調に運転されている。 表 1. に送電線保護装置、母線保護装置、及び変圧器保護装置の納入実績を示す。

2.2 500 kV 用保護継電方式の展望

500 kV 系統の保護方式については、開発当初から、

- (1) 高速度化
- (2) 高感度化
- (3) 高信頼度化
- の目標が掲げられ、各種の技術開発が行われた。更に、保守の省力

表 1. 500 kV 保護継電装置納入実績

装置種類	納 入 先	保護方式	納入数
送電線保護	関西電力(株)	各相位相比較	36 端子
	東京電力(株)	一括電圧差動 分割電流差動	3セット
	関西電力(株)	電圧差動	8セット
母線保護		一括電圧差勁 分割電流差動	3セット
	九州電力(株)	同上	ートセット
	中国電力(株)	同上	しセット
変圧器保護	東京電力(株)	比率差励,距離	8 バンク
	関西電力(株)	比率差勁,過電流	14 バンク
	電源開発(株)	比率差動,距離	2 バンク
	中部電力(株)	比率差勵,過電流	2 バンク
	九州電力(株)	同上	2 バンク
	中国電力(株)	比率差動	1 バンク

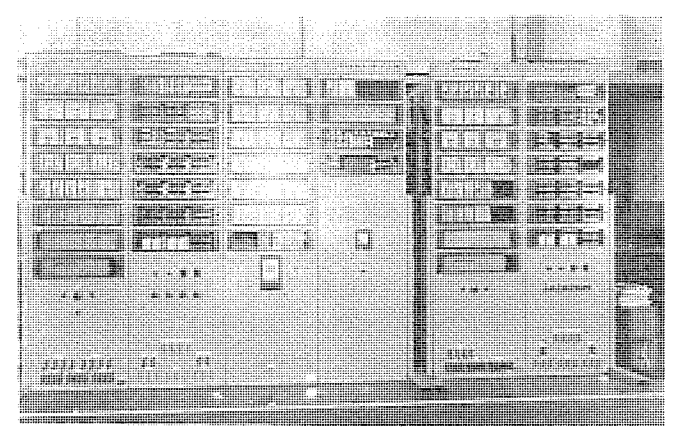


図 1. 500 kV 送電線保護継電装置

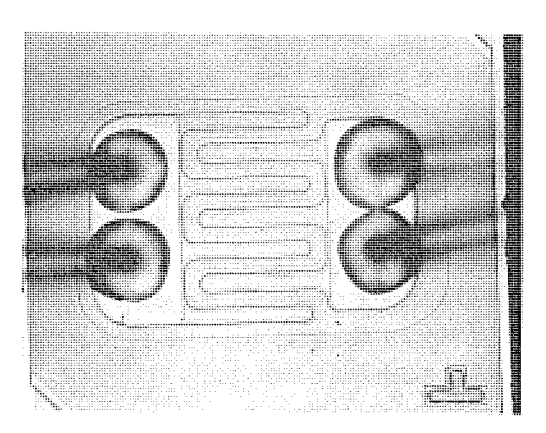


図 2. 高信頼度 ダブルボンディングトランジスタ

化, CT・PD 負担の省 VA 化, 事故時のひずみ(歪)波形に対する 性能向上と続々と目標が掲げられ, いずれも満足のできる レベル ま で開発され, 実用化されてきた。

これらの目標要求を満足させてきた手段は、エレクトロニクス技術であり、特に高信頼度電子部品の開発と適用であった。回路設計上 メリット の多い演算増幅器も ++ンシール された高信頼度の IC 形が出現し、省 VA 化、歪波形対策、小形化に大きく貢献した。 更に、ボンディング不良機滅をねらった モノメタル ダブルボンディングトランジスタ を $500~\rm kV$ 系統保護・制御用に開発し、高信頼度化に大きく寄与した。(図 2.)

また、500 kV 系統用模擬送電線設備として、MUTUAL を正確 に模擬した 180 km 並行 2 回線送電線を 1/100 の大きさの 5,000 V 回路で用意するとともに、これに接続できる 500 kV 変圧器の モデルトランス を用意し、各種の内部事故の シミュレーション ができるようにした。これによって、継電方式の開発と製品の検証試験を十分に行って出荷することができた。歪波の発生現象については、大形計算機による系統過渡現象解析 ブログラム を使用して、各種系統について シミュレーション を行い、発生 メカニズム の定量的なは(把) 捏をすることができ、歪波対策の検討・開発を促進させてきた。

以上のようにして開発された500kV保護継電方式は、今後、更に一層の系統からの各種ニーズとして、次のものが予想される。

(1) 線路事故検出感度の向上

現在の500 kV 送電線の保護は、各相位相比較を主体とした方式が適用されている。しかし、各相電流の成分の中には正相電流があるため、重潮流下においては、潮流の流出に影響されて事故検出感度が著しく低下するという欠点がある。特に、送電線の風による電線揺れや断線による樹木接触時には、事故電流が小さく、各相位相比較では発見性能が低下する。フェイルセーフ用の電圧を主体にした事故検出継電器も、この種の事故には各相位相比較継電器より検出感度が悪く、併せて検討していく必要がある。

(2) 長距離送電線における事故電流の片寄り

長距離送電線においては、事故がいずれかの電気所の近くで発生すると、事故点の事故電流がほとんど近くの電気所へ分流し、他の遠くの電気所への分流分が少なくなる。これは、送電線の零相 インピーダンス が大きいために発生するもので、 事故点の位置によって、 事故電流がいずれかの 1 端から流入する現象となり、いわゆる両端可変電源対策が必要となる。

(3) より一層の高速度化

系統の過渡安定度対策から、主保護継電器の高速度化と、後備保護 継電器の高速度化は、系統のますますの大容量化によって系統運用 が苦しくなればますます要求されてくる。主保護の高速度化は、これと常に時限協調の関係にある後備保護の高速度化にもつながり、 最悪1サイクル以下の要求も出てくる。自端後備については、電流の しゃ断確認の高速度化、遠方後備については、遠方事故検出能力の 向上も必要である。

(4) 変圧器励磁 ラッシュ 電流と事故電流の区別

変圧器の容量増大化により励磁 ラッシュ 電流が大きく、減衰時間が長くなり、後備保護用距離継電器から見ると事故電流と区別しにくくなり、誤動作する恐れが出てきている。

(5) CT・PDの負担の一層の低減

過渡対策付 CT の鉄心を少しでも少なくするため、継電器の CT 負担は更に一層の低減が要求されてきている。また、 PD の小形化、 ガス 絶縁 タンク 利用の小容量 PD の出現等によって、継電器の PD 負担も低減が要求されてきている。

以上は系統のニーズからの要求であるが、省力化の面からは、

- (1) 不良発見性能向上のための自動監視の高精度化・高性能化
- (2) 系統事故時の記録の充実による事故解析能力の強化
- (3) ロケータ 機能の付加

(4) 整定の自動化

などが、要求されつつある。

これらの各種要求に対応する方法として,当社は次の具体案で対応していくつもりである。

2.2.1 送電線用電流差動キャリアリレー

現用の位相比較 ‡+リアリレーでは、位相情報を主体に伝送し合って事故の有無を判断していたが、図3.に示すように、内部事故時の流出電流に対しては、SLLのレベルまでしか保護できなかった。電流差動 ‡+リアリレーは、同図に示すように流入電流の50%流出まで動作できるように保護性能を大幅に改善しようとするもので、各端の電流の瞬時値を伝送し合って、差動保護するものである。

具体的には、各相3相電流以外に零相電流も伝送し、3相電流伝送の零相 チェック 監視方式として、システム の統合監視を行っているが、

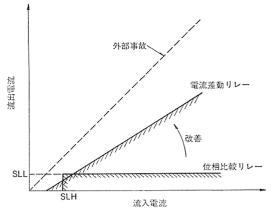


図 3. 比 率 特 性

この零相電流伝送を利用して、高感度地絡事故検出が可能である。

電流差動は、原理的に両端可変電源系統に適用できるので、長距 離送電線の問題も解決してくれるし、電流の正・負両波の情報を有 効に利用しているので、両波位相比較並みの高速度化が可能である。

電流波形伝送については、FM 方式の製品化を進めており、PCM 方式についても基礎技術の開発を進めている。

2. 2. 2 ディジタルリレー

ディジタルリレー については、 その特長を生かして、系統からの要求と 省力化からの要求に対応することが比較的容易である。その主な特 長は次のとおりである。

(1) メモリ 機能の応用

ディジタルリレー の最も得意とする機能である メモリ を利用して、事故時の記録の充実化、変化分 リレー の高精度化が可能である。

(2) 計算能力の応用

インピーダンス 直読 アルゴリズム による ロケータ 機能の付加や、遠方後備保護に都合のよい理想的距離継電器の特性の実現が可能である。

(3) 自己診断能力の応用

計算機独特の自己診断機能を応用した自動監視システムの強化が可能である。

(4) インタフェース 機能の応用

整定の メモリ 化により,伝送 システム と インタフェース をとれば,整定の 自動化も可能である。

(5) 総合管理機能の応用

従来装置では不可能であった各種管理機能の付加が可能である。以上の機能の可能性を持つ ディジタルリレーの ユニットの 1 例を図 4. に示

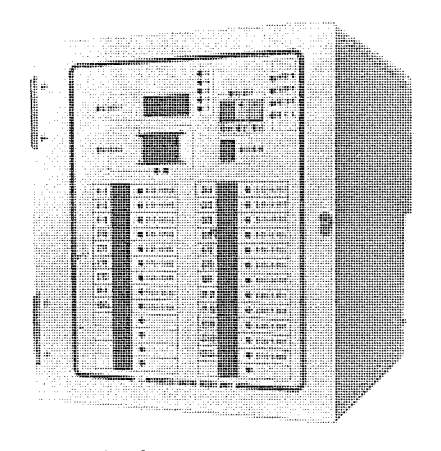


図 4. ディジタルリレーユニット

す。

2.2.3 保守の容易性の追求

保守の容易な高信頼度装置の開発を進めてきたが、保守の容易性の 追求は製作者としての責務であり、今後とも強力に推進していく所 存である。

3. 事故波及防止継電方式

3.1 500 kV 用事故波及防止システムの納入実績

電力需要の伸び、電源・送電線の立地難、設備利用率の向上や省ェネルギー対策等から、500 kV をはじめとする基幹系統は重潮流 化の傾向にある。このような基幹系統において系統事故が発生すると、前述の各種設備事故除去方式により高速・確実に事故除去されるが、事故除去後、系統で設備過負荷、安定度崩壊あるいは周波数異常等が発生し、事故波及により系統全停に至る恐れがある。このため各電力会社では、各種系統安定化対策、事故波及防止対策を採用し、良質かつ安定した電力エネルギーの供給に努力してきた。当社は、従来よりこの分野において新技術を開発し、系統安定化装置、緊急制御装置、過負荷制御装置を製作納入してきた。表 2. は、500 kV 系統への事故波及防止システムの納入実績である。

3.2 500 kV 外輪系統安定化システム

3. 2. 1 システムの目的

500 kV 放射状系統などの連系送電線において ルート しゃ断が発生すると、系統が2分し、事故前潮流が大であると分離系統の周波数動揺が大きく、各社間連系分離、電源脱落を招き、周波数動揺が加速的に大となり、系統全停に至る恐れがある。この装置は適切な波及防止制御を高速で実施して、系統を安定化するものである。

3.2.2 制御概念

図 5. に、外輸系統安定化装置の概念図を示す。外輪線がルートしゃ断すると、系統が分離し、分離前潮流の方向により、一方では供給過剰となり周波数が上昇し、他方では給供不足となり周波数低下となる。一般に系統の特性から、周波数低下方向が上昇方向よりシピヤであるので、このシステムでは外輪線の運用潮流から周波数低下側対策のみを実施している。すなわち、外輪線1の潮流がa方向の場合は、A電気所より右側の系統において、揚水動力を優先した負荷制御を行う。

表 2. 500 kV 事故波及防止 システム の納入実績

No.	納入先	設置場所	納入年度	対象事故数	制御対象数 (最大)
ı	関西電力(株)	新生駒 S/S	昭和 47 年	3ケース (負制)	揚水負荷3 負荷群21
2	中部電力(株)	西 都 S/S	昭和 47 年	3ケース (電制・負制)	発電機 5 揚水負荷 3 子 SSC 4
3	中部電力(株)	東 部 S/S	昭和 48 年	3ケース (電制・負制)	発電機 4 揚水負荷 4 子 SSC 6
4	関西電力(株)	猪名川 S/S	昭和 49 年 (昭和55年改造)	6 ケース (負制)	揚水負荷 3 負荷群 37
5	関西電力(株)	西京都 S/S	昭和 52 年	7 ケース (負制)	揚水負荷 3 負荷群 21
6	関西電力(株)	南京都 S/S	昭和 55 年	2 ケース (負制)	揚水負荷 2 負荷群 22

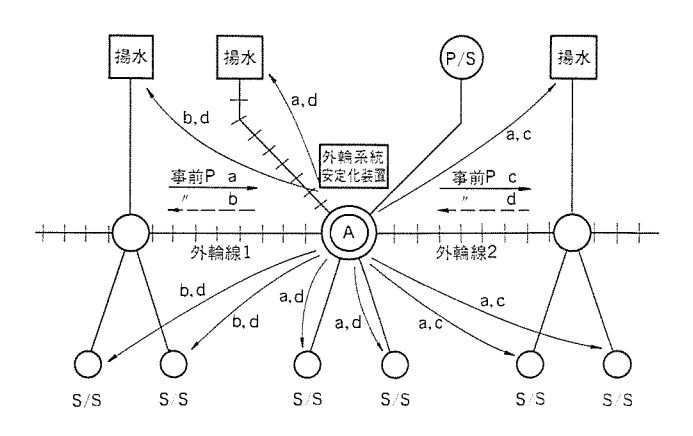


図 5. 制御概念図

3.2.3 システム構成

図 6. に、この システム の トータルシステム 構成を示す。

(1) 主保護 システム

計算機 システム は、制御用 ミニコンピュータ《MELCOM 350-7》が中核で、外輪線潮流、系統容量、制御対象負荷潮流等を オンライン で入力し、所定の演算 アルゴリズム で制御すべき最適解を 10 秒周期で計算し、あらかじめ継電装置部へ出力している。

事故発生時には、継電装置部にて外輪線両端に設置された事故検 出盤からの起動信号を受信し、自端の外輪線潮流の変化有を条件に、 計算機からの制御解を高速で出力する。

(2) 後備保護 システム

主保護 システム が保守点検,障害等で不動作時 バックアップ するもので, 主保護と同様に演算処理部と継電装置部とで構成される。

演算処理装置は、マイクロプロセッサ《MELPAC 300》:《MELPS-8》が中核で、自端で検出できる外輪線潮流などごく一部を除き、あらかじめ季節、カレンダー、時刻によって設定された潮流値に基づき最適制御解を 10 秒周期で求め、継電装置へ出力する。

後備保護 システム は、伝送路障害時などの オンラインデータ 喪失による 主保護 システム の機能停止対策として、 オフラインデータ を主体としている。

3.3 システム設計上の留意点

事故波及防止 システムの性格から、高速性と高信頼性が特に要求される。このため特に配慮した点の主なものを以下に記述する。

(1) 信頼度向上策

- (a) 異なる ハードウェア, ソフトウェア にて主保護, 後備保護 システム を構成し、トータルシステム の停止を極小とした。
- (b) 演算装置,継電装置の特長を生かして機能分担し, インタフェース 部分も含めて相互に動作を監視する方式を採用した。
- (d) 事故検出信号,負荷制御信号の伝送系統は、伝送路を含めて2重化し、1系列のみ信号有の場合は外輪潮流変化有又は周波数変化有を条件に付加した。

(2) 制御速度向上策

- (a) 常時演算待機方式とし、事故発生時は補助継電器で構成された シーケンス 部で制御を実施する方式とした。
- (b) 事故検出信号, 負荷制御信号の伝送装置には, 12 ビット 固定パターン 照合方式の信号伝送装置 (J. T 装置) を採用した。

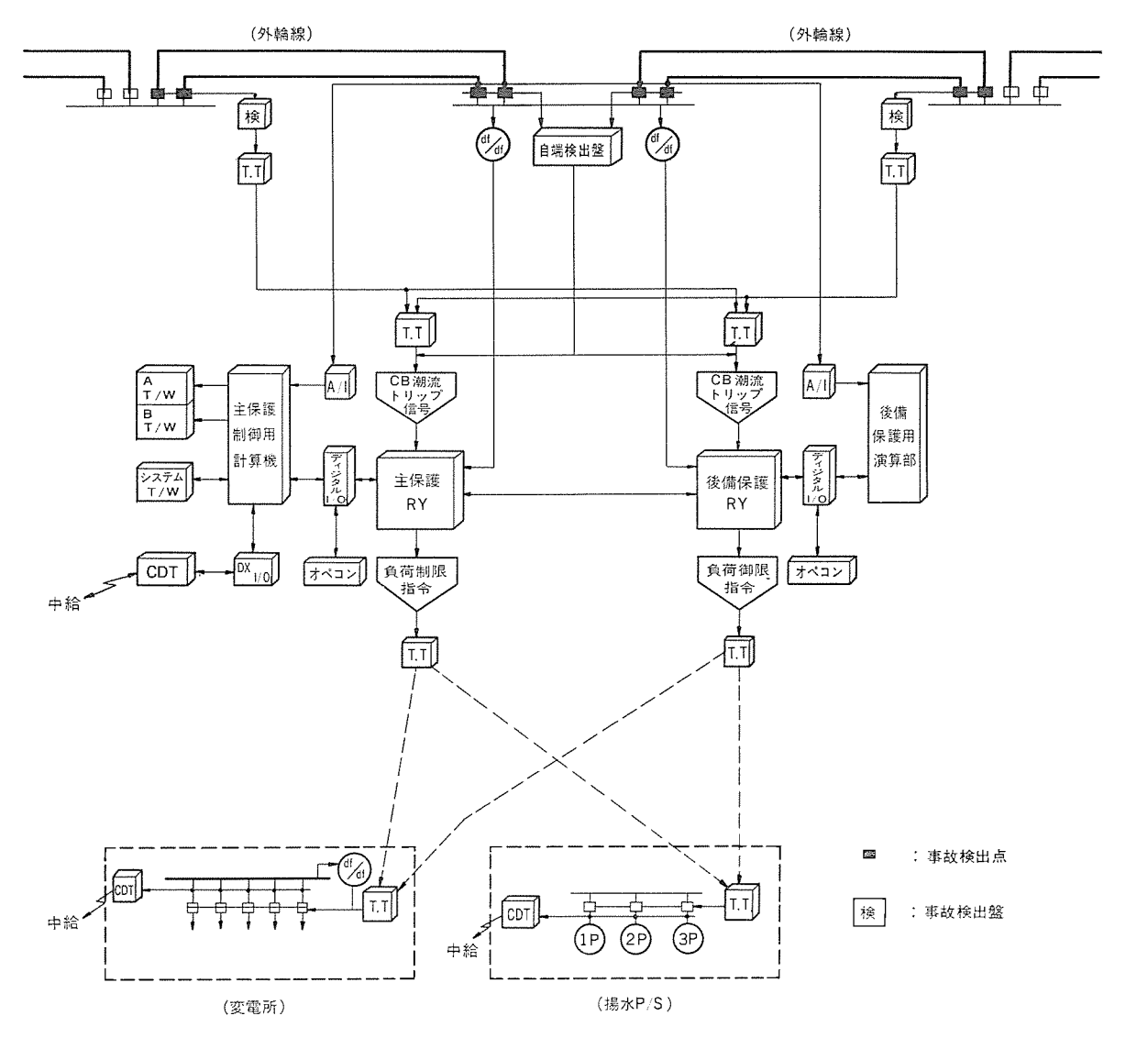


図 6. 外輪系統安定化装置の トータルシステム 構成

(c) ストッパ条件としての外輪潮流変化検出部及び周波数変化検出部に、高感度高速形検出器を採用した。

3.4 今後の展望

当社は、従来より市場のニーズから放射状系統、分離系統を対象とした周波数維持を主体とした事故波及防止システムを製作納入してきたが、最近ループ系統における定態安定度、過負荷対策用のシステムも実用化した。今後は、過渡安定度対策を主目的とした事故波及防止システムの開発・実用化にも取組んでいく所存である。

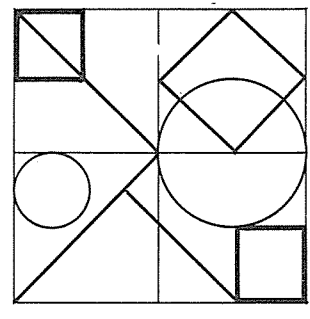
4. む す び

ますます複雑化する電力系統からの保護システムへの高度な要求について述べたが、これらの要求に対応できるよう、今後とも一層の研究開発を進めていく所存である。電力会社の方々には、終始ご指導いただき感謝する次第であるが、今後の技術開発についてはなお一層のご協力をお願いしたい。

参 考 文 献

(1) 三上,北浦,古谷,天野,鈴木,高田,小林:500 kV 用保護 継電装置,三菱電機技報,45,No.9,p.1126 (昭46)

- (2) 鈴木,中村,坂本,東:500kV用線路保護継電装置,三菱電機技報,49,No.10,p.653 (昭50)
- (3) 辻倉, 江田, 畑田, 岡田, 三宅:500kV用母線・変圧器保護 継電装置, 三菱電機技報, 49, No. 10, p. 659 (昭50)
- (4) 寺田,中川,伊藤,加賀,坂口:500kV系統制御装置,三菱電機技報,49,No.10,p.671 (昭50)
- (5) 鈴木,前田:マイクロプロセッサ の保護 リレーシステム への応用, 三 菱電機技報, 50, No. 8, p. 424 (昭51)
- (6) 志賀,杉山,鈴木,鈴木,赤塚: FM 電流差動 キャリアリレー, 三菱電機技報,51, No. 9, p. 625 (昭52)
- (7) 森,山田: これからの電力系統保護・制御装置,三菱電機技報,49,No.10,p.649 (昭50)
- (8) 森,山田,鈴木: これからの電力系統保護・制御装置,三菱 電機技報,51, No. 6, p. 363 (昭52)
- (9) 森, 山田: これからの電力系統制御, 三菱電機技報, 53, No. 10, p. 705 (昭 54)
- (10) 山田, 鈴木, 前田: 系統保護制御における コンピュータ 応用技術の動向, システム と制御, 23, No. 3, p. 147 (昭 54)



特許と新案

内 燃 機 関 始 動 装 置 (実用新案登録 第 1198460 号)

考案者 平田 毅・山根恒夫

この考案は内燃機関始動電動機の電気回路に関するもので、従来の 回路と比較して設計を容易にし電動機に付属する電磁スイッチの小形 化を可能としたものである。

図 1., 図2. において、(1)は電動機、(5)はこの電動機により駆動されるピニオン、(6)はこのピニオンにこう(嚙)合可能な機関のリングギヤ、(7)は電圧 コイル(9)と電流 コイル(10)を収納した コイル箱、(11)は上記各コイル(9)(10)により吸引される プランジャ、(12)は復帰用ばねである。(15)は可動接点、(18)(19)は固定接点で、これらは上記 プランジャ(11)により開閉される。(23)は始動スイッチ、(24)は電磁コイル(25)により接点(26)が離接する補助スイッチ、(27)はバッテリ、(29)は電流制限抵抗、(32)は接点(30)と励磁コイル(31)からなる電磁スイッチである。

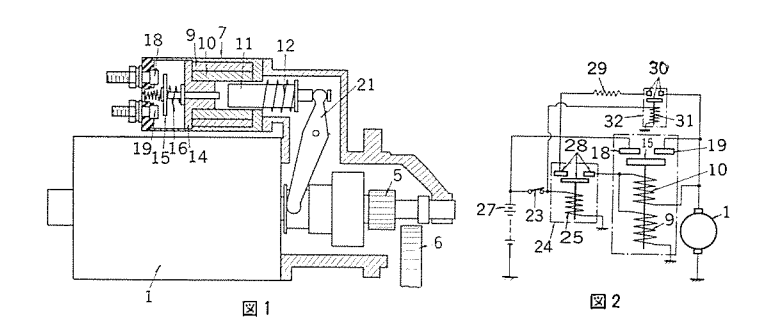
始動スイッチ(23) を閉じると、各コイル(25)(31)が給電されて接点(26)(30)が閉路する。したがってコイル(10)(9)が通電され、電動機(1)はコイル(10)を流れる電流と電流制限抵抗(29)を流れる電流とにより給電されて低速補助回転を行う。またコイル(10)(9)の給電により プランジャ(11) が吸引され、レバー(21)を介してピニオン(5)が移動し リングギャ(6) に衝突する。この時電動機の低速度回転によりピニオン(5)も回転し リングギャ(6) に嚙合する。これにより接点(18)(19)と(15)が閉路し、電動機(1)はバッテリ(27)の全電圧により駆動され機関を始動する。

この考案は従来の回路に電流制限抵抗(29),電磁ス $_{1-y}$ +(32)を付加したところに特徴を有する。すなわち、電動機(1)が補助回転を行うときの回転力は、 $_{1-y}$ +(10)を流れる電流と電流制限抵抗(29)を流れる電流に依存するため、電流制限抵抗(29)の値を適当に選定す

ることによって十分大きくできる。一般に、ピニオン(5)が リングギヤ(6)に衝突した時、その位置での プランジャ(11)の吸引力をF、復帰ばね(12)の力量をf、電動機(1)の回転力をTとしたとき、

T>K(F-f) ただしK は比例定数

の関係を満足しなければピニオン(5)とリングギャ(6)は嚙合しない。しかるに、この考案ではTは十分大きくできるので、復帰ばね圧・fは小さくても上式を満足し得る。したがって電圧 コイル(9)は小さなfに抗する力を発生すればよいので、巻数を小さくでき、また電圧コイル(9)の超磁力を機関始動後に打消す働きをする電流コイル(10)の巻数も小さくでき、コイル箱(7)全体を小形安価に構成し得る。更にfを大きくする必要がないので、機関始動時に バッテリ(27)の電圧が低下してもプランジャ(11)を鉄心(14)に吸着しておくことができ、いわゆる、接点(15)と(18)(19)の繰返し開閉現象を防止し得るものである。



負 荷 時 タ ッ プ 切 換 器 (特許第881190号)

発明者 樋口 昭·古川一弥

本案は サイリスタ を利用した無電弧負荷時 タップ 切換器に関する もの である。従来の タップ 選択器,切換開閉器,限流 インピーダンス を用いた負荷時 タップ 切換器 はその開閉接点の開極時に r-2 を発生し,接点が損耗したり保守点検が煩雑になる欠点があった。

本案のものは図 1. に示すように、 開閉接点(11)(12)に並列に サイリスタ 装置(31)(32)を接続し、これをタップ(2)(5)間に流れる橋絡電流を検出して点弧制御するようにしたものである。図中(28)はサイリスタ 装置(31)(32)の制御装置、(25)(26)(27)は変流器である。

この装置の切換動作を図2.により順を追って説明すると、まず、

図 2. (a) において負荷電流 I_L は タップ(2) から タップ 選択器 接点(3)(4),開閉接点(11),出力端子(18)を介して流れている。 ここで補助切換接点(10)を 図 2. (b)のように切換えると限流抵抗(17)を通ってタップ 間橋絡電流が流れる。この電流によって図 1. の制御装置(28)が変流器(26)を介して励磁され,図 2. (c)のように サイリスタ 装置(31)を導通状態にする。次に図 2. (d)のように開閉接点(11)を開放する。この時,負荷電流 I_L,橋絡電流 I_C とも サイリスタ 装置(31)に転流し開閉接点(11)は無 アーク で開路することができる。この転流電流を変流器(25)により検出し サイリスタ(29)を点弧し

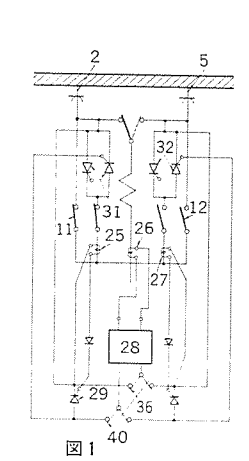
特許と新案

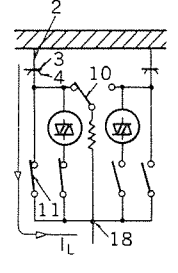
て制御装置(28)の出力端(36)(40)を短絡し、 サイリスタ 装置(31)を次

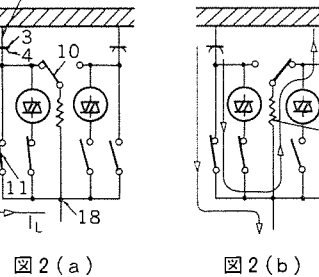
の電流零点で消弧せしめる。 したがって図 2. (e)の ように負荷電流 IL は限流抵抗 (17) を介して タップ(5) から供給されるようになる。更に補助接点(20)を開離 (図 2. (f)) し、補助接点(23), (12)を順次閉成す れば図 2. (h) のように負荷電流 IL は タップ(5) から

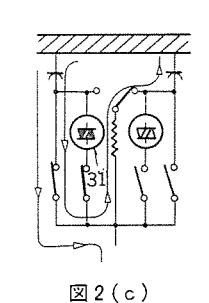
限流抵抗を介せず 開閉接点 (12)を通じて負荷に供給され るようになりタップ切換えは 完了する。

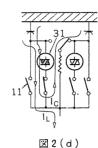
以上のように本案によれば サイリスタによる無接点切換え を可能にしたのでァークによ る接点の損耗が完全に防止で き保守点検が容易になるとと もに、 サイリスタ は常時点弧さ れないように構成しているた め、変圧器の短絡電流等の事 故電流による影響を受けにく











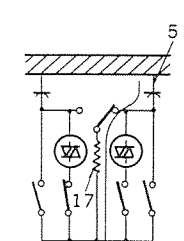
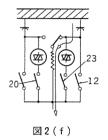
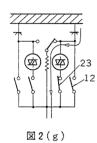
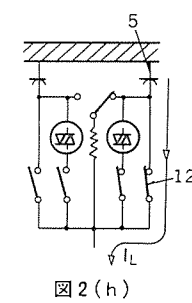


図2(e)



くなる特長を有するものである。





招 (特許 第630234号)

宏 小 俣 虎 之 助・田 中 光 雄・菅 原 発 眀 者

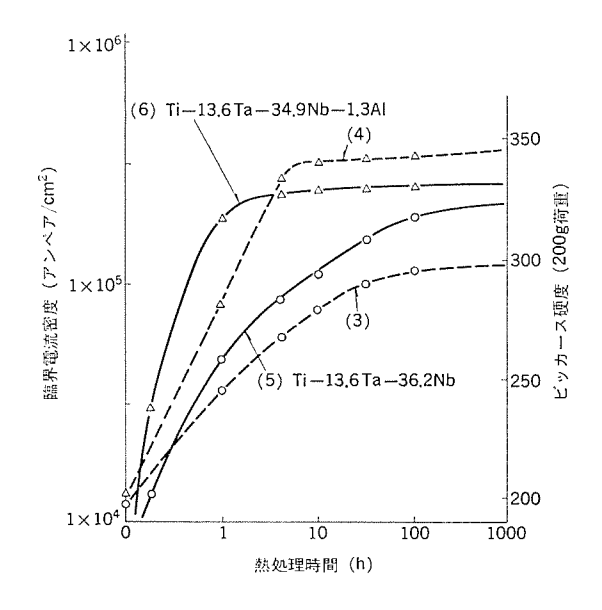
この発明は極低温において, 電気抵抗を消失し, 超電導磁石に使用 される超電導合金に関するものである。

超電導合金としては、Ti-Ta-Nb 三元系合金が優秀であり、その 臨界磁界, 臨界電流密度は Nb-Zr 合金や Nb-Ti 合金に比べ高い値 を有しており、 また トレーニング 現象や低磁界不安定性も全く示さな いという優れた特性を有している。しかし、この臨界電流密度の向 上は加工の中間段階、又は最終段階で熱処理を施さなければ得られ ず、またその熱処理時間が長いほど増大するため、所期の効果を得 るためには、比較的長時間の熱処理を必要とし、また長時間の熱処 理に耐える炉を必要とした。このため生産性経済性の面で好ましく なかった。

この発明は、熱処理時間が極めて短くて済む超電導合金を提供す るものである。つまりその組成を重量%で、26~64.5%のTi, 2.5 ~19.5% の Ta, 2.5~49.5% の Nb 及び 0.1~5% の Al とすること により、Ti-Ta-Nb 三元系合金の超電導特性を短時間の熱処理で向 上させるものである。その1例を図からみると、曲線(3)(4)は Ti-13.6 Ta-36.2 Nb 及び Ti-13.6 Ta-34.9 Nb-1.3 Al の熱処理 時間 に対する ビッカース 硬度を示す曲線であり、(5)(6)は Ti-13.6 Ta-36.2 Nb 及び Ti-13.6 Ta-34.9 Nb-1.3 Al の熱処理時間に対する臨界 電流密度を示す曲線である。

この図のように臨界電流密度の増大は硬度の変化の傾向と一致し ており、この発明の1例である Ti-13.6 Ta-34.9 Nb-1.3 Al 四元系

合金の臨界電流密度は熱処理時間が10時間で所定の値に達するの に対し、従前の Ti-13.6 Ta-36.2 Nb 三元系合金は 100 時間経過して も増大はしているものの、上記所定値にはまだ達していない。これ からこの発明の生産性経済性が極めて優秀であることが分かる。



電子制御方式ビデオカセットレコーダー

中島 治*・正田茂雄*・三橋康夫**・小島正典**・宮後俊春**

1. まえがき

家庭用 ビデオカセットレコーダー (以下 VTR と略する) は、昭和54年には生産高で前年比55% 増の約3,000億円に達し、電子商品の中でも群を抜く成長をみせ本格的成長期を迎えようとしている。当社では、我が国初の5モータダイレクトドライブの VHS 方式 VTR 2機種 H V-6000 形及び HV-5000 W 形を製品化した。VTR は、早送り、巻もど(戻)し、停止などのテープの走行に関する操作や録画、再生操作などテープレコーダーに固有の操作機能のほかにテレビ放送の選局機能やタイマー録画機能を備えているのが通常であり、カラーテレビよりは操作が複雑である。今回製品化した VTR は、テープレコーダーとしての操作がソフトな フンタッチ で可能であり、 選局部には電子同調チューナーを採用しているため選局操作も容易である。 また、これらの操作のリモートコントロールもできるなど操作性の優れた VTR である。

HV-6000 形は、録画開始及び終了の曜日、時間と チャレネル が 6 組予約できる タイマー を備えた機種で、HV-5000 W 形は、音声多重 放送の 2 つの音声の受信(録画・録音)と一般の音声多重 テレピを用いての再生が可能なようなすべての機能を持った機種である。以下 この 2 機種の特長のある部分について紹介する。



図 1. HV-6000 形 ビデオカセットレコーダー と ワイヤレスリモコンユニット

2. デッキ部の概要

2.1 5 モータ ダイレクトドライブ方式

この VTR の \vec{r}_{vp} ‡ 部には,5 \mathbf{t} $\mathbf{$

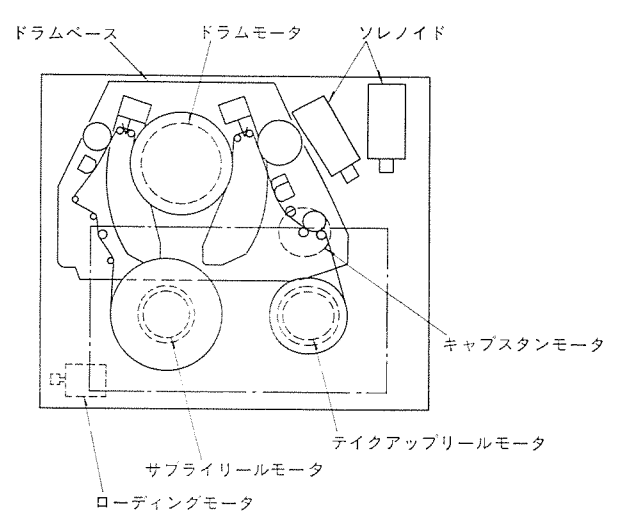


図 2. デッキ 駆動部概略図

また、ピンチローラの駆動などに、2個のソレノイドを採用し、デッキ部の駆動は、すべて電子的に制御されるメカニズムとなっている。更に、このデッキ制御は、4ビットのマイコンによって行い、動作の安定性と部品点数を削減している。また、録画、再生、早送り、巻戻し、一時停止、静止、コマ送り、頭出しなど多くのモードをワンタッチの操作ボタンで選択できる。

デッキ 部は、メインシャーシ と ダイカスト の ドラムベース とで構成しており、 テープトランスポート 部は、テープ の走行精度と信頼性を高く保つために、 リール 台部分を除いて、ドラム、キャプスタン、 音声 コントロールヘッド、ガイド 類などをすべて ドラムベース 上に一体に設けている。

5 モータ ダイレクトドライブ 方式と、 簡素な ローディングメカニズム の採用とによって、 デッキメカニズム の大幅な簡素化が達成でき、従来に比して約 60 %の部品点数を削減し、かつ デッキ 部の信頼性、生産性を大幅に向上することができた。

2.2 DD システム

2.2.1 ドラム駆動

ドラム 駆動用の モータ として,下側 ドラム に内蔵できる, 超らす形の ブラシレストランジスタモータ を新たに開発し,従来と同じ大きさの ドラム 内 に モータ を納めている。 図 3. にこの モータ を組込んだ ドラムアセンブリ の断面を示す。

この ϵ -9 は、 ϵ -9 回転に伴い,永久磁石と特殊 ϵ 7 の組合せにより,各 ϵ -1 素子に低周波信号と高周波信号の重畳信号を誘起する。低周波信号を ϵ -9 の位置信号として分離し, これをもとに ϵ -9 を ϵ 相駆動する。また,各 ϵ -1 素子の出力を加算した後,高周波信号を分離して ϵ -9 の速度信号が得られる。 このように, ϵ -9 本体内に収納した ϵ 組の素子で, ϵ -9 の位置と速度を同時に検出できる複合 ϵ -2 記列を記録される。 ϵ -9 部の厚さを 8 mm に

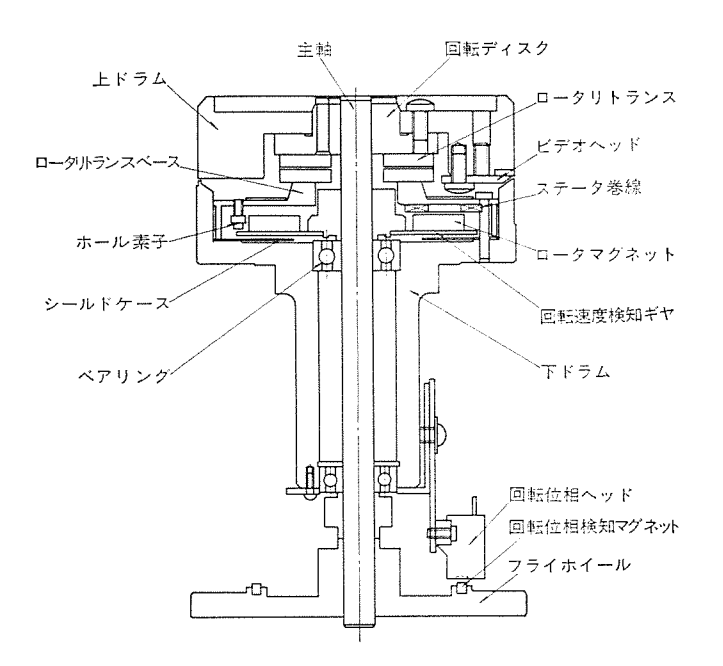


図 3. ドラムの断面図

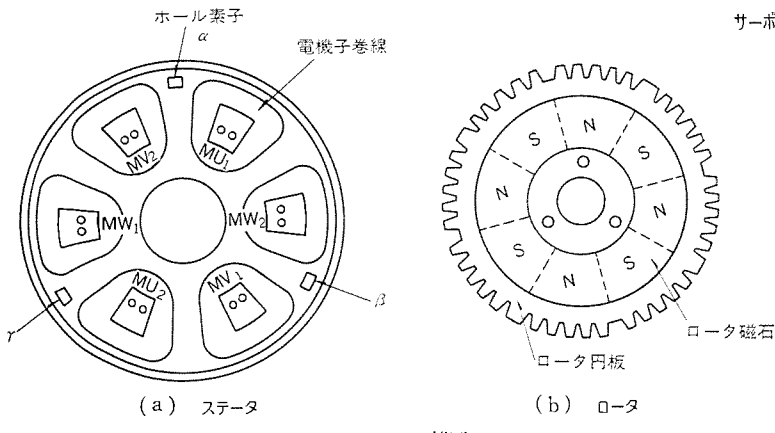


図 4. ドラムモータ の構造

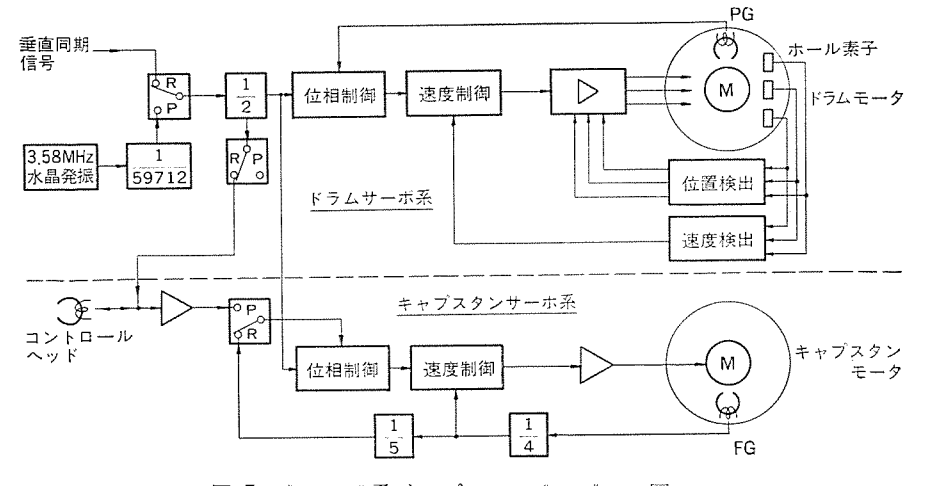


図 5. ドラムサーボ 及び キャプスタンサーボ の ブロック 図

押さえることができた。図4.にこのモータの構造図を示す。

DD 化による回転の安定化と信頼性の向上に加え、図 5. に示す ように、ドラムは水晶発振器に同期して回転するように構成したので、 高精度の回転が得られる。

2.2.2 キャプスタン駆動

テープの駆動は、小形 コアレス 直流 モータ の軸をそのまま キャプスタン 軸 として使っている。 キャプスタン 軸径を 4 mm としているので、 モータ

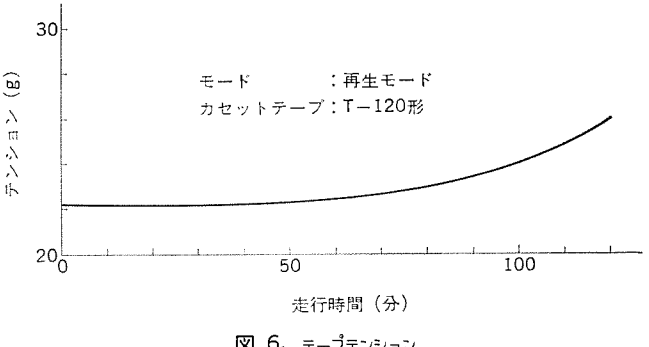


図 6. テープテンション

は 159 rpm の低速回転が必要である。このような低速回転での回 転精度を向上させるために,モータ 底部には リアクタンス 変化形の全周 対向形速度検出器を組込んで、この信号により速度制御を行えるよ うにしている。

キャプスタンモータ が独立しているので、図 5. に示したように、キャプ スタンサーボも ドラムサーボ と同じく,上記水晶発振器に同期し,再生時 は,ビデオトラックのトラッキングサーボをキャプスタン系で行える。これらの サーボ 系により、 再生画の ドット 防害の減少並びに ジッタ 性能の向上

を図っている。

2.2.3 リール駆動

リールの駆動は、テイクアップ側、サプライ側共にリール台に低慣性 の小形 コアレス 直流 モータ を直結して、それぞれ独立駆動でき るようにしている。これら モータは,各種 モードに応じてそれ ぞれ適切な巻取力又は バックテンション を テープ に付与する。 例 えば、ローディング、アンローディング又は停止のモードなどでは、各 モータ にそれぞれ一定電圧を印加している。

録画又は再生 モードでは、テープ に一定の バックテンション を与 えるために、テンションピックアップの変位を光学式センサで検知し、 この信号をサプライモータにフィードバックして、テンションの安定化

> を図っている。 図 6. に バックテンション 値の実測 例を示す。

> 早送り又は巻戻しモードでは、 時間短縮のた めに従来に比しリール回転を高速化したが、高 速走行中の テープを停止させる際に、リール 慣性 による デープへの悪影響を避けるため、 巻取速 度が過度にならないように モータ 印加電圧を制 御している。すなわち、テープを送り出している 側のモータの逆起電力に基づく信号を他方のモー タに フィードバック して, テープ 速度の増大を抑制 している。このようにして、早送り又は巻戻し 時間は、 T-120 形 カセットテープ において、 従来 の5分から3分以内に短縮できた。

2.3 メカコントロール部

デッキ 部の制御には、4 ビットの ワンチップマイコン を用いており、2 K バ ィトの マスク ROM に組込んだ プログラム に従って作動する。 メカコント ロールは、図7. に示すように、モード入力部、センサ入力部、マイコン、 制御出力部、表示部とで構成している。

モード 選択は、ソフトタッチのボタン操作で行い、スイッチのマトリクス接 続により マイコン に信号が入力される。 従来の メカ 式 ロジック と異な り、すべて電気信号で処理するので、リモートコントロールにおける入力 も容易となり、 また、操作の切換えは停止 ボタンを押すことなく、

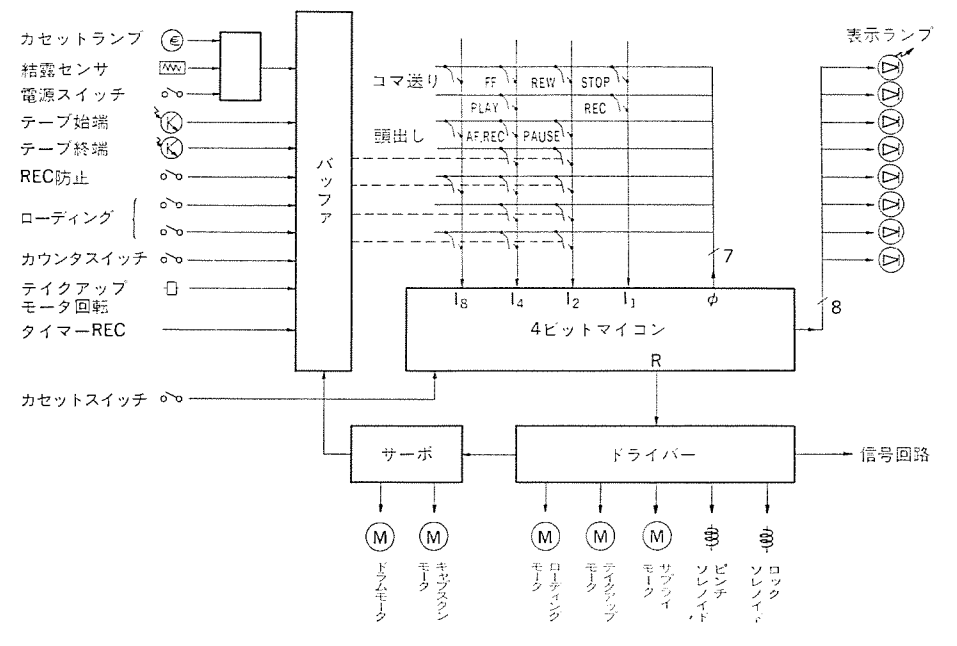


図 7. メカコントロール 構成図

ダイレクトに他のモードへ切換えることができる。

デッキ 内部には、カセット 検知、誤消去防止、ローディング 動作、 テープ 始端・終端、リール 回転、結露 センサ、カウンタスイッチ など、テープ あるいは デッキ の状態を検知する センサ を設けており、これらからの信号は、マトリクス 変換回路を経て、 モード 選択の スイッチ と同様に マイコン に入力 される。この センサ 信号により、デッキ 側の状態を判断し、あるいは メカニズム の駆動 シーケンス に従って、 マイコン から デッキ の各駆動部 へ制御信号が送られる。例えば、テープ が終わりまで送られると、リーダテープ を光学式 センサ が検知し、停止 モード の命令が出され、その後、自動的に巻戻し モードとなる。

これらの制御出力により制御されるものは、サプライモータ、F1/2アップモータ、D-F1/2でモータ、F3/2モータ と、D-F1/2 及び信号、 サーボ などの回路電源である。

3. 特長のある回路

3.1 静止コマ送り回路

本機では、FM 変調した信号に h_{5-} 信号を重畳して、図 8. のように $_{7-}$ プ 長手方向に対して約 6 度傾斜した ビデオトラック 上に記録している。 1 本の ビデオトラックは、1 フィールド(注 1)に対応しており、58 μ m 幅で相隣る トラックと密接している。 1 フレーム(注 2)の絵は 1 スぴ 2 のそれぞれの ビデオヘッド を用いて 1 スぴ 2 ない 1 とつの ビデオヘッド は図 8. 中に示すように 1 キップ 角度が 1 を度、トラック 方向と異なっている。これは再生した場合、 1 へッド 1 で 1 で 1 の トラック を再生すれば角度は記録・再生とも同じであるため 1 で 1 で 1 を 1 を 1 を 1 の 1 を 1 を 1 の 1 を 1 の 1 の 1 を 1 の 1 を 1 を 1 の 1 を $^{$

静止画再生は、=- 1 の走行を停止させ、 1_{7V-4} (すなわち 2_{7v-4})を繰返し再生することによって実現する。=- 1 走行が図 8.

(3)の位置停止している場合、ビデオヘッドの 軌跡は相対的に(3)のように傾きかつ ヘッ ド1 で記録された ch 1 の トラック 上を十分 に トレース することはできないため、再生静 止画面は ノイズ を含んだものとなる。 奇麗 な静止画を得るためには、 記録された トラ ック幅 58 μm より広い ビデオヘッド (70 及び 90 µm) で記録及び再生を行い, かつ テー-プ を微小量走行させ(4)の位置に移動させる 微細な制御を行うことが必要となる。(4) の位置ではほぼ全面的にわたってへッド1 (あるいは2)は、ヘッド1(あるいは2)で 記録された トラック 上を トレース し, ノイズの 少ない静止画面の再生が行われる。このよ うな最適位置に テープを 停止 させるには、 テープ 走行をいったん停止した後, 再生信号 レベル が下がって発生する ノイズが,再生画 面の垂直帰線期間に設けた基準位置信号と

一致するまで微小走行を繰返させ、一致した場合に完全に走行を停止させる方式を用いている。 更にこのように垂直帰線期間には ノイズ があるから、再生信号に新たな疑似垂直同期信号を付加して、垂直同期が不安定になるのを防いでいる。

コマ送りは静止画再生の状態から一定距離(約1.8 フレーム)のテープ

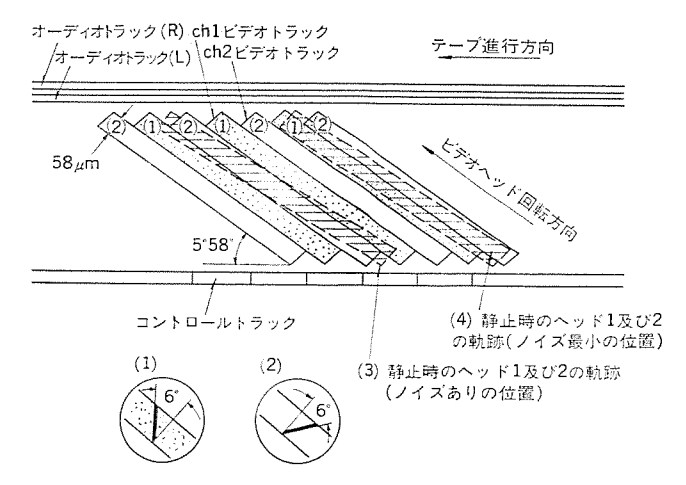


図 8. 磁気 テープパターン と静止時の ビデオヘッド の軌跡

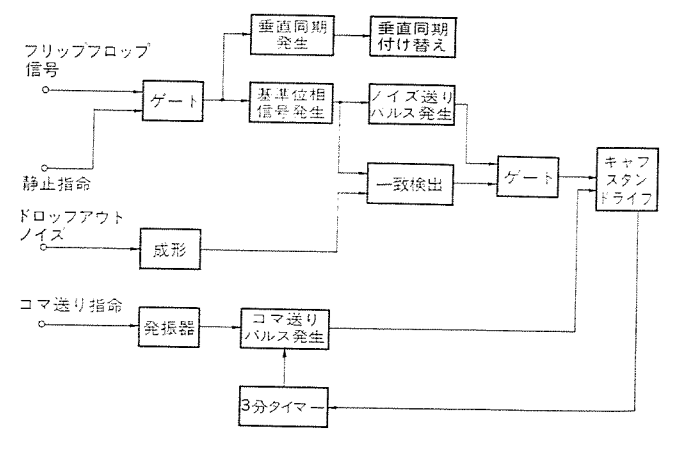


図 9. 静止 コマ 送り部 ブロック 図

⁽注 1) 1枚の絵であるが走査線数は半分の262.5本の不完全な絵である。

⁽注 2) 走査線 525 本の完全な絵である。

走行を強制的に行わせることにより実現する。こうすると、 静止画再生の場合の ノイズ に基準信号が一致しなく なる ため、 次に一致するまで自動的に微小量の テーブ 走行を行い 1 コマ (2 フレーム=4 フィールド) 進んだ静止画となる。

コマ送り ボタン は押し続けている間約1秒に1回のコマ送りを繰返す。手を離すとその時の静止画再生となる。更にボタンを1回ずつ押すとそのたびに1コマずつのコマ送りを行う。

以上が静止画再生、コマ送りの原理であるが、テープを長時間一定位置に停止させて再生すると、ビデオヘッドとテープの接触により、テープを傷つける恐れがあるため、1 画面の静止再生が約3分を超えると、自動的に1 コマのコマ送りを行い、テープを傷つけることを防いでいる。

3.2 音声多重回路 (HV-5000 W 形)

HV-5000 W 形は音声多重の デコーダ、エンコーダ を内蔵 しており、録音再生回路には ドルビー 回路(B タイプ)を採用し S/N 比の向上を図っている。

音声多重放送の音声信号は、図 10. に示すように内蔵の デコーダ により 2 チャンネル の音声信号に分離し、それぞれ録音再生される。 再生信号は 1ンバーダ で音声多重信号になり、 RF 1ンバータ から テレビ 受像機に送られる。

デコーダ 部には、当社 IC-M 51371 P を使用し音声多重の復調を行っている。記録音声は、モード 切換 スイッチ により両 チャンネル とも主音声あるいは両 チャンネル とも副音声 (外国語) という選択も可能で、アフレコ 選択機能との組合せで幅広い音声編集ができる。

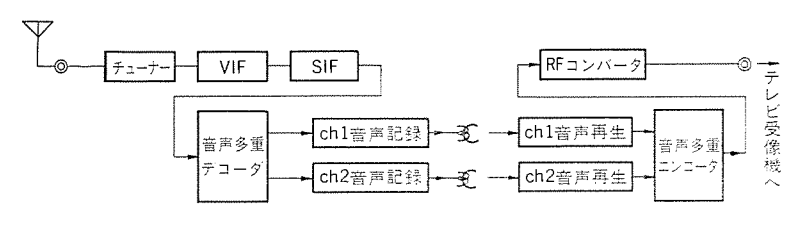


図 10. HV-5000 W 形音声信号系 ブロック 図

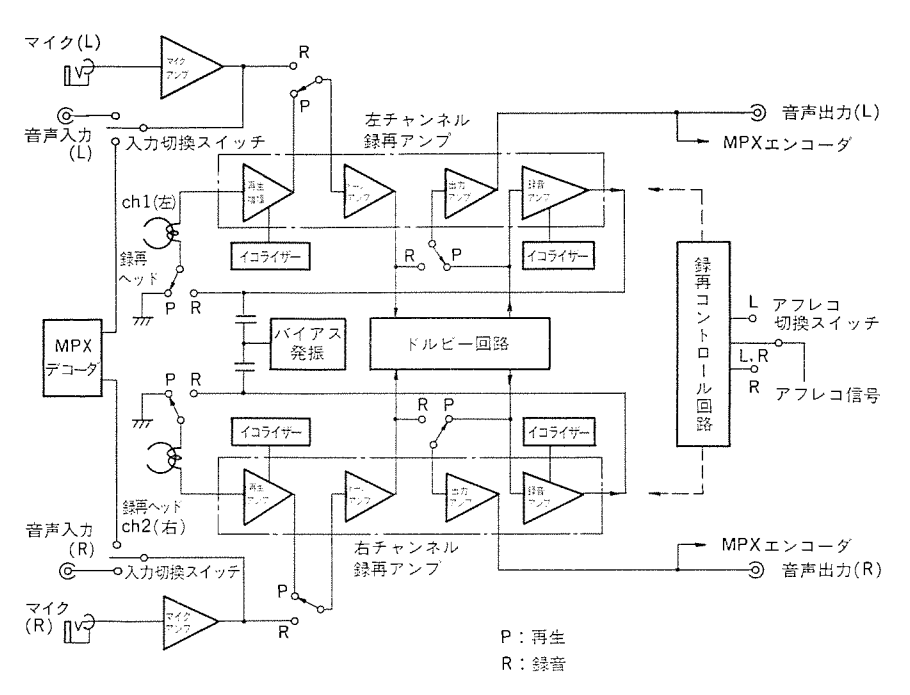


図 11. HV-5000 W 形音声録再回路 ブロック 図

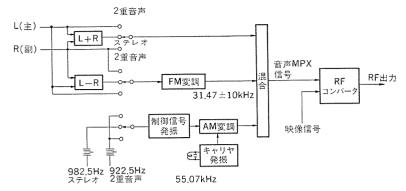


図 12. HV-5000 W 形音声多重 エンコーダブロック 図

録音再生回路は、図11.のような構成であり、ヘッド部の録再切換部は、一部リレーを用いている外はすべて電子スイッチ 化し高信頼化を図っている。本機では録再切換コントロールをチャンネルでとに独立させ、アフレコ 切換スイッチ により、左右いずれのチャンネルへもアフレコができるようにしている。ドルビー 回路は1IC で構成しており、録再切換えには C-MOS アナログスイッチを用いた。

エンコーダ部は ステレオ 2 重の切換 マトリクス と副 チャンネル 音声 FM 変調器と制御信号発生器とから成り、それらの出力を合成して マルチプレクス 信号としている。この マルチプレクス 信号は、RF コンバータ で FM 変調されて、音声多重放送と同様の RF 出力となるので、録音された 2 チャンネル の音声は、一般の音声多重 テレビ を用いて再生することができる。

3.3 チャンネルプログラム タイマー (HV-6000 形)

チャンネルプログラム タイマー は、テレビ 放送を自動的に録画しておき、ユーザー の生活ペース に合わせて テレビ 番組を楽しむ機能を提供することができる。図 13. にその構成を示す。

この タイマー は、マイコン を中心に キー、表示器、センサ 信号、被制御回路などから構成し、 キー と表示器は操作する人との間の インタフェース、また、センサ 信号や被制御回路は VTR 本体との インタフェース である。

ユーザーは、希望する番組が放映される曜日、時刻(開始及び終了時刻)、チャンネル番号などの予約情報をキーよりインプットする。予約情報は、曜日、時刻、チャンネル番号を組とし、6組の情報を予約することができる。キーには、予約情報のインプット用のほか予約情報の記憶メモリ選択用、現在時刻設定用など合計 15 個のキーがある。

これらの ‡- は、マトリクス 状に接続し 7本の 走査線によって順次走査し、マイコン の入力信号 として処理する。マイコン は、押された ‡- の内 容を表示し、押し続けている間一定時間ごとに 内容を シフト する。 したがって曜日指定(毎日 の指定を含む)は、1個の ‡- を用いて選択す ることができ、 ‡- 選択のわずらわしさから解 放される。

表示器は,現在時刻と予約時刻表示とに分け, わかりやすい表示にしている。予約時刻表示器 には, 予約情報の記憶 メモリ 選択用の キー を押

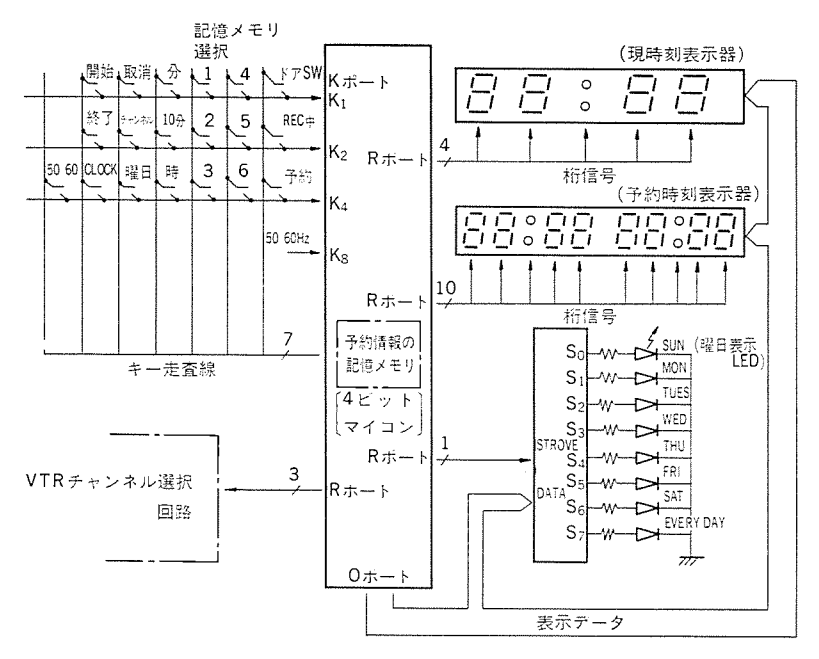


図 13. チャンネルプログラムタイマー 構成図

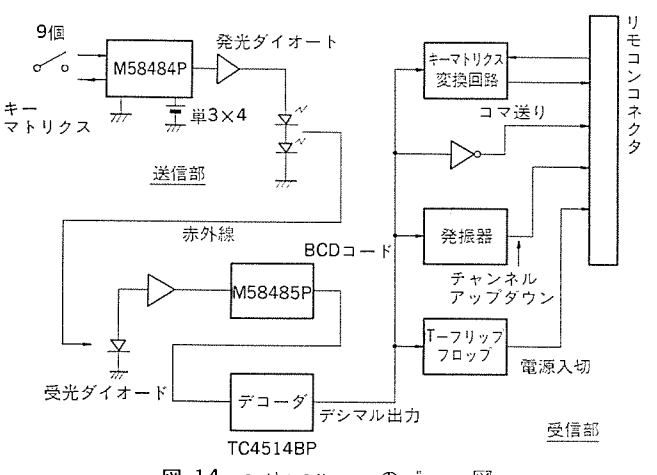
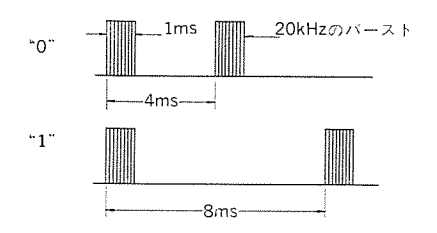


図 14. ウイヤレスリモコン の ブロック 図



巻戻し	000010	コマ送り	101010
再生	100010	録画	011010
早送り	010010	電源	111010
停止	110010	チャンネル ダウン	000110
一時停止/静止	001010	チャンネル アップ	100110

図 15. PCM 符号表

すことにより、メモリの記憶内容を表示することができ、予約内容の

確認や変更に便利である。

マイコン は,予約情報のすべてと現在時刻とを比較し,一致すれば チャンネル 選択用信号を コード 化した パルス 信号として, チャンネル 選択回路へ供給し,また,録画動作に必要な メカコントロール 信号を送り出す。使用した マイコン は,4 ビット の ワンチップマイコン であり,制御 プログラム の長さは 2 キロバイト である。

3. 4 ワイヤレス リモートコントロール部 (別売り) HV-6000 形及び 5000 W 形は, 我が国で当社だけの ワイヤレス で主要 10 機能の リモートコントロール が可能である。

送信器は, 9,200 Å の赤外線を媒体として チャンネルアップ 及び ダウン, 再生, 録画, 停止, 一時停止/静止, 早送り, 巻戻し, コマ 送り, 電源入・切の指令を VTR に与える。通達距離は 10 m である。

送受信器の構成は図 14. のように なっている。送信は図 15. のように符号化した電流を発光 ダイオード

に流し,発光させて行っている。 電源電流は ℓ - ρ で 500 mA,平均 15 mA 程度であるが, +- を押さないときには C-MOS-IC M 58484 P が発振停止し, $10\,\mu$ A 以下になるよう回路を構成しているので電源 210 は不要である。

送信された赤外線は,受光 ダィオード で電気信号 に 変換 された後 M 58485 P で PCM 符号が解読し,更に TC 4514 BP によって デシマル 出力化する。デシマル 出力は次のように各回路を制御する。

電源出力 : T フリップフロップ を介して制御することにより送信 する度に開閉が反転する構成としている。

チャンネルアップダウン 出力 : 出力が持続している間 0.25 秒ごとにパルス を発生させて, その度に チャンネル を進める。

コマ送り出力 : バッファを介して直接コマ送りを制御する。

その他の出力 : キーマトリクス 変換回路で、マトリクス スイッチ を作動させる。マトリクス スイッチ は、リモコンコネクタ を介して

メカコン 回路に接続しているので、本体と同様な操作が リモートコントロール で可能となる。

以上は、 ワイヤレス リモートコントロール について述べたが、これと同じ 10 機能の ワイヤードリモコン も別売 ユニット として製品化している。

4. む す び

これらの VTR は、昭和54年8月から国内向けに出荷を始めたほか、米国、中近東及び欧州向けに輸出を進めている。今後、当社独自の5個のモータが独立、かつ高精度に駆動できる特長を更に発展させて、記録時間の長時間化や絵を見ながらテープの頭出しが可能なスピードサーチ機能の付加などを行っていく考えである。

参 考 文 献

(1) 打田,山崎,三村:無整流子電動機における位置及び速度の 複合検出法,昭54電気学会全国大会

ドップラレーダ車両感知器用プリント化スロットアレイアンテナの試作

片 木 孝 至*·真 野 清 司**·沼 崎 正**·斉 藤 光 夫***

1. まえがき

10 GHz 帯の が2 発振器を用いた ドップラレーダ 方式の可搬形あるいは 固定形の車両感知器に使用する アンテナ として従来は パラボラアンテナ やホーンアンテナ が用いられていたが、運用時の取扱いやすさや重量の点から装置全体の小形軽量化が要求されており、特に アンテナ を薄形でかつ軽量のものにする必要があった。平面状の薄形軽量の アンテナ としては導波管 スロットアレイアンテナ やプリント 化 スロットアレイアンテナ などがある。 それらの アンテナ のうち プリント 化 スロットアレイアンテナ は スロット 放射部及び 給電回路部を 1 枚の 両面銅張誘電体基板の 表裏に フォトエッチングして得られるので製作が容易で量産に適し、低価格で製作できるという利点がある。 そこで、ここでは片面放射とするために基板後方へ反射板を取付けた プリント 化 スロットアレイアンテナ を採用した。この種の アンテナ はこれまで 12 GHz 帯の SHF 放送受信用や放送衛星受信用として試作結果が数例報告されている(1)(2)。

との報告では 10 GHz 帯の ドップラレーダ 車両感知器用 アンテナ に適した特性を有する プリント 化 スロットアレイアンテナ の設計法及び試作結果について述べる。

2. 概 要

車両感知器用のアンテナに対しては発振器出力を安定にするために入力 VSWR (Voltage Standing Wave Ratio) が小さいことや十分な車両感知距離をとるために高利得であること,更に誤感知を防ぐため目標以外の車両や地面などからの不要反射波の受信レベルが小さくなるように水平面内及び垂直面内放射 パターンの サイドローブレベルを低く抑えることなどが要求される。使用周波数は 10.525 GHz ± 15MHz で偏波は垂直である。主な目標性能を表 1. に示す。なお,H面は水平面,E面は垂直面に対応している。

 ビーム
 相面
 10°以下

 E面
 14°以下

 サイドローブレベル
 H面
 -20 dB以下

 E面
 -20 dB以下

 利
 21 dB以上

 V
 S
 W
 R

 1.3 以下

表 1. 目標性能

3. 設 計

3.1 放射素子の設計

放射素子は マイクロストリップ 線路給電 による 反射板付きの スロットアンテナ (3)である。試作した スロットアンテナ の外観を図 (1) に示す。 スロット は $(50\,\Omega)$ の マイクロストリップ 線路と インピーダンス 整合をとるために給電点をスロット 中央からずらして オフセット 給電されており、 スロット 給電点は スルーホール (through-hole) めっきによって表裏の銅はく(箔) を短絡

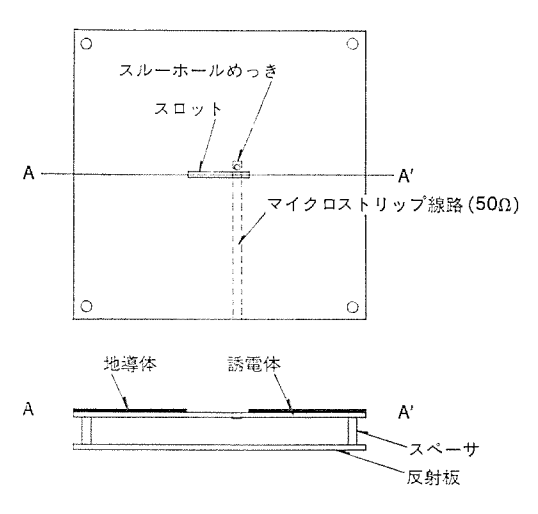


図 1. スロットアンテナ

してある。スロット 長及び給電点位置を変えて最良の素子寸法を実験的に求めた結果, $10.2\sim10.8~\mathrm{GHz}$ で入力 VSWR が $1.15~\mathrm{以下}$ の スロットが得られた。なお,使用した基板は比誘電率が 2.5,誘電正接が 0.0025 の 55 繊維強化 4 フッ 化 エチレン 樹脂銅張り積層板であり,以下の アレイアンテナ に使用した基板も同一である。

3.2 アレイアンテナの設計

放射素子の配列は一般的な四角配列とした。まず素子数を決定するために素子給電振幅分布を サイドローブレベル の目標値 $-20~\mathrm{dB}$ に対してここでは $-30~\mathrm{dB}$ の ドルフチェビシェフ 分布とすると, $E-\Delta$ 幅 BWと アンテナ 長 L には次の関係がある $^{(4)}$ 。

$$BW = \frac{60}{(L/\lambda_0)}$$
 ($\not E$)(1)

ただし、 λ_0 は自由空間波長である。 目標とする $E_{-\Delta}$ 幅を式(1) に代入すれば、水平、垂直各方向の F_{DF} ナ長 L_x 、 L_y は次のようになる。

$$L_x \ge 6.0 \,\lambda_0, \ L_y \ge 4.3 \,\lambda_0 \,\cdots (2)$$

今回の設計周波数は $10.525\,\mathrm{GHz}$ であるから λ_0 は $28.5\,\mathrm{mm}$ となり L_x は $171\,\mathrm{mm}$ 以上, L_y は $122\,\mathrm{mm}$ 以上となる。各 λ_0 かり は基板 裏面の λ_0 の波長短縮率は λ_0 の の波長短縮率は λ_0 のから所要素 子間隔は λ_0 であるから所要素 子間隔は λ_0 である。今回の基板の許容寸法は約 λ_0 0 λ_0 0

マイクロストリップ線路によるスロット 給電回路は図 2. に示す構成とした。x 方向(水平方向)の分配器は T 分岐の組合せ、y 方向(垂直方向)は十字形 3 分岐の組合せであり、順次入出力端に近い スロットから給電していく方法である。y 方向給電線に隣接する各 スロットは y 方向マイクロストリップ線路地導体に流れる電流を切る方向に設けられている。これらのスロットと給電線との結合を避けるため,x 方向の素子配列の間隔は中央部で他よりも広げてある。また y>0と y<0

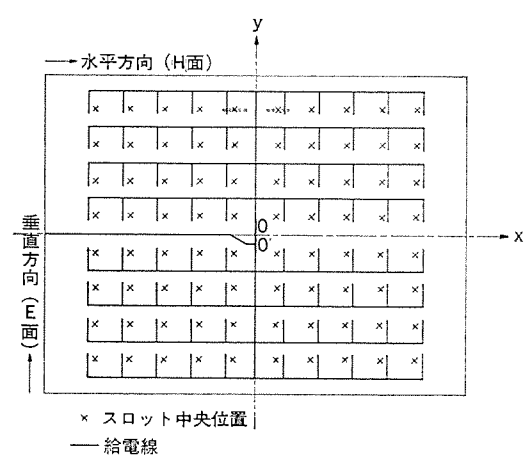


図 2. 給電回路の構成

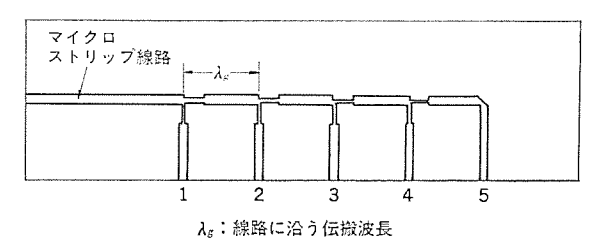
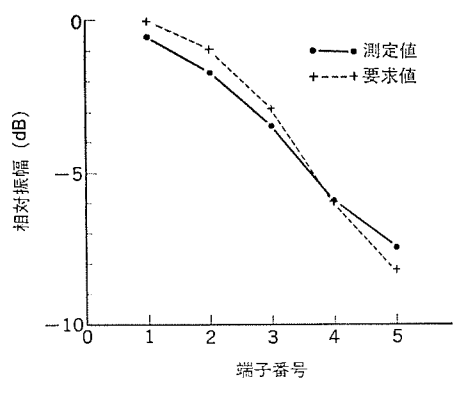


図 3. x 方向電力分配器



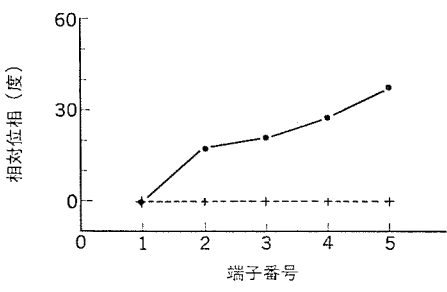


図 4. x 方向電力分配器の特性

の範囲にある スロット は x 軸上の給電線と近接 スロット との間隔を広げる目的で互いに逆相で給電しており、この逆相を補正して同相とするために y 方向給電回路の中央部には図 2. の $\overline{00}$ に示すような半波長の線路長差をつけてある。

x方向の振幅分布は中央の 2 素子の間隔が他と異なるのでCosine on a pedestal 分布を用い、かつ中央の 2 素子の離隔によるサイドローブレベル の上昇を補償するために中央の 2 素子の振幅を調整した。一方、y 方向の振幅分布は -30 dB の ドルフチェビシェフ 分布を用いた。 このような分布を用い、素子 パターン として半波長 スロット の パターン を入れて計算した結果、 H 面(水平面)で ビーム 幅 10° 、 サイドローブレベル

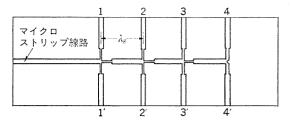


図 5. y 方向電力分配器

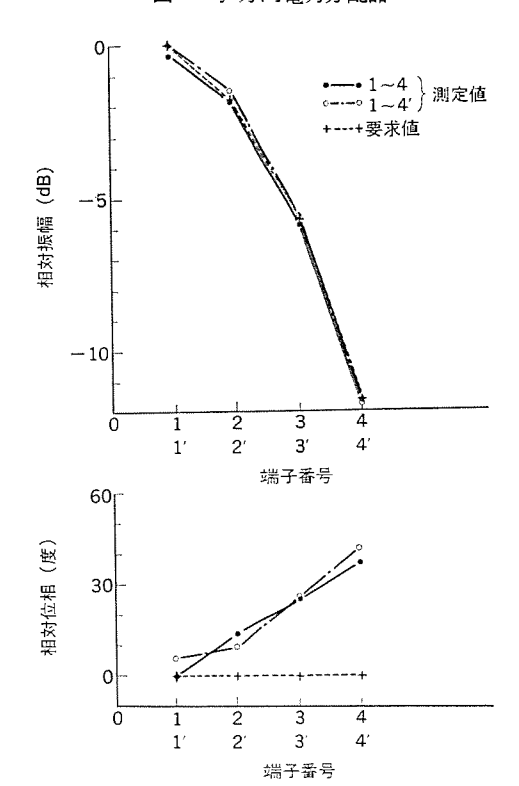


図 6. y 方向電力分配器の特性

-23.2 dB, E 面 (垂直面) で ビーム 幅 12.2°, サイドローブレベル -30 dB の値が得られた。

以上の考察を基にして×方向及び y 方向の給電回路の部分試作を行った。×方向給電回路は y 軸に関して対称かつ各段で同一であるので 図 2. の右上部に相当する 図 3. に示すような 5 分配器を試作した。各端子における振幅,位相の測定結果を図 4. に示す。 設計値に対する相対振幅の誤差は ±0.7 dB 以内,相対位相のずれは各端子ごとに平均 9.4°の進みであった。 一方,y 方向給電回路は図 2. の上半分に相当する図 5. に示すような 8 分配器を試作した。振幅,位相を測定した結果,図 6. に示す値が得られた。 設計値に対する相対振幅の誤差は ±0.2 dB 以内であり, 相対位相のずれは各端子ごとに平均 11.6°の進みであった。x, y 方向の各試作給電回路の入力端から各出力端までの損失の平均値はそれぞれ約 1.5 dB,入力 VSWR は 1.25 以下の値が得られた。

以上の部分試作結果を基にして給電回路を設計した。x 方向給電回路は n_{S-v} 計算時の修正した $cosine^2$ on a pedestal 分布を用い、y 方向給電回路は -30 dB の f_{IV} フチェビシェフ 分布を用いた。 なお、x、y 方向共に各素子を同相で給電する ために \mathbf{Q} 4., \mathbf{Q} 6. の位相 ずれを補正するための素子間給電線路長補正を行った。

4. アンテナの外観

試作した基板の スロット 面及び給電回路面の外観を 図 7. 及び 図 8.

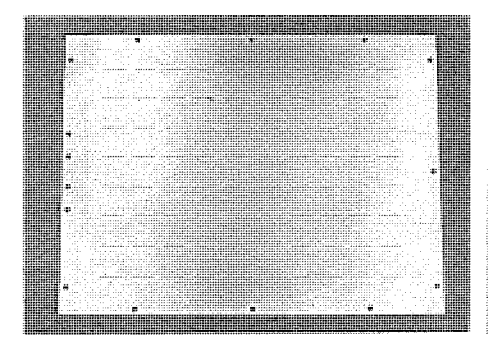


図 7. 基板外観 (スロット面)

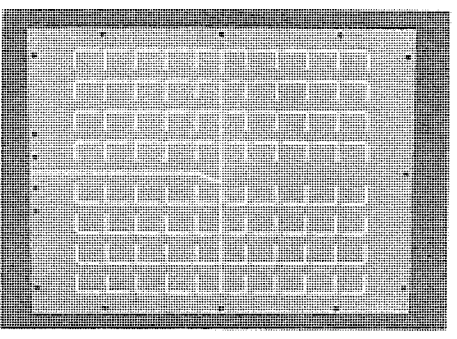


図 8. 基板外観(給電回路面)

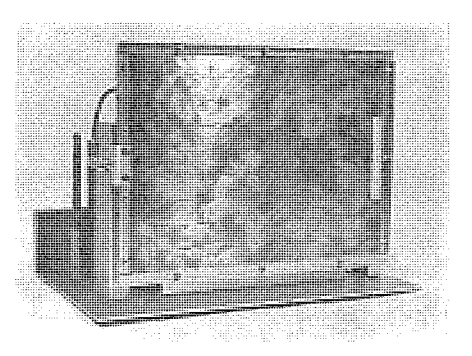
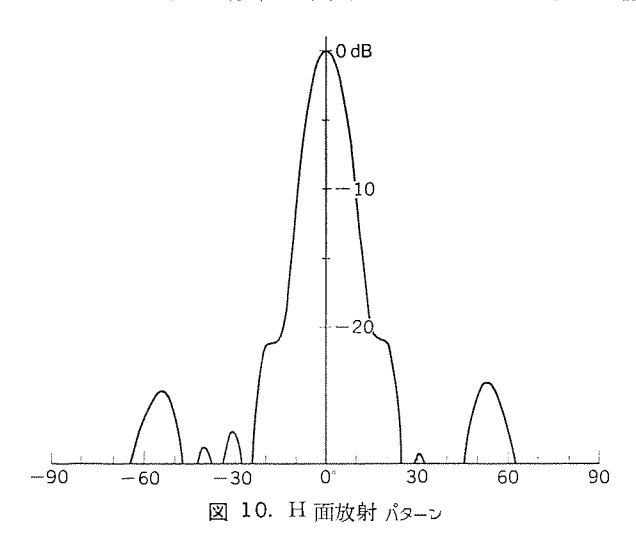


図 9. 実装時の外観

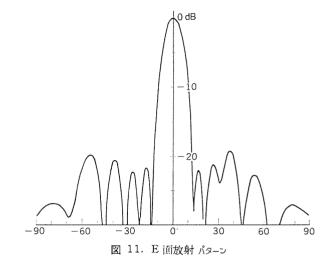


5. 特性測定結果

基板に接続した入出力接せん(栓)座の位置での入力 VSWR は給電線路に整合 スタブを設けて インピーダンス 整合を とった 結果, $10.51\sim10.54~\mathrm{GHz}$ の周波数範囲内で $1.3~\mathrm{UFO}$ VSWR が得られた。

表 2. 実測性能 (周波数 10.525 GHz)

v	S	w	R	1.1			
利			得	21.8 dB			
			Е	面	-19.2 dB		
# <i>1</i>	サイドローブレベル		Н	頑	20.6 dB		
_		岡	11.7°				
L*	_	- ム 幅	Н	面	10.5°		



ルはH面,E面共に設計値と差がある。この原因としては給電回路 での スロット 給電電流分布の誤差や スロット 間の 相互結合による給電 振幅,位相の乱れが考えられる。

6. む す び

10 GHz 帯の ドップラレーダを用いた車両感知器用の アンテナとして薄形の構造である プリント 化 スロットアレイアンテナ を試作し、目標をほぼ満足する特性が得られることを確認した。 なお、今後の課題として インピーダンス 整合帯域の広帯域化の検討などを行う予定である。

参考文献

- (1) 杉田: SHF 放送受信用 スロットアレイアンテナ, 放送技術, 31, 89 (昭 53)
- (2) 中岡,吉原,伊藤,松本:マイクロストリップラインスロットアレーを利用した多素子平面 アレー,信学総全大,S6-3 (昭54)
- (3) Y. Yoshimura: A microstripline slot antenna, IEEE Trans., MTT-20, 760 (1972)
- (4) T. T. Taylor: Design of line-source antennas for narrow beamwidth and low side lobes, IRE Trans., AP-3, 16 (1955)

データベース自動設計・自動生成プロセッサMADAM

中村 晋*·水沢 勝 治*

1. まえがき

1980 年代は,本格的な オンライン データベース システム の時代になり,データベース 管理 システム は, コンピュータシステム の中心的構成要素の 1 つになってきた。

データベース の適用分野の拡大と、それに伴う データベース 利用層の拡大は、従来の システム とは全く異なった新しい情報の利用形態を作りだそうとしている。 データ 処理部門では、 これらの新しい利用形態に対処し、 データベース の情報を容易に活用できる システム を構築していかなければならない。

しかし、今日、ほとんどの データベースシステムは、試行錯誤に基づいて構築されており、より良い データベースシステムを設計することは、多くの経験と勘に頼らねばならないのが現状である。 そして、ユーザーは パフォーマンス、データベース の設計、 データベース の活用など、多くの面で問題を抱えている。

これらの問題を少しでも解決するために、開発期間の短縮及び開発経費の低減化によるマンパワーの削減、データベースシステムパフォーマンスの向上、エンドユーザー機能の充実を指針に《MELCOM》データベース設計開発 ツール を開発した。以下その内容を紹介する。

2. 概 要

《MELCOM》 データベース 設計開発 ヴール MADAM (Melcom Advanced Design Aid for Data Management) は、データベース アプリケーションシステム の開発における、 生産性向上のための ヴール である。

普通、 データ 処理部門では、多くの エンドユーザー からの要求により、いろいろな システム の開発を行っている。通常、システムの開発には システム の設計からはじまり、プログラム 開発、 テスト 及び運用にいたる 作業が必要であり、EDP 要員の不足を考慮すると大きな負担 である。それにもまして、データベース を導入することになると、 それに関する専門知識が必要になり、そのような人員を育成しなければな

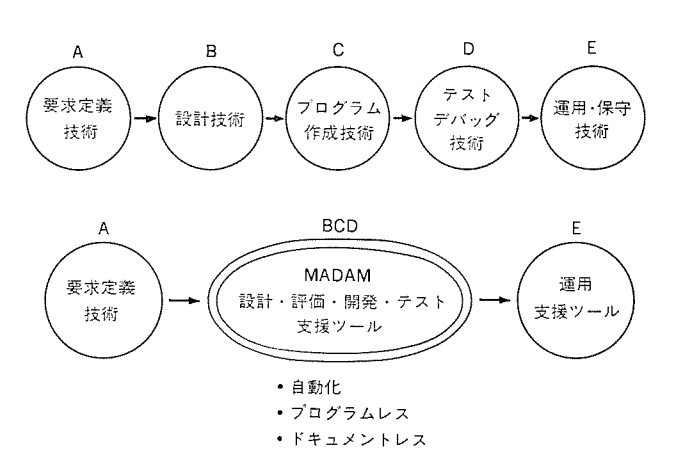


図 1. ソフトウェア 生産性向上の機能と MADAM

らず、大変な費用と時間がかかることになる。

図 1. に示すように、 データベース の アプリケーションシステム を開発するには、要求定義技術から設計技術、 プログラム 作成技術、 テストデバッグ技術、運用保守技術が必要である。

現在,世の中には,それら各技術分野において,一般的に普及している ソフトウェア 生産性向上 ツール があるが,MADAM が目指したものは,設計から評価,開発,テスト にいたるまでの自動化,プログラムレス 化,ドキュメントレス 化であり, それを支援する ツール を作成することであった。

これらの方針をもとに開発した MADAM には、次に示す3つの主要な生産性向上のための機能がある。 MADAM を構成する機能を図 2. に示し以下に記述する。

(1) データベース 自動設計

現在、 データベース の設計は、 経験と勘をもとにした試行錯誤的な手順に頼っているのが現状である。 また、設計には データベース に十分な知識をもった要員が必要であり、かつ、膨大な「金」と「時間」を必要としている。 このような試行錯誤的な データベース 設計から脱却し、開発 コストを削減するためには コンピュータ を利用した、人間と

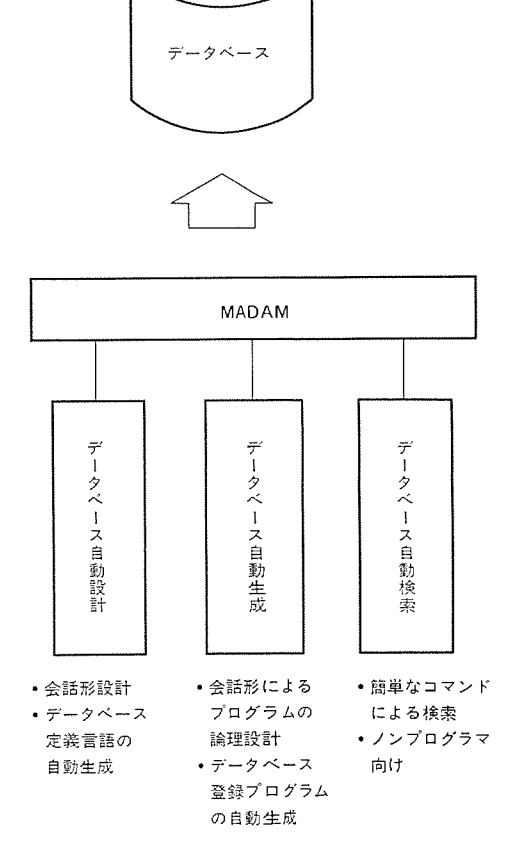


図 2. MADAM 構成図

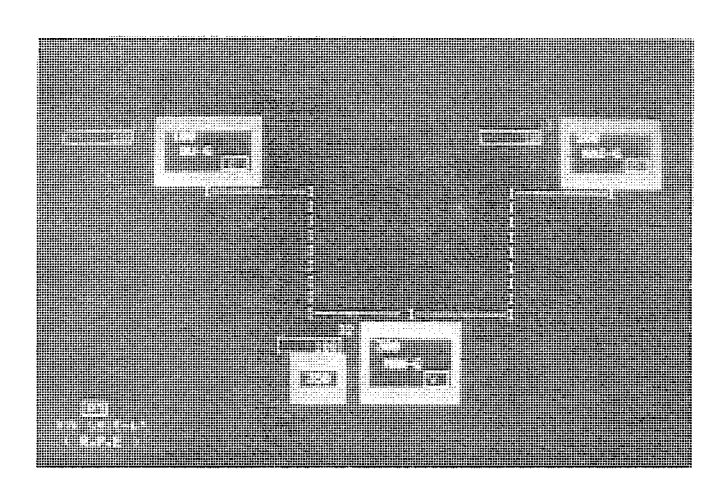


図 3. データベース 設計 CRT 画面図

機械によるデータベース設計を指向しなければならない。

その第 1 歩として、データベース 定義言語を詳しく知らなくても グループ 情報、 セット 情報さえ指定すれば、 データベース 定義を オンライン 会話形で、CRT 画面を見ながら容易に行いうる ソフトウェア を開発した。 図 3. は、 その CRT 画面の一部であり、 2 つの親 グループ と 1 つの子 グループ を関連づけて設計した例である。 これにより、 データベース の単純構造から、 階層構造、 ネットワーク 構造にいたるまでの複雑多岐にわたる論理設計が行え、 また、 データベース の容量も自動的に算出し、EDMS(Extended Data Management System)の データベース 定義言語である DDL (Data Base Description Language)を自動的に生成することができる。

(2) データベース 自動生成

現在、f-9ベース の生成にあたっては、f-9ベース に習熟した ューザー (又は、プログラマ) が f-9ベース 操作言語 $\mu-f$ ン を使用して、生成 プログラム を作成しなければならない。

その際、通常の システム の プログラム を作成するのと 同様に、 設計、 仕様書作成、 プログラム コーディング、 デバッグ などの作業を行わなければ ならない。 このような煩雑さをなくすために、 生成する グループ の論 理的順序 さえ指定すれば、 データベース を生成するための プログラム が ダ イレクト に ゼネレート され、 かつ、 バッチ 及び TSS (Time Sharing System) で自動的に データベース 生成をする ソフトウェア を開発した。 図 4. は、この CRT 画面の一部であり、 データベース 登録 プログラム の ロジック 設計を行っている例である。

プログラム の名前,使用する データベース名,入力 データ の ファイル 名及び, データベース を生成する グループ の名前を指定すれば,自動的に 1 つ又は複数の プログラム を ゼネレート することができる。

(3) データベース 自動検索

データベースの投資効果は、データベースに格納されているデータの活用により生み出された利益によって決定される。このため、情報要求を持つエンドユーザーが、データ処理部門の援助なしに直接データベースの中から目的のデータを取り出し、活用できる必要がある。

当社の CODASYL 形 $\vec{r}-9$ 管理 $\ni 27 \neq \Delta$ 「EDMS」が,提供する \mathbf{I} ンドューザー 言語 IDP(Interactive Data base Processor)は, \mathbf{I} ンドューザー の人々が直接,端末装置から自由に $\vec{r}-9$ ベース の内容を活用できるようになっている。 これは,従来の $\ni 27 \neq \Delta$ に比較し,会話形式で情報検索を容易に行うことができ, $\vec{r}-9$ ベース を $\vec{r}-9$ 処理部門の独占から広く \mathbf{I} ンドューザー に解放することを意図している。企業を構成

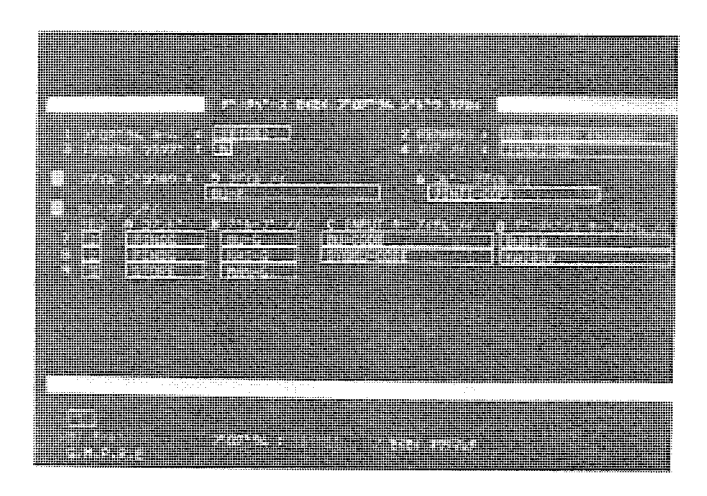
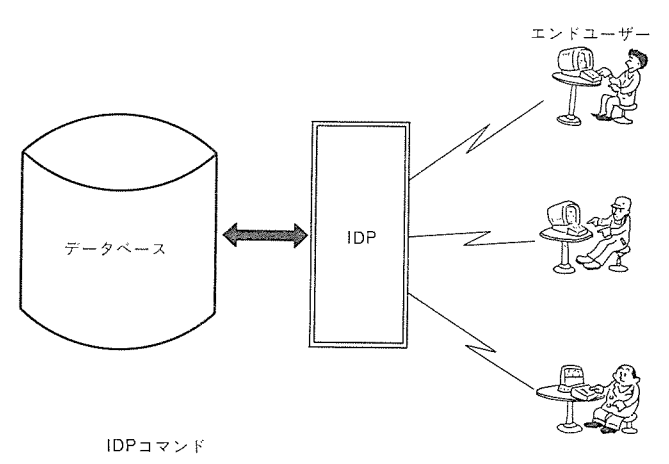


図 4. プログラム 生成 CRT 画面例



DISPLAY シテンメイ ウリアゲダカ ザイコ WHEN シテンコード=7210.

図 5. IDP 会話形処理の例

する人々が共通の データベース を基に物事を考えられるように な り,人,物,金の総合的な運用が可能となる。この エンドユーザー 機能こそ 利益を生み出す ツール となりうるのである。

これを自動設計、 自動生成と結びつけて利用することにより ューザー は大きな生産性向上の利益を得ることができる。

図 5. に IDP の利用例を示す。エンドユーザーの人が, 直接 オンライン端末より コマンド 入力するだけで データ の検索を行うことができる。例えば,"DISPLAY アイテム名1 アイテム名2……"だけで,知りたい情報を検索できる。

3. MADAM の効果

コンピュータ に関する技術開発のうち、 ハードウェア についてはめまぐる しい技術革新により格段の進歩がみられるのに反して、ソフトウェア 開発については、旧態のままの労働集約的な作業体制で、1品1品をその都度手作業方式で作成していたため、 ソフトウェア 開発、 生産の効率が極めて低い。

MADAM は、この問題を解消するためにソフトウェアの生産性を向上し、ソフトウェア 開発 コストの引下げを図ったものである。その直接の効果を以下に記す。

(1) データベースの作成期間・工数の短縮(従来に比べて数分の1に

削減されるであろう)。

- (2) データベース 処理 プログラム 作成の省力化(プログラム の作成を不用にするべく プロセッサ を用意している)。
- (3) エンドューザー への データベース の解放 (必要な情報を, 必要な時に, プロクラム を作成しないでも入手できる)。

4. MADAM による生産性向上事例

これまでに作成した データベースシステム の開発の期間と人工を, MA-DAM を利用した場合とそうでない場合とでの比較を表 1. に示す。 表 1. には,データベース の設計から生成・検索にいたるまでの作業を, 3 ケース について比較している。

- (1) MADAM を使用した場合……A・Bケース
- (2) データベース 定義は手作業、 生成・更新 プログラム は コーディング, 検索 プログラム は IDP を利用した場合……・ C ケース
- (3) データベース 定義は手作業、生成・検索 プログラム は コーディング した場合…… D_{T-2}

これによると、MADAM を用いた場合 $A \cdot B$ f-Z は、 従来の手作業方式 Df-Z と比較して、開発人工は数 10 分の 1 に削減され、開発期間は、1 週間かかるものが 1 日でできることになる。

MADAM は、 $=-9\sqrt{-2}$ 構造が複雑になればなるほど、また、 $=-9\sqrt{-2}$ 上の $-9\sqrt{-2}$ 数が増えれば増えるほどその効果を生かし、真価を発揮することが期待される。

5. む す び

今後、ハードウェア については、技術革新による コストダウン が図られているのに対し、ソフトウェア については、 情報処理形態の複雑化、高度化に応じて肥大化の一途をたどり、情報処理 コスト に占める ソフトウェア の開発 コスト は上昇するとみられている。

MADAM は、当社の誇る データベース 管理 システム「EDMS」を基に開発した ソフトウェア 生産性向上 ツール であり、今後、80 年代の データベースシステム 発展の動向を見つめ、エンドユーザー 言語の機能の強化、

表 1. MADAM による生産性向上事例比較

式 1. MADAM による生産性内上争例比較					
システム 項 目	Aケース	Bケース	Cケース	Dケース	
データベース グ ル ー プ 数	5	3	5	8	
セット数	4	2	5	7	
DDL 定 義	MADAM	MADAM	手作菜	手作業	
データベース 生成プログラム	MADAM	MADAM	COBOL 1 本	COBOL 1 本	
データベース 検索プログラム	IDP	IDP	IDP	COBOL 3 本	
データベース 更新プログラム	更新なし	更新なし	COBOL)本	更新なし	
ブログラム本数(本)	7	8	9	4	
コーディングステッ ブ数	14	16	700	1,300	
開 発 ツ ー ル	MADAM IDP	MADAM IDP	IDP		
業務分析日数	1/2	1	1	7	
設計・製作 (人工)	4時間×1人	6時間×1人	10日間×2人	3週間×2人	

データベース 設計の自動化、評価 シミュレーション 等をさらに推進していく 計画である。

工業用計算機のソフトウェア生産性・信頼性向上支援システム

稲本 惇*·芥川哲雄*·大井房武*·伸摩 寿*·中久喜 要*

1. まえがき

工業用計算機の分野における最近の動向として(1)システム 規模が拡大の一途にある,(2)システム 制御機能が高度化・多様化している,(3)システム の高信頼性特にソフトウェア の信頼性が強く要求される,(4)短納期でしかもシステムの価格は適正でなくてはならない,と言った項目をまず掲げることができよう。具体的に例えばソフトウェア の規模について考えてみると,4~5年前には平均的なシステム において ソフトウェア の規模として キ

ロバイト単位であったものが、最近ではメガバイト単位のソフトウェアの規模をもつシステムが多くなっているという大きな変化がみられる。 このような市場動向により計算機メーカー側にもたらされた課題として、従来よりも格段に規模の大きいソフトウェアを短納期で適正な価格で、しかも十分な信頼性をもって提供しなければならないと言うことである。このことはソフトウェアの生産性・品質に対してけた(桁)ちがいの向上が要求されていることになり、ソフトウェアの生産技術にも画期的な変革を迫られるものである。

この10 年来 ソフトウェアエンジニアリング の研究分野において多く の成果が報告 され次第に学問として体系化されつつあるが、メーカー の立場からみれば、こうした研究成果を十分に活用し科学的な生産手段の開発・管理を行うことにより ソフトウェアの(1)工期の短縮、(2)品質の向上、(3)価格の低減を実現することが メーカー として ユーザー に対する努めであると言わればならない。

そうした面から、我々は次のシステムをまず実現した。

- (1) プログラム 作成・保守に関する一連 の 操作を各所の ワークステーション から 実行可能にする ――PWS システム。
- (2) プログラムの単体機能試験を ハウス 計算機上で完全に可能にする——ELDA システム。
- (3) 応用 システム ごとの基本 ソフトウェア に対する体系的な評価試験 を支援する ——SPALTA システム。

そして現在は、ソフトウェアの設計段階での作業を支援する システム、システム 総合試験を支援する システム 等を加え、 更にそれらを有機的に 結合する ことにより ソフトウェア の総合生産支援 システム への拡張を推進している。 これらの システム は単に メーカー だけでなく《MELCOM 350/50》の ユーザーへの提供ももくろんでいる。

以下では上記3つのシステムについて紹介するとともに、それらが ソフトウェア の生産の流れの中でいかに使用されていくかについて 論 ずる。

2. ソフトウェア生産の流れと支援システム

工業用計算機 システム の ソフトウェア は,一般的に基本 ソフトウェア・基本 応用 ソフトウェア と応用 ソフトウェア の 3 つの レベル に分割され 図 1. に 示すよう な構造をもつものである。 更に工業用計算機は,基本 ソフトウェア (以下では基本応用 ソフトウェア を含む) についても各応用 シス

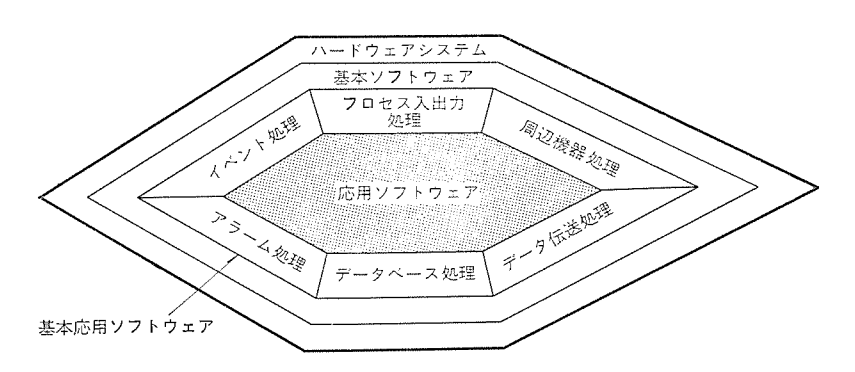


図 1. 工業用計算機 システムソフトウェア の構造

テム ごとに最適な機能 を果たすように設計され組立てられることになり、基本ソフトウェアカストマメイドの色彩が強い。また、ソフトウェア生産の流れの中において システム 設計が完了し応用 ソフトウェア と基本ソフトウェア の機能分担及び インタフェース の仕様が確定すると、 応用 ソフトウェア と基本ソフトウェア はそれぞれ独立した生産体制のもとに 設計され組立てられる。最終的には実機(客先納入の計算機)上で基本ソフトウェア と応用 ソフトウェア が結合され組合せ試験・総合試験が行われることになる。

とのような基本的 な 流れをもつ工業用計算機の ソフトウェア の生産性・品質向上について考えてみる。

まず、ソフトウェアの作成という観点から望ましい作業環境として次の条件が考えられる。

- (1) いつでも、どこからでも手軽に計算機が利用できる。
- (2) 処理結果は、タイムリー に、しかも希望する媒体形式で入手できる。
- (3) ソフトウェア 生産の機械化・自動化を目的として開発された支援 システム を容易に利用できる。

これらの条件は、大容量 ディスク装置、 多くの CRT 装置などの ハードウェア に加え TSS 機能と豊富な ユーティリティ を備えた ソフトウェア 生産システム により実現することができる。

PWS はこのような条件を備えたソフトウェア作成支援システムであり、ソーステキストの編集・アセンブル/コンパイルといった一連のソフトウェア作成の作業を工場内各所に設置されるワークステーション(CRT 端末が中心)から実行可能にするものである。このPWS はターゲット計算機すなわち《MELCOM 350-50》システム上に構築されているものであり、そのために次のような利点を有している。

- (1) 利用者が常時なじんでいる タードット 計算機の JCL (ショラ 制御 スティトメント) を使用することができる。
- (2) ターゲット 計算機のもつ応用 ソフトウェア のための各種の ユーティリティ プログラム 等の ツール をそのまま利用できる。
- (3) 開発・運転 コスト が低く製品 ソフトウェア の価格に占める計算機 費用の割合を低く抑えることができる。

次に、ソフトウェアの試験に目を向けてみる。 先に述べたように基本 ソフトウェア と応用 ソフトウェア が独立した ライン で作られていることより、

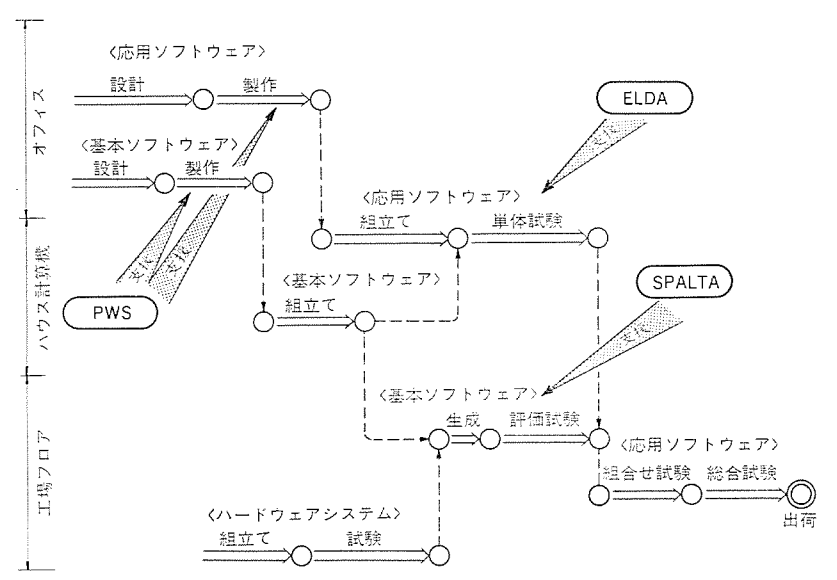


図 2. ソフトウェア 生産の流れと支援 システム

実機 システム 上で両方の ソフトウェア が結合される以前にそれぞれの試験を終了しておく必要がある。ところが、 応用 ソフトウェア と基本 ソフトウェア は互いに インタフェース をもっておりそれぞれ単独に試験することは困難で、インタフェース を無視して実施する試験は意味がない。また基本 ソフトウェア については ハードウェア との結合試験が重要であり、

この試験は実機上で実施される必要がある。一方、応用ソフトウェアの単体機能試験については、基本ソフトウェアとのインタフェースを保った状態で、しかも実機システムとは別のハウス計算機上で効率よく実施したいとの要求もある。これらソフトウェアの生産性・品質の向上に直接つながる要求から出てきたものがELDAとSPALTAである。

ELDA は応用ソフトウェアの単体機能試験をハウス計算機上でしかも実機システムと同等の試験環境(基本ソフトウェアやハードウェアとインタフェースを保った状態)で実施することを支援するシステムである。従来は単体機能試験としての試験環境が実機システム上でしか実現できず、これらの試験は実機システム上で実施されてきたが、(1)実機システム 使用期間が長くなる、(2)試験の操作性が悪い、(3)試験のレベルを統一することがむずかしい等の問題があった。ELDAの利用により単体機能試験はすべてハウス計算機上でしかも効率よく実施できることとなる。

SPALTA は応用 システム に対応して組立てられた基本ソフトウェア の総合評価試験を応用 ソフトウェア と組合せる前工程で体系的に実施することを支援するシステムであり、実機においてハードウェアシステムと結合した状態での評価試験を前提としている。 SPALTA により支援された基本ソフトウェア の評価試験を実施することにより基本 ソフトウェア の信頼性とその性能に対して十分な保証を与えることができる。特に OEM ユーザー に対しては、 SPALTA による評価試験で出荷時のシステムの品質を保証することとなる。また近年、 応用 ソフトウェア の生産性向上あるいは、システム の性能向上のため基本 ソフトウェア の機能が 飛躍的に拡大してきており、 それに伴い基本 ソフトウェア に対する極めて高度な信頼性の要求と性能に対する保証の要求が強くなってきている。 SPALTA はこのような要求に

も答えるものであり,特に鉄鋼プラント向けの工業用計算機システムを対象に開発され実用に供しているものであるが,将来的には広く他のプラントへの適用が考えられる。

3. ソフトウェア開発支援システム PWS

3.1 PWS の機成

PWS は工場内の ハウス 計算機 《MELCOM 350-50》 システム 上に構築されている。図 3. の ハードウェアシステム 構成図に見るように システム に接続されている機器は、各 ワークステーション ごとに分散して設置される機器と ハウス 計算機室内に設置される バッチ 処理用機器に大別される。各 ワークステーション は主として端末装

置(CRT 表示装置・キーボード装置)と ハードコピー 装置から構成されている。 ハウス 計算機室に配置された ワークステーション にはその構成機器として磁気 テープ・ラインプリンタ 及び カード 読取装置を有している。 利用者の プログラムの ソーステキスト や ロードモジュール などは大容量 ディスク上に利用者ごとに設けられる私用 ボリューム(詳細については後述)に格納されている。 また ワークステーション ごとに処理の中間結果の格納

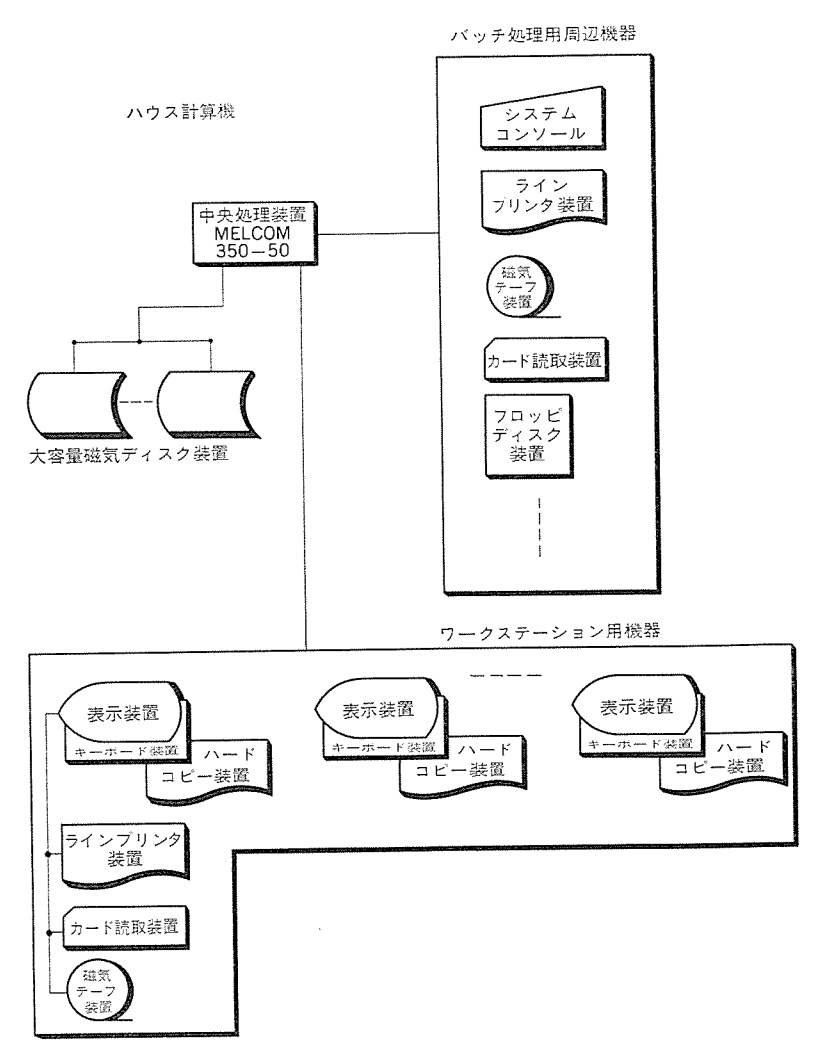


図 3. PWS の システム 構成図

等に必要な作業 ボリューム が用意されている。 すなわち, ここでは大容量 ディスク 上に設けられる ボリューム が処理の基礎をなしている。

3.2 PWSの機能

PWS は以下に示す機能を有するものである。

- (1) 私用 ボリューム の管理: PWS では システム の 大容量 ディスク 装置の領域を多数の ボリューム に分割し 各利用者に提供している。利用者は自分に与えられた ボリューム すなわち私用 ボリューム の中に各種形式のファイル を形成し,自分の プログラム や データ 等を格納しておくことができる。1人の利用者に割当てられた私用 ボリューム は パスワード により保護されており他の利用者が参照あるいは格納することはできない。この私用 ボリューム 管理の機能は1つのシステムを複数の利用者がアクセスする PWS のようなシステムにとって不可欠の機能である。
- (2) ソーステキスト の編集: プログラム ソーステキスト の編集(すなわち生成・削除・編集・追加といった作
- 業) は テキストエティタ を呼び出すことにより会話形式で行うことができる。これにより利用者は プログラム ソースカード などを扱う作業から解放されることとなる。
- (3) 言語処理: 《MELCOM 350-50》 シリーズは、最下位機種から最上位機種まで上位方向の命令互換性を有している。したがって、PWS では シリーズ に含まれるすべての機種の言語処理を一元化して準備している。
- (4) 単体 デバッグサポート: マシンシミュレータ プログラム を用いて PWS 上で プログラムの実行・デバッグ が可能である。 シミュレータ は応用 システムの主 メモリ・ 補助 メモリの シミュレート ができるほかに、単体 プログラムの 性能の評価ができる。
- (5) バッチ 処理: 各 ワークステーション への サービス と並行して バックグラウンドジョブ としての バッチ 処理を行う ことができる。 この バッチ 処理は ワークステーション に接続されていない バッチ 処理用周辺機器の アクセス させる ジョブ で PWS の別の機能である。 バッチ 処理は端末装置から 実行可能である。

3.3 PWSの運用状況と効果

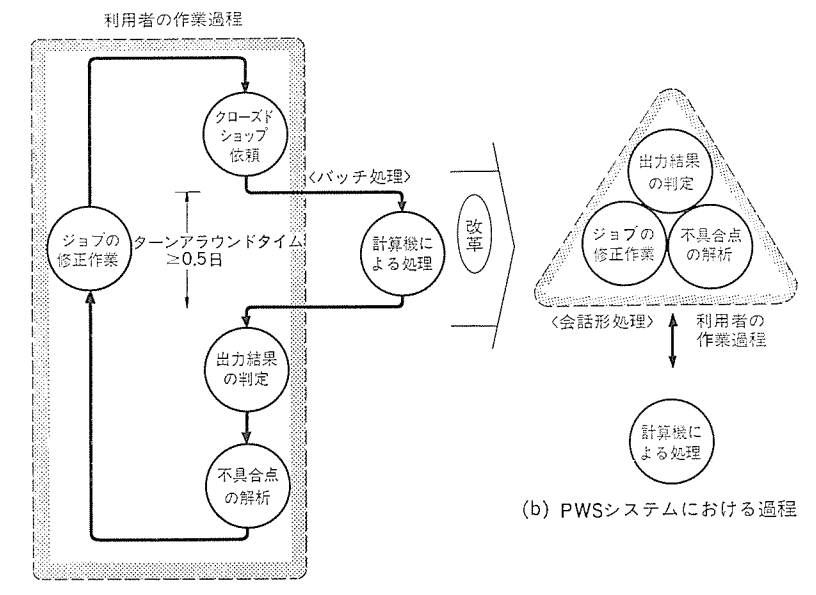
PWS はすでに本格か(稼)働に入っており、《MELCOM 350-50》 シリーズ 全機種の ソフトウェア 開発・保守に利用されている。 PWS が ターゲット 計算機上に構築された システム であることにより、 PWS における利用者の操作は ターゲット 計算機における直接の操作と同等である。 したがって今まで ターゲット 計算機を直接操作していた利用者やクローズドショップ に作業を依頼していた利用者にも PWS が異和感なく受入れられている。 現在ではこの PWS が ソフトウェア 生産に欠くことのできない支援システムとして十分定着している。

PWS のソフトウェア 作成過程におよぼす基本的な効果は 図 4. に示すように PWS の利用によって ソフトウェア 作成が継続的にならないことである。工業用計算機 システム の生産過程において、プログラム 作成は、 機械的な作業で、 PWS の利用により、この作業を効率的に実施できることの効果は大きい。

4. ソフトウェア単体試験支援システム ELDA

4.1 ELDA の構成

先に述べたように工業用計算機 ソフトウェア は基本 ソフトウェア と応用 ソ



(a) クローズドショップシステムにおける過程

図 4. PWS による ソフトウェア 作成過程の改革

フトウェア に大別され、応用 ソフトウェア は基本応用 ソフトウェア との間に 密接な インタフェース をもっており、図 5. にこの関係を示す。応用 プログラム は各種の入出力処理を基本応用 プログラム に任せており、それ 自体、基本的には論理的な データ 処理や制御 ロジック を実行しているのに過ぎず、図 6. に示すような基本応用 プログラム と応用 プログラム との機能分担が存在する。

応用 プログラム の単体機能試験について考えるとき、 応用 プログラム

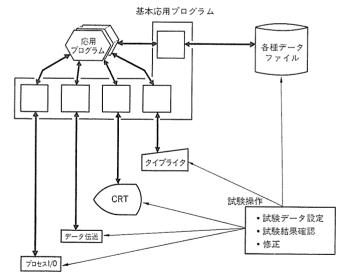


図 5. 実機 システム 構成 と応用 プログラム の単体試験(従来方式)

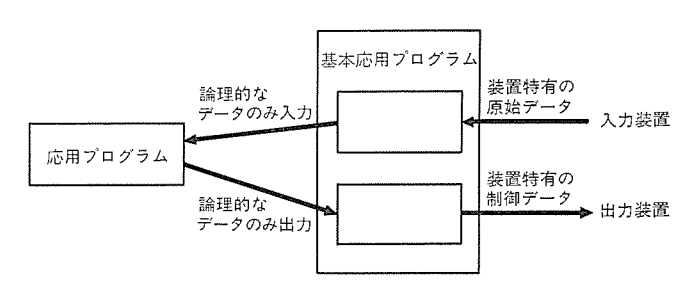


図 6. 応用 プログラム の入出力と基本応用 プログラム との関係

と基本応用 プログラム 間の データのやりとりを試験することは重要であろう。しかしながら、プログラムの試験にあっては、データのやりとりが確認されればよいのであって実際に基本応用 プログラム を動作させ、入出力動作までを実行する必要はない。このような観点から、ELDA は基本応用 プログラム の代役として動作し応用 プログラム との論理的なやりとりをシミュレート するために開発された。ELDA の利用により、プログラム の単体試験は実機 システム 上でなくはん(汎)用的な構成をもつ ハウス 計算機のような ターゲット 計算機上ですべて実現できる。 従来は図 5. に見るように応用 プログラム の試験は実機 システム上でのみ可能であり、試験操作として実際の入出力機器の操作が必要であった。

ELDA による単体機能試験は バッチ 処理とし、 クローズド ショップ で実行することを基本としている。この処理を実行する前に、応用 システム に対応して組立てられた ELDA システム を磁気 テープ から ハウス計算機の ディスクメモリ にロード することによって ハウス 計算機 上に、等価的に応用 システム の試験環境が構築されたこととなる。このあとは通常の バッチ 処理として単体機能試験の ジョブが実行されればよい。図 7. に ELDA による試験の過程を示している。

4.2 ELDA の機能

ELDA の代表的な機能として、次のものがある。

- (1) データ 入力機能: 応用 プログラム が基本応用 プログラム から受取る データ 等と カード から入力する機能である。 このことは基本応用 プログラム の入力処理の シミューレート を実現していることになる。
- (2) 出力機能: 応用 プログラム と基本応用 プログラム 間の論理的なインタフェース 内容を ラインプリンタ に トレース 出力する。
- (3) データファイル の セットアップ: 機能試験にあたってはその初期条件 の 設定として データファイル への データ の セットアップ が必要である。 ELDA ではこの データファイル への データ の セットアップ を サポート している。
- (4) 基本応用 プログラム シミュレート 登録機能: 各応用 システム ごと に準備される基本応用 プログラム の構成や応用 プログラム との論理的な インタフェース の仕様などを ELDA に登録することを サポート する機能

図 7. ELDA による応用 プログラム 単体試験 システム 構成

である。ELDA はシミュレーション 実行時との登録内容を参照することとなる。

4.3 ELDA による効果

ELDA についても既に本格的な利用の段階に入っており、応用 ソフトウェアの試験過程の効率化を通じて ソフトウェアの生産性向上に 寄 与している。 これまでの ELDA 利用を通して、次の効果が確認されている。

- (1) ソフトウェア生産性の向上: これまで、人手に頼っていた単体機能試験が機械的な作業に改善されることにより、ソフトウェアの生産性の向上と品質の安定化に寄与する。
- (2) システム 納期の短縮: 単体機能試験に実機 システム を使用する必要がないため工場試験の期間を短縮し, ひいては システム の納期を短縮できることとなった。

5. 基本ソフトウェア評価試験支援システム SPALTA

5.1 SPALTA によるソフトウェアの試験体系

SPALTA を主体としたもステムソフトウェアの試験体系は図 8. に示すように サブシステム ごとの試験とそれらを組合せた総合 システム 試験に大別される。また、サブシステム 試験は基本 ソフトウェア を構成する各 ユーティリティ あるいは処理 パッケージ ごとの試験から成り立っている。ユーティリティ プログラム の試験は主として カードストリーム からの連続的な コマンド 入力によって実現されるものであるがその中に正常処理の試験と異常処理の試験がそれぞれの プログラム ごとに存在する。 パッケージ の試験は スタティック 試験と ダイナミック 試験とに分けられ、更に ダイナミック 試験には通常の使用状態での試験と過負荷状態での試験が含まれることになる。 ここでは ダイナミック 試験を可能にするために種々のテストツール あるいは シミュレータの プログラム が準備される。サブシステム の試験は応用 ソフトウェア との インタフェース を持つすべての パッケージ に対して実施される。総合 システム 試験は基本的に サブシステム 試験の同時

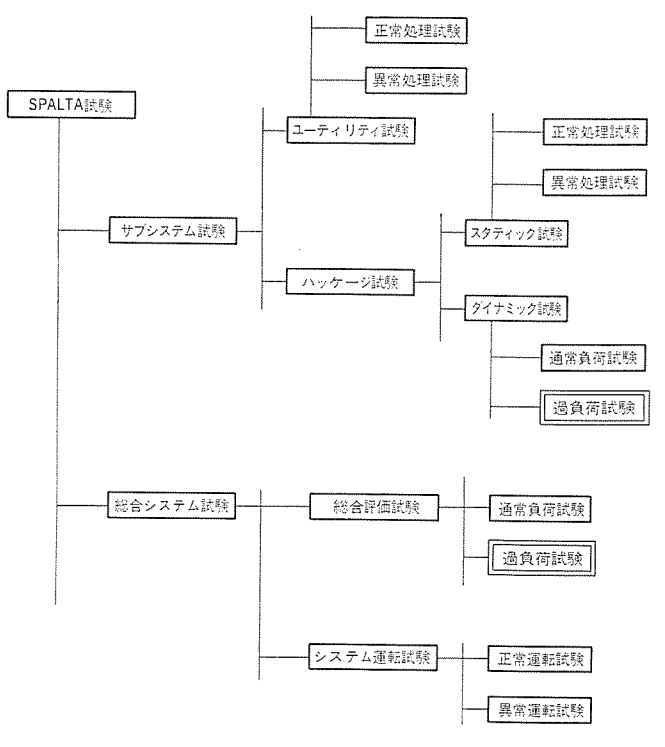


図 8. SPALTA による システムソフトウェア 評価試験の体系

並行処理によって実現されるもので オンライン 状態に近い状態での ダイナミック 試験が主体である。またことでは システム 運転に関しての正常運転試験と異常運転試験等が含まれる。

5.2 SPALTA の機能

SPALTA の基本的な機能は応用ソフトウェアからのアクセスにかえてテストプログラム により基本 ソフトウェア を アクセス し評価するものであるが SPALTA に含まれる各 テストプログラム は次の条件を満足するよう に 設計されている。

- (1) テスト オペレータ の操作を最小限にし自動化を図ること
- (2) テスト環境の設定・テスト結果の出力も自動化されていること
- (3) 対象となる サブシステム に対する負荷が外部から チューニング できること。 負荷は被試験 プログラム に与える条件すなわち,
 - 起動周期
 - ・ 処理 データ量
 - 並列処理の度数

等によってかえられる。

(4) スタティック 試験と ダイナミック 試験が選択できること このよう な思想のもとに生み出された テストプログラム の機能構成を一般的に示したものが図 9. である。テストプログラム は起動されるとまず被 テストプログラム に必要な データベース の設定を行う。次に被 テストプログ

起動・停止 φφφφφφφ 入力条件 段定カード (自荷条件 SPALTA 出力(結果) の取込み 入力条件の設定 昆動 アクセスサブルーチン 出力 入力 テスト結果の印字 (試験成績書) ノステル 被テストプログラム ⇒目視確認 データベースの設定 システム入力/出力の折返し

図 9. SPALTA による試験の構成

ラム に対する入力条件を設定し、被 テストプログラム に付属する アクセス サブルーチン(又はその他の起動方法)により被 テストプログラム を起動す る。 1回の処理完了で テストプロクラム は出力 データ の取込みを行い結 果の照合を行って1つの試験の シーケンス を終了する。 ダイナミック 試験 の場合にはこの テストシーケンス を与えられた負荷条件のもとに繰返し 実行することになる。 試験結果は極力 システム 付属の ラインプリンタ な どに入力条件・負荷条件とともに印字出力されそのままの形で試験 成績書として使用できる形をとることとしているが, CRT の画面 などについてはテスト オヘレータにより目視確認される場合もある。ま た テータ 伝送・プロセス 入出力処理 プログラム 等の試験にあたっては シス テムの出力信号を ハードウェア 的に システム の入力として フィードバック す ること (システム 入出力の折返し) により ダイナミック なループテストを可 能にする。SPALTA による テスト の条件設定・起動/停止の指令は システムタイプライタ からの コマンド と メンテナンスパネル 上の トグルスイッチ によ り与えられるが、データベースの設定・入力条件の設定についてはカー ドストリーム を準備し、各種の ユーティリティプログラム を用いて システム に設 定することとなる。

との SPALTA による評価試験での システム の状態は基本応用 プログラム の 1 つである システム 性能評価 プログラム により,

- (1) CPU 負荷
- (2) 各入出力 チャネル の負荷
- (3) ディスク 転送ひん度
- (4) タスク 起動ひん度

等の テータ 項目について モニタ することができる。

6. む す び

工業用計算機システムのソフトウェア生産性・品質の向上を目的として生産・試験の工程の機械化を図る3つの支援システムPWS, ELDA及びSPALTAについて記述し、これらの支援システムを導入した新しい考え方のソフトウェア生産システムについて論じた。この論文では、既に実用化している3つの支援システムを代表として論じたが、総合的なソフトウェアの生産及び試験の支援システムは、順次整備されつつあり、品質の高いソフトウェアを、早く安く提供できるよう日夜研さんを続けている。

三木 務*・古村 高*・寺崎信夫**

1. まえがき

従来,人間と機械との最も理想的な インタフェース の1 つとして,音声 入出力装置が考えられてきた。人間が,口と耳を用い,特殊な知識を必要とせずに機械と話ができる マンマシン インタフェース は,自然性,円滑さ,などの点において他の方式より優れていると思われる。しかし,音声が複雑であるために,その情報処理において大容量 メモリが必要であり,特殊な用途を除いては実用化されていなかった。近年,半導体集積技術が向上し,音声情報を処理しうる大容量 メモリが比較的容易に構成できるようになり,音声処理技術の向上と相まって音声入出力装置の実用化が現実的になってきた。

今回,8 E_{yy} ト マ4クロプロセッサ M 5 L 8085 AP を用いた音声 出 力用 基板 PCA 8520 を開発したので,その開発背景及び機能と応用について述べる。

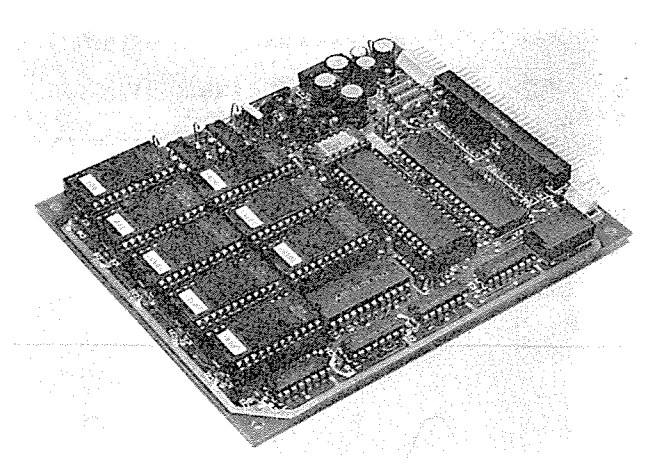


図 1. PCA 8520 の外観

2. 開発背景

現在の音声合成技術を「ランダムアクセスメモリを用い音声を出力する 技術」と解釈し,分類すれば以下のようになる。

- (1) 波形再生方式
- (2) 分析合成方式
- (3) 法則合成方式

まず,(1)の波形再生方式であるが,これは音声波形を忠実に記録,再生しようというものである。例えば,マイクを用いて人間の音声を電気信号に変換し,シンクロスコープ等で観測すると,複雑ではあるが1本の線として観測することができる。この音声波形を忠実にディジタル化し,ランダムアクセスメモリに記録し再生しようとするものである。代表的なものとしては,磁気ディスク、磁気ドラムなどを用いたPCMがあるが,これはいわゆる A-D 変換器を用いてディジタル化し記憶したデータを,逆に D-A 変換器を用いて再生するものである。この

方式の場合,人間の音声を波形で記録,再生するために自然性の高い音質を得ることができる。しかし,音声における 4kHz までの成分を 8 ビットの A-D 変換器を用いて記録,再生するために必要な 1 秒間の データ は,

 $8,000 \times 8 = 64,000$ (E., F)

となり、非常に大容量となる。現在は、入出力において圧縮伸張特性などを持たせるなど、各種の改善がなされつつある。

図 2. に PCM 方式による音声合成の基本構成を示す。

次に(2)の分析合成方式であるが、この方式は波形そのものを忠実に記録再生するのではなく、波形に含まれる特徴的なパラメータだけを抽出し記録再生するものである。この方式においてその処理は大きく分析系と合成系の2つに分かれる。分析系においては、音声波形から10 ms~20 ms ごとに合成系において必要な特徴パラメータを抽出する。特徴パラメータとは、有声音/無声音の区別、音声の大きさ、音声の周波数、声道の共鳴特性などである。合成系において、人間の発声機構を模擬した回路にこれらのパラメータを送出することによって音声を合成することができる。この方式の場合、音声データを圧縮しているため1秒間に必要な音声データが9,600 ビット~2,400 ビット 程度でも十分な音質を得ることができる。しかし、現在では音声の分析に時間がかかるため、音声の分析の自動化が急がれている。

図 3. に分析合成方式における音声合成の基本構成を示す。

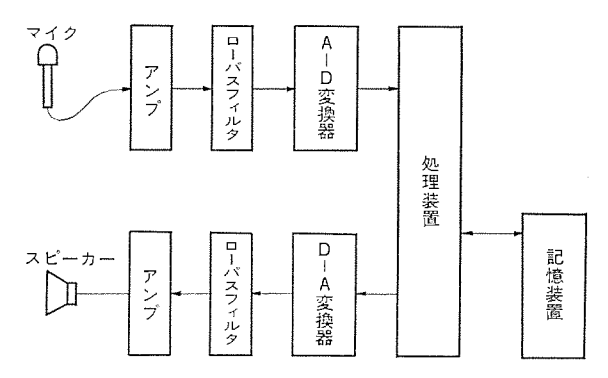


図 2. PCM 方式による音声合成の基本構成

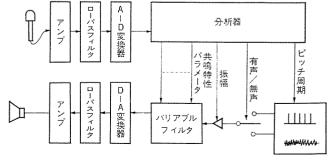


図 3. 分析合成方式による音声合成の基本構成

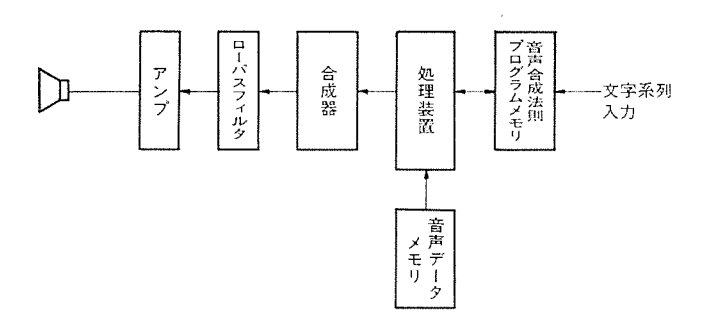


図 4. 法則合成方式による音声合成の基本構成

表 1. 各方式の特徴

方式	1 秒間に必要なメ モリ容量	A	然	Ki:	音声データの作成
波形再生方式	大		髲		容易
分析合成方式	r I		良		やや困難
法則合成方式	小		न्त		图 號

最後に(3)の法則合成方式であるが、この方式は人間の音声における イントネーション、アクセント などの アルゴリズム を解明し文字系列入力 に対して音声を出力しようとするものである。例えば、「K, O, N, N, I, C, H, I, W, A」という文字 コード入力に対して「こんにちは」という自然な音声を出力しようとするものである。この方式の場合、音声 データは、 少容量であるが自然な音声を合成するための アルゴリズム が複雑になる。図 4. に法則合成方式による音声合成の基本構成を示す。

現在、(1)、(2)の方式のものは実用化されつつあるが、(3)に関しては自然な音声を合成する点で困難な問題が多く実用化の段階に至っていない。

以上、現在の音声合成技術の分類について述べてきたが、いずれの方式をとってみても完全なものではない。おのおのに長所があり短所がある。例えば、波形再生方式は データの作成、変更が比較的容易であるが、1秒間の音声に必要な メモリ 容量は大きくなる。 逆に、分析合成方式では、 1秒間の音声に必要な メモリ 容量は少ないが、データの作成・変更が非常に困難である。表 1. に各方式の特徴を示す。

将来、両方式の長所を合わせ持った新しい音声合成技術の開発が期待されているが、現在では使用する側が自分のシステムにとってどのような音声合成方式が適しているかを判断し使い分ける必要があると思われる。

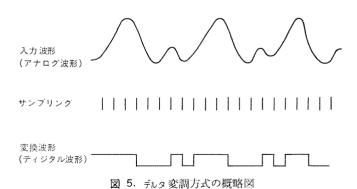
今回開発した音声出力用基板 PCA 8520 は、音声 データ の作成・変更が容易な波形再生方式の 1 種であるが、 1 秒間の音声 データ が比較的少ない デルタ 変調方式を用いている。 また、各種の装置への組込みを容易にするため、 コンパクト な基板に設計されている。

3. PCA 8520 の構成と機能

音声出力用基板 PCA 8520 は、8 ビットマイクロプロセッサ M 5 L8085 AP, メモリ、音声再生用回路などを、 125×145 mm の プリット 基板上に実装した音声出力機能を持ったはん(汎)用基板 コンピュータ である。 表 2. に PCA 8520 の概略仕様を示す。

表 2. PCA 8520 の概略仕様

3X 2.1 1011 0000 1) py, with 12.7X						
項	Ħ	内 容				
ガ	式	CVSD 方式				
C P U	案 子	三菱 M5L8085 AP				
サイクル	· タ イ ム	基本 2.2 μs (木晶発展周波数 3.6 MHz)				
メモリ	ROM	M 5 L 2716 K 使用時は 16 K バイト(最大) アドレス 0000 ₁₆ ~3 FFF ₁₆ M 5 L 2732 K 使用時は 32 K バイト(最大) アドレス 0000 ₁₆ ~7 FFF ₁₆				
	RAM	256 バイト アドレス C 000 ₁₆ ~COFF ₁₆				
入出力インタ	フェース	プログラマブル人出力ポート 8 ビット× 3 ポート (PPI M 5 L 8255 AP) アドレス 8000 ₁₆ ~8003 ₁₆				
程 市 發	音 時 間	M 5 L 2716 K 使用時 9 秒 (最大) M 5 L 2732 K 使用時 18 秒 (最大)				
音声最大	出力電力	$1 \text{ W } (V_{CC_2}=5 \text{ V}, \text{ THD}=10\%, f=1 \text{ kHz})$				
m iz	<u>.</u>	レベル 要因				
サ ボ ー	ト 装 置	MELCS 85/1 マイクロコンピュータコンソール 音声データ作成装置				
T	源	5 V (Vcc1, Vcc2の2電源), -5 V				
便 用 コ	* 2 S	アングルビンヘッダタイプ 50 極 (I/O ボート用) アングルビンヘッダタイプ 6 極 (音声出力用) アングルビンヘッダタイプ				
外 形	寸 法					

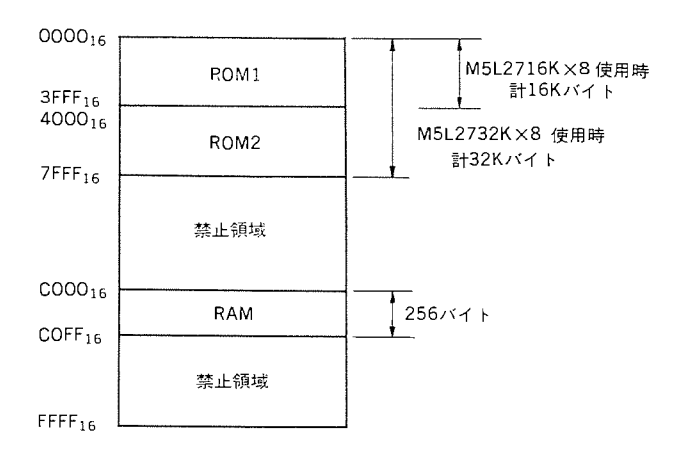


音声は、CVSD 方式(Continuous Variable Slope Delta modulation)により ディジタル 化し、あらかじめ EPROM に書込み、プログラム によって再生することができる。 CVSD 方式とは、波形再生方式の1種である デルタ 変調方式を改善した方式である。 デルタ 変調方式とは、図 5. に示すように音声波形を一定間隔でサンプリングし、その値が、 1クロック 前に サンプリング した値より大きいか小 さいかを"1"、"0"の 1 ビットの情報で記録する方式である。 つまり、入力波形の微分成分を 1 ビットの情報で記録する方式である。 この方式

では、 音声波形を 1 ビットの情報で記録するために急しゅんな波形の変化に追従できない点 (オーバロード) や、無声音時において ノイズを発生する点 (グラニュラーノイズ) に問題があった。 CVSD 方式はこれらの問題点を入出力に圧縮伸張特性を持たせることなどによって改善した方式である。

PCA 8520 の メモリ 容量 は、ROM に 16 K ビット EPROM M 5 L 2716 K を使用した 場合 は 16 K バイト (最大)、32 K ビット EPROM M 5 L 2732 K を使用した場合は 32 K バイト (最大) であり、RAM は M 5 L 2112 AP を使用し 256 バイトとなっている。入出力ポートには、PPI (プログラマブル ペリフェラル インタフェース) M 5 L 8255 AP を実装しており、8 ビット×3の プログラム 可能な入出力ポートを構成している。図 6. に PCA 8520 における メモリ、I/O 番地を示す。

音声再生部には、CVSD方式の復調用ICを使用しており、ROMの データを シリアル に デルタ 復調することによって音声を再生する こ



ボート名		PI	PI	
項目	ボートA	ボートB	ボートC	C.W
1/0番地	8016	81 ₁₆	82 ₁₆	83 ₁₆

図 6. PCA 8520 の メモリ, I/O 番地

とができる。また、PCA 8520 は音声再生専用としてだけではなく、 汎用基板 コンピュータ としても使用することができ、 音声出力を必要 とする装置の制御部として使用することができる。

PCA 8520 を用いて音声を再生する場合は、CPU の SID に入力される 20-92 の "H" 又は "L" に同期して音声 \vec{r} -9 を 1 ビットずつ上位 ビットから順番に SOD 端子に送り出すだけ でよい。 5 リアル に SOD 端子から出力された \vec{r} - \vec{r} ジタル \vec{r} - \vec{r} は、音声再生回路で音 声波形に変換される。例えば、 0800_{16} 番地 \sim OFFF $_{16}$ 番地に "こんにちは"の音声 \vec{r} - \vec{r} が書込まれている場合は、 0800_{16} の MSB (D_7) より順番に LSB (D_0) まで SID 入力に同期して SOD に出力し、同様に 0801_{16} \sim OFFF $_{16}$ まで \vec{r} -9 を送出することによって音声が出力される。

 $(XX_{16}$ は XX が 16 進 \vec{f} = 9 であることを示す)。 音声を再生する ための \vec{f} \vec{f} = 0 だいる。図 7. に音声再生方法の概略図を示す。

PCA 8520 を用いて音声を再生する場合は、あらかじめ EPROM に制御 プログラム と音声 データ を書込む必要がある。音声 データ の作成には、音声 データ 作成装置 (PC 0012) が準備されており効率よく音声 データ を作成することができる。図 8. に PCA 8520 の構成を示す。

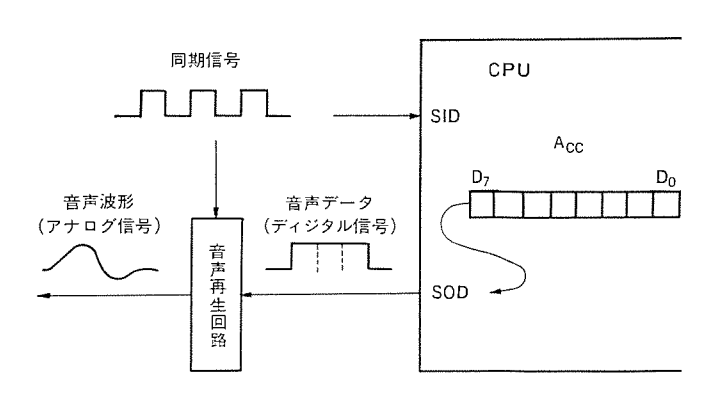


図 7. 音声再生方法の概略図

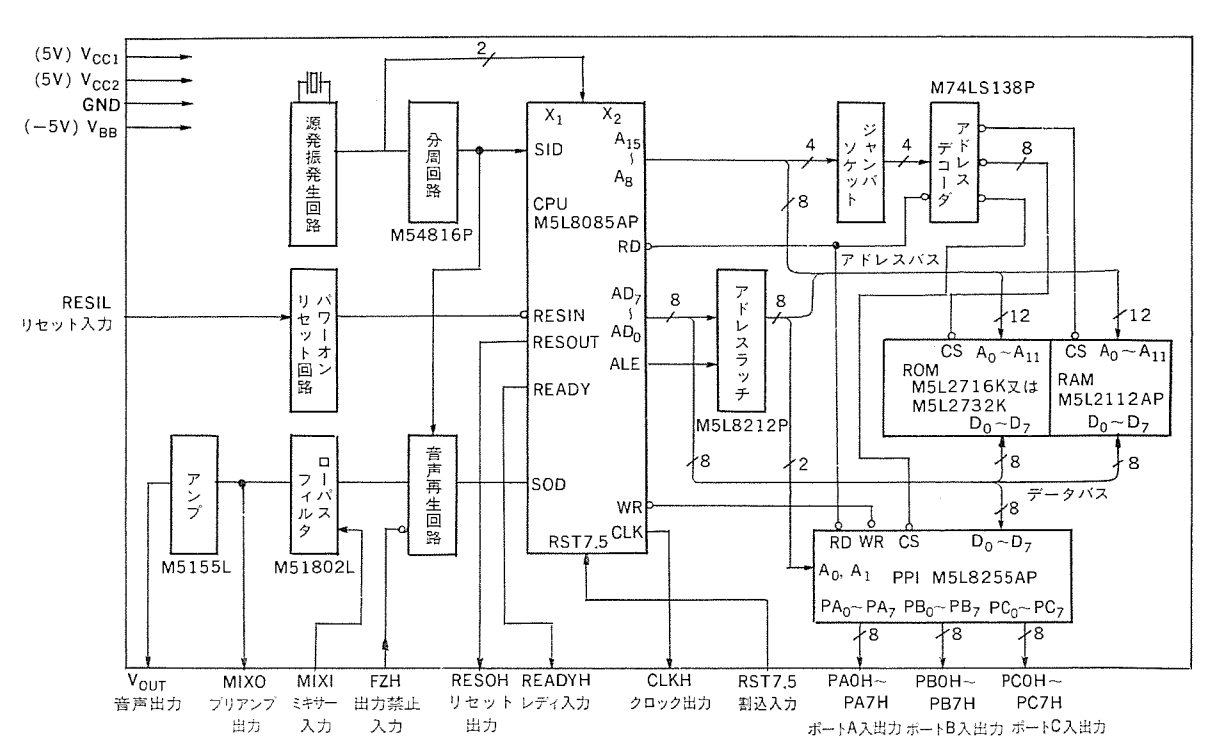


図 8. PCA 8520 の 構 成

CPU は、源発振発生回路より発生された水晶発振周波数の クロック に同期し、ROM に記憶されている ブログラム を実行する。また、源発振 クロック は、分周回路で 1/256 に分周され音声再生用 IC 及び CPU の SID 端子の クロック 入力となっている。 CPU は SID 端子に入力される クロック に同期して ROM に記録されている音声 データ を、上位 ビット から順番に SOD 端子に送出することにより音声再生回路に入力される。音声再生回路では、シリアルに入力される音声の ディジタルデータ を CVSD 方式によって復調し、音声波形として出力する。音声再生回路から出力された音声波形は ローパスフィルタ により高周波ノイズを カット され、アンプ によって約 1 W の信号に変換され出力される。用途により、出力が 1 W では十分でない場合は、プリアンプ出力を用い外部 アンプ によって必要な出力を得ることもできる。表 3.に PCA 8520 における各 ブロックの機能を示す。

このように、各 ブロックの機能により PCA 8520 は各種演算処理、入出力制御など、従来の汎用基板 コンピュータの処理とともに、音声出力 プログラム によって音声を出力することができる。ユーザーは、音声出力 サブルーチン を用いることによって システム に対応した適当な プログラム を構成することができる。例えば、入力ポートに スイッチ を接続することにより各 スイッチ に対応した音声を出力することや、光センサ、温度 センサ、煙 センサ などの出力を接続することによって、各センサの出力に対応した音声を出力することができる。

表 3. 各 ブロック の機能

プロック名	機 作
リセット発生回路	電源投入時にシステムリセット信号を発生する。
源発振発生回路	CPU と分周回路に基本周波数クロックを供給する。
分 周 何 路	源発援クロックを 1/256 に分周し、音声再生回路にクロックを供給する。
C P U	プログラムに従い処理を行う
アドレスラッチ	CPUのAD ₀ ~AD ₇ には、データ信号と下位アドレス信号が時分割で出力されているが、アドレスラッチ 回路により、ALEのタイミングでアドレス信号だけ がラッチされる。
ジャンパソケット	ジャンパソケットのジャンパ線を変更することにより M 5 L 2716 K を使用するか M 5 L 2732 K を使用す るか選択できる。
アドレスデコーダ	上位アドレス信号をデコードすることにより ROM, RAM, PPI の選択信号を出力する。
R O M	プログラム及び音声データを記憶するメモリである。
R A M	スタック、データ等の一時記憶をするメモリである。
P P I	外部との入出力に使用する。
音声 再 生 回 路	CPU の SOD より出力されるディジタル信号を音声 波形に再生する。
ローパスフィルタ	音声再生回路からの出力のうち、低い周波数だけを通 すフィルタである。
ア ン ブ	ローパスフィルタ を通過した音声信号を 1 W の信号 に変換する。

また、単に連続した文章を記録・再生するのではなく、文の共通部分を独立して記録し、プログラムによって編集・合成することもできる。例えば、"~してください"、"~ございました"など、出力する文に共通な部分は独立に記録しておき、プログラムによって文の前半を選択し編集することができる。

PCA 8520 の音声 f=9 を記録できる時間は、M5L2716 K を使用した場合、9 秒(最大)、M5L2732 K を使用した場合、18 秒(最大) であるが、上記の編集方式を用いたり、無声期間を f=0.056 で設定することによって、より長時間の再生が可能である。

4. PCA 8520 の応用例

この基板に限らず付加機能としての音声合成装置は、各種の方面で応用することができる。電卓、時計などから数値を音声で出力するものから、 計算機の端末から エラーメッセージ を出力するものや、 プラント における警報を音声で出力するものまで、 その応用は非常に幅広いものがある。

今回,マイクロコンピュータ 制御 システム MUS-11 に出力 装置 として PCA 8520 を接続した大形船舶機関部無人化 システム の警報装置を開発したので、具体的な応用例として、その概要を述べる。

まず、PCA 8520 と MUS-11 の CPU とは、図 9. に示すようにポートレベル で ハンドシェイク されている。MUS-11 の CPU は、ポートレベル で コマンド を PCA 8520 に送出した後に ストローブ 信号を送出する。各 コマンド は 8 ビット で構成されており、上位 3 ビット により 4 種類の コマンド に分類される。下位 5 ビット は各 コマンド における情報となる変数である。

PCA 8520 は、ブリセットデータ、プリセットタイマのコマンドを RAM に待避しておき、スタートコマンドが入力された段階で待避されているコマンドを読出し、データナンバーに対応する音声を出力した後に次のコマンドを読出し、データナンバーに対応する音声を出力する。 途中に プリセットタイマコマンド があれば、 指定された時間だけ無声期間を設け次のコマンドデータ を読出し、対応する音声を出力する。 スタートコマンドにより繰返し回数の指定がある場合は、指定された回数だけ繰返し音声を出力する。PCA 8520 が音声を出力中に MUS-11 の CPU から ストップコマンドが送出された場合は、即座に音声の出力を停止する。

実際に使用した音声出力する言葉と プリセットデータ における データナンバー の対応を表 4. に示す。

実際に、MUS-11 の CPU から PCA 8520 に対して以下のような コマンド 列が送出された場合 に は、"A 系統 ナンバー1 の ポンプ に異常発生"という文が、ブザー1 に対応する発振音の後に 2 回繰返して音

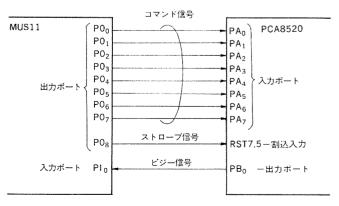


図 9. MUS 11 と PCA 8520 の接続方法

表 4. データナンバー と音声出力する言葉の対応

データナンバー	対応する言葉	データナンバー	対応する言葉
00001	``ナンバー``	01011	"不良"
00010	"1"	01100	"事故"
00011	" 2 "	01101	"発生"
00100	., 3 ,,	01110	"A"
00101	"4"	01111	"B"
00110	"ø"	10000	"C"
00111	"ポンプ"	10001	"系統"
01000	"モータ"	10010	"緊急事態"
01001	"バルブ"	10011	ブザー!
01010	"rc"	10100	ブザー 2

声で出力される。

このように、適当な音節単位で音声 データを作成し プログラム によって編集してゆくことにより、比較的長時間の メッセージ を出力することが可能である。また、プログラム により発振音を作成することや

$ \begin{array}{c ccccccccccccccccccccccccccccccccccc$	プリセットデータ	13_{16}
$\begin{array}{ c c c c c c c c c c c c c c c c c c c$	プリセットタイマ	0816
0 0 1 0 1 1 1 0	プリセットデータ	$0E_{16}$
$ \begin{array}{ c c c c c c c c c c c c c c c c c c c$	"	11_{16}
0 0 1 0 0 0 0 1		0116
0 0 1 0 0 0 1 0	ν	02_{16}
0 0 1 0 0 1 1 0	11	06_{16}
$[0 \ 0 \ 1 \ 0 \ 0 \ 1 \ 1 \ 1]$	"	0716
0 0 1 0 1 0 1 0	n	$0A_{16}$
0 0 1 0 1 1 0 0	ν	$0\mathrm{C}_{16}$
0 0 1 0 1 1 0 1	n	$0D_{16}$
0 1 0 0 1 0 0 0	プリセットタイマ	0816
0 1 1 0 0 0 1 0	スタートコマンド	02_{16}

無声期間を作成することも可能である。

今回の試作機の音声 データ作成においては、各音声 データを独立に作成するのではなく、連続した言葉で音声 データを作成し、 その中から必要な データ だけを抜き出す方式を用いている。 つまり、 "ナンバー"、 "1"、 "0"、 "ポンプ"と、 おのおの言葉を独立に データ作成するのではなく、 "ナンバー1 のポンプ"と連続した言葉で データ作成を行い、その後におのおのの言葉に分割するという作業を行っている。 いわゆる "切出し方式" であるが、この方式により単語を細かく分割したにもかかわらず、自然な音声を合成することができた。

5. む す び

音声合成技術というものは、かなり古くから地道に開発されてきたものであるが、半導体集積技術の向上に伴い、ようやくその実用化が現実的になってきた。各方面で音声出力を付加した装置が発表され話題となっているが、今後、音声合成技術はより実用化されてゆくものと思われる。ちょうど、マイクロプロセッサが発表され話題になり現在では産業用、民生用を問わず使用されているように、音声合成装置も各方面において、付加的な出力装置として一般的に用いられるようになると思われる。

今後は、音質の向上、低価格化とともに、より長時間再生できるもの、より データ作成が容易なものを検討してゆく必要があると思われる。また、音声合成技術とは別に、出力する言葉の選び方や、編集の方法なども認識率に大きな影響を与えるため、言語学的な問題も含めて検討してゆく必要があると思われる。

参考文献

- (1) 中田:音声,音響工学講座7,コロナ社(昭52)
- (2) 板倉・大和田:音声合成と マイクロエレクトロニクス, 別冊 サイエンス 27, 日本経済新聞社(昭 54-9)
- (3) 板倉: PARCOR 方式による音声合成, 電子技術, 21, 12号, 日刊工業新聞社
- (4) 宮宗ほか:超小型音声応答装置の制御方式について、日本音響学会講演論文集(昭53-10)

近藤久雄*·行本善則**·小鳴鈴夫***

1. まえがき

トランジスタ は サイリスタ と比べて、(1)強制消弧回路が不要、(2)高速スイッチング が可能、(3)飽和電圧が低い、(4)ノイズ に強く誤動作しにくい等の特長があり、装置の小形・軽量・高信頼化に適している。そのため、パワーエレクトロニクス の分野において サイリスタ に代わって パワートランジスタ の適用分野が拡大しつつあり、トランジスタ の高耐圧大容量化が望まれていた。これに対して半導体製造技術の著しい進ちょくとともにトランジスタ の耐圧と電流容量は年々増大し、最近では耐圧 450 V(コレクタ・エミッタ 間耐圧)、電流容量 50~100 A の パワートランジスタ が開発・実用化されている。

パワートランジスタの適用分野の拡大にともない、装置の コストパフォーマンス の向上が重要な課題となり、使用される パワートランジスタ の高速化と電流利得の向上が強く望まれるようになった。

しかし、高耐圧、 高速で電流利得が高い パワートランジスタ を実現するのは難しいとされており、耐圧定格が 450 V クラス の パワートランジスタ では定格 3レクタ 電流における電流利得が 10 程度で、上昇時間が 1 μ s 程度であるのが一般的である。

この報告は高耐圧 トランジスタ の高電流利得化、 高速化を可能にする ゲート 付 トランジスタ (Gate Associated Transistor, GAT) について、その動作原理及び試作素子の特性について述べる。

2. ゲート付トランジスタの動作原理(1)~(6)

トランジスタのベース層が薄くなると、スイッチング時間が短くなり、電流利得が高くなるが、コレクタ電圧が制限される問題があり、コレクタ電圧が高くて、スイッチング時間が短く、電流利得が高いトランジスタを実現することが困難であった。その原因はコレクタ電圧が高くなるとコレクタ・ベース接合界面の電界強度が高くなり、ベース層のパンチスルーが生じたり、コレクタ空乏層内のなだれ増倍が顕著になるためである。筆者らはこの問題点を解決し高耐圧、高速で電流利得が高いトランジスタを実現するためにゲート付トランジスタを考案した。

ゲート付トランジスタ(以後, GAT と記す)の断面概略図を図1. に示す。GATはベース領域の一部がコレクタ領域に突出しており、この突出した部分(以後、ゲートと呼ぶ)が維形電界効果トランジスタのゲートと同様な作用をすることが特徴である。

2.1 コレクタ耐圧に及ぼすゲートの効果

トランジスタ が "OFF" 状態では電源電圧は大部分 コレクタ・ベース接合に印加され、空乏層が コレクタ 領域及び ベース 領域内へ広がる。

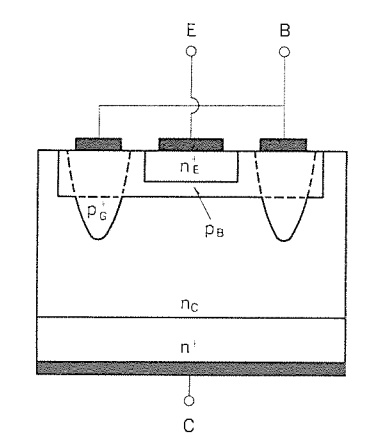


図 1. ゲート 付 トランジスタ の 断面概略図

通常のトランジスタでは コレクタ・ベース 接合界面は平面であるから空乏層は接合界面と垂直な方向にのみ広がる。ベース 領域が薄い場合には, なだれ降伏電圧よりも低い電圧において, ベース 領域がすべて空乏層になる。 したがって, この場合には コレクタ電圧は ベース 領域の パンチスルー により制限される。

一方GATでは、空乏層はコレクタ・ベース接合界面と垂直な方向に広がると同時にコレクタ・ゲート接合界面と垂直な方向に広がり、ゲートではさまれたコレクタ領域が空乏化する。これは縦形電界効果トランジスタのチャネルがゲート電圧によってピッチオフすることと等価である。そのため、コレクタ・ゲート接合界面で終端するものとに分かれる。このことは、コレクタ・ベース接合界面の電界強度に及ぼすコレクタ電圧の影響がゲートによって弱められることになる。すなわち、ベースがゲートによりコレクタから静電的にしゃへいされる。これは、3極真空管のカソードがグリッドによりプレートから静電的にしゃへいされることと類似している。3極真空管との類似から、ゲートの静電しゃへい効果は次のように表される。(1)(2)(4)

$$Q_B = \frac{1}{B} \left(V_{BG} + \frac{V_{BC}}{\mu} \right) \quad \cdots \quad (1)$$

ここで、 Q_B は \vec{n} 石 領域内に誘起される電荷量、 V_{BG} は \vec{n} ス・ \vec{n} 万一ト間の電圧、 V_{BG} は \vec{n} ベース・ \vec{n} コレクタ 間の電圧、 μ は 増幅率、 \vec{n} 名 電極構造によって決まる定数である。 \vec{n} る \vec{n} の \vec{n} ト は \vec{n} 二 ス と接続されているから V_{BG} = 0 となり、式(1)より コレクタ・ \vec{n} 一 2 電圧によって、 \vec{n} 一 2 領域内に誘起される電荷は \vec{n} 一 \vec{n} の \vec{n} しゃへい 効果がない場合の \vec{n} 分の \vec{n} 1 になることが分かる。 \vec{n} 一 2 領域内の電荷は次式 で与えられる。

$$Q_B = q \cdot N_B \cdot X_B \cdot \dots (2)$$

ここで、q は電子の電荷量、 N_B は -2 領域の不純物濃度、 X_B は -2 領域内の空乏層の厚みである。 式 (1) 及び式 (2) から、GAT では、 -1 がない場合に比べて -2 領域内の空乏層の厚み は -1 が分の -1 になり、 -1 がしゃへい効果により -1 では -1 が抑制されることが分かる。 すなわち、 -1 領域がすべて空乏層になる以前に -1 ではさまれた -1 の 領域が空乏層になる場合には、 -1 の が電しゃへい効果により、 -1 の 領域の -1 の が抑制されるから、 -1 の では -1 では -1 の でした この 条件は次式で示される。

$$\frac{q}{2\varepsilon_{\mathcal{S}}}N_{\mathcal{C}} \cdot D^{2} < \frac{q}{2\varepsilon_{\mathcal{S}}}N_{\mathcal{B}} \cdot W^{2}_{\mathcal{B}} \cdots \cdots (3)$$

ここで, N_c は $_{ extsf{L}}$ のは $_{ extsf{L}}$ のは $_{ extsf{L}}$ の間隔及び $_{ extsf{L}}$ の 領域の厚みである。 式(3)の右辺は $_{ extsf{L}}$ の 領域の $_{ extsf{L}}$ の 電圧であり,左辺は $_{ extsf{L}}$ に は さまれた $_{ extsf{L}}$ しの場合と等しいと考えられ, 近似的に次式で与えられる。

$$\mu \simeq \exp(\pi L/2D) - 1 \cdots (4)$$

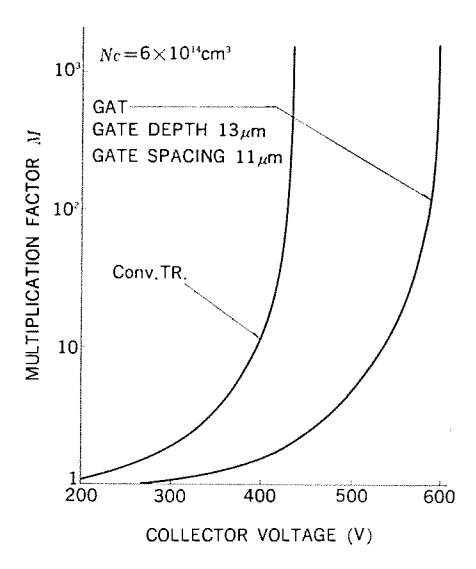


図 2. 増倍係数と コレクタ 電圧の関係 (計算例)

ここで, Lは ゲート の深さである。

前述したように、 GAT の $_{N-2}$ 領域の一部が $_{N-2}$ 領域に突出し、電界効果 $_{N-2}$ の $_{N-1}$ として作用するから、 GAT は、 $_{N-2}$ イポーラトランジスタ と電界効果 $_{N-2}$ トランジスタ の複合素子と考えられ、 $_{N-2}$ 電圧は近似的に次式で与えられる $_{N-2}$ ($_{N-2}$)($_{N-$

$$[V_{CE}]_{GAT} \simeq (1+\mu)[V_{CE}]_{BIP} \cdots (5)$$

ことで、 μ は電界効果 トランジススタ の増幅率、 $[V_{OE}]_{BIP}$ は バイポーラトランジスタ の コレクタ・エミッタ 電圧、 $[V_{OE}]_{GAT}$ は GAT の コレクタ・エミッタ 電圧である。

ベース 領域が厚い場合には、コレクタ 電圧は ベース 領域から コレクタ空 乏層へ注入された キャリア のなだれ増倍により制限される。

最大 コレクタ 電圧は次式で与えられる。

$$\alpha \cdot M(V_{CE}) = 1 \qquad \cdots \qquad (6)$$

ここで、αは ベース 接地電流利得, M(Vos) は コレクタ 空乏層のなだれ増倍係数である。なだれ増倍係数は コレクタ電圧の関数であり コレクタ 空乏層内での電界分布に依存する。 GAT では ゲートのしゃへい効果により コレクタ・ベース接合界面の電界強度が弱くなることを考慮して、 なだれ増倍係数の コレクタ電圧依存性 を 計算した 1 例を図2. に示す(5)。なお同図には比較のために ゲートのしゃへい効果がない通常のトランジスタ について計算した結果も同時に示す。 コレクタ電圧が等しいときには、 GAT は通常のトランジスタよりなだれ増倍係数が小さくなる。したがって式(6)より電流利得が等しいときには、最大 コレクタ電圧は GAT のほうが通常のトランジスタよりも高くなる。

2.2 安全動作領域に及ぼすゲートの効果

トランジスタ の安全動作領域は ベース 順 バイアス のときは局部的な接合温度上昇による 2 次降伏により,また ベース 逆 バイアス のときはなだれ注入による 2 次降伏により制限される。 ベース 順 バイアス の場合, 1 ェッタ 電流集中による局部的な接合温度上昇 が 安全動作領域を制限する要因の 1 つになっている。 1 ミッタ 電流集中は, 1 ミッタ 電流が臨界値以上になると 1 ミッタ 領域の周辺部に電流が集中する現象である。 臨界 1 ミッタ 電流 (1 にの) は近似的に次式で与えられる 1 (1 にの) は近似的に次式で与えられる 1 (1 にの)

$$I_{EC} \simeq \frac{9.6kThW_{Bn}}{q \cdot L_E(1-\alpha)\rho_b}$$
 (7)

-ス領域の比抵抗である。

GAT は f_{-} トの効果により f_{-} ス 領域内の空乏層の延びが抑制されるから、 W_{Bn} が大きく、式(7)より I_{EC} が大きくなって、 通常の f_{-} ランジスタ よりも f_{-} ス 順 f_{-} 7ス 時の安全動作領域が広くなる。

なだれ注入は コレクタ 空乏層内の電界分布のこう (勾) 配が キャリア の空間電界によって逆転した時に起こる。したがって、電流集中が 生ずると、局部的に キャリア の空間電荷密度が高くなり、その部分で なだれ注入が起こり安全動作領域を制限する。 GAT は電流集中が 抑制されるので、なだれ注入が起こりにくく、 通常の トランジスタ よりも ベース 逆 バイアス 時の安全動作領域が広くなる。

2.3 スイッチング特性に及ぼすゲートの効果

ベース 領域が薄くなると、 キャリア のベース 走行時間が短くなり、一般 に トランジスタ の スイッチング 時間は短くなる。しかし、通常の トランジスタ では、ベース 領域が薄くなると ベース 抵抗が大きくなって、 エミッタ・ベース 接合の充放電の遅延時間が無視できなくなり、 スイッチング 時間、特に下降時間は放電の遅延時間に制限されるようになる。 そのため、通常の トランジスタ では、 ベース 領域が薄くなるとかえって スイッチング 時間が長くなる不都合が生ずる。

一方 GAT の場合には、ゲートがベース領域よりも拡散が深いこと、及びゲートのしゃへい効果によりベース領域内の空乏層の延びが抑制されることにより、ベース領域が薄い場合でも実効的なベース抵抗が低くなる。したがって、GAT ではベース領域が薄い場合でも通常のトランジスタで見られる不都合は生じない。

3. GAT の製作(1)(2)(4)

コレクタ 領域の不純物濃度は $1\times10^{14} \mathrm{cm}^{-3}$ から $6\times10^{14} \mathrm{cm}^{-3}$ の範囲 とした。また拡散領域の表面不純物濃度は $1\times10^{19} \mathrm{cm}^{-3}$, ベース 領域については約 $5\times10^{17} \mathrm{cm}^{-3}$, ゲート 領域については約 $1\times10^{18} \mathrm{cm}^{-3}$ とした。

GAT を製作すると同時に、ゲートを除いて他は同一工程で通常のトランジスタ を製作し、両者の特性を比較して ゲート の効果を実験的に調べた。

4. GAT の特性

4.1 コレクタ電圧

ベース 領域の厚みが 0.2 μm の時の,GAT 及び通常のトランジスタのコレクタ・エミッタ 耐圧を表 1. に示す。 ゲート 間隔が 20 μm の時, GAT の耐圧は 200 V となり,ゲート 間隔が 30 μm の GAT や通常のトランジスタの耐圧に比べて 10 倍に なっている。 ゲート 間隔が 30 μm の GAT の電流 - 電圧特性は パンチスルー 形電界効果トランジスタ と類似しており,ベース 領域が パンチスルー していることを示唆している。 一方ゲート 間隔が 20 μm の GAT では,電流 - 電圧特性は バイポーラトランジスタ と同じであり,ベース 領域の パンチスルー がない。表 1. 及び式(3)から,ベース 領域が パンチスルー する前に チャネル が ピンチオフ することに

表 1. GAT の コレクタ・エミッタ 耐圧 と ゲート 間隔の関係

	G.A	GAT		
gate spacing (μm)	20	30		
$V_{CEO}(V)$	200	20	20	

より、ベース 領域が薄い場合でも GAT の コレクタ・エミッタ 耐圧は高くなる。

f-h 間隔を変えたときの GAT の $_{3}$ $_{1}$ $_{2}$ $_{3}$ が 所圧と式(4)から計算した電圧増幅率との関係を 図 3. に示す。 耐圧は $1+\mu$ に比例しており式(5)から予測される結果と一致する。

ベース 領域の厚みが $1 \mu m$ の場合, GAT 及び通常の トランジスタ のベース 接地電流利得 (α) と コレクタ・エミッタ 電圧 (V_{CE}) は近似的に次の関係がある。

$$\left. \begin{array}{l} \alpha(V_{CE}) = 0.981 + 5 \times 10^{-5} V_{CE} (通常の トランジスタ) \\ \alpha(V_{CE}) = 0.984 + 1 \times 10^{-5} V_{CE} (GAT) \end{array} \right\} \cdots \cdots (8)$$

GAT は電流利得の電圧依存性が通常のトランジスタに比べて約 1/5 になっている。これはベース領域内の空乏層の延びがゲートの効果により抑制されていることを示している。 図 3. に結果を示した計算式と式(8)の関係を式(6)に代入して、GAT 及び通常のトランジスタのコレクタ・エミッタ耐圧を計算すると、それぞれ 230 V 及び 115 V となり、実測結果とよく一致する(6)。このことは前節の議論が妥当であることを示唆している。コレクタ・ベース耐圧で正規化したコレクタ・エミッタ耐圧とエミッタ接地電流利得との関係を GAT 及び通常のトランジスタ について測定した結果を図 4. に示す。 電流利得が 40 以上の

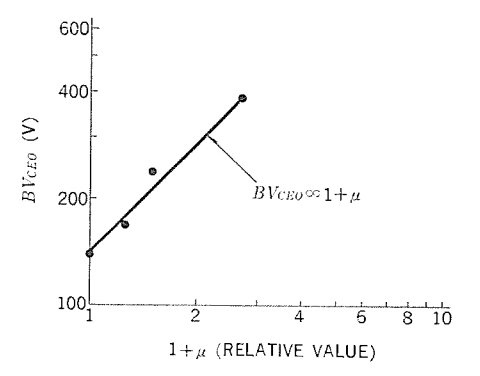


図 3. GAT の コレクタ・エミッタ 耐圧 と 電圧増幅率 との関係

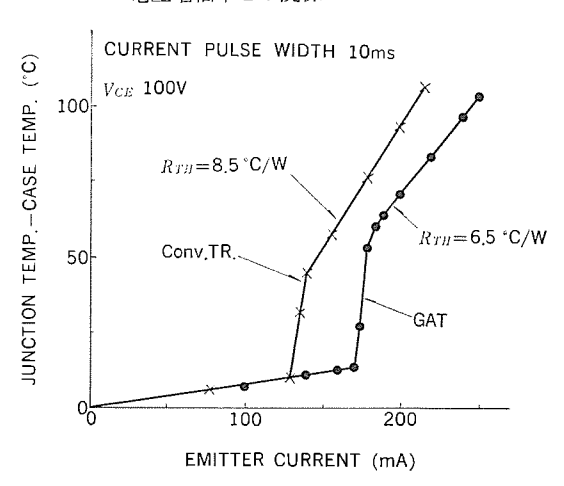


図 5. 接合温度と エミッタ 電流との関係

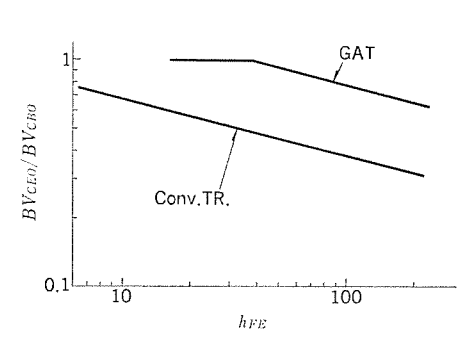


図 4. 正規化した コレクタ・エミッタ 耐圧と接地電流利得との関係

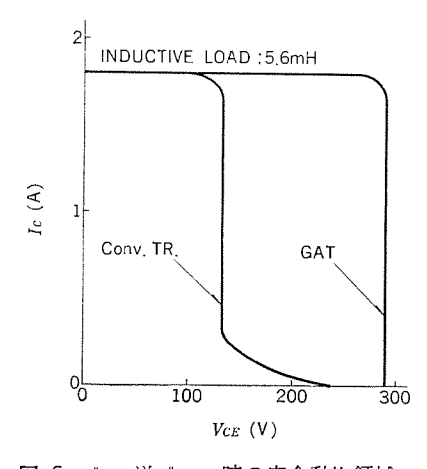


図 6. ベース 逆 バイアス 時の安全動作領域

表 2. GAT と通常の トランジスタ の スイッチング 特性の比較

	tr(µs)	t _s (μs)	t _f (μs)
GAT	0.07	2.5	0.24
Conv. TR.	0.07	2.9	0.80

範囲では、電流利得が等しいとき、GAT は通常のトランジスタに比べて コレクタ・エミッタ 耐圧が約2倍になっている。

4.2 安全動作領域

ベース 順 バイアス のとき、接合温度と エミッタ 電流の関係を、 GAT 及び通常の トランジスタ について測定した結果を図 5. に示す。 GAT では エミッタ 電流が 170 mA で、 通常の トランジスタ の場合には 130 mA で接合温度が急激に上昇し、電流集中が起こることを示している。 GAT の場合には ゲート の効果により臨界 エミッタ 電流が大きく なっていることが分かる。 また、特性の勾配から求めた熱抵抗は GATでは 6.5℃/W、通常の トランジスタ では 8.5℃/W であり、 GAT のほうが接合温度は低くなる。したがって ベース 順 バイアス の安全動作領域が広くなる。 ラッチング 法で測定した ベース 逆 バイアス の安全動作領域を図 6. に示す。 通常の トランジスタ では コレクタ 電流が 200 mA 以上の範囲で コレクタ 電圧が顕著に低下するが、 GAT では コレクタ電圧の低下はなく、 安全動作領域は通常のトランジスタ に比べて約 2 倍になっている。

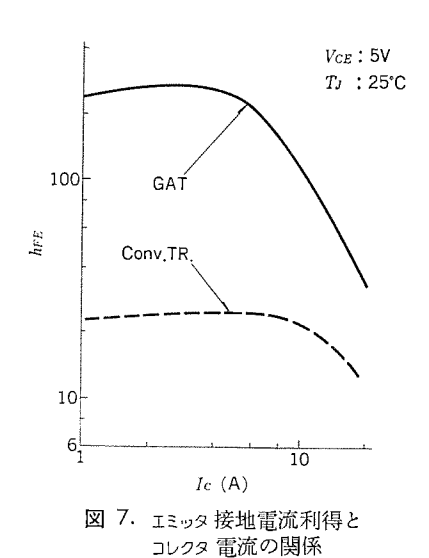
4.3 スイッチング特性

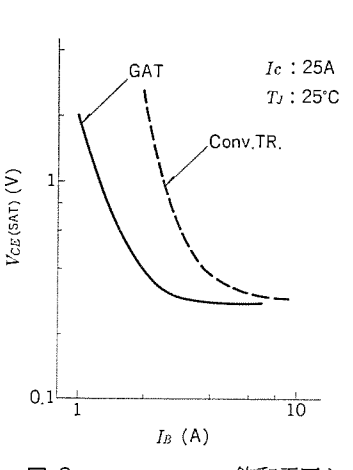
ベース 領域が 1 μm の GAT 及び通常の トランジスタ の スイッチング 特性を表 2. に示す。 両者の上昇時間及び蓄積時間はほぼ等しいが,降下時間は明らかに異なっている。通常の トランジスタ では ベース 領域が 10 μm から 1 μm になると,上昇時間は0.16 μs から 0.07 μs に減少

するが、下降時間は 0.36 µs から 0.8 µs に増大する。これは ベース 領域が 薄くなるとベース 抵抗の影響が 顕著 になることを示している。一方、GAT ではベース領域が薄い場合でも表 2. に示すように下降時間の増大 はない。

4. 4 電力用 GAT

試作した電力用 GAT の電圧定格は 450 V, 電流定格は 20 A である。同 定格の通常のパワートランジスタと比較 して、電力用 GAT の特性を図 7. から 図 9. に示す。 図 7. に エミッタ 接地直流電流利得(hFE) と コレクタ電 流の関係を示す。GAT の h_{FE} は通 常の トラュッシスタに比べて 2.6~10 倍で、 コレクタ 電流が 20 A のときに hFE は 32 になっている。図 8. に コレクタ・ エミッタ 飽和電圧と ベース 電流 の 関係 を示す。 コレクタ 電流が 20 A のとき 通常の トランジスタ では コレクタ・エミッタ 電圧 が 飽和するときの ベース 電流は 約8Aであるが、GATではベース電 流が4Aのときに飽和する。 図 9. に スイッチング 時間と コレクタ 電流の関





GAT --- Conv.TR.

Vcc: 200V

GAT

Im: 1A

Im: 1A

Im: 1A

Im: 1,5A

Im: 1,5A

Im: 1,5A

Im: 1,5A

Im: 1,5A

図 8. コレクタ・エミッタ 飽和電圧 と ベース 電流の関係

図 9. スイッチング 時間と コレクタ 電流の関係

表 3. 電力用 GAT の電気特性

			GAT		Conv. TR.
		Value	Test Condition	Value	Test Condition
$V_{CER}(SUS)$	(V)	480	$R_{EB}=50\Omega$, $I_C=1$ A	480	$R_{EB} = 50\Omega$, $I_C = 1$ A
V_{CBO}	(V)	680	IcBo=150 μA	690	IcBo=150 μA
h_{FE}		32	$I_C = 20A$, $V_{CE} = 5V$ $T_J = 25^{\circ}C$	12	$I_C = 20$ A, $V_{CE} = 5$ V $T_J = 25$ °C
$V_{CE}(SAT)$	(V)	0.3	$I_C = 20A, I_B = 4 A$	0.3	$I_C = 20A, I_B = 8A$
Ic	(A)	20	$h_{FE} = 32, \ V_{CE} = 5V$ $T_{J} = 25^{\circ} \text{C}$	20	$h_{FE}=12$, $V_{CE}=5$ V $T_{J}=25$ °C
t_{T}	(μs)	0.12	I _{B1} = 1 A	0.9	$I_{B_1} = 1.5 \text{ A}$
Lstg	(μs)	1.3	$I_{B_2} = 1 \text{ A}$ $I_C = 20 \text{ A}$	2.0	$I_{B_2} = 1 \text{ A}$ $I_C = 20 \text{ A}$
tf	(μs)	0.2	Vcc=200 V	0.7	Vcc=200 V

係を示す。測定条件は図中に示した。 なお,順 ベース 駆動電流波形は幅が 30 μs のく(矩)形である。GAT の上昇時間は通常のトランジスタに比べて 1/5~1/7 に, 下降時間は 1/3~1/7 になっている。一方蓄積時間は,順 ベース 駆動電流の差を考慮すると,GAT と通常のトランジスタ において大差ないといえる。しかし,ベース駆動回路に スピードアップ コンデンサ を接続して,ベース 駆動電流波形を変えることなどにより,蓄積時間を短くできるから,上昇時間及び下降時間が短くなり,GAT は通常のトランジスタに比べて,高速動作に適していることが分かる。

GAT は電流利得が高いので通常のトランジスタに比べて小さい ベース 電流で コレクタ・エミッタ 電圧が飽和し、また上昇時間、降下時間が 短くなる利点がある。例えぼ、コレクタ 電流が 20 A の時、通常のトランジスタ は ベース 駆動電流として約 8 A必要であるが、GAT では 4 A で十分 であり、ベース 電流は 1/2 に軽減される。表 3. に電力用 GAT の電気特性を通常のトランジスタと比較して示す。

5. む す び

ゲート 付 トランジスタ は コレクタ 領域に突出した ベース 領域(ゲート)の効果により、 ベース 領域内の空芝層の延び及び コレクタ 空芝層内でのなだれ増倍が抑制され、またベース 抵抗が低くなるため、 高耐圧で高速、高電流利得のトランジスタ に適していることを明らかにした。

また電圧定格が $450 \, \mathrm{V}$, 電流定格が $20 \, \mathrm{A}$ の電力用 GAT を開発し, 同定格の パワートランジスタ に比べて次の利点があることを明らかにした。

- (1) GAT の $_{\text{I}\exists vg}$ 接地直流電流利得は,定格 $_{\text{I}vg}$ 電流において $32(V_{CE}=5\,\mathrm{V},\ T_{j}=25\,^{\circ}\mathrm{C})$ であり,従来の約 2.6 倍に改善された。
- (2) GAT の上昇時間 と 下降時間は従来の 1/7 及び 1/3 に改善された。
- (3) (1)及び(2)のために, GAT は小さな ベース 電流で スイッチング 動作が可能である。例えば 20 A の コレクタ 電流を スイッチ するに必要な ベース 電流は 4 A で、従来の 1/2 に軽減された。

GAT は ベース 駆動電流が小さく, スイッチング 時間が短いため パワーエレクトロニクス の分野において,装置の小形化,高性能化に貢献するものと考えられる。今後,大電流化を検討し,電流定格 50 A の GAT を開発する計画である。 (昭和 55-3-3 受付)

参考文献

- (1) 別所,近藤. 行本:信学会電子 デバイス 研資, ED 78-51
- (2) 行本,近藤,白幡:電学会電子装置研資,EDD-78-76
- (3) H. Kondo, Y. Yukimoto and K. Shirahata: 1979 IEEE ISSCC Digest of Technical papers 22, p. 84 (1979)
- (4) H. Kondo, M. Bessho and Y. Yukimoto : Japan. J. Appli. Phys. 18, Suppl. 18-1 pp. 329-333 (1979)
- (5) 近藤, 行本:信学会電子 デバイス 研資, ED 79-53
- (6) H. Kondo, Y. Yukimoto: The 11 th Conf. on Solid State Devices, Tokyo. Digest of Tech. Papers, No. A-6-13, p. 197

平林 庄 司*·渡 辺 忠 勝*·北 村 洋一*

1. まえがき

電力需要の増大に伴い発電機,変圧器等の電気機器においては大容量化,小形化,高信頼性が要求され,電気絶縁に対しても新しい絶縁方式,絶縁診断法の確立が重要な課題になってきている。

絶縁性能の評価方法として絶縁抵抗、誘電正接、部分放電測定等が従来から用いられてきた。しかし測定には熟練を要し、また絶縁物の構造は物性的にも複雑であり、かつ高電圧印加のため放電現象を伴い、得られるデータはばらつきが多く信頼性の高いデータ収集が困難であった。ところが、近年の半導体技術の急速な進歩により計測技術の向上、計算機コストの低下などによって測定の高精度化、省力化、多量のデータ収集、処理が可能になり計算機を利用した計測システムの開発が進められている。当社でも絶縁特性をは(把)握する上で特に重要な誘電正接、部分放電、交流絶縁破壊電圧の自動測定ができミニコンピュータによりデータ収集、処理を行うことができる高電圧機器絶縁自動計測システムを開発した。このシステムは、大形計算機とハイアラーキシステムを構成しており、高度の解析処理が可能である。

電気機器の絶縁組織は、運転中にいろいろな要因の ストレス を受けて劣化を招き絶縁破壊事故に至る場合がある。したがって、絶縁劣化状態の的確な判定が極めて重要である。

この システム の開発により、回転機絶縁組織の各種 データ を総合的 に解析処理を行うことが可能になり、絶縁性能評価方法の信頼性向上をめざしている。

この報告では、システムの方式、機能について述べる。

2. システムに要求される機能

この システム を開発するにあたっては、下記の事項に重点を置いた。

- (1) ルーチン的な仕事の省力化が図れること
- (2) 多量の データ 収集, 処理が容易であること
- (3) システム の拡張が容易であること

まず(1)は測定の自動化、データ処理の高速化を行うことにより、技術者を定常作業から解放してより質の高い仕事に従事させる。また人為的誤差の介入を防止して、未熟練者でも実行が可能にする。

- (2)は1章で述べたように、絶縁計測で得られる情報には、ばらつきが多いため多量の データ を収集して、統計的処理などを用いて解析を行う必要がある。 それには、多量の データ をいろいろな観点から検索できる データファイル を作成する必要がある。
- (3)は ソフトウェア の面からは、実験の目的を十分生かすために、実験者の目的に応じた オンライン、オフライン 解析処理が容易に行えること。 ハードウェア の面からは、ほかの測定法の追加、システム の拡張ができることである。

3. ハードウェアの構成

システム は、測定 ユニット、 ミニコンピュータシステム (《MELCOM 70》 とそ

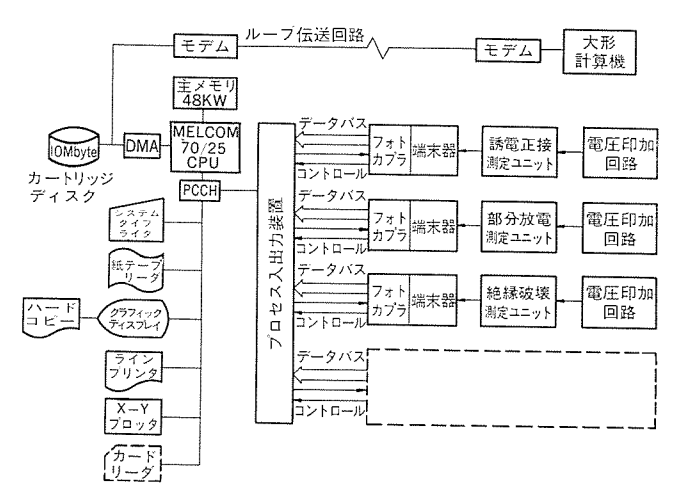


図 1. システム の全体構成図

の周辺装置),及び計算機結合装置により構成している。図 1. に システム の全体構成を示す。

3.1 測定ユニット

誘電正接,部分放電,交流絶縁破壊電圧測定ュニットで構成している。 則定はすべてミニコンピュータの制御なしに単独自動測定が可能であり, 測定者は試料のセット, 測定条件の設定だけでよい。測定結果は、ュニットのメモリに記憶され、各ュニットに付属した端末器によりミニコンピュータに対してデータ転送要求を行い測定条件, 測定結果の転送を行う。

3.1.1 誘電正接測定ユニット

誘電正接測定は,誘電正接 (tan δ)-電圧特性,また絶縁物に温度変化を与えたときの上記特性などにより,絶縁物の状態を診断しようとするものである。

測定方法は、シェーリングブリッジによる方法が最も一般的で良い精度を得ることができる。しかしシェーリングブリッジでは、2 個の素子を可変して $\tan \delta$ を求めるため操作が複雑になる。そこでこの装置では、1 個の素子の可変で $\tan \delta$ が求められる方式を採用している。

図 2. に示す交流 ブリッジ において, R_3 を可変したとき R_3 と R_4 の差電圧 E_0 が最小となるための条件は,

$$R_3C_x$$
= R_4C_s -----------------------(1)であり,このときの E_0 を R_4 の電圧 E_4 で除すると,式(2)に示すように $an\delta$ を求めることができる。

$$\left|\frac{E_3}{E_4}\right| = \frac{\tan \delta}{\sqrt{1 + \tan^2 \delta}} \approx \tan \delta \quad (2)$$

この場合,シェーリングブリッジ より誤差が大きくなるがその大きさは, $\tan\delta$ が 10% のとき -0.4/100,30% のとき -4/100 であり実用上問題ない。なお ガード 回路は,バッファアンプ を用いて自動 バランス を行っている。

式(1)より ${\it bign}$ シェーリングブリッジ と同様絶縁物の静電容量 C_x が測定できることは言うまでもない。

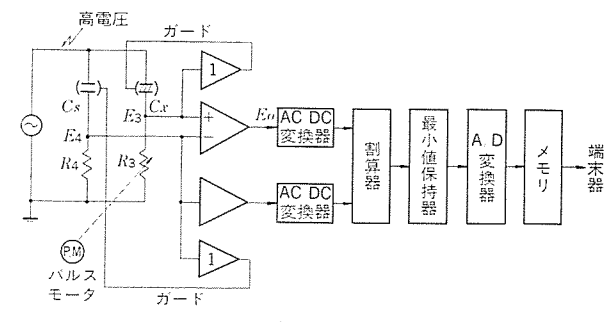


図 2. 誘電正接測定 ユニット

表 1. 誘電正接測定 ユニット の主な仕様

項	(1)	誘電正接 (tan δ)
П	(2)	静 電 容 量 (Cx)
	(1)	方 式:修正シェーリングブリッジ
	(2)	試 験 電 圧: 範囲 500 V~30 kV
仕		測定電圧:最大電圧を10等分した各点
	(3)	測 定
		tan∂ : 範囲 0.02~30 %
攃		精度 ±5% ±0.02% (tanδ值)
DK.		C_x :範囲 100 pF~0.01 μ F
		精度 5%

この装置の ブロック 図を図 2. に、主な仕様を表 1. に示す。

3.1.2 部分放電測定ユニット

部分放電の測定方法の中で、広帯域法は検出素子に現れる部分放電 波形を広帯域増幅器 (数 kHz~2 MHz 程度) を用いて忠実に増幅す るので分解能が高い (3 μs 以下) 長所がある。このため部分放電の 発生位相の検討、波高分析による発生ひん度分布など詳細な分析に 最適である。

この装置では広帯域法の長所を利用して、波高分析器による放電電荷-ひん度分布特性の測定を主体にして行っている。 装置の ブロック 図を図 3. に、主な仕様を表 2. に示す。

(1) 自動校正

校正は試料非接地直列校正法で、最初に内蔵の ブリッジで $(C_x + C_x')$ を自動測定して、次に

$$E_{c} = \frac{Q}{C_{\sigma} + C_{\sigma'}} \qquad (3)$$

なる校正電圧を加えて自動校正する。ただし C_x : 試料の静電容量, $C_{x'}$: 調整用 コンデンサ の静電容量,Q: 基準放電電荷

ここで $C_{x'}$ を入れたのは, C_{x} が小さい場合でも $(C_{x}+C_{x'})$ の値の変化を小さくするためである。これによってこの装置では,静電容量が $0\sim5,000$ pF の範囲の試料が無調整で測定可能である。

(2) 28 チャネル 波高分析

測定回路の検出抵抗で検出された部分放電波形は,立が上りが速く指数関数的に減衰する波形であるため, 増幅した後で波形の $\ell-0$ 値を約 $2\,\mu s$ 保持する ℓ パルス 波形に変換して,高速 ℓ A/D 変換器 (変換時間 ℓ 1 ℓ M) により数値変換を行って ℓ ℓ の日本の回路で高速処理を行う。

(3) 自動測定

自動校正後, 10^{-11} $\rho_{-0\nu}$ の部分放電開始電圧を測定して,との電圧から 0.5 あるいは $1\,\mathrm{kV}$ λ_{Fv} の各電圧 ごとに最高 $32\,\lambda_{Fv}$ すまで放電電荷ひん度分布,最大放電電荷,平均電流を自動測定して記憶,表示する。

放電電荷ひん度分布は, $1\times10^{-11}\sim1\times10^{-8}$ $\rho=0$ の範囲を各けた(桁) ごとに 9 等分,計 28 f+i に波高分析する。

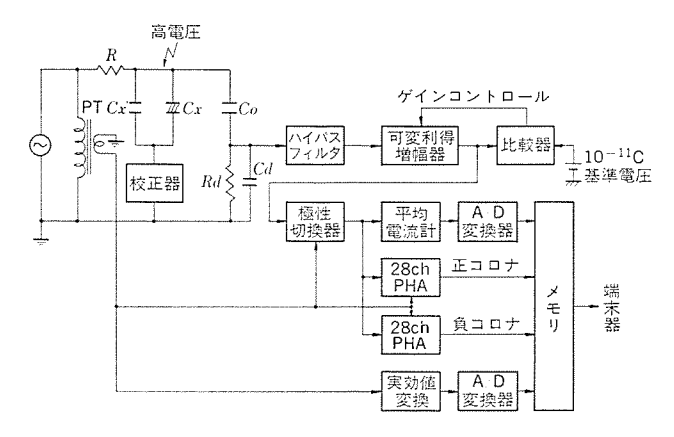


図 3. 部分放電測定 ユニット

表 2. 部分放電測定 ユニットの主な仕様

100	(1) 部分放電開始電圧
項	(2)。最大放電電荷
	(3) 放電電荷-発生ひん度特性
E	(4) 平均電流
	(5) 静電容量
- Constitution	(1) 方 法
	(a) 広帯域法 (1kHz~2MHz)
	(b) 試料非接地直列校正法
	(c) 正負同時測定した後,分離
	(2) 試験回路
仕	(a) 試 験 電 圧:500V~30kV
	(b) 試料 靜 電 容量:0~5,000 pF
	(c) 結合コンデンサ:1,000 pF
	(d) 調整用コンデンサ:1,000 pF
	(3) 測定部
	(a) 検 出 部:時定数 450~700 ns
採	(b) 波高分析部:28 チャネル
	$ \begin{vmatrix} 1 \times 10^{-11} \sim 1 \times 10^{-8} & 7 - \pi \nu \\ 1 \times 10^{-19} \sim 1 \times 10^{-7} & 7 - \pi \nu \end{vmatrix} $ 2 $\nu \nu \vec{\nu}$
	$1 \times 10^{-10} \sim 1 \times 10^{-7} \ p - a \ v$
	分 解 能:5μs
	計 数 法: PPS or total
	(c) ゲート・スライサ:印加電圧波形に同期

測定方法については前述のほかに、 プリセット した 5 段階の電圧での測定, また一定電圧における時間特性の測定もできる。

(4) 雑音対策

印加電源系統からの雑音侵入を防ぐため シールドトランス, 商用周波数 フィルタを設けている。これは電圧調整器のしゅう(摺)動雑音, 波形 ひずみにも効果があり誘電正接測定 ユニット でも用いている。

信号処理的には部分放電の性質(放電波形、印加電圧と放電極性の関係)を用いて対策を施している。

3.1.3 交流絶縁破壊電圧測定ユニット

この測定は絶縁物が破壊するまで電圧を印加して,破壊電圧が絶縁 性能の評価に,あるいは誘電正接,部分放電等の非破壊絶縁試験法 による性能評価の検証に用いられている。

電圧印加方法は、連続上昇法あるいは階段上昇法により行っており、破壊電圧のほかに破壊現象解明の手がかりを得るため破壊前10 サイクル の電圧、電流波形を測定している。また特に試験の正確さを期すため試料の沿面せん(閃)絡防止、雑音対策を強化している。装置の ブロック 図を図 4. に、主な仕様を表 3. に示す。

(1) 沿面閃絡防止

高電圧発電機の コイル あるいは テスト バー の測定では、沿面閃絡防止のため、 沿面に SiC (半導電性) 塗料を塗布しているが、充電電流

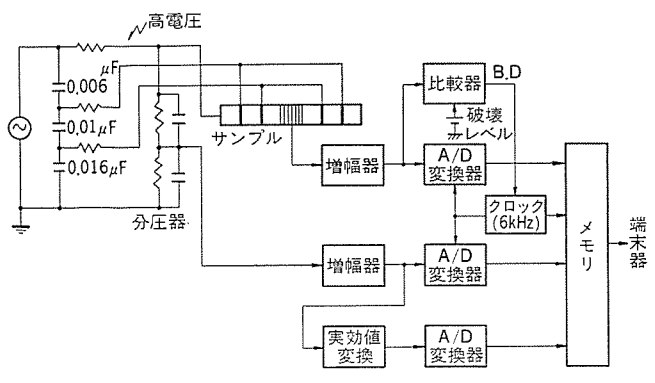


図 4. 交流絶縁破壊電圧測定 ユニット

表 3. 交流絶縁破壊電圧測定 ユニットの主な仕様

	(1) 絶縁破壞電圧
項	(a) 連続上昇法 破壞電圧
	(b) 階段上昇法 破壞電圧,保持時間
且	(2) 耐電圧寿命時間
	(3) 電圧及び電流波形
	(1) 試験電圧:6kV~150kV
	(2) 電圧上昇速度:0.5, 1, 2kV/s
仕	(3) スタート電圧:0~99 kV
124	(4) ステップ電圧:連続, 1, 2, 5kV
	(5) 保 持 時 間:0~99h lsステップ
	(6) 測 定
146	電 圧:(a) 方式:波高值-実効値
様	(b) 精度:±1% ±200 V
	波 形:(a) サンプリング:100点/Hz
	(b) 記 憶: 破壊前10 サイクル



図 5. ミニコンピュータシステム

により SiC 塗料が熱破壊を起こし沿面関絡することがある。これを防止するため SiC 塗料の中間に分圧電極を設けて、これに印加電圧をコンデンサで分圧した電圧を加えることにより、SiC 塗料に流れる充電電流を電源側に分流する方法(C 分圧課電方式(1))を採用している。

(2) 雜音対策

絶縁破壊のとき発生する サージにより装置の故障, 誤動作を招くため,入力回路は避雷器と ダイオード により保護するとともに入力回路から A/D 変換器までを 2 重 シールド 構造としている。

(3) 力率改善

C 分圧課電方式のため負荷の静電容量が大きくなり無効電流が増大するため、力率改善用の インダクタンス を電源回路にそう(挿)入して電源系統の小形化を図っている。

3.2 ミニコンピュータシステム

図 5. に ミニコンピュータ・周辺装置を設置した計算機室を, 下記にその 構成を示す。

(1) 中央処理装置:《MELCOM 70/25》 主 x=y 48 kW

語長 16 bit

- (2) 補助記憶装置: カートリッジディスク 10 Mbyte
- (3) 周 辺 機 器:プロセス 入出力装置、システムタイプライタ、ラインプリンタ、 紙 テーブリーダ、グラフィックディスプレイ、ハードコピー、モデム

3.2.1 データ収集方法

絶縁計測で得られる情報は高速でかつ量が多いため、測定 ユニットに高速処理用の専用回路 (ワイヤードロジック による)、測定 データ 記憶用のメモリ を設けて前処理機能の強化を図り、プログラム 制御 チャネル (PCC H) で データ 収集を行っている。

3.2.2 データ処理

ミニコンピュータは、 ハイアラーキシステム の端末計算機の機能を兼ねており高度な解析処理は、大形計算機にゆだねている。 ミニコンピュータ では、収集した データの ファイル 管理 (カートリッジディスク に作成した トランザクションファイル)、及び簡単な オンライン、オフライン の処理を行っている。

3.3 大形計算機による処理

ミニコンピュータから転送されてきたデータは、技術計算用大形計算機のデータファイルに入れたあとで処理する。このデータファイルには、絶縁材料の基礎特性、絶縁プロセス、劣化特性等もカードにより入力されており、これらのデータをもとにして、因子分析、ワイブル解析(2)等の統計解析、あるいは部分放電測定結果をもとにした、ボイド分布推定(3)などを行っている。

3.4 雑音対策

この システム は、高電圧測定を対象としているため絶縁物の破壊により強力な雑音を発生して ミニコンピュータ、測定 ユニット の誤動作を招く。 この防止策として、 測定 ユニット に付属した端末器内で フォトカプラ により 各測定 ユニット を電気的に絶縁して、接地点を別々に設けている。また ミニコンピュータ と各測定 ユニット 間の信号伝送用 ケーブル (およそ 10~30 m) は絶縁付きの専用金属製 パイプ に入れている。

4. ソフトウェアの構成

処理 プログラム は、 すべて リアルタイムディスク オペレーティングシステム(RDOS) の管理下に置かれており、データ 収集関係及び大形計算機結合関係 プログラム により構成している。

(1) データ 収集関係

データ収集, ディスク格納, 図形処理, ユーザー 処理の プログラム がある。収集した データは, すべて カートリッジディスクに, トランザクションファイル として格納したあとで処理 プログラム を実行する。

(2) 大形計算機結合

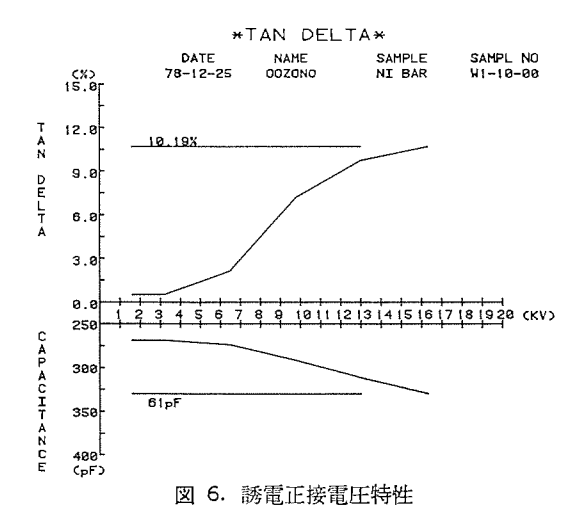
タイムシェアリング,遠隔 ジョブ入力,データ 転送 システム により 運用している。

5. システムの適用

との システムは、現在、回転機絶縁の新しい絶縁方式の評価、絶縁診断技術の開発に活用している。以下に活用の例を示す。

図 6.~図 9. は,発電機 モデルコイル の絶縁性能評価を行うため, 劣化 (熱,課電等) 過程の特性を データ 収集して処理を行った例である。図 6. は tan δ - 電圧特性で印加電圧と tan δ 及び静電容量の関係,図 7. は部分放電ひん度分布で放電電荷と正・負極性の放電個数,図 8. は絶縁物を破壊させて,耐電圧及び破壊直前の電圧電流波形を求めている。

これらの結果、及び データファイルをしている初期からの特性を分析



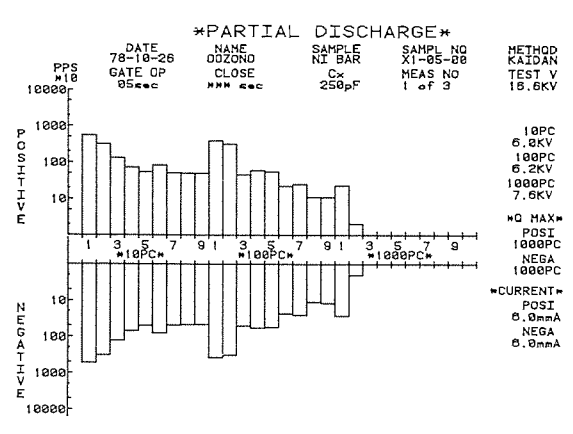


図 7. 放電電荷ひん度分布

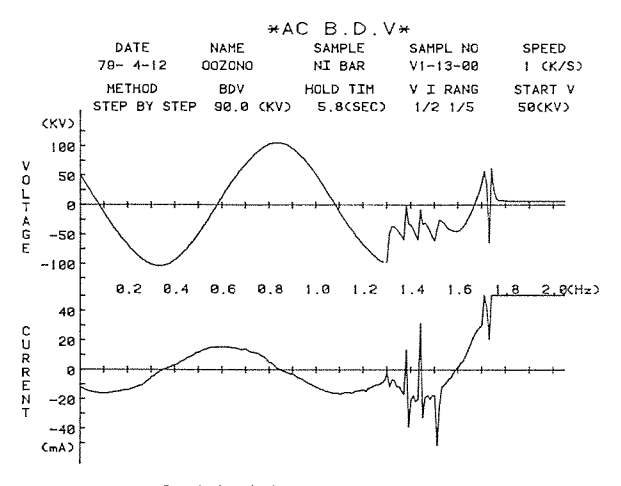


図 8. 絶縁破壊直前の電圧,電流波形

して、ストレスと寿命の関係、非破壊試験法と破壊電圧との相関などの解明を行っている。

図 9. はその 1 例で,長期課電試験を行い,破壊までの時間を η イブル 解析してまとめた V-t 特性である。 結果は, $t=K\cdot V^{-n}$ の逆 η 乗則が成立しているが, 印加電圧 θ (任意値) 付近でが異なって おり, η リー状の放電による破壊,部分放電による劣化の θ 領域に分類されている。

図 10. は絶縁物の ポイト の分布状態を推定した例で,試料は誘導電動機 モデルコイル である。 $ffength{f}$ の長さが t 以上で, 放電面積が S 以上の範囲に存在する ポイト 個数 N_v を示している。

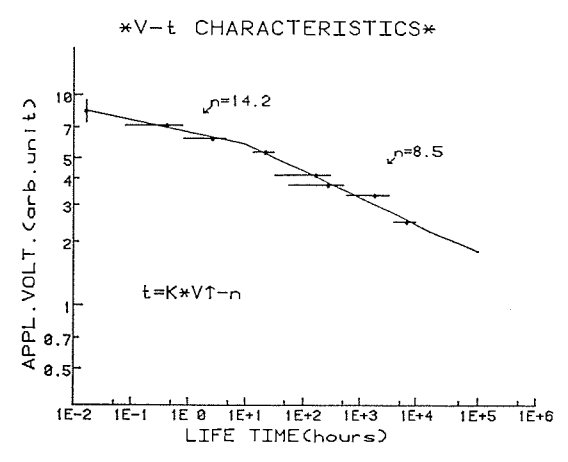


図 9. V-t 特性

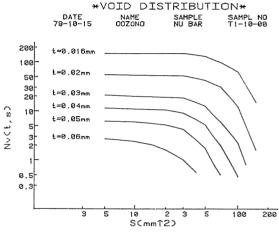


図 10. ボイド 分布状態

この結果を,劣化状態の判定,製造 プロセスの改良及び絶縁設計へ 反映している。

以上,測定 データの図形処理, 大形計算機による解析例について 示した。これらは,自動測定,ミニコンピュータによる データ収集,計算 機との対話形式による処理が基本になっており,測定,処理の省力 化,信頼性向上を図っている。

6. む す び

以上,今回開発したシステムの機能と構成について述べた。測定の自動化により収集データの信頼性向上,計算機による多量のデータ収集,処理により,今まで十分なされていない絶縁劣化機構解明の糸口を得ることが期待できる。また,処理結果が試験法にフィードバックされて新しい試験法の開発がなされ絶縁評価,診断技術向上に貢献するものと考える。

今後は第2ステップとして、ソフトウェアの面では処理 プログラムの充実、ハードウェアの面では新交流電流試験法 $^{(4)}$ 、直流試験法 $^{(5)}$ 等の導入、また耐雑音性向上、高電位点計測のためオプトエレクトロニクスの導入を検討したい。

参考文献

- (1) 谷ほか:電気学会全国大会, No. 333 (和52)
- (2) 下地, 平林ほか:三菱電機技報, 49, No. 2 (昭 50)
- (3) 平林,長谷川ほか:電学誌,94-A,317(昭49)
- (4) H. Terase, et al.: IEEE Power Meeting F 79 626-3 (1979)
- (5) 原, 平林:三菱電機技報, 36, No. 7 (昭 37)

鈴木 栄 久*·堀 端 慎 二*·山 許 博*·鮫 島 周 耕**·角 田 正 俊***

1. まえがき

近年のように情報化の進んだ時代においては、増え続ける情報をコントロールするコンーピュータの必要性は増大の一途にあり、その大形化も時代の流れとなっている。この要請に従い、コンピュータシステムの中で用いられる記憶装置も、急速に大形化が図られている。記憶装置には、内部メモリと外部メモリの2種類があるが、情報のファイルメモリとして用いられる外部メモリには、特にその傾向が著しく、いわば大容量化の主役を担っていると言っても過言ではない。現在外部メモリとして圧倒的に多く使われているものは磁気記憶装置であり、磁気ディスク、磁気デラム、磁気デープなどがその代表的な例である。中でも磁気ディスク装置は、システムの性能、価格を左右する最も重要な周辺機器として発展しており、技術的進歩による記録密度の増大と、そのことによる大容量化、低廉化の速度は他に類を見ない。

磁気 ディスク 装置における技術開発の命題は、"いかに高速に、かつ高密度に情報を記録再生するか"であり、これは磁気 ディスク 装置が出現して以来、今日まで一貫して変わっていない。高密度記録を達成するためには、装置の キーパーツ である磁気 ヘッド と記録媒体の性能を向上させることが必要不可欠 な要件である。特に磁気 ヘッドは媒体に情報を書込み、読出すための最も主要な素子であり、その高性能化はそのまま磁気 ディスク 装置の高性能化につながる。

以下,このような コンピュータ 用磁気 ディスク 装置に用いられる磁気 ヘッドに焦点を当て,最近当社で開発した高性能で信頼性の高い NS A (New Self Acting) 形浮動 ヘッドについて, その技術的特長と応用例などについて述べる。

2. 磁気ヘッドの原理

磁気 ヘッド は一般に図 1. に示すような構造であって、基本的には ヘッドコア、ギャップ、コイル の 3 部品から成り立っている。 このような ヘッド を用いた記録再生過程では、 記録及び再生信号に悪影響を与える各種の損失が存在し、特に再生時の損失は、高密度記録の限界を

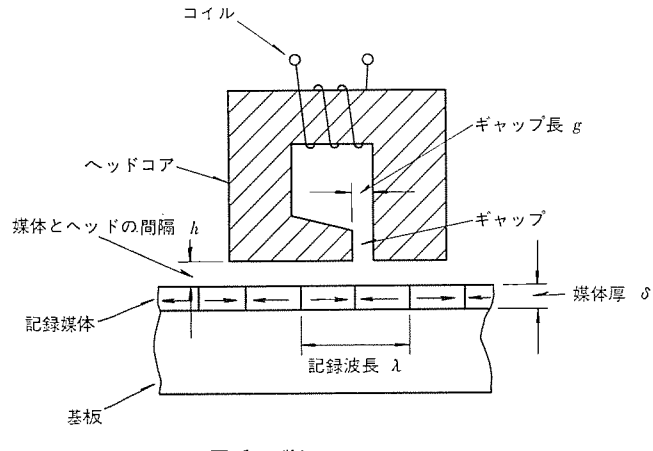


図 1. 磁気 ヘッドの モデル

決める重要な要因となる。 \land ッドと媒体の間隔 \hbar により生ずる分離損失, $\exists r$ の $\exists r$ の $\exists r$ の $\exists r$ による $\exists r$ の $\exists r$ がそれである。このうち厚み損失は記録媒体固有の問題であるからここでは省き,以下磁気 \land ッドに関係する分離損失と $\exists r$ の $\exists r$ 損失について簡単に説明する。

分離損失 L_s は一般に次式で示される。

$$L_s = -20 \log_{10} e^{-2\pi h/\lambda}$$

= 54.6 (h/\lambda) [dB](1)

ここで h: 媒体と ヘッドの間隔

λ:媒体上の記録波長

記録密度を向上させるためには,記録波長 λ をより小さくしなければならないが,式(1)は,記録波長 λ を小さくすると,損失 L_s が増加することを示している。そこで間隔hを記録波長 λ に比例させて減少させれば,損失 L_s を増加させることなく, 高密度記録が可能になることがわかる。

ギャップ 損失 L_g は次式で与えられる。

$$L_g = -20 \log_{10} \left| \frac{\sin (\pi g/\lambda)}{\pi g/\lambda} \right|$$
 [dB](2)

ここで $g: \sharp_{\nu \nu}$ プ長

一般に g/λ が大きくなると損失 L_g は増加する。記録波長 λ を減少させるためには、 λ に応じて $\sharp_{P^{ij}}$ プ 長 g も小さくしなければならないことがわかる。

以上のように記録波長 を小さくして記録密度を高めるためには、 磁気 へっドの面から見て、媒体と へっドの間隔 h と ギャップ長 g をよ り小さくすればよいことがわかる。磁気 ディスク装置において記録 密度の向上とともに A, g, h, δ がいかに小さくなってきたか、そ の変遷を図 2.⁽¹⁾に示してある。 磁気 ディスク装置の場合、使用され る へっド は浮動 へっド であるから、図中では間隔 h が浮上距離とい う名称になっている。浮上距離、ギャップ 長等がかなり急激に微小化

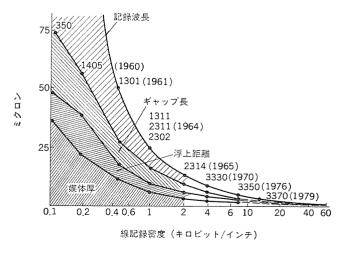


図 2. 記録密度の増加と ヘッド 寸法の変化 (数字は IBM 形名 カッコ 内は発表年)

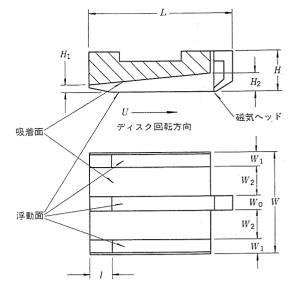
されてきた様子がよくわかる。これらの微小化を実現させるためには、ミクロンオーダの微細加工技術を確立する必要がある。高性能な ヘッド の開発は、それに用いる微細加工技術の開発に等しいと言っても過言ではない。ここで述べる NSA 形浮動 ヘッド では、 新しい技術の導入により間隔 h と ギャップ 長 g の微小化に成功しており、将来にもつながる高密度記録に適した ヘッドとなっている。

3. NSA 形浮動ヘッドの構造

磁気 ディスク 装置では、一般に動圧の気体軸受の原理を応用した、浮動形の磁気 ヘッットが用いられている。これは、磁気 ディスク 面上に浮動へッットスライダを押し付けたとき、ディスク の回転に伴って生ずる空気流により、ディスク面と スライダ浮動面との間に微小な空気膜が形成されることを利用している。この空気膜には流体力である浮上力が発生し、スライダはこの力によってディスク面上から浮上することになる。記録密度を向上させるためには、空気膜の厚さ、つまり浮上距離をできるだけ小さくすることが必要であり、現在広く実用化されている ウィンチェスタ 技術と呼ばれる浮動 ヘッットでは、0.5 μm の浮上距離を達成している。

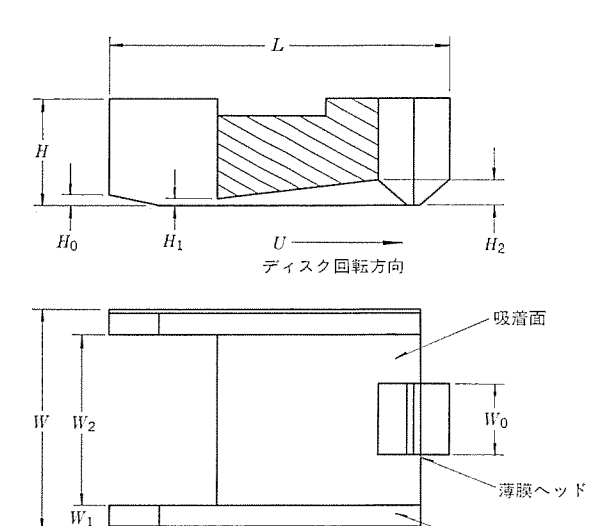
ウィンチェスタ 技術において更に浮上距離を小さくするためには、スライダに加える押付荷重を増加させなければならない。 しかし コンタクトスタート - ストップ 方式を採用している限り、ある程度以上増加させることは困難である。この方式では、ディスクに スライダを押し付けた状態のままで、ディスクの起動、停止を繰返すため、 低速時には ディスクと スライダ は互いにしゅう (摺)動することになり、双方においてある程度の摩耗は避けられないという欠点を有する。 スライダ の押付荷重を増加させることは、この摺動摩耗を直接増大させることになる。ウィンチェスタ 形 ヘッド では現在 10g に設定されており、このときの スライダ 浮動面の面圧は $1.8g/mm^2$ となっている。一般に実用化されている塗布形 ディスクを用いる場合には、浮動面の面圧は摩耗の観点から約 $2g/mm^2$ が限界であり、ウィンチェスタ 形 ヘッドの面圧はほぼその限界に近いことを示している。将来に記録密度を高めたり、表面の強度が劣ると言われるめっきディスクを採用する段階では、大きな問題として 20-37でうされるであろう。

摺動摩耗を避けるには、根本的には スライダに加えるばねによる押付荷重を滅ずるのが最も得策である。ところが押付荷重を滅ずると、ディスク が高速で回転しているときには、空気流によって生ずる浮上力により浮上距離が大きくなり、高密度記録に適さなくなるという矛盾を有する。このような矛盾を同時に解決したものが NSA 形浮動 ヘッドである。 NSA 形浮動 ヘッドでは、ディスク に対抗する スライダの面に、ディスク の回転に伴って生ずる空気流に対して、末広がりの空間を形成するようなみぞ(溝)を設けてある。ここに流体力である 吸着力を発生させ、この力をもって高速時における押付荷重を補充している。したがってばねによる押付荷重は、従来に比べて数分の1程度で十分である。このことが押付荷重を小さくしても、なお浮上距離を小さくすることができるゆえんである(2)。



ヘッドの種類	$H_1(\mu m)$	H ₂ (μm)	W(mm)	W ₁ (mm)	W ₂ (mm)
ウィンチェスタ 相当品	10	45	3.6	0.4	1.2
高密度形	8	30	3.1	0.35	1.1

図 3. NSA 形浮動 ヘッドスライダ の形状



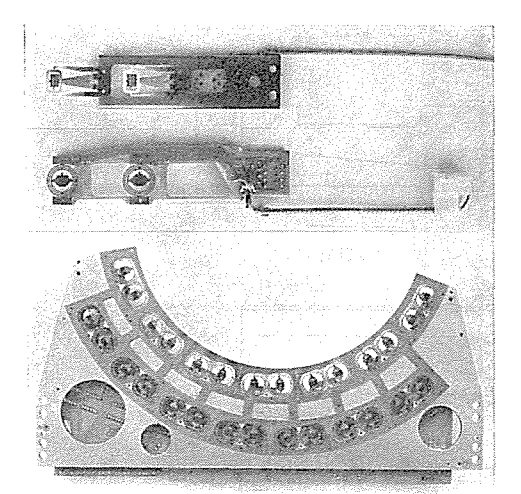
$L_1(mm)$	$H_1(\mu m)$	H ₂ (μm)	W(mm)	$W_1(mm)$	W ₂ (mm)
4.3	6	20	3.1	0.35	2.4

図 4. 薄膜 ヘッッド 用 NSA 形 スライタ の形状

< H₂ なる関係を保つよう形成されている。ここで図中矢印で示した方向に ディスクが回転すると、浮動面には正圧の浮上力が、吸着面には負圧の吸着力が発生することになる。 図 4. には通産省補助金を得て開発した、 薄膜 ヘッド 用の NSA 形浮動 ヘッドスライダ の形状を示してある (4)。 ディスク に対抗する スライダ の面は、図 3. の場合と同様に浮動面と吸着面とから構成されている。

ところで、このような NSA 形 スライダを製作するには、今までのような加工技術をそのまま応用したのでは不可能である。例えば、空気流入端の吸着面溝深さ H_1 は、 $10~\mu m$ 以下と非常に小さく、し

浮動面



ウィンチェスタ相当品

高密度形

固定ヘッド アセンブリ

図 5. NSA 形浮動 ヘッドアセンブリ

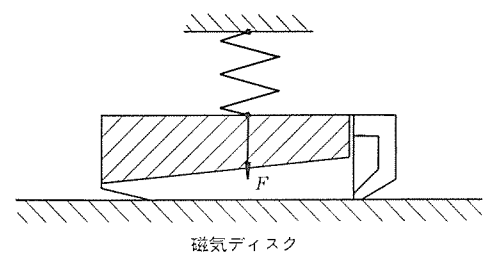
表 1. NSA 形浮動 ヘッドの仕様

仕	様	ウィンチェスタ 相 当 品	高密度形	薄膜ヘッド
記録密度	(BPI)	6,060	10,000	12,000
トラック密度	(TPI)	110	600	600
ギャップ長	(μm)	1.4	0.8	1.4
浮上距離	(μm)	0.5	0.4	0.35
押付荷重	(g)	3	2.5	2.5
再生電圧	(mV)	>2	>0.8	>2
分 解 能	(%)	>70	>70	>70

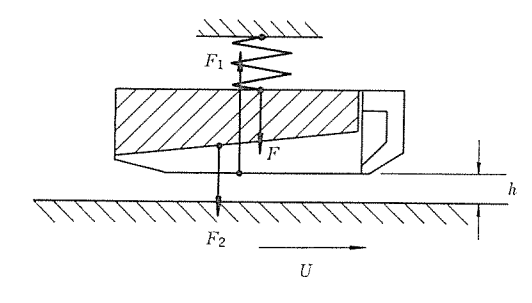
かも +1 μm の精度で仕上げなければならないなど、極めて高精度 な加工を必要とするからである。そこで従来の回転と(砥)石による 溝加工に対して、特殊な研摩加工方法を開発してこれを実現した。 また図 3. において W_0 で示した トラック幅は、ウィンチェスタ形の場合 は テーパ面で形成されているが、NSA 形では浮動面に垂直な面で形 成している(図 11. 参照)。そのため後述するように、オフトラック特性 が良好となり、トラック密度を向上させることが可能となった。更に ギャップ部の形成にも新しい加工法を採用している。 従来の ガラス 浸 透法では、作業温度をある程度以上高めなければならず、フェライト とガラスの間に相互拡散を生じて、 シャープ な ギャップ を形成すること が不可能であった。との問題は高密度記録を目指したヘッドの場合 には、より重要な制約条件となる。そこで相互拡散が少なく、しか も十分な強度を有している、新しいガラスギャップ形成法を開発した。 以上のように NSA 形浮動 ヘッドでは、浮動系に NSA 形を採用し ただけでなく、特殊な微細加工技術をも駆使して、高性能化を図っ ている。

4. 動作原理

NSA 形浮動 \wedge ッドの動作原理を図 6. に示してある。磁気 $= \sqrt{7}$ 停止しているときは,同図 $= \sqrt{7}$ に示されているように, $= \sqrt{7}$ は弱いばねの押付荷重 $= \sqrt{7}$ に押し付けられている。 とのとき図



(a) 停止時



(b) 動作時

図 6. NSA 形浮動 ヘッパの動作原理

(b)に示すように、 F_{1} スクが速度 U で矢印の方向に回転すると、スライダ の浮動面には浮上力 F_{1} が矢印の方向に働き、 吸着面には吸着力 F_{2} が矢印の方向に作用する。 結局動作時においては、 スライダは押付荷重 F、浮上力 F_{1} 、吸着力 F_{2} の 3 力のつりあいによって、安定して浮動することになる。 3 力の間には常に式(3)

$$F_1 = F + F_2 \cdots (3)$$

に示した関係が成立している。 浮上距離 h はこの 3 力の \mathring{n} ランス の結果決まる。上式からわかるように浮上力 F_1 を一定とすると,ばねによる押付荷重 F は,吸着力 F_2 が発生する分だけ少なくて済み,多くの場合 3 g 以下で十分である。一方,従来のウィンチェスタ形のスライダでは吸着力 F_2 が存在しないから,押付荷重 F と浮上力 F_1 とは等しくなり,約 10 g となっている。押付荷重 F が小さければ,コンタクトスタートーストップ時における スライダ と ディスク 間の摩擦力も小さくなり,双方の摺動摩耗はほとんど消滅する。 したがって表面の弱いめっき ディスク への適用や,ヘッド,ディスク 双方の長寿命化に対して極めて有利となる。また吸着力 F_2 がより大きくなるよう設計すれば,動作時における浮上距離 h をさらに微小化することが可能となり,高密度記録に適した浮動 \land ッド をも得ることができる。

流体力である浮上力 F_1 , 吸着力 F_2 はよく知られた レイノルズ方程式から求めることができる。図 7. に示した $\epsilon = \pi$ を用いると、次式で表される。

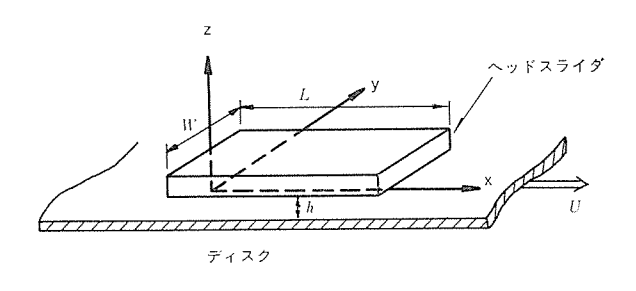
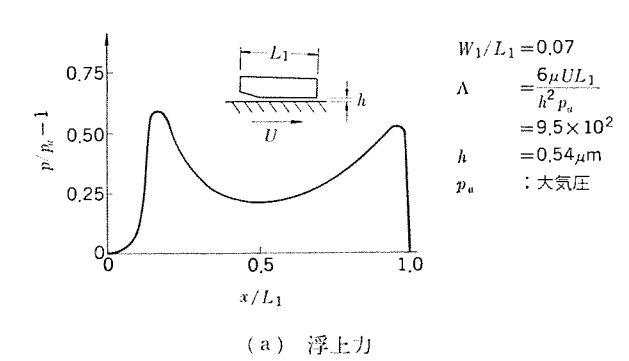


図 7. 流体力を計算するための モデル



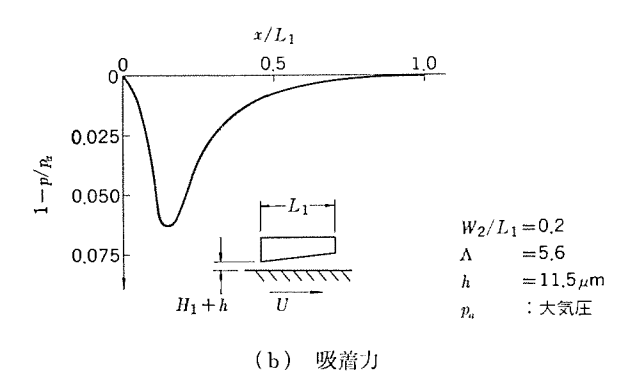


図 8. 浮上力及び吸着力の圧力分布

F・ 国有流体の柏性術数

U: ディスク の速度

計算に当たっては潤滑流体は圧縮性流体とし、粘性係数一定、等温変化を条件としている。 計算結果の1例を図 8. に示す。相対速度50 m/s, 押付荷重 2g, 浮上距離 0.54 μm のとき, 浮上力は約 12g, 吸着力は約 10g であった。

5. 特 性

5.1 浮動特性

磁気ディスクの回転速度の増加とともに、スライダがどのように浮上するか、速度と浮上距離との関係を実験的に求めた。浮上距離の測定は、回転している透明な ガラスディスク 面上に スライダ を浮動させ、 反対側から白色光を当てたとき、スライダ 浮動面上に呈する干渉色を観察することにより行った。 NSA 形 スライダ の浮動特性を、ウィンチェスタ 形のそれと比較して 図 9. に示してある。 このときの NSA 形 スライダ は、 IBM 3348 ウィンチェスタ 相当品として製作したものである。押付荷重は NSA 形で 3g、ウィンチェスタ 形で 10g である。

まずウィンチェスタ 形 スライダ に注目すると、 回転速度の増加とともに、浮上距離はそれにほぼ比例して増加しており、低速時の浮上距離は小さく、高速時のそれは直線的に大きくなっている。そのため低速時には摺動摩耗を生じ、高速時には高密度記録が不可能になるという問題を引き起こしている。一方 NSA 形 スライダでは、同様に速度を増加していくと、 10 m/s 近傍までの間に浮上距離は 0 から 0.4 μm と急上昇している。これはばねの押付荷重が小さいことによる。そして、その後は速度をあげても、浮上距離は 0.4 μm から 0.6 μm までと漸増するのみである。これは速度の上昇とともに吸

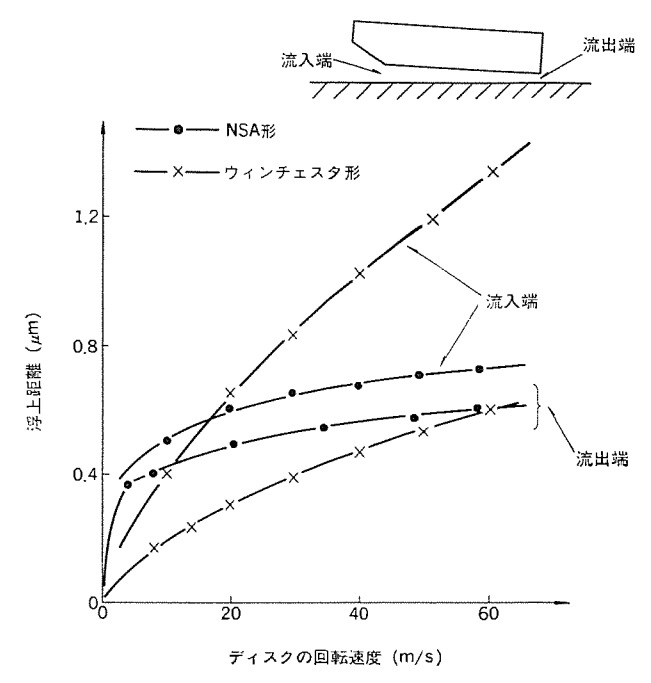


図 9. NSA 形と ウィンチェスタ 形の浮動特性

着力が増加してくるからである。このように低速時においては浮上 距離が急激に立上がり、高速時には逆にあまり大きくならないこと が、NSA 形 スライダの特長である。高速時における浮上距離は、スライダの設計により任意に設定することが可能で、表 1. に示してあるように、相対速度 40 m/s のとき、ウィンチェスタ 相当品では 0.5 μm, 高密度形では 0.4 μm, 薄膜 ヘッド 用では 0.35 μm となっている。更に実験室段階では 0.2 μm の浮動 ヘッド も試作している。

次に NSA 形浮動 ヘッドが真に長寿命で信頼性の高い ヘッドであるかを確認するため、コンタクトスタートーストップを繰返す寿命試験を行った。実験中に生ずるであろう摺動摩耗の有無は、ヘットの再生電圧を常時測定することによって判定した。その結果 80,000 回の繰返し回数を経ても何ら変化がなく、なおも使用可能な状態であった。通常の浮動 ヘッドでは 15,000 回の繰返し回数を保障しているにすぎないから、この スライタ がいかに優れているものであるかがわかる。

5.2 電気特性

NSA 形高密度 ヘッドと ウィンチュスタ 形 ヘッドの周波 数特性を図 10. に示してある。図では ウィンチュスタ 形の低域における再生出力を基準にして、双方の出力 レベル を テシベル 表示で プロット してある。NSA 形は ウィンチュスタ 形より全体に レベル が大きく、特に高周波領域におい

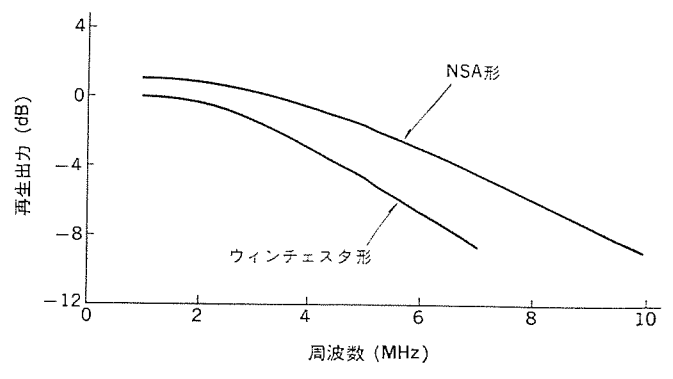


図 10. NSA 形と ウィンチェスタ 形の周波数特性

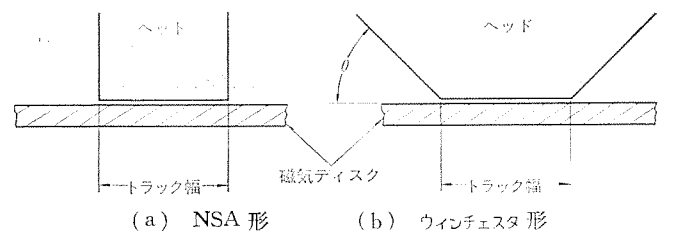


図 11. ヘッド 部の断面形状

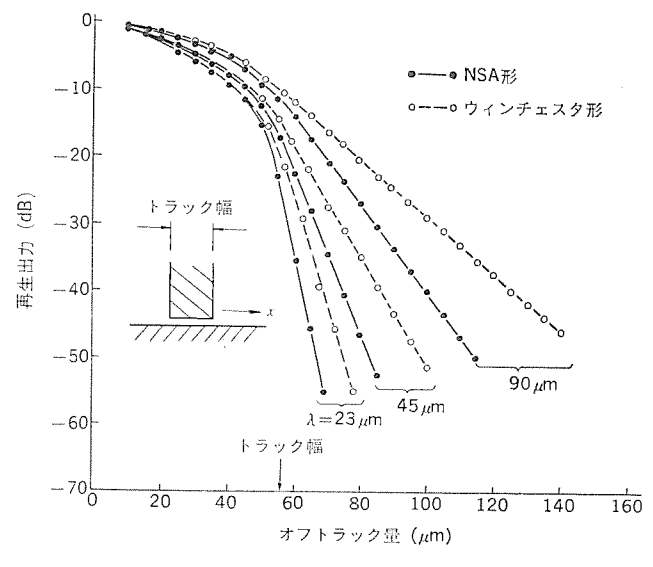


図 12. オフトラック 量と相対出力

てその差が顕著になっている。このことは NSA 形がウィンチェスタ形に比べて周波数特性に優れ、高密度記録に適していることを証明している。

また NSA 形浮動 ヘットでは、図 11. に示すように、ヘット部のトラック 幅を浮動面に垂直な面 (θ=90°) で形成している。 そのため側面漏話の最も少ない形状となっている。一方、ウィンチェスタ形では側面角 θ が 45°となっているため、側面漏話の影響を無視することはできない。 その存在はトラック密度に悪影響を与え、特に最近のように高トラック密度が要求される段階では、より一層考慮しなければならない問題である。一般に側面漏話は次式⁽⁵⁾で表される。

エ:オフトラック 量

W: トラック 幅

NSA 形,ウィンチェスタ 形双方の測定結果を図 12. に示してある。 NSA 形が ウィンチェスタ 形に 対して, オフトラック 量の増加による出力の減衰比が大きいことがわかる。その分だけ磁気 ディスク 面上における各トラック 間の ガード 幅を減少させることが可能となり,トラックピッチをつめることができる。このように NSA 形はトラック密度の点からも,高密度記録に適した ヘッドであるということが言える。

6. む す び

コンピュータ 用磁気 ディスク 装置に用いられる, 高性能で信頼性の高い NSA 形浮動 ヘッド を開発した。この ヘッドは従来の ウィンチェスタ形 ヘッド では見られなかった新しい機能を持っており, 耐摩耗特性に優れ,高密度記録に適した ヘッド となっている。

その実現には新しく開発した微細加工技術に負うところが大きい。 具体的には、浮動系において NSA 形の採用とスライダの小形化により、0.35 μm~0.4 μm という微小な浮上距離を、 極めて安定に実現することができた。 また新しい ギャップ 形成法などを採用することにより、ヘッド効率を改善し、線記録密度を向上させることができた。 さらに トラック 幅加工にも新しい加工法を導入して、トラック 密度の向上を図った。

この へッドの場合には、軽荷重でありながらも、微小な浮上距離を任意に設定することが容易であるから、高密度記録が可能であるばかりでなく、保護膜の薄いめっき ディスクを用いるような用途にはその特長を発揮してより有利になるものと思われる。したがって、この へッド は 現在の ウィンチェスタ 形 へッド に代替できるのはもちろんであるが、更に記録密度の高い次世代の ヘッドに最も適しているものと考えている。

最後に、この研究を進めるに当たり、種々ご指導いただいた NH K 総合技術研究所研究設備運用 センター の関係者のかたがたに、厚くお礼申しあげる。

参考文献

- (1) A. S. Hoagland: Computer, 12, No. 5, p. 12 (1979)
- (2) 日経 メカニカル, 10.15号, p.58 (1979)
- (3) 鳥生ほか:昭和54年度精機学会春季大会論文集, p. 577
- (4) 鳥生ほか:昭和54年度精機学会春季大会論文集, p. 579
- (5) 安田ほか:通研実報, 26, No. 2, p. 447 (昭 52)

第12回市村賞貢献賞を受賞 たて形レコードプレーヤーの開発・実用化」で



三菱電機はこの程「たて形レコードプレーヤーの開発・実用化」により、第12回市村賞を産業の部(貢献賞)で受賞いたしました。たて形レコードプレーヤーは、日本の狭い住宅事情と一人で音楽を楽しみたいという風潮を背景に生み出されたもので、古くからの発想を新しい技術により商品化したものです。このたて形レコードプレーヤーの商品化は、レコードプレーヤーの小形化、省スペース化を促進させるとともに、機能、デザイン面での新しい展開を可能にし、また喫茶店、レストラン、バーなど業務用として新市場を創造しています。

原理·特長

●トーンアームの送り機構

たて形レコードプレーヤーのトーンアーム送り機構は、一本のレール上をモータを介したワイヤでアームベースを直線的に移動させるリニアトラッキング方式です。ピックアップ針先のレコード音溝に沿っての変化量を光学的に検出し、アームベース移動用モータを駆動します。この検出能力はレコード溝一本分で約100ミクロンです。

●ターンテーブル駆動方式

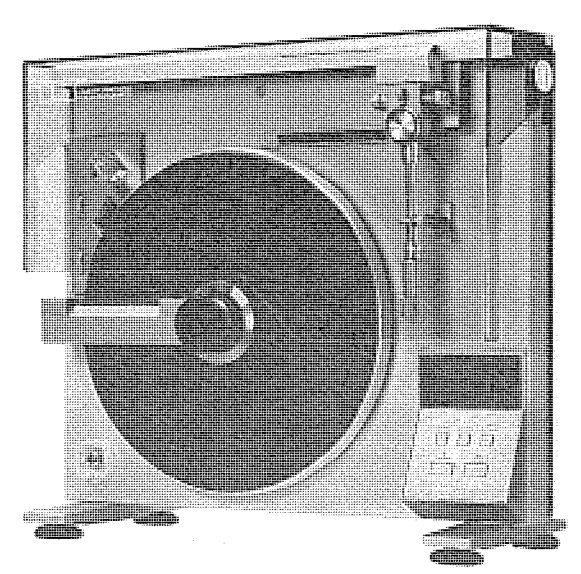
たて形レコードプレーヤーは、ワウ・フラッター発生の最大要因であるレコード盤の部分的な質量不均一に対して十分な考慮が必要です。そこでターンテーブルも含めた回転系のワウ・フラッター特性を向上させるため、ターンテーブルとほぼ同質量のフライホイールを回転軸の後方に設け、ベルトで駆動する方式としました。これによりレコード盤の最大偏重心量30g-cmに対しワウ・フラッター0.05%以下となっています。

●針圧の付加方法

トーンアームの前後・左右・上下 3 方向のバランスは工場で調整されています。針圧はトーンアームの同転軸より下方に設けられている重りを前後に移動させ、テコの原理で付加するマタティックバランス方式です。たて形プレーヤーの針圧は一度調整しますと、カートリッジの種類にほとんど関係ないという特長があります。

●操作方法

光検出系と新LSIの開発により、すべての操作を電子化し使い やすく信類性の高いプレーヤーとしました。



たて形リニア・トラッキング電子制御フルオートプレーヤーLT-5V形



深井戸ポンプ用ハイスラスト 三菱立形ホローシャフトモータ

水を取扱うポンプは各方面で広く利用されており、その種類も非常に多く、今後ともその需要は増加するものと思われます。三菱電機では、これらのポンプ用電動機を長年にわたり数多く製作してきましたが、この度、その高い技術と豊富な経験をもとに、主として深井戸用やタービンポンプ用のハイスラスト立形ホローシャフトモータを開発しました。この種のモータはNEMA規格に準拠して設計されたものが、欧米で広く普及しています。当社は、その中で需要の大きい375kWまでを標準としてシリーズ化しました。現在、すでに数十台を製作中です。

特長

●コンパクトでハイスラストの構造

当社が長年製作してきた数千台にもおよぶハイスラスト立形ソ リッドモータの技術を駆使した設計で、コンパクトで高い信頼 性を持った構造となっています。

●高信頼度を誇る絶縁性能

屋外はもちろん、高湿度・腐食環境にも十分耐える、信頼性の 高いF種絶縁システムを採用しています。

●容易な据付作業

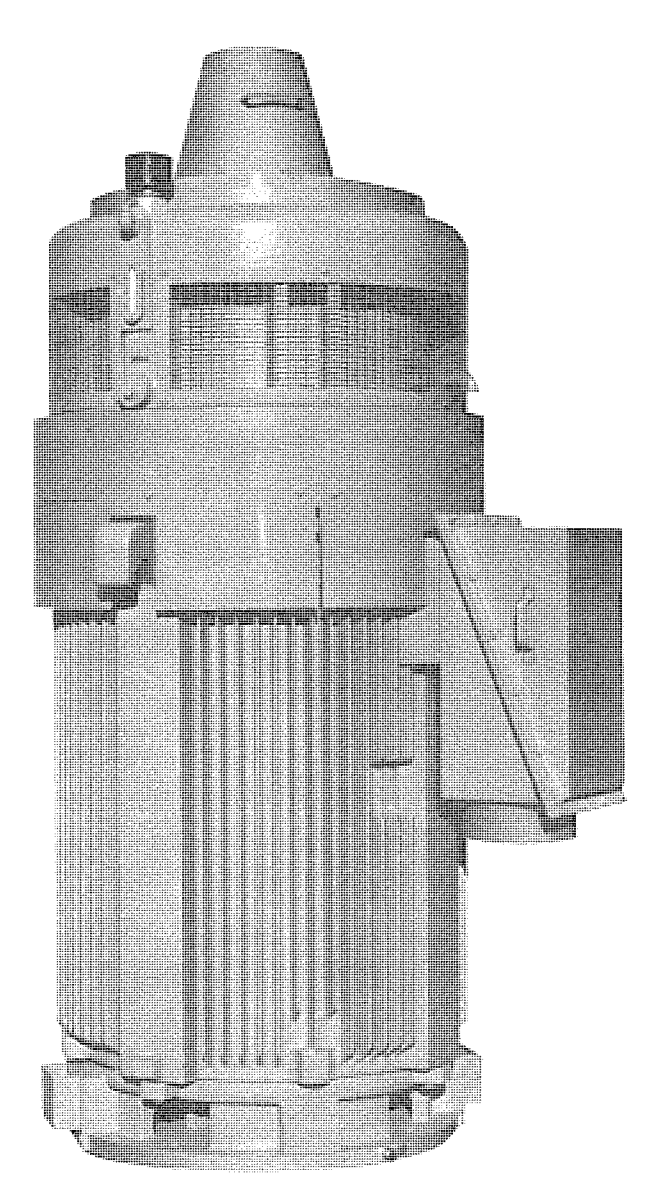
ポンプシャフトとの直結は上部のドライブカップリングで行います。ポンプシャフトの上下位置調整はカップリング調整ナットでできるため、直結・据付作業はたいへん容易で、振動問題に対してもきわめで有利です。

●フランジ寸法を標準化

各わく番ごとにNEMA規格の3種類のフランジ寸法を標準化 しているので、リプレースの場合にも便利です。

●逆転防止装置の設置

逆流が発生しないように、逆転防止装置をつけて信頼度を高めました。



300kW.6P.4kV 全閉外扇形の例

標準仕様

定格電圧、周波数	460V、2300V 60Hz (3000V、6000V級および50Hz用も製造します)
外被形式	Weather-protected Type 1(WP1)
特性	NEMA Design B
サービスファクタ	1.15
絶縁種別	F種
スラスト荷重	NEMA 175%EHT (300%EHTも製作可)

注EHT: Extra High Thrust



配電用変圧器の

三菱NR形負荷時タップ切換器

三菱電機では、配電用変圧器用として、このほど新たにスター結線にもデルタ結線にも適用できる小形・小容量のNR形抵抗式負荷時タップ切換器を開発しました。このNR形は、単純な駆動メカニズム採用で高信頼性と小形・軽量化(当社比重量約65%)を実現し、変圧器への適用がきわめて容易となり、メンテナンスも非常に楽になりました。

特長

●長い接点寿命

切換方式には抵抗方式を採用しているため、接点の消耗はきわめて少なく、長い接点寿命を誇ります。

●切換がスムーズ

タップ選択開閉器の可動接点には、ローラコンタクトを採用。 接点の消耗に関係なく、切換動作はスムーズで、高信頼性を発 揮します。

●接点配列や駆動系を単純化

タップ選択開閉器方式の採用で、接点配列や駆動系が非常に単 純化されました。

●分解・組立が容易

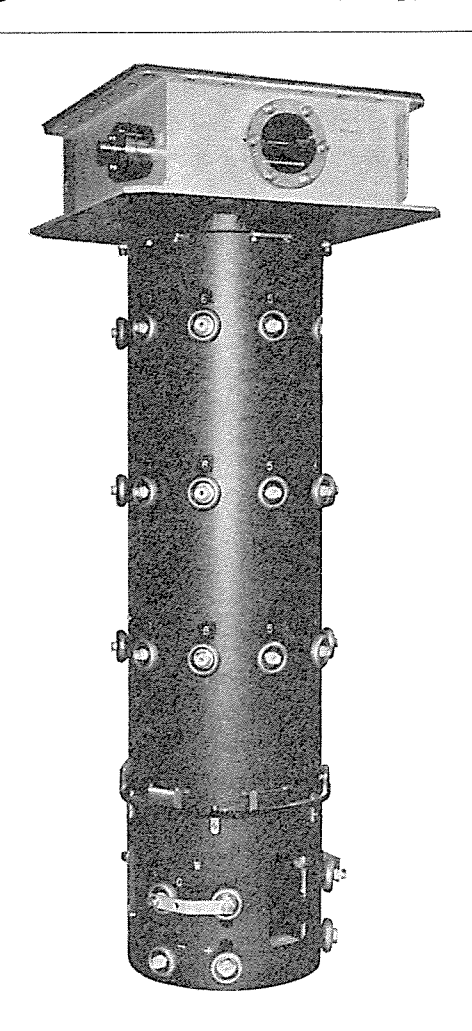
構造が単純化されているため選択開閉器インサートの分解・再 組立が容易で、ユーザーご自身の手でメンテナンスを短時間内 に行っていただけます。

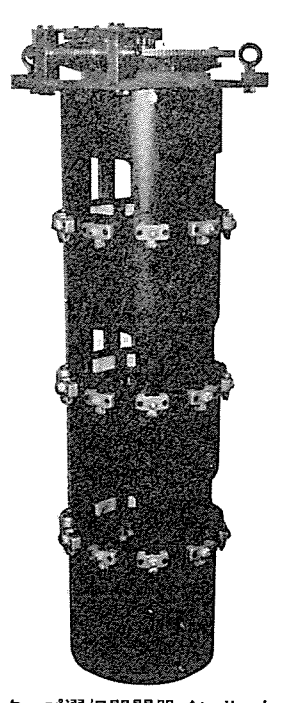
●埋込タイプ

変圧器への組み込みは、油密絶縁筒を介した埋込方式。変圧器 本体の油面を下げずに選択開閉器インサートのメンテナンスを 行うことができます。

定格仕様

相数	3
最大通過電流	250A
最大ステップ電圧	700 V
定格ステップ容量	175KVA
対地絶縁	300BIL
相間絶縁	250BIL
切換能力	JECおよびIECの要求を満足する
接点温度上昇	定格電流連続で20℃以下
短絡電流通電能力	JECおよびIECの要求を満足する
電気的寿命	20万回以上
機械的寿命	80万回以上
タップ点数	25点以下





タップ選択開閉器インサート



三菱演色性改善形 高圧ナトリウムランプ《ハイルックス・DL》

これまで高圧ナトリウムランプは最も高い効率を有していながら、不充分な演色性のためにその用途が限定されていました。そこで三菱電機では、従来のものより大幅に演色性を改善した高圧ナトリウムランプを開発、演色性改善形高圧ナトリウムランプ(ハイルックス・DL)として発売を開始することにいたしました。演色性の改善で良好な視環境を実現し、省電力光源のエースである高圧ナトリウムランプの用途を大幅に広げました。特に工場照明の分野では、一般工場などで広くご使用いただけます。当面は6機種——220W・360W・660W各2機種(透明形・拡散形)——を6月より逐次発売いたします。

特長

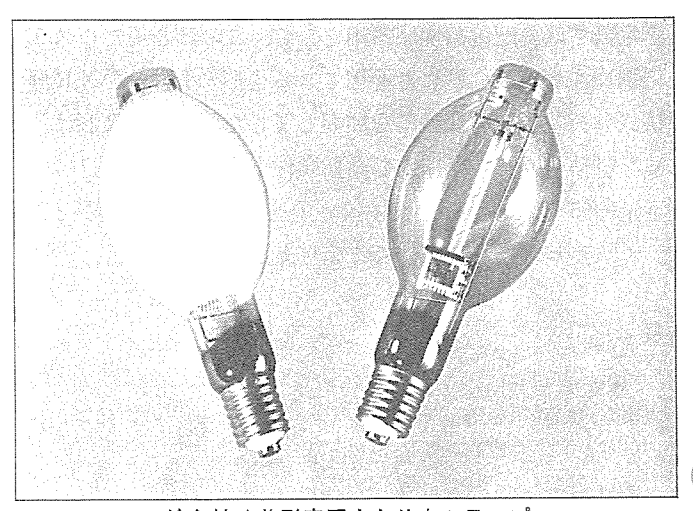
- ●高効率を維持しながら演色性を大きく改善 1200m/Wの高効率で、これは当社蛍光水銀ランプ《ニューデラックス》の約2倍です。また平均演色評価指数はRa=60で、特に 赤色(Ra)、緑色(R₁₁)、および肌色(R₁₂)の見え方を大幅に改善し 徐来の高圧ナトリウム照明への抵抗感をやわらげています。
- ●一般形水銀灯安定器で点灯 バイメタル始動器をランプに内蔵したセルフスタート形で、一 般形水銀灯安定器(100V・200V用)で点灯します。
- ●光東劣化が少なく長寿命 発光管材料として使用される高品質のアルミナ・セラミックと あいまって、新開発のイットリア添加タングステート電極の採 用により、すぐれた光束維持率と平均12,000時間の長寿命が得 られます。
- ●暖か味のある光色 色温度2150 K、ゴールデンホワイトで、白熱電球に似た暖か味 のある光色です。
- ●点灯方向は任意 高圧水銀ランプと同様、点灯方向に制限がなく、使いやすくなっています。

用途

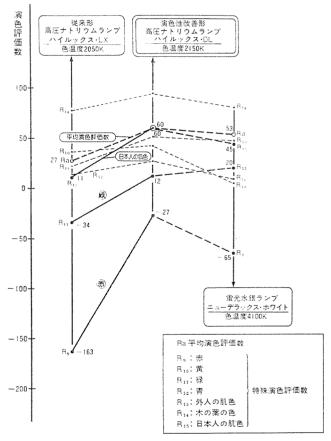
当社の省電力高効率ランプ(高圧ナトリウムランプ《ハイルックス・LX》)の演色性を大幅に改善したもので、特に工場照明で代表される屋内照明分野でそのすぐれた特長を発揮します。

屋内照明―――高天井工場、倉庫、体育館、スケート場、 大ホール等

屋外照明———道路、公園、広場、商店街、空港、競技場、 壁面照明等



演色性改善形高圧ナトリウムランプ (ハイルックス・DL)360Wタイプ NH360(F)LX/DL



演色性改善形高圧ナトリウムランプ《ハイルックス·DL》の演色性

演色性改善形高圧ナトリウムランプ《ハイルックス·DL》定格表

平均演色評価数 Ra=60 色温度2150K

種 類	形名	ランプ定格 消費電力(W)	ランプ電流 (A)	ランプ電圧 (V)	全 光 東 (@m)	ランプ効率 (ℓm/W)	平 均 寿 命 (時間)	点灯方向	発 売 時 期
通	NH220·LX/DL	220	2.1	130	23,000	.105	12,000	任 意	55年8月
19]	NH360·LX/DL	360	3.3	130	43,200	120	12,000	任意	55年6月
IF 8	NH660·LX/DL	660	5,9	130	85,500	130	12,000	ff: Ö	55年8月
拉	NH220·LX/DL	220	2.1	130	22,000	100	12,000	任意	55年8月
散	NH360·LX/DL	360	3.3	130	41,000	114	12,000	任 意	55年6月
H2	NH660 ·L.X/DL	660	5.9	130	82,000	124	12,000	任 意	55年8月

共上記定格値は標準値を示し、全光束、効率は100時間点灯後の値を示します。

/==/==/==/当社の登録実用新案 /==/==

登録番号	名 称	考案	者	登録番号	名	称	考	案	者	
1197785	回路しゃ断器	飯尾 司		1198476	保護回路付安定	化電源回路	木村優	治		
1197786	故障表示装置	上田 敦		1198477		装置の凝結水排	桜井	宏		
1197787	トランジスタタイマ	横田敦信・川	川畑博志		水装置			_		
1197788	電気機械の鉄心冷却装置	平山袈裟雄		1198478	バイメタル 装置		飯尾	司		
1197789	軸受箱装置	八木治夫		1198479	テレビカメラ		本谷昇	一・佐	伯義	行
1197790	冷蔵庫等の箱体	早川孝昭		1198480	密閉型圧縮機の	防振装置	河原	寛・土	屋邦	彦
1197791	点検回路	江田伸夫		1198481	安定化電源の短	絡保護回路	菊 川	毅		
1197792	点検回路	辻倉洋右・江			変圧器		白井	満・藤		
1197797	電力 トランジスタ の制御回路	橋本春夫・芦		1198483	方向探知器		島 康	雄・稲	宮健	<u> </u>
1197803	電気車の チョッパ 式制御装置	綿谷晴司・内	引海 暁	1198484		機の アキュームレー	十屋邦	彦・土	屋貴	- ф
1198417	負荷駆動装置	畑 和広			タ 支持装置			,,,,,,,,,,,,,,,,,,,,,,,,,,,,,,,,,,,,,,,	212 34	. ~
1198435	電動機の通風装置	重浦淳一		1198485	電子 レンジ		慶野長			
1198443	しゃ断器引外装置	白石和男		1198486	電気とたつ		山本成-	一郎・長	沢重	雄
1198444	電気機器用筐体	片山泰一・花	吃崎 美雄	1198487	電気器具の プラク		南日国	伸・菊	池俊	男
1198445	電磁粒子式連結装置	小林良治		1198488	高周波加熱装置		熊田泰	治・田	村邦	夫
1198446	空気調和装置	鈴木太八郎・淵	度 辺 雅 典	1198489	自動電圧調整装		一ノ瀬4	乒三郎		
1198447	集中定数形 サーキュレータ	中原昭次郎・川	端俊一郎	1198490	電子 レンジの スタ	ヌーラーファン	熊田泰	治・田	村邦	夫
1198448	電気機器巻線	田尻浩己・棚	消倉 勇	1198491	ジュースミキサー		丸山	泰・福	田	剛
1198449	遠隔計量装置	林 正之・山	根満徳	1198492	回転 テーブル		沢永	寧		
1198450	回転電機の支持装置	岡 祐輔		1198493	電磁 ポップ 駆動物	支置	古屋芳	明・永	井	敝
1198451	慣性摺動式內燃機関始動裝置	{松本 剛・森 高見 昭	孫崎 文雄	1198494	受信機保護装置		川口義 (桜井信		比野港	l; →
1198452	慣性摺動式内燃機関始動装置	[高 見 昭・松 森 崎 文 雄	公本 剛	1198691 1200749	電気温水器	4 4	「藤田喜	助		
1100450	ንዶ			1200743	カセグレアンテナ 装置	á l.	森川		田	連
1198453	巻線挿入装置	堀尾 猛	= cm	1200750	電磁開閉器 平衡継電装置		梶田保			
1198454	電気掃除機の集塵装置	{長 嶺 元・福 高 橋 豊	ā 田 興 司	1200751	于网 極電装置	To the second se	下迫質			
1198455	入力 インターフェーサー 回路	水野公元		1200753	ブラシレス 励磁機の	7.既約 佐川 井間	中田仗村西有		ा । स्थि	-55
-	障害物検出装置	渡辺幸康		1200754	保護継電装置	7阿林快山安旭	江田伸		四四	//
	回転電機の異状検出装置	天笠信正		1200755	窓用換気扇取付	₩L	五十田		* <i>&\dagger</i>	
	回転電機の異状検出装置	天笠信正		1200756	磁気連結装置の		岡田清			
	水冷式半導体装置	高貝良典・山	- 下信三		タップ接続装置	1111 1441 35C 165C	小林忠		口菌天	E/AH:
i	内燃機関始動装置	平田 毅・山		1 1	回転機における	磁気地	小			
1	計数器の銘板	小野達男・ネ		1200759	差し込み型端子		野村		D	
	物体の押当て装置	早川照馬		1200760	高速度しゃ断器		亀田康		,	
	電気かみそり	増田三郎・煎	10	1200761	ファンコイルユニット		山崎起		r I r	禾
	電気かみそり	熊田泰治	H 36 H	1200762	検出装置	- フガロ位に3を163.	浅野哲		Fred	SJ.:
1	混成集積回路装置	荒金堅次郎		1200763	提拌装置	The state of the s	長嶺		口爺	27
i	刻印装置	佐野賢三		1200764	石油燃焼器		佐藤芳			実
1	電気車の制御装置	平尾新三		1200765	電気掃除機		長嶺			豊
-	ヘアードライヤー	川合輝一・小	、洲 利 里	1200766	空気調和機	00.00	上妻親		1101	豆
	電子加熱器	柴田 実	16 49 77	1200767	空気調和機	ооленналего	上 安 祝 渡 辺		原マケ	产
	モ 」 かれだらか ヘアードライヤー	米田美用合輝ー・引	、油利甲	1200768	三 X 調 和 機 ガス 封入開閉器	Allina	杉尾憲		小又	15
	電気掃除機の吸込風量調節装置	武井久夫・森		1200769	空冷式冷房装置		心 尾 蒽		;T!	進
1	モスコースの速度制御装置 ファンモータの速度制御装置	藤井・学・太		1200770	至中式中房表值 副反射鏡登用梯·	-	向何兄 山尾道		<u>/</u>	烂
	ヘアードライヤ	川合輝一	一 以	1200771	電力加熱装置	1、74以口交牌	大崎嘉			
1	壁ぬき ブッシング 装置	川 日 輝 一 岸 田 光 弘・塩	11 生	1200772	ガス しゃ断器		金谷正		do #s	===
	ニニャペ に フツレビノ 3人担.	开四儿为"每	九 大		ハヘ レヤ別位		亚耳爪	J.H. ∠T.	下大	\nearrow

登録番号	名称	考	案	者	登録番号	名	称	考	案	ī	ž
1200774	回路しゃ断器	申山	豊		1200796	機関の排気制御装置		松本	修		ACCOUNTS AND ACCOUNTS
1200775	パネルの飾り枠体	田中克	「幸・吉	積純一	1200797	蓄熱暖房機		根岸宣	匡		1
1200776	マイクロストリップ 基板の取付装置	八原像	定		1200798	移動通路用手摺		∫田島尚	j志·	木名瀬	武男
1200777	マンコンベヤ の駆動装置	三矢馬	夫・中	谷 博	1200796	炒到通船用于指		∫矢 野	勇・	木 村	稔
1200778	回転変圧器	山崎照	明		1200799	移動通路用手摺		∫田島尚	j 志·	木名瀬	武男
1200779	誘導加熱 コイル	藤室雅	間		1200755	19岁10年1月 1-1日		矢 野	勇・	木 村	稔
1200780	誘導加熱 コイル	上田時	旁		1200800	冷媒圧縮機		南恒	彦		
1200781	エレベータ の風音防止装置	山田看	手夫・大	野 釗	1200801	冷蔵庫の野菜入れ		林 八	・郎・	木 南	勤
1200782	ウォーキングビーム 式誘導加熱装置	藤室雅	自司		1200802	ズボンプレス 器		大竹	操		
1200783	エレベータガイドレール 据付用防風板	池田	弘・生	田哲夫	1200803	放射線の線源装置		∫山本	明・	津田等	栄 一
1200784	圧力 スイッチ	阪井秀	族雄		1200003	D关为149次。24次(27.3% FE		三富至	道		
1200785	ガイドシュー	瀬原田3	三郎		1200804	偏向 ヨーク 保持装置		石井多	そ和・	中田	克 己
1200786	回転型 ポテンショメータ	青 井	保		1200805	充電発電機の制御装置		松本新	太郎		
1200787	電子 レンジ の扉装置	熊田泰	き治		1202524	回転電機		西沢寿	見見		
1200788	高周波加熱裝置	町原義	太郎		1202525	磁気連結装置		吉田な	<u> </u>		
1200789	空気調和機	山崎炎	本人		1202526	雷力系統保護装置		{北浦孝		高田	信 治
1200790	空気調和機の ドレン 防露装置	徳 永	龍			起 / J / N / Pu / N / L / L / L / L / L / L / L / L / L		太田ク	が、		
1200791	移動体の制御装置	浅野智	手生・北	野満	1204379	自動 ジグザグミシン の カム	装置	藤田ど	で朗・	堀 本	排一
1200792	加湿装置	山下新	已夫		1204380	輸送装置		白石衫	刀男		
1200793	機関点火用配電器の換気装置	大西亚	三義		1204381	屋根の融雪装置		近藤』	-		-
1200794	ヘアドライヤー	川合岛	軍一・小	林雅和	1204382	機関着火用配電器の換	页装置	荒川和	引弘・	山根·	恒 夫
1200795	機関の過回転防止装置	斉 藤	実		1204383	検相装置		横田鶉) 信		

〈次号予定〉 三菱電機技報 Vol. 54 No. 7 電気機器のモニタリング特集

特集論文

- ●発電機コンディションモニタ
- ●かご形3相誘導電動機の回転子導体温度監視装置
- ●とろがり軸受モニタリングシステム
- ●油中ガス自動分析装置による変圧器のモニタリング
- ●ガス絶縁機器の内部絶縁診断技術
- ●鉄道車両用モニタリングシステム

普通論文

●塊状突極形同期電動機の非同期始動特性

- ●レーダエコーシミュレータの開発
- ●国内通信用衛星回線交換方式及び制御装置 —SCPC-DAMA システム—
- ●14 MVA 直接水冷却水車発電機の開発と運転実績
- ●医療用ライナック ML-15 M Ⅲ 形の性能
- ●徳島県防災行政無線システム 一地方自治体の非常災害及び一般業務用無線電話網の1例—
- ●マルチステップフォーカス電子銃の高解像度カラーディスプレイ管への応用
- ❸サイリスタチップによるパワーモジュール

三菱電機技報編	集委員			三菱電機	技報	54 巻	6 号
委 員 長	喜連川 隆	常任委員	的場 微				
副委員長	浦徳太郎	"	斎 藤 春 雄				昭和55年6月22日 印刷
"	橫 浜 博	委 員	柴田謹三	(無)	附伝制	を禁す	r) 昭和 55 年 6 月 25 日 発行
常任委員	唐仁原孝之	"	樋口 昭				
"	増淵 悦 男	"	神谷友清	編集	棄発	行人	本 問 吉 夫
"	葛野信一	"	池上騏一郎	€p	刷	所	東京都新宿区市谷加賀町1丁目12番地
"	三輪 進	"	福井三郎				大日本印刷株式会社
"	高月 一	"	松島勇作	発	行	所	東京都千代田区大手町2丁目6番2号 (〒 100)
"	河原四良	"	瀕辺国昭				菱電エンジニアリング株式会社内
"	高橋広光	"	小野勝啓				「三菱電機技報社」Tel. (03) 243 局 1 7 8 5
"	忍足 博	幹事	本間吉夫	発	売	元	東京都千代田区神田錦町3丁目1番地 (〒 101)
"	武田克巳	"	足立健郎				株式会社 オーム社書店
"	清田 浩	6 号特集担当	田村良平				Tel. (03) 233 局 0 6 4 1,振替口座 東京 2 0 0 1 8
"	福家 章			定		価	1 部 400 円送料別(年間予約は送料共 5,200 円)

又是

さらに前進した省エネルギータイプ

三菱冷凍冷蔵庫MR-2350形



冷蔵庫は家電品の中でも最も稼動率が高く、また最も消費電力量の大きな機種のひとつとなっています。三菱電機では、かねてより冷蔵庫の省エネルギー化に努力し、昨年度は主力機種である230ℓクラスのMR-293F形が41/42kWH/月の消費電力量で、省エネルギー化の記録製品となりました。55年度はさらにこの記録を更新し、MR-2350形(230ℓ)はMR-293F形より20%の省電力化を果し、実に36/37kWH/月の消費電力量を実現しました。

●省エネルギー化の要点

省エネルギー化すなわち省電力化は、各部分にわたる細かな改 善の積重ねによるもので、その要点は次のようなものです。

- (1)放熱パイプを利用した露とり(電熱ヒータの排除)
- (2)ファンモータの庫外設置(モータ熱ロスの排除)
- (3)ドアパッキンの4重ヒレ(扉よりの熱侵入防止) (以上は基本的には54年度製品と同方式)
- (4)コンプレッサ効率の改善

体積効率の改善、2重弁方式の採用、ピストンリングの採用 その他により、成績係数(COP)を改善しました。(対54年度 4%、対53年度22%向上)

(5)断熱の強化

発泡ウレタンフォームの厚さを効率的に配分すると同時に、 背面の断熱厚さを57%厚くすることなどにより、断熱を強 化しました。

●その他のメリット

ドアポケット、1·2·3棚、その他の使い勝手を向上し、コンシールド形放熱器 〈スッキリバック方式〉を採用し、ゴミやホコリによる放熱効率の低下を防止すると同時に、据付スペースの有効活用を図っています。

MR-2350形仕様

有効内容積(ℓ)	235(うち冷凍室55)			
外 形 寸 法(mm)	幅560×奥行635×高さ1,545			
定格電圧・周波数	100V、50/60Hz共用			
冷却の方式	ファン式(冷気強制循環方式)			
冷凍室の性能	-18℃以下(スリースター)			
月間消費電力量	50/60Hz時、各36/37kWh/月			
(方 式	ヒーター式(自動制御)			
霜取り 操作	自動開始、自動終了			
看取り	自動蒸発式			
	背面スッキリのコンシールド			
その他	コンデンサ採用			

